UNIVERSIDAD DE HUANUCO

FACULTAD DE INGENIERIA PROGRAMA ACADÉMICO DE INGENIERIA CIVIL



TESIS

"Mortero con fibras de Agave para aislamiento térmico en viviendas del CC. PP Nauyan Rondos-Huánuco, Perú-2025"

PARA OPTAR EL TÍTULO PROFESIONAL DE INGENIERA CIVIL

AUTORA: Silva Cloud, Mayeli Nicole

ASESOR: Suarez Landauro, Reynaldo Favio

HUÁNUCO – PERÚ 2025





TIPO DEL TRABAJO DE INVESTIGACIÓN:

- Tesis (X)
- Trabajo de Suficiencia Profesional()
- Trabajo de Investigación ()
- Trabajo Académico ()

LÍNEAS DE INVESTIGACIÓN: Estructuras AÑO DE LA LÍNEA DE INVESTIGACIÓN (2020)

CAMPO DE CONOCIMIENTO OCDE:

Área: Ingeniería, Tecnología Sub área: Ingeniería civil Disciplina: Ingeniería civil

DATOS DEL PROGRAMA:

Nombre del Grado/Título a recibir: Título Profesional de

Ingeniero(a) Civil

Código del Programa: P07 Tipo de Financiamiento:

- Propio (X)UDH ()
- Fondos Concursables ()

DATOS DEL AUTOR:

Documento Nacional de Identidad (DNI): 74993196

DATOS DEL ASESOR:

Documento Nacional de Identidad (DNI): 22498065

Grado/Título: Maestro en Gestión Pública Código ORCID: 0000-0002-4641-3797

DATOS DE LOS JURADOS:

N°	APELLIDOS Y NOMBRES	GRADO	DNI	Código ORCID
1	Trujillo Ariza,	Maestro En Medio	70502371	0000-0002-
	Yelen Lisseth	Ambiente Y Desarrollo		5650-3745
		Sostenible, Mención		
		En Gestión Ambiental		
2	Arteaga	Máster En Dirección	73645168	0009-0001-
	Espinoza, Ingrid	De Proyectos		0745-5433
	Delia Dignarda			
3	Leandro Quispe,	Maestro En Ingeniería,	47044890	0009-0005-
	David Roy	Con Mención En		3098-4770
		Gestión Ambiental Y		
		Desarrollo Sostenible		





ACTA DE SUSTENTACIÓN DE TESIS PARA OPTAR EL TÍTULO PROFESIONAL DE INGENIERO(A) CIVIL

Información general:

TÍTULO: ""MORTERO CON FIBRAS DE AGAVE PARA AISLAMIENTO TÉRMICO

EN VIVIENDAS DEL CC. PP NAUYAN RONDOS - HUANUCO, PERÚ-

2025"".

TESISTA: Mayeli Nicole SILVA CLOUD.

ASESOR: Mg. Reynaldo Favio SUAREZ LANDAURO

JURADOS: • Mg. Yelen Lisseth TRUJILLO ARIZA - Presidente

Mg. Ingrid Delia Dignarda ARTEAGA ESPINOZA - Secretario

Mg. David Roy LEANDRO QUISPE - Vocal

Resolución de designación de jurados n.º 2426 (05/11/2025).

Desarrollo del acto de sustentación

La sustentación se desarrolló en dos etapas:

Exposición de la tesis por parte del/la estudiante.

2. Ronda de preguntas y absolución de observaciones por parte del Jurado Evaluador.

Posteriormente, los miembros del jurado deliberaron y calificaron la sustentación, declarando al tesista APROBADO POR UNANIMIDAD, con los siguientes calificativos:

Calificación cuantitativa: 15

Calificación cualitativa: Bueno (Según el Artículo 47 del reglamento correspondiente).

Siendo las 15:45 h del viernes 07 de noviembre de 2025, los miembros del Jurado evaluador firman la presente acta en señal de conformidad.



0000-0002-5650-3745 70502371 Mg. Yelen Lisseth TRUJILLO ARIZA

PRESIDENTE

Interest latings and a second control of the second control of the

0009-0001-0745-5433 73645168 Mg. Ingrid Delia Dignarda ARTEAGA ESPINOZA SECRETARIO



0009-0005-3098-4770 47044890 Mg. David Roy LEANDRO QUISPE VOCAL





UNIVERSIDAD DE HUÁNUCO



CONSTANCIA DE ORIGINALIDAD

El comité de integridad científica, realizó la revisión del trabajo de investigación del estudiante: MAYELI NICOLE SILVA CLOUD, de la investigación titulada "MORTERO CON FIBRAS DE AGAVE PARA AISLAMIENTO TÉRMICO EN VIVIENDAS DEL CC. PP NAUYAN RONDOS-HUÁNUCO, PERÚ-2025", con asesor(a) REYNALDO FAVIO SUAREZ LANDAURO, designado(a) mediante documento: RESOLUCIÓN Nº 1097-2025-D-FI-UDH del P. A. de INGENIERÍA CIVIL.

Puede constar que la misma tiene un índice de similitud del 11 % verificable en el reporte final del análisis de originalidad mediante el Software Turnitin.

Por lo que concluyo que cada una de las coincidencias detectadas no constituyen plagio y cumple con todas las normas de la Universidad de Huánuco.

Se expide la presente, a solicitud del interesado para los fines que estime conveniente.

Huánuco, 03 de noviembre de 2025

PESPONSABLE DE MUNTANIE CO INTERNADALA O PERO

RICHARD J. SOLIS TOLEDO D.N.I.: 47074047 cod. ORCID: 0000-0002-7629-6421 REGIONSABLEDE NUANUES O NUANUES O PERO

MANUEL E. ALIAGA VIDURIZAGA D.N.I.: 71345687 cod. ORCID: 0009-0004-1375-5004

267. Silva Cloud, Mayeli Nicole.docx

INFORME DE ORIGINALIDAD FUENTES DE INTERNET PUBLICACIONES TRABAJOS DEL INDICE DE SIMILITUD **ESTUDIANTE** FUENTES PRIMARIAS hdl.handle.net Fuente de Internet alicia.concytec.gob.pe repositorio.unheval.edu.pe Fuente de Internet Submitted to Universidad Cesar Vallejo Trabajo del estudiante repositorio.tls.edu.pe Fuente de Internet



RICHARD J. SOLIS TOLEDO D.N.I.: 47074047 cod. ORCID: 0000-0002-7629-6421



MANUEL E. ALIAGA VIDURIZAGA D.N.I.: 71345687 cod. ORCID: 0009-0004-1375-5004

DEDICATORIA

Principalmente a Dios, quien me guio en este camino y me dio sabiduría para poder cumplir mis objetivos.

A mis padres, que fueron el apoyo que necesitaba en este camino, sus enseñanzas fueron fundamentales para cumplir esta meta, sin ustedes no sé qué sería de mí, gracias por todo.

A mi abuelito Jorge Cloud, que siempre estuvo presente en todos mis logros y caídas, fue el motor que me impulsó para ser una buena profesional.

Y en especial a mis mascotas, mi Kira y mi Capuchino que se desvelaron conmigo todo este tiempo, brindándome su cariño y amor incondicional.

AGRADECIMIENTO

Agradezco a mi familia, que cada uno aportó con un granito de arena, dándome consejos y apoyándome en cada momento difícil, y a mi enamorado que estuvo siempre a mi lado dándome la fortaleza para no rendirme.

También agradecer a mis docentes y asesores, que me guiaron con sus conocimientos y sabiduría.

ÍNDICE

DEDICATORIA	II
AGRADECIMIENTO	
ÍNDICE	IV
ÍNDICE DE TABLAS	VIII
ÍNDICE DE FIGURAS	X
ÍNDICE DE FOTOGRAFÍASRESUMENABSTRACT	XVI
INTRODUCCIÓN	XVIII
CAPITULO I	19
PROBLEMA DE INVESTIGACIÓN	19
1.1. DESCRIPCIÓN DE PROBLEMA	19
1.2. FORMULACIÓN DEL PROBLEMA	21
1.2.1. PROBLEMA GENERAL	21
1.2.2. PROBLEMAS ESPECÍFICOS	21
1.3. OBJETIVOS	21
1.3.1. OBJETIVO GENERAL	21
1.3.2. OBJETIVOS ESPECÍFICOS	21
1.4. JUSTIFICACIÓN DE LA INVESTIGACIÓN	22
1.4.1. JUSTIFICACIÓN TEÓRICA	22
1.4.2. JUSTIFICACIÓN METODOLÓGICA	22
1.4.3. JUSTIFICACIÓN PRÁCTICA	23
1.5. LIMITACIONES DE LA INVESTIGACIÓN	23
1.6. VIABILIDAD DE LA INVESTIGACIÓN	23
CAPITULO II	25
MARCO TEÓRICO	25
2.1. ANTECEDENTES DE LA INVESTIGACIÓN	25

2.1.1. ANTECEDENTES INTERNACIONALES	25
2.1.2. ANTECEDENTES NACIONALES	27
2.1.3. ANTECEDENTES LOCALES	28
2.2. BASES TEÓRICAS	30
2.2.1. AISLANTE TÉRMICO	30
2.2.2. AGAVE	31
2.2.3. PROTOTIPO DE ADOBE	31
2.2.4. COMPOSICIÓN DEL MORTERO	31
2.2.5. ESPESOR ÓPTIMO DEL MORTERO	31
2.2.6. ESPESOR DE REVOQUE	32
2.2.7. EFICIENCIA TÉRMICA	32
2.2.8. RESISTENCIA TÉRMICA	32
2.2.9. MANTENIMIENTO DE LA TEMPERATURA	32
2.2.10. VARIACIÓN DE TEMPERATURA	33
2.2.11. FACILIDAD DE IMPLEMENTACIÓN	33
2.2.12. DURABILIDAD DE FIBRAS NATURALES	33
2.2.13. RESISTENCIA DE FIBRAS NATURALES	33
2.2.14. CONFORT TÉRMICO	33
2.2.15. IMPACTO ECONÓMICO DE FIBRAS NATURALES	34
2.2.16. NORMA E.080 (DISEÑO Y CONSTRUCCIÓN CON T REFORZADA)	
2.2.17. NORMA EM.110 (CONFORT TÉRMICO Y LUMÍNICO EFICIENCIA ENERGÉTICA)	
2.2.18. ASTM C1363-19 (MÉTODO DE ENSAYO ESTÁNDAR PADESEMPEÑO TÉRMICO-CAJA CALIENTE)	
2.2.19. ASTM D3359-17 (MÉTODO DE ENSAYO ESTÁNDAR MEDIR LA ADHERENCIA POR PRUEBA DE CINTA)	

	2.2.20. ASTM E514-08 (MÉTODO DE ENSAYO ESTÁNDAR PA	
	PENETRACIÓN Y FUGA DE AGUA A TRAVÉS DE MAMPOSTERÍA)	
	2.2.21. NTP 339.128 (MÉTODO DE ENSAYO PARA EL ANÁLIS GRANULOMÉTRICO)	
	2.2.22. ASTM C136/C136M-14 (MÉTODO DE ENSAYO ESTÁND	
	PARA EL ANÁLISIS GRANULOMÉTRICO DE AGREGADOS FINOS GRUESOS)	
2.	.3. DEFINICIONES CONCEPTUALES	. 37
2.	.4. HIPÓTESIS	46
	2.4.1. HIPÓTESIS GENERAL	46
	2.4.2. HIPÓTESIS ESPECÍFICAS	46
2.	5. VARIABLES	46
	2.5.1. VARIABLE INDEPENDIENTE	46
	2.5.2. VARIABLE DEPENDIENTE	46
2.	6. OPERACIONALIZACIÓN DE VARIABLES	47
CAF	PITULO III	49
ME	TODOLOGÍA	49
3.	.1. TIPO DE INVESTIGACIÓN	49
	3.1.1. ENFOQUE	49
	3.1.2. ALCANCE O NIVEL	49
	3.1.3. DISEÑO	50
3.	2. POBLACIÓN Y MUESTRA	50
	3.2.1. MUESTRA NO PROBABILÍSTICA	50
	3.2.2. MUESTRAS INTENCIONADAS	51
3.	3. TÉCNICAS E INSTRUMENTOS DE RECOLECCIÓN DE DATOS	52
	3.3.1. PARA RECOLECCIÓN DE DATOS	52
	3.3.2. PARA LA PRESENTACIÓN DE DATOS	52
	3.3.3. PARA LA PRESENTACIÓN DE DATOS	53

CAPITULO IV
RESULTADOS54
4.1. PROCESAMIENTO DE DATOS
4.1.1. RESULTADOS DEL PORCENTAJE OPTIMO 54
4.1.2. RESULTADOS DE LA TÉCNICA DEL REVESTIMIENTO DE ACUERDO A LOS ENSAYOS ESTUDIADOS
4.1.3. RESULTADOS DE LA TEMPERATURA DE LAS VIVIENDAS SIN EL MORTERO CON FIBRAS DE AGAVE
4.1.4. RESULTADOS DE LA TEMPERATURA DE LAS VIVIENDAS CON EL MORTERO CON FIBRAS DE AGAVE
4.1.5. COMPARACIÓN DE LOS RESULTADOS DE LA TEMPERATURA DE LAS VIVIENDAS SIN Y CON EL MORTERO CON FIBRAS DE AGAVE
4.2. CONTRASTACIÓN DE HIPÓTESIS Y PRUEBA DE HIPÓTESIS 126
CAPITULO V
DISCUSIÓN
5.1. CONTRASTACIÓN DE LOS RESULTADOS DEL TRABAJO DE INVESTIGACIÓN
CONCLUSIONES
RECOMENDACIONES
REFERENCIAS BIBLIOGRÁFICAS
ANEXOS 146

ÍNDICE DE TABLAS

Tabla 1 Calibración de la caja caliente (hot box) con el triplay 54
Tabla 2 Mediciones de las 3 réplicas de los paneles con 0.5 % porcentaje de fibra de agave
Tabla 3 Mediciones de las 3 réplicas de los paneles con 1.0 % porcentaje de fibra de agave
Tabla 4 Mediciones de las 3 réplicas de los paneles con 1.5 % porcentaje de fibra de agave
Tabla 5 Resumen de los resultados por porcentaje, porcentaje ganador y comparación con la EM. 110
Tabla 6 Resultados del ensayo de Fisuración 67
Tabla 7 Resultados del ensayo de adherencia con cinta
Tabla 8 Resultados del ensayo de erosión por agua72
Tabla 9 Resultados del ensayo de erosión abrasiva74
Tabla 10 Resultados del ensayo de Capilaridad77
Tabla 11 Resultados de la Vivienda 1 sin tarrajear con el mortero con fibras de Agave
Tabla 12 Resultados de la Vivienda 2 sin tarrajear con el mortero con fibras de Agave
Tabla 13 Resultados de la Vivienda 3 sin tarrajear con el mortero con fibras de Agave
Tabla 14 Resultados de la Vivienda 4 sin tarrajear con el mortero con fibras de Agave
Tabla 15 Resultados de la Vivienda 1 tarrajeada con el mortero con fibras de Agave
Tabla 16 Resultados de la Vivienda 2 tarrajeada con el mortero con fibras de Agave

Tabla 17 Resultados de la Vivienda 3 tarrajeada con el mortero con fibras de Agave
Tabla 18 Resultados de la Vivienda 4 tarrajeada con el mortero con fibras de Agave
Tabla 19 Comparación de las temperaturas de la Vivienda 1 con y sin el tarrajeo con fibras de Agave
Tabla 20 Comparación de las temperaturas de la Vivienda 2 con y sin el tarrajeo con fibras de Agave
Tabla 21 Comparación de las temperaturas de la Vivienda 3 con y sin el tarrajeo con fibras de Agave
Tabla 22 Comparación de las temperaturas de la Vivienda 4 con y sin el tarrajeo con fibras de Agave
Tabla 23 Descriptivos globales de ΔT (Post–Pre)
Tabla 24 Pruebas para la Hipótesis General (global, 36 pares) 126
Tabla 25 Conductividad térmica (k) por dosificación de fibra 127
Tabla 26 Tendencia estadística de k vs % de fibra 127
Tabla 27 Mejora relativa de k respecto a barro+paja (k=0.09) 127
Tabla 28 Adherencia (ASTM D3359 codificada)
Tabla 29 Erosión por agua (% pérdida de masa)
Tabla 30 Erosión abrasiva (pérdida de espesor, mm)
Tabla 31 Capilaridad (ganancia de masa, g)
Tabla 32 Resumen inferencial
Tabla 33 Normalidad de las diferencias (Post-Pre) por vivienda y global . 130
Tabla 34 Pruebas pareadas por vivienda y global (temperatura interior) 130

ÍNDICE DE FIGURAS

Figura 1 Cabuya (Agave)	37
Figura 2 Maguey y sus partes	. 38
Figura 3 Elaboración de adobe	. 39
Figura 4 Revoque de tierra	. 39
Figura 5 Mortero con fibras de Agave	. 40
Figura 6 Conductividad térmica	. 41
Figura 7 Resistencia térmica	. 41
Figura 8 Diferencia entre resistencia, integridad y aislamiento	. 43
Figura 9 Placas con fibras naturales	. 44
Figura 10 Tamices para la granulometría	. 45
Figura 11 Conductividad térmica "k" - Paneles 0.5%	. 56
Figura 12 Resistencia térmica "R" - Paneles 0.5%	. 57
Figura 13 Conductividad térmica "k" - Paneles 1.0%	. 59
Figura 14 Resistencia "R" - Paneles 1.0%	. 60
Figura 15 Conductividad térmica k - Paneles 1.5%	. 62
Figura 16 Resistencia térmica R - Paneles 1.5%	. 63
Figura 17 Conductividad térmica promedio vs % de fibra	. 65
Figura 18 Diferencia de temperatura (ΔT) vs % de fibra	. 66
Figura 19 Número de fisuras por muestra	. 68
Figura 20 Adherencia por muestra - Clasificación ASTM D3359 (0-5)	. 70
Figura 21 Desprendimiento superficial (%) - Rango estimado	71
Figura 22 Pérdida de masa (%) por muestra	73
Figura 23 Erosión abrasiva - Diferencia de pesos por muestra	. 75
Figura 24 Erosión abrasiva - Pérdida de espesor por muestra	. 76
Figura 25 Capilaridad - Ganancia de masa por muestra	. 78
Figura 26 V1 sin tarrajeo - Temperatura interior	. 80
Figura 27 V1 sin tarrajeo - Temp. Superficie Interior	. 81
Figura 28 V1 sin tarrajeo - Temp. Superficie Exterior	. 82
Figura 29 V2 sin tarrajeo - Temperatura Interior	. 84
Figura 30 V2 sin tarrajeo - Temp. Superficie Interior	. 85
Figura 31 V2 sin tarrajeo - Temp. Superficie Exterior	. 86
Figura 32 V3 sin tarrajeo - Temperatura Interior	88

Figura 33 V3 sin tarrajeo - Temp. Superficie Interior	. 89
Figura 34 V3 sin tarrajeo - Temp. Superficie Exterior	. 90
Figura 35 V4 sin tarrajeo - Temperatura Interior	. 92
Figura 36 V4 sin tarrajeo - Temp. Superficie Interior	. 93
Figura 37 V4 sin tarrajeo - Temp. Superficie Exterior	. 94
Figura 38 V1 TARRAJEADA - Temperatura Interior	. 96
Figura 39 V1 TARRAJEADA - Temp. Superficie Interior	. 97
Figura 40 V1 TARRAJEADA - Temp. Superficie Exterior	. 98
Figura 41 V2 TARRAJEADA - Temperatura Interior	100
Figura 42 V2 TARRAJEADA - Temp. Superficie Interior	101
Figura 43 V2 TARRAJEADA - Temp. Superficie Exterior	102
Figura 44 V3 TARRAJEADA - Temperatura Interior	104
Figura 45 V3 TARRAJEADA - Temp. Superficie Interior	105
Figura 46 V3 TARRAJEADA - Temp. Superficie Exterior	106
Figura 47 V4 TARRAJEADA - Temperatura Interior	108
Figura 48 V4 TARRAJEADA - Temp. Superficie Interior	109
Figura 49 V4 TARRAJEADA - Temp. Superficie Exterior	110
Figura 50 Temperatura Interior Vivienda 1 (°C) - VSF vs VCF	112
Figura 51 Temp. Superficie Interior Vivienda 1(°C) – VSF vs VCF	113
Figura 52 Temp. Superficie Exterior Vivienda 1 (°C) – VSF vs VCF	114
Figura 53 Temperatura Interior Vivienda 2 (°C) – VSF vs VCF	115
Figura 54 Temp. Superficie Interior Vivienda 2 (°C) – VSF vs VCF	116
Figura 55 Temp. Superficie Exterior Vivienda 2 (°C) – VSF vs VCF	117
Figura 56 Temperatura Interior Vivienda 3 (°C) – VSF vs VCF	119
Figura 57 Temp. Superficie Interior Vivienda 3 (°C) – VSF vs VCF	120
Figura 58 Temp. Superficie Exterior Vivienda 3 (°C) – VSF vs VCF	121
Figura 59 Temperatura Interior Vivienda 4 (°C) – VSF vs VCF	123
Figura 60 Temp. Superficie Interior Vivienda 4 (°C) – VSF vs VCF	124
Figura 61 Temp. Superficie Exterior Vivienda 4 (°C) – VSF vs VCF	125
Figura 62 Plano de ubicación	147

ÍNDICE DE FOTOGRAFÍAS

Fotografía 1 Ubicación del CC. PP de Nauyan Rondos 147
Fotografía 2 Vivienda analizada de acuerdo a la E. 080
Fotografía 3 Vivienda analizada de acuerdo a la E. 080 147
Fotografía 4 Vivienda analizada de acuerdo a la E. 080 147
Fotografía 5 Vivienda analizada de acuerdo a la E. 080 147
Fotografía 6 Vivienda analizada de acuerdo a la E. 080 147
Fotografía 7 Vivienda analizada de acuerdo a la E. 080 147
Fotografía 8 Vivienda analizada de acuerdo a la E. 080 147
Fotografía 9 Vivienda analizada de acuerdo a la E. 080 147
Fotografía 10 Vivienda analizada de acuerdo a la E. 080 147
Fotografía 11 Estudio de mecánica de suelos C-1147
Fotografía 12 Estudio de mecánica de suelos C-2147
Fotografía 13 Estudio de mecánica de suelos en el laboratorio 147
Fotografía 14 Estudio de mecánica de suelos en el laboratorio 147
Fotografía 15 Estudio de mecánica de suelos en el laboratorio 147
Fotografía 16 Firma y aceptación por parte de los dueños de las viviendas
Fotografía 17 Firma y aceptación por parte de los dueños de las viviendas
Fotografía 18 Firma y aceptación por parte de los dueños de las viviendas
Fotografía 19 Recolección de la Cabuya (Agave)147
Fotografía 20 Traslado de la Cabuya (Agave)
Fotografía 21 Extracción de la fibra de la Cabuva (Agave)

Fotografía 22 Fibra de (Agave)147
Fotografía 23 Traslado del adobe y demás materiales a la localidad 147
Fotografía 24 Construcción de la vivienda
Fotografía 25 Vivienda construida en la localidad
Fotografía 26 Proceso del corte de las fibras de Agave 147
Fotografía 27 Elaboración del mortero con fibras de Agave
Fotografía 28 Mortero con 0.5% de fibras de Agave 147
Fotografía 29 Mortero con 1.0% de fibras de Agave 147
Fotografía 30 Mortero con 1.5% de fibras de Agave 147
Fotografía 31 Las 9 muestras con los diferentes porcentajes 147
Fotografía 32 Elaboración de la Hot Box (caja caliente)- lado caliente 147
Fotografía 33 Elaboración de la Hot Box (caja caliente) - lado frío 147
Fotografía 34 Elaboración de la Hot Box (caja caliente)
Fotografía 35 Elaboración de la Hot Box (caja caliente)
Fotografía 36 Elaboración de la Hot Box (caja caliente)
Fotografía 37 Evaluación del porcentaje más óptimo
Fotografía 38 Evaluación del porcentaje más óptimo 147
Fotografía 39 Elaboración de las muestras para los ensayos
Fotografía 40 Elaboración de las muestras para los ensayos
Fotografía 41 Muestras para los ensayos
Fotografía 42 Resultado del ensayo de fisuración M1-SF 147
Fotografía 43 Resultado del ensayo de fisuración M2-SF
Fotografía 44 Resultado del ensayo de fisuración M1-CF 147
Fotografía 45 Resultado del ensavo de fisuración M2-CF

Fotografía 46 Resultado del ensayo de adherencia con cinta M1-SF 147
Fotografía 47 Resultado del ensayo de adherencia con cinta M2-SF 147
Fotografía 48 Resultado del ensayo de adherencia con cinta M1-CF 147
Fotografía 49 Resultado del ensayo de adherencia con cinta M2-CF 147
Fotografía 50 Resultado del ensayo de erosión por lluvia M1-SF 147
Fotografía 51 Resultado del ensayo de erosión por lluvia M2-SF 147
Fotografía 52 Resultado del ensayo de erosión por lluvia M1-CF 147
Fotografía 53 Resultado del ensayo de erosión por lluvia M2-CF 147
Fotografía 54 Resultado del ensayo de erosión por abrasión M1y M2-SF 147
Fotografía 55 Resultado del ensayo de erosión por abrasión M1y M2-CF 147
Fotografía 56 Resultado del ensayo de capilaridad M1, M2, M3 y M4-CF 147
Fotografía 57 Resultado del ensayo de capilaridad M1, M2, M3 y M4-CF 147
Fotografía 58 Toma de temperatura antes del tarrajeo vivienda 1 147
Fotografía 59 Toma de temperatura antes del tarrajeo vivienda 2 147
Fotografía 60 Toma de temperatura antes del tarrajeo vivienda 3 147
Fotografía 61 Toma de temperatura antes del tarrajeo vivienda 4 147
Fotografía 62 Toma de temperatura antes del tarrajeo
Fotografía 63 Corte de las fibras de Agave para el tarrajeo
Fotografía 64 Realización del mortero para el tarrajeo
Fotografía 65 Mortero con fibras de Agave en los muros de las viviendas 147
Fotografía 66 Revoque de los muros de la vivienda 1 con el mortero con fibras de Agave
Fotografía 67 Revoque de los muros de la vivienda con el mortero con fibras de Agave
Fotografía 68 Toma de temperatura después del tarrajeo vivienda 1 147

Fotografía 69 Toma de temperatura después del tarrajeo vivienda 2 147
Fotografía 70 Toma de temperatura después del tarrajeo vivienda 3 147
Fotografía 71 Toma de temperatura después del tarrajeo vivienda 4 147
Fotografía 72 Toma de temperatura después del tarrajeo147

RESUMEN

La presente investigación tuvo como objetivo evaluar el efecto de la aplicación de un mortero con fibras de agave sobre el aislamiento térmico en las viviendas del Centro Poblado de Nauyan Rondos en Huánuco. Para ello, se fabricaron placas con 0.5%, 1.0% y 1.5% de fibra y se ensayó con la Caja Caliente (Hot Box), siguiendo la metodología ASTM C1363-19. Además, se evaluó la fisuración, la adherencia (ASTM D3359), la erosión por agua, la erosión abrasiva y la capilaridad, y luego se midieron las temperaturas del interior, del exterior y de la superficie interior y exterior de las viviendas, antes y después del tarrajeo con el mortero que contenía fibras.

Los resultados arrojaron que la conductividad térmica promedio disminuyó con el 1.5% de fibra, teniendo como resultado 0.0805, 0.0746 y 0.0715 W/m·K, siendo este porcentaje el más óptimo, con 20.6% menos que la conductividad térmica del barro+paja (0.09 W/m·K). Las muestras de 1.5% mostraron una resistencia térmica de 0.3423–0.3573 m²·K/W. En durabilidad, las muestras con fibras de Agave presentaron 0 fisuras, adherencia 4B (vs 1B–0B), pérdidas por erosión por agua de 0.02–0.17% (vs 0.59–0.78%), desgaste abrasivo de 2–4 mm (vs 7–9 mm) y menor succión capilar que las sin fibras de Agave.

En conclusión, el mortero con 1.5% de fibra de Agave mejoró el aislamiento térmico y la durabilidad del revestimiento, elevando el confort térmico en viviendas de adobe. En las viviendas, el tarrajeo elevó el ΔT interior y exterior en las madrugadas y en las mañanas, y también moderó el pico de las 14:00.

Palabras clave: mortero, agave, adobe, conductividad térmica, adherencia, aislamiento térmico.

ABSTRACT

This study aimed to evaluate the effect of applying an agave-fiber–reinforced mortar on the thermal insulation of adobe houses in the rural center of Nauyan Rondos, Huánuco. Panels with 0.5%, 1.0%, and 1.5% fiber were fabricated and tested with a Hot Box apparatus following ASTM C1363-19. Durability was assessed through cracking, adhesion (ASTM D3359), water erosion, abrasive erosion, and capillary absorption. Subsequently, indoor air temperature, outdoor air temperature, and interior/exterior surface temperatures of the dwellings were measured before and after rendering with the fiber-containing mortar.

Results showed that average thermal conductivity decreased at 1.5% fiber, obtaining 0.0805, 0.0746, and 0.0715 W/m·K, with this percentage being the most optimal—20.6% lower than mud + straw (0.09 W/m·K). The 1.5% specimens exhibited a thermal resistance of 0.3423–0.3573 m²·K/W. In terms of durability, the agave-fiber mixes showed zero cracking, adhesion of 4B (vs. 1B–0B), water-erosion mass loss of 0.02–0.17% (vs. 0.59–0.78%), abrasive wear of 2–4 mm (vs. 7–9 mm), and lower capillary suction than mixes without agave fiber.

In conclusion, the 1.5% agave-fiber mortar improved both the thermal insulation and durability of the render, enhancing thermal comfort in adobe housing. In the field measurements, the render increased the interior–exterior ΔT during early morning hours and moderated the 14:00 peak.

Keywords: mortar, agave, adobe, thermal conductivity, adhesion, thermal insulation.

INTRODUCCIÓN

Las condiciones climáticas extremas en las zonas altoandinas del Perú, se caracterizan por bajas temperaturas y fenómenos como heladas y friajes, representan un desafío significativo para el confort y la salud de sus habitantes. En el CC.PP. Nauyan Rondos, una localidad afectada por estas condiciones, gran parte de las viviendas están construidas con adobe, un material tradicional que, si bien es cierto posee cierta inercia térmica, resulta insuficiente para garantizar un aislamiento térmico adecuado. Esta deficiencia constructiva contribuye a ambientes interiores fríos, aumentando la vulnerabilidad de la población a enfermedades y afectado su calidad de vida.

Frente a este escenario, el uso de materiales naturales locales y técnicas de bajo costo cobra relevancia. La fibra de Agave, que es abundante en la localidad, ofrece reducir la conductividad térmica y aumentar la resistencia térmica. Se han explorado el uso de fibras y zumo de Agave en la fabricación de adobe, pero existe un vacío en el estudio de la aplicación como mortero de revestimiento o revoque para mejorar el aislamiento térmico en muros de adobe.

Esta investigación se justifica en su potencia de aporte teórico al conocimiento sobre las propiedades termo-físicas de morteros de tierra con fibras de agave. Por lo tanto, esta investigación evaluó el efecto de la aplicación de un mortero con fibras de Agave sobre el aislamiento térmico en viviendas de adobe.

En este estudio, se analizó cuatro viviendas en condiciones climáticas locales, por un ciclo de 24 h, las muestras en laboratorio aportan robustez. El aporte radica en integrar la evolución térmica y pruebas de durabilidad con una solución viable y replicable para la mejora de viviendas de adobe en zonas altoandinas.

CAPITULO I PROBLEMA DE INVESTIGACIÓN

1.1. DESCRIPCIÓN DE PROBLEMA

En Bolivia, las viviendas en regiones altoandinas enfrentan desafíos significativos relacionados con el confort térmico debido a las condiciones climáticas extremas. Según un estudio realizado en La Paz, El área andina presenta un clima de tipo árido-frío, con importantes oscilaciones en la temperatura diaria, alcanzando un valor máximo medio de 15°C al mediodía en época invernal y un valor de -5.7°C en horario nocturno durante el mismo mes, registrándose inclusive temperaturas mínimas extremas de -10°C. estas condiciones climáticas adversad ponen en evidencia la necesidad de mejorar las técnicas constructivas y los materiales utilizados en las viviendas para garantizar un adecuado confort térmico para sus habitantes (Arciénega y Maristany, 2019).

En el Perú, las poblaciones que viven en las zonas rurales de las regiones altoandinas sufren cada año el friaje, término que describe la repentina disminución de la temperatura que provoca la muerte de las personas más frágiles y de los animales como las alpacas que constituyen el principal recurso económico local (Barnet y Jabrane, 2015).

Las heladas y friajes son fenómenos climáticos presentes en diversas zonas del Perú que se encuentran con envolventes de viviendas no adecuadas para conservar condiciones de confort y eficiencia energéticas de un espacio climatizado (Chea, 2022).

Las condiciones climáticas en Perú pueden se extremas en varios de estos lugares, tanto por la ubicación geográfica como por la altitud topográfica, a pesar de estas condiciones geográficas y climáticas extremas, las casas se construyen con sistemas de construcción convencionales. Cada año, las personas que viven en las áreas altas andinas se enferman o incluso mueren debido al viento frio y las heladas (Resano, Rodríguez y Guillen, 2021).

El adobe por sí solo puede no ser suficiente como aislante térmico efectivo en climas fríos, pero al añadir fibras naturales, se mejoran significativamente su capacidad para aislar térmicamente (Ige y Danso, 2020).

Las prácticas constructivas típicas en estas regiones no incluyen el uso de equipos de aire acondicionado o criterios energéticos en el diseño de edificios. Como consecuencia, las viviendas se comportan fuera de los rangos de temperatura de confort la mayor parte del año (Ordoñez, 2019).

Analizaron las propiedades aislantes térmicas de fibras sueltas de agave y paja de trigo, y tableros híbridos de agave/paja de trigo. Encontraron que las fibras de agave tienen una conductividad térmica promedio de 0.043592 W/m.K, lo que las hace adecuadas como materiales aislantes en construcciones (Ali, 2020).

El Agave deserti muestra una alta sensibilidad a los cambios de temperatura del aire, y su tamaño pequeño puede resultar en temperaturas mínimas más altas en las hojas, lo que puede explicar su supervivencia en sitios fríos (Woodhouse, 1983).

El Agave americana presenta una alta eficiencia en el uso del agua, lo que le permite sobrevivir en condiciones áridas y frías. Los estudios muestran que el Agave americana tiene un potencial como cultivo bioenergético con requisitos de riego significativamente reducidos en comparación con cultivos convencionales en el suroeste de EE.UU. (Davis, 2015).

Realizaron un análisis térmico del bagazo de agave, encontrando que la degradación térmica presenta dos etapas principales: liberación de humedad y compuestos volátiles orgánicos. Estos resultados sugieren que el bagazo de Agave tiene estabilidad térmica hasta 215°C (Liñán, 2014).

1.2. FORMULACIÓN DEL PROBLEMA

1.2.1. PROBLEMA GENERAL

¿Cuál es el efecto de la aplicación de un mortero con fibras de agave sobre el aislamiento térmico en viviendas del CC. PP Nauyan Rondos-Huánuco, Perú-2025?

1.2.2. PROBLEMAS ESPECÍFICOS

PE1: ¿Cuál es la proporción óptima de fibras de agave en el mortero para maximizar su capacidad de aislamiento térmico?

PE2: ¿Qué efecto tiene la técnica de revestimiento de adobe utilizada en la durabilidad del mortero de tierra con fibras de agave y en la protección del muro de adobe frente a la humedad y la erosión, considerando los criterios de la Norma E.080 sobre mantenimiento y protección de edificaciones de tierra?

PE3: ¿Cuál es la variación térmica en el interior de la vivienda antes y después de aplicar el mortero con fibras de agave?

1.3. OBJETIVOS

1.3.1. OBJETIVO GENERAL

Evaluar el efecto de la aplicación de un mortero con fibras de agave sobre el aislamiento térmico en viviendas del CC. PP Nauyan Rondos-Huánuco, Perú-2025.

1.3.2. OBJETIVOS ESPECÍFICOS

OE1: Determinar la proporción óptima de fibras de agave en el mortero para maximizar su capacidad de aislamiento térmico.

OE2: Evaluar el efecto de la técnica de revestimiento de adobe utilizada en la durabilidad del mortero de tierra con fibras de agave y en la protección del muro de adobe frente a la humedad y la erosión, considerando los criterios de la Norma E.080 sobre mantenimiento y protección de edificaciones de tierra.

OE3: Medir y comparar la variación térmica en el interior de la vivienda antes y después de aplicar el mortero con fibras de agave.

1.4. JUSTIFICACIÓN DE LA INVESTIGACIÓN

1.4.1. JUSTIFICACIÓN TEÓRICA

La incorporación de fibras de Agave en el mortero de tierra como aislante térmico en los muros de las viviendas se fundamenta en principios de física térmica y materiales sostenibles. El agave, por sus propiedades termo físicas, actúa como una barrea contra la transferencia de calor, ayudando a mantener temperaturas más estables en el interior de las viviendas. Esta intervención es crucial en zonas altoandinas, donde las temperaturas extremas pueden afectar significativamente la salud y el bienestar de los pobladores. Además, el uso de materiales naturales y locales, como el Agave, promueve prácticas de construcción sostenibles y accesibles para comunidades de escasos recursos.

1.4.2. JUSTIFICACIÓN METODOLÓGICA

La justificación metodológica para la incorporación de fibras de Agave en el mortero de tierra como aislante térmico en las viviendas del CC. PP Nauyan Rondos se basa en el uso de métodos cuantitativos y experimentales. La medición de variables antes y después de la intervención permite evaluar objetivamente la efectividad del material aislante. El diseño experimental con grupos de control y pretest-protest asegura la validez interna del estudio. Además, el enfoque cuantitativo permite analizar datos numéricos precisos, como temperaturas y costos energéticos, proporcionando resultados concretos y verificables. Este enfoque metodológico es adecuado para determinar la eficiencia y viabilidad del uso del agave en aislamiento térmico, garantizando resultados sólidos y aplicables en contextos similares.

1.4.3. JUSTIFICACIÓN PRÁCTICA

La justificación práctica de la incorporación de fibras de agave en el mortero de tierra como aislante térmico en las viviendas del CC. PP Nauyan Rondos radica en los múltiples beneficios tangibles que esta intervención ofrece a la comunidad. En primer lugar, la reducción de temperaturas frías en los muros internos mejorara significativamente el confort térmico de los hogares, proporcionando un ambiente más cálido y saludable para los residentes, lo que puede disminuir la incidencia de enfermedades respiratorias y otros problemas de salud relacionados con el frío.

La utilización de agave, un recurso natural y local, también fomenta la sostenibilidad y la economía local, proporcionando una solución accesible y ecológica.

Por último, esta iniciativa puede servir como modelo replicable para otras comunidades en zonas altoandinas con condiciones climáticas similares, promoviendo prácticas de construcción sostenible y mejorando la calidad de vida de más personas en áreas rurales del Perú.

1.5. LIMITACIONES DE LA INVESTIGACIÓN

La investigación podría enfrentar limitaciones relacionadas con las fluctuaciones climáticas, pueden afectar los resultados, ya que las temperaturas pueden varias considerablemente de un año a otro, la disponibilidad y accesibilidad de los materiales de construcción, así como la aceptación y colaboración de los habitantes del CC. PP Nauyan Rondos para participar en el estudio y permitir la incorporación de este mortero de tierra compuesta con fibras de agave en sus viviendas.

1.6. VIABILIDAD DE LA INVESTIGACIÓN

Se podrá hacer cada investigación requerida, ya que contamos con:

RECURSOS TEÓRICOS: La revisión actual tiene una adecuada admisión de datos públicos y globales en la web, revistas, libros, etc.

RECURSOS HUMANOS: Para la futura realización de este estudio, se dispondrá de personal calificado de apoyo y de expertos en el tema de la investigación.

RECURSOS ECONÓMICOS: La revisión es monetariamente alcanzable a la luz del hecho de que la extensión del examen no necesita una financiación enorme que restrinja la investigación del tema presentado, también se dispone de los materiales a utilizar y los servicios básicos necesarios para realizar el apoyo.

CAPITULO II MARCO TEÓRICO

2.1. ANTECEDENTES DE LA INVESTIGACIÓN

2.1.1. ANTECEDENTES INTERNACIONALES

Espinoza (2022), en su trabajo de investigación "Elaboración de placas de aislamiento térmico a partir de fibra de coco empleando ácido poliláctico (PLA) como aglutinante". Artículo. Presentada a la Universidad de Costa Rica, tuvo como objetivo principal crear placas aislantes térmicas utilizando fibra de coco y ácido poliláctico (PLA) como aglutinante. El propósito es ofrecer una solución sostenible para el manejo de residuos de cáscara de coco, mejorando la eficiencia térmica de las viviendas y utilizando un recurso natural disponible localmente; el tipo de metodología es experimental, con enfoque cuantitativo y diseño factorial; el resultado de este estudio reveló que las láminas de fibra de coco, tanto tratadas como sin tratar, tienen distintas conductividades térmicas, destacándose que las fibras sin tratar tienen la conductividad más baja. Adicionalmente, las placas que fueron reforzadas con PLA mostraron una alta resistencia a la tracción, con valores alcanzando hasta 290,33 ± 48,73 N, llegando así a la conclusión que las fibras de coco no tratadas son las más adecuadas para producir aislantes térmicos eficientes debido a su baja conductividad térmica. Asimismo, la incorporación de PLA como aglutinante es esencial para mejorar las propiedades mecánicas de las placas, incrementado su resistencia y durabilidad.

Calderón (2019), en su trabajo de investigación "Evaluación del mejoramiento del confort térmico con la incorporación de materiales sostenibles en viviendas en autoconstrucción en Bosa, Bogotá". Articulo. Presentada a la Universidad de La Salle, Colombia; tuvo como objetivo central analizar el impacto de la utilización de materiales sostenibles en la mejora del confort térmico de las viviendas autoconstruidas en el barrio San José de Bosa, Bogotá, y como estos materiales afectan la

temperatura interna de dichas viviendas; el tipo de investigación es aplicada y cuasi-experimental, con enfoque cuantitativo y diseño estudio de caso; el análisis de los resultados mostró que, con la incorporación de materiales sostenibles, la temperatura interna de las viviendas aumentó significativamente. La diferencia de temperatura entre el interior y el exterior se incrementó en 6 grados, alcanzando una temperatura media interna de 13 grados durante la madrugada, la conclusión del estudio reveló que las viviendas autoconstruidas tenían deficiencias debido al uso de materiales temporales. A pesar de que mejoró el confort térmico a optimizar la cubierta con materiales sostenibles, no fue posible optimizar otros elementos constructivos por restricciones de tiempo y presupuesto.

Lozano y Rojas (2019), su trabajo de investigación "Elaboración de paneles termoaislantes para cubierta a partir de fibras de bagazo de la caña de azúcar". Tesis. Presentada a la Universidad La Gran Colombia; el objetivo principal fue crear un prototipo de panel termoaislantes para cubiertas, utilizando fibras de bagazo de caña de azúcar. Se buscó demostrar la eficacia y las propiedades aislante térmicas de este material, con el objetivo de proporcionar una alternativa sostenible y eficiente para el aislamiento térmico en construcciones; el tipo de investigación es experimental y descriptivo, las pruebas de laboratorio dieron como resultado que los paneles hechos con fibra de bagazo de caña de azúcar son efectivos como materiales aislantes, debido a su conductividad térmica adecuada. La mezcla ideal de los componentes consistió en proporciones específicas de cemento, bagazo y melaza, logrando un equilibrio entre la resistencia y la capacidad aislante; concluyendo que los paneles termoaislantes fabricados con fibras de bagazo de caña de azúcar son materiales de construcción sostenibles y efectivos. La conclusión del estudio reveló que estos paneles proporcionan un buen aislamiento térmico y ayudan a reducir el impacto ambiental al reutilizar residuos agrícolas. La inclusión de melaza como aditivo mejoró las propiedades mecánicas y térmicas de los paneles.

2.1.2. ANTECEDENTES NACIONALES

Chea (2022) su trabajo de investigación "Estudio de la fibra de ichu incorporada como aislante térmico a un sistema de construcción en seco para su uso en envolventes de viviendas rurales ubicadas en zonas climáticas frías del Perú". Tesis. Presentada a la Pontificia Universidad Católica del Perú; el objetivo principal de esta investigación fue evaluar el uso de fibra de ichu como aislante térmico en sistemas de construcción en seco, específicamente con placas de fibrocemento, para mejorar la eficiencia térmica de las envolventes de viviendas en regiones frías del Perú; el tipo de metodología es aplicada y experimental, con enfoque cuantitativo, diseño experimental y comparativo; las mediciones en laboratorio dieron como resultado que los paneles hechos de fibrocemento y fibra de ichu tienen una conductividad térmica promedio de 0.1078 W/m.K. Este resultado se contrastó con el obtenido de paneles aislados con lana de vidrio, cuya conductividad térmica promedio fue de 0.0848 W/m.K; el estudio concluyó que, ajustando el espesor del relleno de paneles de fibra de ichu pueden alcanzar una resistencia térmica similar a la de los paneles de lana de vidrio. Esta equivalencia funcional se fundamenta en la teoría de la transferencia de calor y a la ley de Fourier.

Cotrina (2019) su trabajo de investigación "Panel a base de hoja de cabuya (Agave americana L.) para aislante térmico en época de heladas en las zonas alto andinas del Perú, 2019". Tesis. Presentada para la Universidad César Vallejo; el objetivo principal de este estudio fue analizar la eficacia de los paneles hechos con hoja de cabuya como aislante térmico. Se examinan las propiedades físicas y químicas de este material para mejorar la temperatura interna y el confort térmico de las viviendas en las regiones alto andinas del Perú durante las heladas; el tipo de metodología es aplicada, con enfoque cuantitativo, diseño experimental de tipo pre-experimental; los resultados indicaron que los paneles hechos de hoja de cabuya tienen una conductividad térmica de 0.03 W/m.K y una resistencia térmica de 1.42 m2.K/W, lo que los convierte en eficientes aislantes térmicos. Las pruebas incluyeron la

mezcla y compactación de muestras, secado y análisis de parámetros físicos y químicos, confirmando la efectividad del material para mejorar el confort térmico y su aplicabilidad social, la conclusión principal del estudio fue que los paneles hechos con hoja de cabuya y cascara de pecana son eficientes aislantes térmicos. Este material es adecuado para zonas afectadas por heladas, ofreciendo una solución sostenible y mejorando el confort térmico en las viviendas.

Mamani y Remachi (2022), su trabajo de investigación "Mejora de la eficiencia del muro trombe con cobertura de muros laterales con láminas EPS en viviendas de adobe de la ciudad Puno 2022". Tesis. Presentada a la Universidad Continental; el objetivo general de esta investigación fue evaluar la eficiencia de un sistema de calefacción pasiva con muros Trombe y láminas de EPS en viviendas de adobe para mejorar el confort térmico en la región de Huánuco; el tipo de metodología es aplicada, con enfoque cuantitativo, diseño experimental, los resultados mostraron que la implementación del muro Trombe y las láminas de EPS mejoraron significativamente el confort térmico en las viviendas de adobe. Las temperaturas interiores se mantuvieron más estables y dentro de rangos más confortables en comparación con las viviendas sin estas modificaciones. Específicamente, se observó una disminución en la variabilidad de la temperatura interior y una reducción en la necesidad de utilizar sistemas de calefacción adicionales, se concluyó que el uso de muro Trombe combinado con láminas de EPS es una solución eficiente para mejorar el confort térmico en viviendas de adobe en la región de Huánuco. Este sistema no solo mejoró las condiciones de habitabilidad, sino que también demostró ser una opción sostenible y de bajo costo para las comunidades locales. La investigación resaltó la importancia de implementar tecnologías pasivas de calefacción en regiones con climas extremos para mejorar la calidad de vida de los habitantes.

2.1.3. ANTECEDENTES LOCALES

Fretel (2022), su trabajo de investigación "Evaluación del uso del Ichu (Stipa Ichu) en la bioconstrucción y su influencia en el confort

térmico de viviendas de Ayapiteg, Huánuco 2022". Titulo. Presentada por la Universidad Nacional Hermilio Valdizán; el objetivo principal de esta investigación fue evaluar como el uso de Ichu (Stipa Ichu) en la bioconstrucción afecta el confort térmico de las viviendas de Ayapiteg, Huánuco, durante el año 2022; el tipo de metodología es aplicada, con enfoque cuantitativo, diseño cuasi-experimental, los resultados indicaron que la implementación del Ichu en los módulos de bioconstrucción produjo una variación de temperatura interna de 4.93°C en comparación con el exterior, y 2.91°C respecto a otro modulo sin la misma dosificación de Ichu. En términos de humedad, hubo una variación de 8.05% en el módulo con mayor dosificación de Ichu en comparación con el exterior, y de 4,53% respecto al otro modulo. Las diferencias en la dosificación de Ichu también mostraron un impacto significativo en la eficiencia energética y el medio ambiente, la investigación concluyó el uso de Ichu en la construcción de viviendas mejora significativamente el confort térmico interno, tanto en temperatura como la humedad, comparado con las técnicas de construcción convencionales. El Ichu se presenta como opción viable y sostenible para las regiones andinas con climas fríos extremos.

Cueva Ynga (2021),su trabajo de investigación "Aprovechamiento de la fibra y zumo de maguey (Agave Americana) para el mejoramiento de las propiedades físico-mecánicas de la mampostería de adobe tradicional en el Centro Poblado de Pichipampa-Huánuco-2021". Título. Presentada por la Universidad Nacional Hermilio Valdizán; el objetivo principal de esta investigación fue analizar como la fibra y el zumo de maguey influye en las propiedades del adobe tradicional para mejorar su durabilidad y resistencia, incrementando así la vida útil de las viviendas rurales. Fue una investigación aplicada con enfoque cuantitativo, nivel experimental y diseño experimental. Los resultados mostraron que la incorporación de fibra de maguey en un 0.25% incrementó significativamente las resistencias mecánicas, como la comprensión unitaria en un 140.63%, la comprensión en pila en un 139.99% y la tracción indirecta en un 123.22%. Además, el uso de jugo de maguey (20kg/L) mejoró las propiedades físicas, aumentando la resistencia a la succión en un 215.32%, aunque el adobe convencional se desintegró durante las pruebas de absorción. En conclusión, la combinación de fibra y zumo de maguey representa una alternativa sostenible y económica para mejorar la calidad del adobe, ofreciendo una solución viable para las viviendas.

Gómez y Soto (2021), su trabajo de investigación "Propiedades físico-mecánicas del mortero con cáscara de huevo frente a uno convencional, en muros de albañilería, distrito de Pillco Marca-Huánuco 2022". Titulo. Presentada por la Universidad Nacional Hermilio Valdizán; el objetivo principal de esta investigación fue evaluar las propiedades físico-mecánicas de un mortero experimental con adición de cascara de huevo frente a un mortero convencional, determinando su viabilidad en la construcción de muros de albañilería. Fue una investigación aplicada, con enfoque cuantitativo y diseño experimental, que analizó diferentes proporciones de cascara de huevo (5%, 10%, 15% y 20%) en un mortero de dosificación 1:6, comparándolos con un mortero convencional de dosificación 1:4. Los resultados mostraron que el mortero con 10% de cáscara de huevo cumplió con las normas técnicas peruanas y presentó propiedades similares al mortero convencional, además de una reducción en los costos de construcción por el menor uso de cemento. En conclusión, la adición de cáscara de huevo en morteros en viable y económica, manteniendo las propiedades físico-mecánicas necesarias para la construcción de muros de albañilería.

2.2. BASES TEÓRICAS

2.2.1. AISLANTE TÉRMICO

El aislante térmico se define como el uso de materiales con alta resistencia al paso del calor, diseñados para minimizar su transferencia entre las superficies del material. Son fundamentales en la construcción ya que protegen del frio y del calor, favoreciendo la eficiencia energética al reducir el consumo sin afectar el confort. (Palomo, 2017).

2.2.2. AGAVE

Los agaves, también conocidos como magueyes, son plantas perennes adaptadas a climas secos, con gran relevancia en México debido a su importancia cultural, económica y ambiental durante más de 7,000 años. Estas especies, caracterizadas por sus hojas suculentas y su metabolismo CAM que les permite conservar agua en periodos de sequía. Los agaves se han utilizado históricamente para producir alimentos, fibras, materiales de construcción y bebidas tradicionales como el té. (García, 2007).

2.2.3. PROTOTIPO DE ADOBE

El prototipo de vivienda con adobe es una alternativa versátil y adaptable a los recursos disponibles, caracterizándose por su sostenibilidad y respeto al medio ambiente. Su estructura liviana permite su implementación en terreno con baja capacidad de carga, facilitando la construcción. Además, su bajo costo lo convierte en una opción accesible para personas con recursos económicos limitados. (Gándara, 2024).

2.2.4. COMPOSICIÓN DEL MORTERO

El mortero es el resultado de la combinación y transformación de diversos materiales, por lo que la calidad del producto final depende en gran medida las propiedades de sus componentes. Durante su fabricación, la selección de las materias primas es un factor determinante en su desempeño y durabilidad. Entre sus elementos principales se encuentran el ligante, el agregado y en ciertos casos, los aditivos que pueden mejorar sus características. (Ontiveros, 2001).

2.2.5. ESPESOR ÓPTIMO DEL MORTERO

Según el Ministerio de Vivienda, Construcción y Saneamiento, el espesor de los morteros puede variar de 5 mm a 20 mm. Solo para el tipo de muro indicado en la figura, puede utilizarse un espesor de 40 mm según muestra en el aparejo correspondiente. (N.T.E 0.80, p. 19, 2017).

2.2.6. ESPESOR DE REVOQUE

Los morteros aplicados en capas gruesas presentan un comportamiento similar. La red iberoamericana PROTERRA (2003) sugiere espesores de 0.5 a 1 cm para morteros de tierra en muros del mismo material, mientras que el manual de la Pontificia Universidad Católica del Perú (2001) recomienda un espesor de 2 cm. (López, 2017).

2.2.7. EFICIENCIA TÉRMICA

Se refiere a la capacidad de un hogar para utilizar la energía de manera efectiva, minimizando las pérdidas energéticas. Esto se logra mediante la implementación de un buen aislamiento térmico, que incluye mejorar las condiciones de puertas y ventanas, así como utilizar materiales adecuados en techos y paredes. (Ortiz, 2023).

2.2.8. RESISTENCIA TÉRMICA

La resistencia térmica indica la capacidad de un material para oponerse al flujo de calor por conducción. Un mayor valor de resistencia térmica dificulta la transferencia de calor, mejorando así su función como aislante. Este parámetro es el inverso de la conductividad térmica, representada por la letra lambda ($\bar{\lambda}$), y es fundamental en el diseño del aislamiento en edificaciones. Cuanto mayor sea la resistencia térmica, más eficiente será el aislamiento, reduciendo el consumo energético necesario para climatizar el edificio. (PPC Group, 2024).

2.2.9. MANTENIMIENTO DE LA TEMPERATURA

El control de la temperatura en las viviendas durante el invierno es esencial para mantener un ambiente cómodo y saludable. De acuerdo con la Organización Mundial de la Salud, la temperatura mínima recomendada en el hogar durante la temporada invernal no debe ser inferior a los 18 grados Celsius. Para garantizar el bienestar de los ocupantes, se sugiere un rango ideal entre 18 y 24 grados Celsius. (Factor energía, 2024).

2.2.10. VARIACIÓN DE TEMPERATURA

Las fluctuaciones de temperatura reflejan la diferencia entre un valor registrado y una temperatura estándar o promedio de referencia. Cuando estas variaciones son positivas, indican que la temperatura media es superior a la de referencia, mientras que una variación negativa señala que la temperatura registrada es inferior a dicho valor. (Orús, 2025).

2.2.11. FACILIDAD DE IMPLEMENTACIÓN

La facilidad de implementación se refiere a cuan sencillo es instalar los materiales aislantes. Un estudio sobre aislante térmico elaborado con fibras naturales y otros componentes destacó que su instalación fue rápida y económica, logrando una reducción del flujo de calor en un 26%. (Peña y Roman, 2018).

2.2.12. DURABILIDAD DE FIBRAS NATURALES

La durabilidad de fibras naturales está influenciada por el tipo específico y el tratamiento que reciben. Las investigaciones indican que ciertos tratamientos pueden mejorar su resistencia al deterioro causado por factores ambientales y plagas, lo cual es fundamental para su uso como aislantes térmicos. (Chea, 2022).

2.2.13. RESISTENCIA DE FIBRAS NATURALES

La resistencia se refiere a la capacidad mecánica que tienen las fibras naturales para soportar cargas sin romperse. Este aspecto es crucial al considerar su aplicación en construcciones donde se requiere tanto aislamiento térmico como soporte estructural. (Peña y Roman, 2018).

2.2.14. CONFORT TÉRMICO

El confort térmico se refiere a la sensación general de bienestar que experimentan las personas en un espacio cerrado, influenciada por factores como la temperatura del aire, la humedad y la circulación del mismo. Un aislamiento térmico adecuado es clave para lograr un ambiente confortable, ya que ayuda a mantener condiciones óptimas dentro del hogar. Al implementar sistemas eficientes y materiales aislantes, se puede asegurar que los niveles de temperatura y humedad se mantengan dentro de rangos agradables, mejorando así la calidad de vida de los habitantes. (Colque, 2016).

2.2.15. IMPACTO ECONÓMICO DE FIBRAS NATURALES

El impacto económico del uso de fibras naturales como aislantes puede ser positivo a largo plazo; aunque el costo inicial puede ser mayor, los beneficios incluyen menores gastos energéticos y un mantenimiento reducido gracias a su durabilidad y eficiencia. (Peña y Roman, 2018).

2.2.16. NORMA E.080 (DISEÑO Y CONSTRUCCIÓN CON TIERRA REFORZADA)

Es una norma técnica de carácter obligatorio que forma parte del Reglamento Nacional de Edificaciones (RNE) del Perú, esta norma técnica de carácter obligatorio tiene como finalidad principal la especificación de los criterios técnicos y requisitos de calidad para todas las fases de un proyecto de tierra reforzada, como el adobe, abarcando el diseño, la sección de materiales, los métodos constructivos, la supervisión y el mantenimiento. Presta especial atención a la seguridad estructural, con hincapié en el comportamiento sismorresistente, así como la preservación de la durabilidad, exigiendo una protección adecuada contra los efectos de humedad y la erosión por intemperie (Ministerio de Vivienda, Construcción y Saneamiento, 2017).

2.2.17. NORMA EM.110 (CONFORT TÉRMICO Y LUMÍNICO CON EFICIENCIA ENERGÉTICA)

Esta norma técnica del RNE se enfoca en la habitabilidad y el consumo energético, estableciendo las exigencias mínimas que debe satisfacer la envolvente de una edificación (muros, cubiertas, etc.) en el territorio peruano. Su objetivo es garantizar el confort térmo-lumínico de los usuarios y fomentar el uso eficiente de la energía. Para ello, la norma

específica los parámetros límite de desempeño térmico, como la transmitancia térmica máxima (Valor U) y la resistencia térmica mínima (Valor R), que son requeridos para cada zona climática del país. (Ministerio de Vivienda, Construcción y Saneamiento, 2014).

2.2.18. ASTM C1363-19 (MÉTODO DE ENSAYO ESTÁNDAR PARA EL DESEMPEÑO TÉRMICO-CAJA CALIENTE)

Es un método de alta precisión diseñado para evaluar el rendimiento térmico de ensamblajes constructivos. El procedimiento se basa en el uso de un "Aparato de Caja Caliente" (Hot Box), que genera una diferencial de temperatura controlado entre una cámara caliente y un fría, con la muestra de ensayo sirviendo como barrera entre ambas. Mediante la medición del flujo de calor y las temperaturas superficiales y ambientales en un estado estacionario, el método permite calcular con exactitud las propiedades de transmisión de calor, siendo las más relevantes la conductividad térmica (k) y la resistencia térmica (R) (ASTM International, 2024).

2.2.19. ASTM D3359-17 (MÉTODO DE ENSAYO ESTÁNDAR PARA MEDIR LA ADHERENCIA POR PRUEBA DE CINTA)

Este estándar proporciona métodos de campo para valorar la adherencia de un recubrimiento (como un mortero o pintura) a su sustrato. El método más utilizado, Método B, consiste en practicar una serie de cortes entrecruzados como rejillas, que penetren el recubrimiento hasta el sustrato. Posteriormente, se aplica firmemente una cinta adhesiva estandarizada sobre la rejilla y se retira bruscamente. La evaluación es visual y se basa en una escala de clasificación de 0B a 5B, que cuantifica el porcentaje de recubrimiento que se desprende de la cuadrícula, donde 5B representa una adherencia total y 0B un fallo de adherencia casi completo (ASTM International, 2017).

2.2.20. ASTM E514-08 (MÉTODO DE ENSAYO ESTÁNDAR PARA PENETRACIÓN Y FUGA DE AGUA A TRAVÉS DE MAMPOSTERÍA)

Detalla un procedimiento de laboratorio diseñado para evaluar la resistencia de ensamblaje de mampostería (un muro) a la penetración y eventual fuga de agua. El ensayo simula las condiciones de una lluvia intensa impulsada por el viento, para lo cual aplica una película continua de agua sobre la cara exterior del espécimen de muros, mientras al mismo tiempo se ejerce presión de aire estática y uniforme sobre esa misma cara. El propósito de este método no es replicar las complejas y variables condiciones del clima real, sino más bien establecer un procedimiento estandarizado y replicado que permita la comparación de manera objetiva el impacto de variables como los materiales, el diseño del muro, la calidad de la mano de obra, o la efectividad de los recubrimientos para resistir el paso del agua (ASTM International, 2010).

2.2.21. NTP 339.128 (MÉTODO DE ENSAYO PARA EL ANÁLISIS GRANULOMÉTRICO)

Esta Norma Técnica Peruana especifica el procedimiento de ensayo para determinar la distribución granulométrica de un suelo, es decir, la proporción de partículas de diferentes tamaños que lo componen. Se trata de un análisis geotécnico fundamental, pues la textura (proporción de gravas, arenas, limos y arcillas) es la base para la clasificación del suelo. Conocer esta clasificación es indispensable para estimar el comportamiento físico-mecánico del material, incluyendo su permeabilidad, plasticidad y resistencia, lo cual es vital para su uso en proyectos de construcción (Instituto Nacional de Calidad, 1999).

2.2.22. ASTM C136/C136M-14 (MÉTODO DE ENSAYO ESTÁNDAR PARA EL ANÁLISIS GRANULOMÉTRICO DE AGREGADOS FINOS Y GRUESOS)

Es un procedimiento estándar para la caracterización de agregados finos (arena) y gruesos (grava) utilizados en la fabricación de morteros, concreto y otras aplicaciones de ingeniería. El estándar detalla

el proceso de hacer pasar una muestra seca de agregado, de peso conocido, a través de una pila de tamices con mallas de aberturas estandarizadas y decrecientes, generalmente mediante agitación mecánica. El resultado del ensayo es la distribución porcentual de los tamaños de partícula, lo que permite determinar si el agregado cumple con las especificaciones requeridas para su uso (ASTM International, 2020).

2.3. DEFINICIONES CONCEPTUALES

Cabuya

La cabuya es reconocida por su alta resistencia y durabilidad, lo que la hace ideal para mejorar las propiedades mecánicas de materiales de construcción como el adobe, incrementando su resistencia a su resistencia a la compresión y flexión (López, 2019).

Figura 1 Cabuya (Agave)



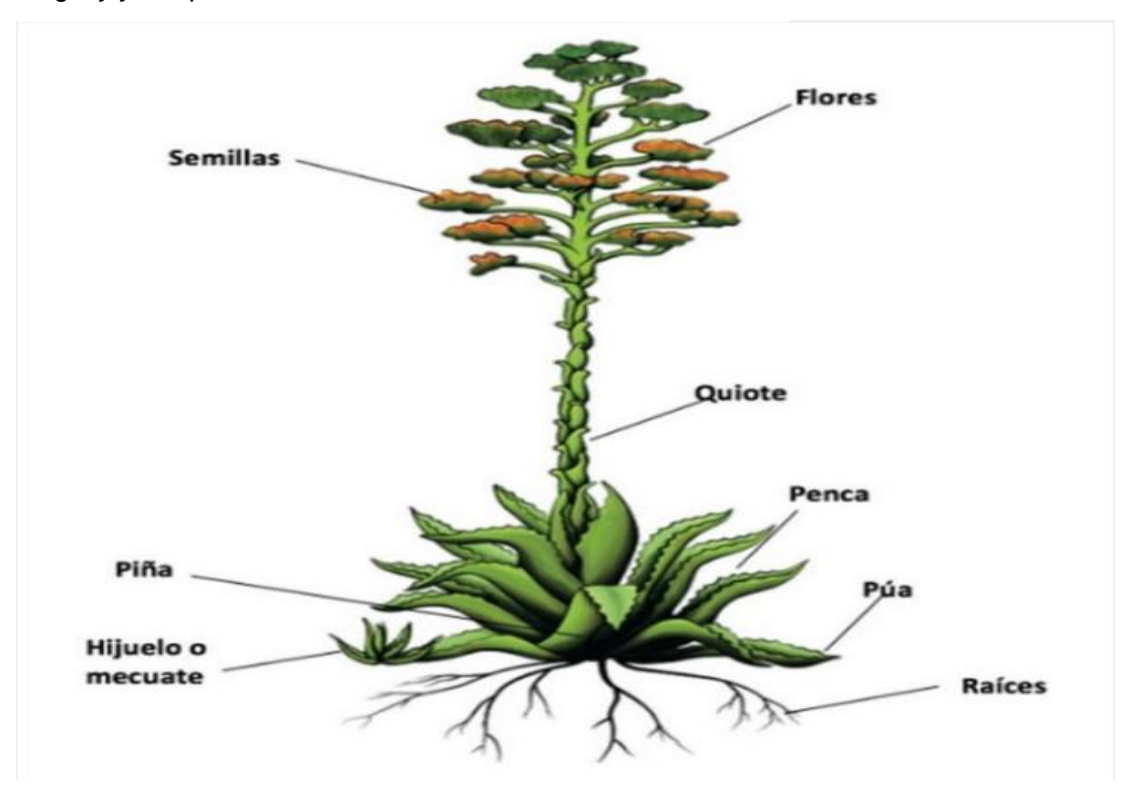
Fuente: Cotrina (2019)

Maguey

El maguey, perteneciente al género Agave, es una planta suculenta que se encuentra principalmente en las regiones áridas de México. Además, las hojas del maguey pueden ser transformadas en materiales aislantes, aprovechando sus propiedades térmicas y su disponibilidad local. Estudios recientes han demostrado que los paneles fabricados con hojas de maguey pueden ofrecer un buen rendimiento como aislantes, representando una opción sostenible para la construcción (Cotrina, 2019).

Figura 2

Maguey y sus partes



Fuente: Pérez (2021)

Adobe

El adobe es un bloque de tierra cruda moldeado y secado al aire, luego asentado con mortero de tierra. Originalmente modelado a mano, su producción evolucionó con moldes, convirtiéndose en una alternativa más económica al ladrillo cocino (Gatti, 2012).

Figura 3

Elaboración de adobe



Fuente: Baraya (2022)

Revoque

El revoque es una capa de mortero hecha con tierra fina, arena y aditivos, aplicada en estado semilíquido sobre muros, tabiques o techos. Su color y textura varían según los paridos y pigmentos empleados. (Gatti, 2012).

Figura 4
Revoque de tierra



Fuente: García (2023)

Mortero

El mortero de tierra utilizado en construcciones patrimoniales se compone de tierra, estabilizantes, aditivos y agua. Posteriormente, su superficie era recubierta con pintura de tierra o materiales de origen natural (López, 2017).

Figura 5

Mortero con fibras de Agave



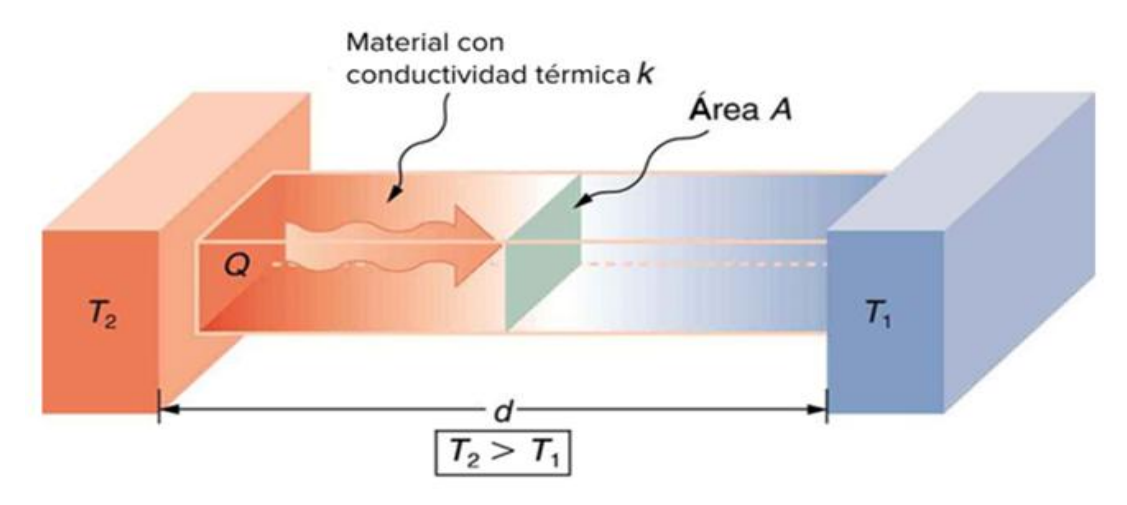
Fuente: Slow Studio (2024)

Conductividad térmica

La conductividad térmica es una propiedad que indica como un material puede transferir calor a través de él. Expresándose en vatios por metro-kelvin (W/m.K). Investigaciones sobre paneles biocompuestos que utilizan fibras de maguey han demostrado que estos materiales pueden tener valores competitivos de conductividad térmica, lo que resalta su potencia como aislante en la construcción (Ramírez, 2018).

Figura 6

Conductividad térmica

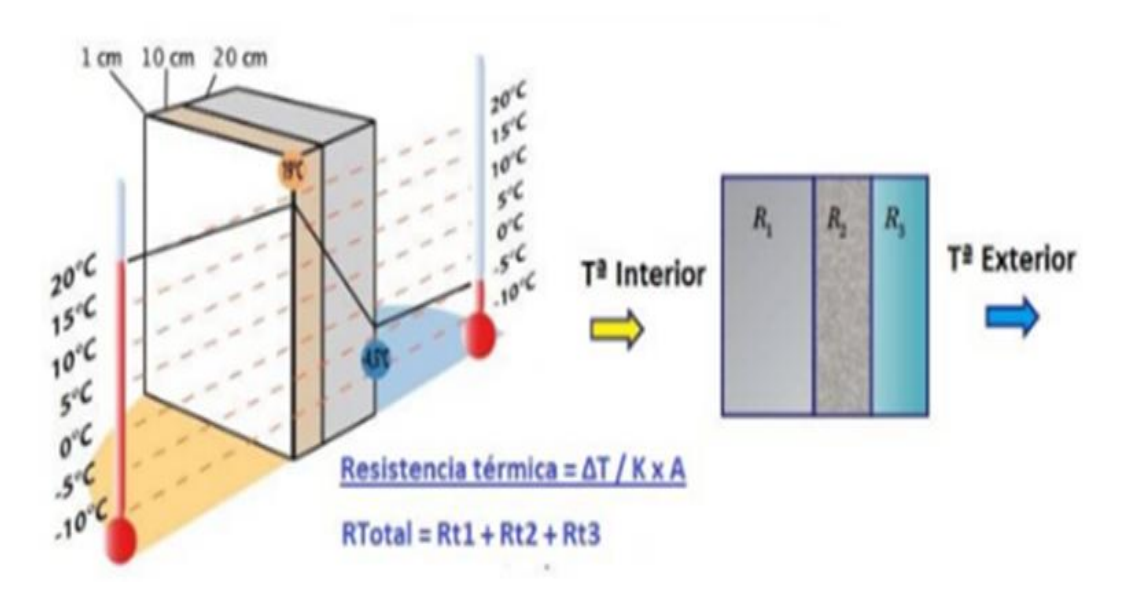


Fuente: Openstax College Physics (2022)

Resistencia térmica

La resistencia térmica se refiere a la capacidad de un material para resistir el flujo de calor a través de él. Los materiales que presentan una gran resistencia térmica son especialmente útiles en climas extremos, ya que ayudan a regular la temperatura interna y reducir la necesidad de sistema adicionales de calefacción o refrigeración (Rhonatherm, 2018).

Figura 7
Resistencia térmica



Fuente: Área tecnología (2017)

Tiempo de conservación de temperatura

El tiempo de conservación de temperatura se refiere al periodo durante el cual un alimento o material puede mantener una temperatura especifica sin sufrir cambios significativos en su calidad o seguridad. Este concepto es fundamental en la industria alimentaria y en la construcción, especialmente cuando se utilizan materiales aislantes (Gonzáles, 2021).

Tiempo de instalación

El tiempo de instalación de fibras naturales se refiere al periodo necesario para implementar estos materiales en una construcción. Este tiempo puede variar dependiendo del tipo de fibra utilizada, la técnica de instalación y la experiencia del equipo de trabajo. Las fibras naturales, como las del maguey, generalmente requieren procedimientos específicos para asegurar su efectividad como aislantes térmicos (Peña y Román, 2018).

Mano de obra

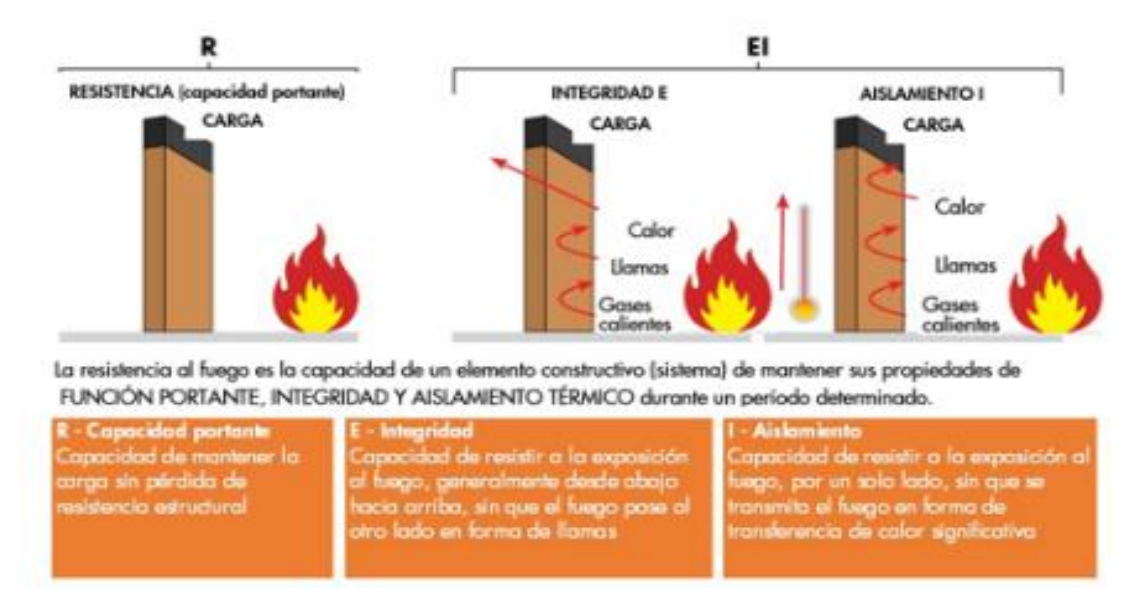
La mano de obra en la construcción utilizando materiales naturales, se refiere al conjunto de trabajadores que participan directamente en la ejecución de un proyecto constructivo (Trindade, 2024).

Resistencia al fuego

La resistencia al fuego de las fibras naturales se refiere a su capacidad para resistir la ignición y limitar la propagación del fuego. Aunque muchas fibras naturales son más inflamables que los materiales sintéticos, su resistencia al fuego puede mejorar mediante tratamiento específicos (Caballero, 2008).

Figura 8

Diferencia entre resistencia, integridad y aislamiento



Fuente: Knauf Insulatioo (sf).

Resistencia a la humedad

La resistencia a la humedad se refiere a la capacidad de las fibras naturales para resistir la absorción de agua y mantener sus propiedades estructurales en condiciones húmedas (Viera, 2021).

Durabilidad

La durabilidad de los compuestos reforzados con fibras naturales, se refiere a la capacidad del material para mantener sus propiedades mecánicas y estructurales a lo largo del tiempo, especialmente a cuando se expone a condiciones ambientales adversas (Mayandi, 2019).

Reducción de temperatura

La reducción de temperatura se refiere a las estrategias y métodos utilizados para disminuir la temperatura en un ambiente determinado (Smith, 2019).

Costo-beneficio

El análisis costo-beneficio es una herramienta utilizada para evaluar viabilidad económica de un proyecto o inversión. Este análisis implica comparar los costos asociados con la implementación de una solución (como

el uso de placas de agave como aislante térmico) con los beneficios que se derivan de ella, como el ahorro en costos energéticos y la mejora del confort térmico (Smith, 2019).

Placas

Las placas de fibras naturales son materiales fabricados a partir de fibras vegetales que se utilizan como aislantes térmicos y acústicos en la construcción. Estas placas ofrecen ventajas significativas, como su capacidad para regular la humedad y su menor impacto ambiental en comparación con los materiales sintéticos. Las fibras naturales, como las del maguey o el sisal, puede ser procesadas para formar paneles que no solo son efectivos en térmicos, sino que también son biodegradables (Viera, 2021).

Figura 9

Placas con fibras naturales



Fuente: Peña y Román (2018)

Granulometría

La granulometría se refiere al análisis y clasificación del particular de un material granular en función de su tamaño. Este proceso es crucial para determinar la distribución de tamaño de las partículas, lo cual influye directamente en las propiedades físicas del material, como su resistencia, permeabilidad y estabilidad (NTP 339.128, 1999).

Tamices

Los tamices son instrumentos utilizados para separar partículas solidad según su tamaño mediante el uso de mallas o rejillas. En el ámbito de la ingeniería civil y la construcción, los tamices son fundamentales para realizar análisis granulométricos de materiales como arena y grava. Esto asegura que los materiales cumplan con las especificaciones necesarias para su uso en diversas aplicaciones estructurales (ASTM C136/C136M-14, 2020).

Figura 10
Tamices para la granulometría



Fuente: UCA (sf).

Temperatura

La temperatura es una magnitud física que indica el nivel de calor o frio de un cuerpo o ambiente, reflejando la energía cinética promedio de las partículas que lo componen. Este parámetro es fundamental en diversas disciplinas, incluyendo la ingeniería civil, ya que influye en las propiedades y el comportamiento de los materiales de construcción. (Escobar, 2010).

Termómetro

Un termómetro es un dispositivo que mide una propiedad de la materia conectada a través de una ley física al concepto de "temperatura", definida por la termodinámica. El conocimiento sobre la temperatura obtenida depende tanto de la calidad de medición como de la teoría en la que se basa la ley física utilizada (Pobell, 2007).

Termohigrómetro

El termohigrómetro es un instrumento de medición dual, es decir se basa en la combinación de dos sensores dentro de un mismo equipo, está diseñado para determinar de forma conjunta los valores de temperatura y humedad relativa en un entorno (Salazar, 2023).

2.4. HIPÓTESIS

2.4.1. HIPÓTESIS GENERAL

El uso del mortero con fibras de agave mejora significativamente el aislamiento térmico en viviendas del CC. PP Nauyan Rondos-Huánuco, Perú-2025.

2.4.2. HIPÓTESIS ESPECÍFICAS

HE1: Existe una proporción optima de fibras de agave que maximizará la capacidad de aislamiento térmico del mortero.

HE2: La técnica de revestimiento de barro maximizará la durabilidad del mortero de tierra con fibras de agave y la protección del muro de adobe contra la humedad y la erosión, cumpliendo con los criterios de la Norma E0.80 sobre mantenimiento y protección de edificaciones de tierra.

HE3: La aplicación del mortero con fibras de Agave aumentará la resistencia térmica en los muros de adobe, mejorando el confort térmico en el interior de la vivienda.

2.5. VARIABLES

2.5.1. VARIABLE INDEPENDIENTE

Mortero con fibras de agave.

2.5.2. VARIABLE DEPENDIENTE

Aislante térmico.

2.6. OPERACIONALIZACIÓN DE VARIABLES

VARIABLE DE ESTUDIO	DEFINICIÓN CONCEPTUAL	DEFINICIÓN OPERACIONAL	DIMENSIONES	INDICADORES	INSTRUMENTOS	ESCALAS
	Esta fase se refiere al proceso de revestir los muros con un mortero con tierra compuesta con fibras de Agave, con el propósito de reducir las altas temperaturas. Las		-Eficiencia térmica	-Conductividad térmica (W/m.K). -Resistencia térmica	-Caja caliente (Hot box) y	
VI: Mortero con fibras de agave.	propiedades aislantes del Agave permiten crear una barrera efectiva contra el frio, reduciendo la pérdida de calor y contribuyendo a un ambiente interno más confortable.	de los muros con un mortero con tierra compuesta con fibras de Agave para evaluar su efecto	-Composición del mortero.	(m²K/W).-Proporción de fibras de Agave (g).-Proporción de tierra	Termómetro. -Balanza digital, Tijeras y Recipientes.	La escala a escalar es METODOLOGÍA: Enfoque cuantitativo.
	Evans (1992), menciona que el Agave se utiliza para la producción de medicinas, materiales de construcción, combustible y otros productos (p.175).		-Espesor del mortero.	(Kg)Espesor final.	-Balanza digital y Recipientes. -Regla metálica.	
VD: Aislante térmico.	Este concepto se refiere al proceso de disminuir la transferencia de calor frío a través	Medición de la temperatura en los muros antes	-Confort térmico.	-Nivel de confort percibido por los habitantes.	-Termómetro.	La escala a escalar es METODOLOGÍA:

de los muros de una vivienda. Esto	y después de la	-Impacto		-Fichas.	Enfoque
se puede lograr mediante la	instalación de las	económico en los	-Costo d	el	cuantitativo.
aplicación de aislantes térmicos	placas de Agave.	hogares.	revestimiento.	-Datos recogidos	
en los muros como placas de				de las fichas de	
Agave, lo que ayuda a evitar la		-Estabilidad		campo.	
pérdida de calor y mantiene una		térmica.	-Reducción de	la	
temperatura interna estable. La			temperatura		
temperatura en las edificaciones			ambiente e	en	
esta influenciada de calor a través			comparación co	on	
de los materiales que componen			viviendas s	in	
sus muros, lo que afecta el confort			aislamiento (°C).		
térmico interno (ASHRAE, 2017).					

CAPITULO III METODOLOGÍA

3.1. TIPO DE INVESTIGACIÓN

La presente investigación es de tipo aplicada. Según (Hernández Sampieri, 2014) la investigación aplicada tiene como objetivo fundamental resolver problemas específicos y prácticos. En este caso, el estudio se enfoca en dar solución a una problemática concreta: el bajo confort térmico en las viviendas de adobe en la zona del CC. PP Nauyan Rondos. Para ello, se busca generar conocimiento práctico y directamente utilizable a través del desarrollo y la evaluación de un mortero con fibras de agave que mejore el aislamiento térmico.

3.1.1. ENFOQUE

El enfoque de esta investigación es cuantitativo. Este enfoque, como lo describen Hernández Sampieri (2014), se basa en la recolección y el análisis de datos numéricos para probar hipótesis y determinar patrones de comportamiento. Se caracteriza por ser secuencial y probatorio, midiendo los fenómenos de manera objetiva. Este enfoque se evidencia en la recolección de datos numéricos para todas las variables de estudio. Estos datos serán analizados estadísticamente para obtener resultados generalizados y responder de manera objetiva a las preguntas de investigación.

3.1.2. ALCANCE O NIVEL

El alcance será de tipo explicativo. Esta elección se fundamente en que el estudio no se limita a describir las propiedades de un nuevo material, sino que pretende demostrar la relación de causa y efecto entre la adición de fibras de agave (la variable independiente) y la mejora en el desempeño térmico de los muros de adobe (la variable dependiente). De acuerdo con Hernández Sampieri (2014), el alcance explicativo está orientado a responder las cusas de los fenómenos físicos, establecidos por qué y en qué condiciones ocurre un evento.

3.1.3. **DISEÑO**

El diseño de la investigación será de tipo experimental, el cual se define como un proceso que consiste en someter un objeto a un tratamiento para observar los efectos que se producen (Arias, 2012). Específicamente, este estudio se clasifica como cuasiexperimental, si bien se manipula intencionalmente la variable independiente, los grupos de comparación no se asignan de forma aleatoria. De acuerdo con Hernández Sampieri (2014), un diseño es cuasiexperimental cuando no hay una asignación aleatoria. En este caso se trabajará con grupos intactos, es decir, un módulo de adobe de control y un módulo experimental construido para este fin. Esta selección dirigida, tanto de los módulos como la de la vivienda de validación, justifica la elección de este diseño metodológico.

3.2. POBLACIÓN Y MUESTRA

La población de estudio comprende la totalidad de las viviendas del CC.PP. de Nauyan Rondos. Estas se caracterizan por su ubicación en una zona altoandina de Huánuco, que presenta temperaturas frías significativas, y por el uso predominante del adobe en su construcción. De acuerdo con el último censo nacional, se tienen 16 viviendas ocupadas (INEI, 2017), las cuales, en su mayoría, carecen de un aislamiento térmico adecuado.

3.2.1. MUESTRA NO PROBABILÍSTICA

El muestreo para este estudio es de tipo no probabilístico, específicamente intencional o por criterio. Esto se debe a que las unidades de análisis no se seleccionaron al azar, sino que fueron escogidas deliberadamente por la investigación basándose en criterios de inclusión predefinidos. Este método se alinea con la definición de Carrasco (2006), quien señala que en las muestras no probabilísticas la elección de los elementos no es aleatoria y, por ende, no busca la representativa estadística para generalizar los resultados a toda la población. El propósito fundamental de este enfoque es asegurar que las

unidades seleccionadas sean las más adecuadas para responder a los objetivos experimentales de la presente tesis.

3.2.2. MUESTRAS INTENCIONADAS

De acuerdo con Carrasco (2006), este tipo de muestreo implica que el investigador, basándose en su conocimiento del tema y de la población, selecciona deliberadamente los elementos que considera más representativa o adecuada para los fines del estudio. La selección no se rige al azar ni por reglas estadísticas, sino por el criterio experto para poner asegurar la representatividad de la muestra.

Con el apoyo de un guía local para identificar aquellas que preliminarmente cumplían con los criterios establecidos. De este subgrupo de aproximadamente 4 viviendas, se procedió a contactar a los propietarios para explicar el proyecto. Finalmente, se seleccionaron 3 viviendas cuyos dueños firmaron el consentimiento informando y que cumplían con todos los criterios establecidos.

Teniendo en cuenta esta información, la muestra que se seleccionará se basara en criterios específicos de la Norma E0.80 "Diseño y construcción con tierra reforzada", para evaluar y filtrar que viviendas cumplen con estos criterios, los cuales son los siguientes:

- Ubicación (Articulo 4.1): Excluir viviendas ubicadas en zonas de alto riesgo de desastres naturales como inundaciones, avalanchas, aluviones, huaycos o suelos con inestabilidad geológica.
- 2. Número de pisos (Articulo 4.2): Dado que Nauyan Rondos se encuentra en Huánuco, que según la Norma E.030 está en zona sísmica 3, limitar la muestra a viviendas de un solo piso.
- **3. Tipo de suelo (Articulo 4.3):** Eliminar viviendas cimentadas en suelos granulares, cohesivos blandos o arcillas expansivas.
- **4. Espesor mínimo de muros (Articulo 6.1):** Incluir solo viviendas con muros de un espesor mínimo de 0.40 metros.
- 5. Sobrecimiento (Artículo 7.2): Seleccionar viviendas con sobrecimientos que se eleven sobre el nivel del terreno no menos de 0.30 metros y tengan un ancho mínimo de 0.40 metros.

3.3. TÉCNICAS E INSTRUMENTOS DE RECOLECCIÓN DE DATOS

3.3.1. PARA RECOLECCIÓN DE DATOS

Para la presente investigación, se emplearon técnicas e instrumentos para cada variable de estudio. Para la obtención de las fibras de agave, se utilizó la Cabuya y herramientas manuales. Para la primera fase se realizaron probetas de mortero con diferentes porcentajes de fibras de Agave, luego se evaluó su conductividad térmica con el método de la caja caliente (hot box), siguiendo los lineamientos de la Norma EM. 110 de conforte térmico y lumínico con eficiencia energética. Los valores obtenidos se contrastaron con el rango de referencia de la norma y esto permitió determinar la proporción optima de fibras en el mortero.

En la segunda fase se aplicaron diferentes ensayos al mortero seleccionado, considerando pruebas como de fisuración, adherencia con cinta, erosión por agua, erosión abrasiva por cepillado y absorción por capilaridad, de acuerdo con lo recomendado en la NTP E.080 y en marcos metodológicos internacionales de evaluación de resistencia frente al agua en construcción de tierra.

Para la tercera etapa se midió la temperatura en la vivienda y el prototipo, se registró las variaciones de temperatura en los muros internos antes y después del tarrajeo con fibras de agave. Se registró con la técnica de monitoreo in-situ usando un termómetro digital y un termohigrómetro, el proceso visual se documentó con fotos y fichas de observación.

3.3.2. PARA LA PRESENTACIÓN DE DATOS

La técnica principal fue de carácter experimental-comparativo, el cual se ejecutó en dos fases. Primero se elaboró probetas en el laboratorio con diferentes porcentajes de fibras de agave. Segundo, se realizó los ensayos correspondientes y se obtuvo el porcentaje más optimo. Tercero, se realizó ensayos para verificar la durabilidad el mortero. Cuarto, se aplicó el mortero en las viviendas y luego se realizó

la evaluación de las temperaturas en un periodo de 24 horas, y se registró los datos.

3.3.3. PARA LA PRESENTACIÓN DE DATOS

El análisis de datos se centrará en una técnica comparativacuantitativa utilizando el programa Microsoft Excel para procesar la información recolectada. Se crearán tablas y graficas de barras para contrastar los resultados de laboratorio y gráficos de líneas para visualizar la evolución de la temperatura, buscado así un comportamiento térmico más eficiente para mejorar el confort térmico en las viviendas de Nauyan Rondos.

CAPITULO IV RESULTADOS

4.1. PROCESAMIENTO DE DATOS

4.1.1. RESULTADOS DEL PORCENTAJE OPTIMO

Se obtuvo el porcentaje optimo, dando como resultado diferentes temperaturas, determinando con un cálculo el mejor porcentaje.

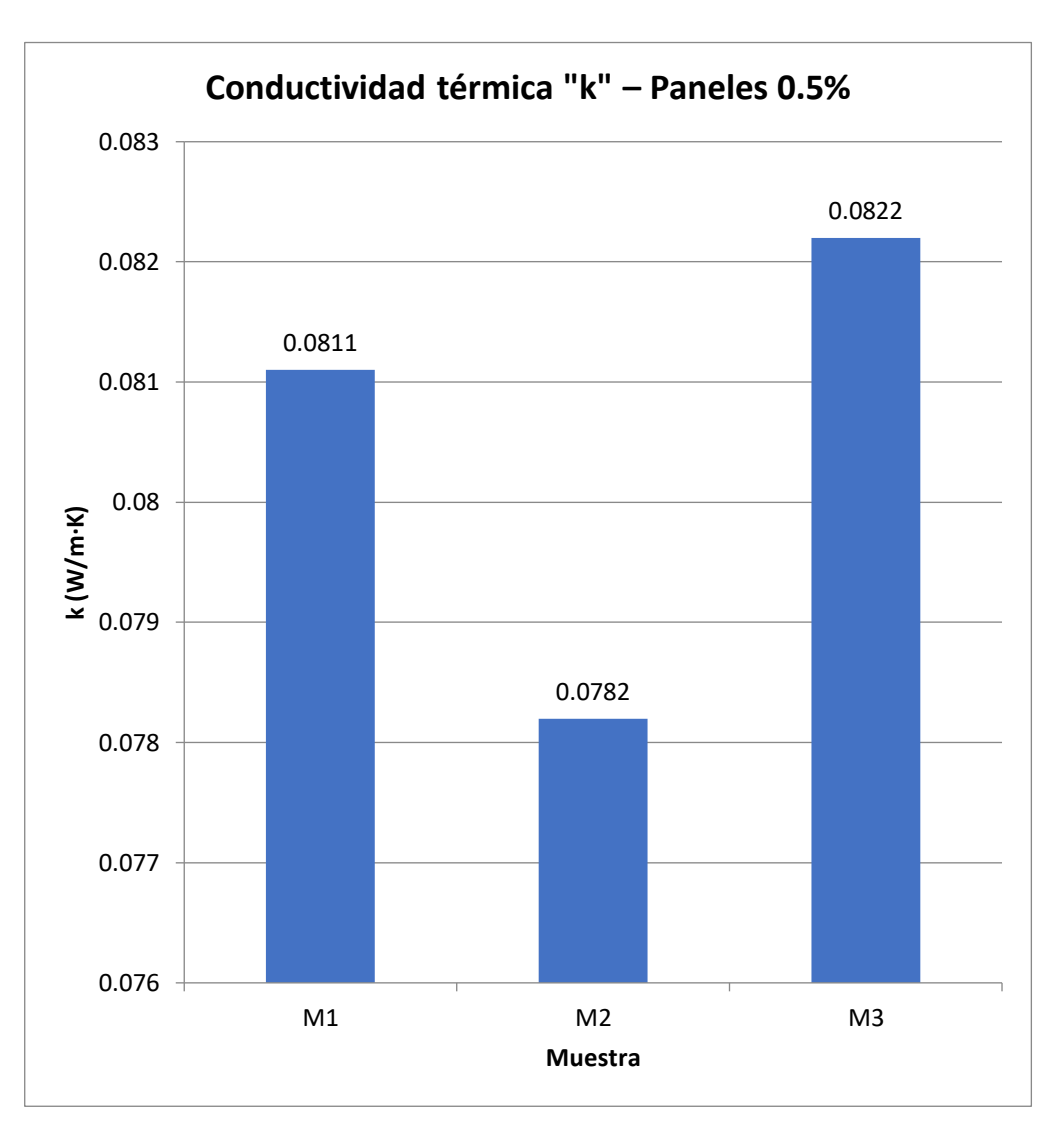
Tabla 1
Calibración de la caja caliente (hot box) con el triplay

Material de	e referencia:		Tripla	y 14 mm		
Conductividad térmica del material (W/m·K):			0.14 (EM.110)			
Espesor d	Espesor del material (m):			0.012 (EM.110)		
Resistenci (m²·K/W):	Resistencia térmica del material (m²-K/W):			0.0857 (EM.110)		
			Temp.			
Corrida	Гетр. Саја	Caliente (°C)	Caja	Diferencia de temp. (°C)		
			Fría (°C)			
1	42		36.7	5.3		
2	42.5		36	6.5		
3	41.8		37	4.8		
Promedio temp.	de las d	liferencias de		5.53		

Tabla 2 *Mediciones de las 3 réplicas de los paneles con 0.5 % porcentaje de fibra de agave*

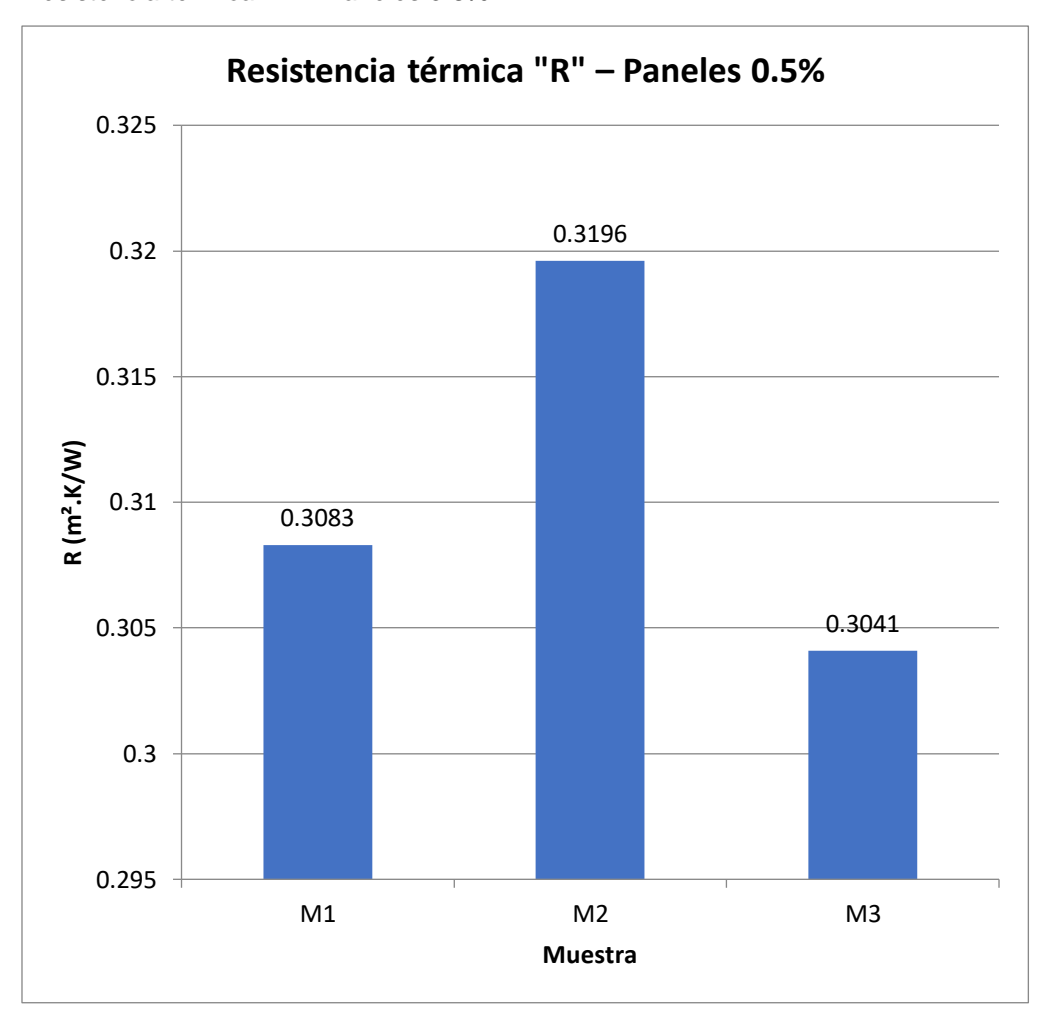
ID	% Fibra	Espesor del material (m):	Temp. Caja Caliente 1 (°C)	Temp. Caja Fría 1(°C)	Diferencia de temp. (°C)
M1	0.5	0.025	51.5	32.3	19.2
M2	0.5	0.025	52.5	32.5	20
МЗ	0.5	0.025	50.8	32.1	18.7
ID	% Fibra	Espesor del material (m):	Temp. Caja Caliente 2 (°C)	Temp. Caja Fría 2(°C)	Diferencia de temp. (°C)
M1	0.5	0.025	52.1	32.1	20
M2	0.5	0.025	53.1	32.1	21
МЗ	0.5	0.025	50.6	31	19.6
ID	% Fibra	Espesor del material (m):	Temp. Caja Caliente 3 (°C)	Temp. Caja Fría 3(°C)	Diferencia de temp. (°C)
M1	0.5	0.025	52.4	31.9	20.5
M2	0.5	0.025	52.8	31.9	20.9
М3	0.5	0.025	52	31.4	20.6
Mue	stras		M1	M2	M3
	Promedio de las diferencias de temp.		19.9000	20.6333	19.6333
mue	Resistencia térmica de la muestra (m².K/W)		0.3083	0.3196	0.3041
	Conductividad térmica (W/m⋅K)		0.0811	0.0782	0.0822

Figura 11
Conductividad térmica "k" - Paneles 0.5%



En el gráfico se ve el desempeño de las tres, con un promedio k=0.0805 W/m. La muestra M2 presenta la menor k=0.0782 W/m. k seguida de la M1= 0.0811 W/m. k y M3= 0.0822 W/m.k. La mejora relativa entre muestra y la peor muestra es de 4.9%. Se observa que la M2 es la que tiene una baja conductividad térmica, a diferencia de las demás.

Figura 12
Resistencia térmica "R" - Paneles 0.5%



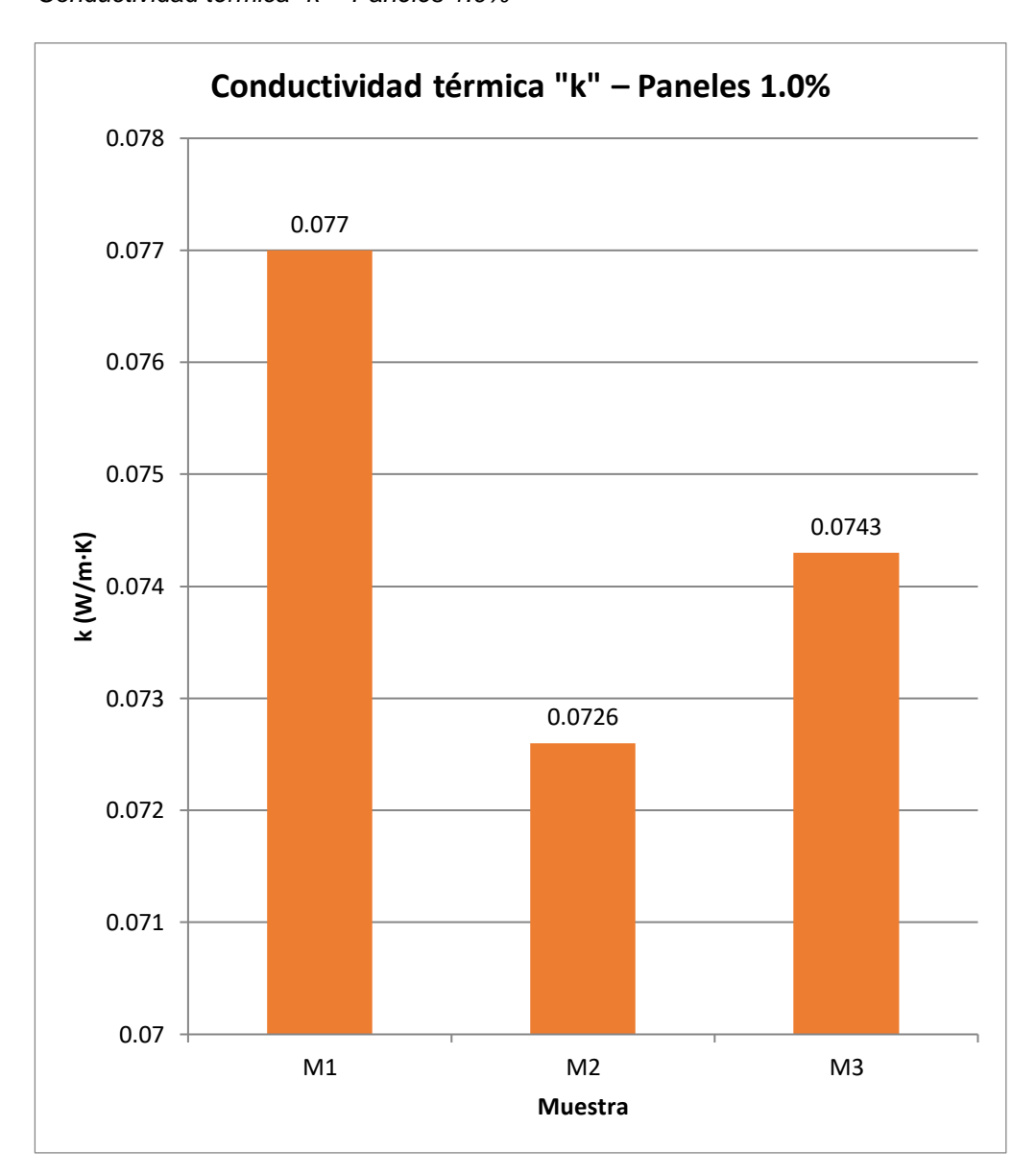
En el gráfico se ve el desempeño de las tres muestras, la resistencia térmica de cada muestra: La muestra M2 alcanza R= 0.3196 m². K/W, seguida por la M1= 0.3083 m². K/W y M3= 0.3041 m². K/W, se observa que la muestra M2 es la que tiene una mejor resistencia térmica.

Tabla 3 *Mediciones de las 3 réplicas de los paneles con 1.0 % porcentaje de fibra de agave*

ID	% Fibra	Espesor del material (m):	Temp. Caja Caliente 1 (°C)	Temp. Caja Fría 1(°C)	Diferencia de temp. (°C)
M1	1.0	0.025	52.6	31.9	20.7
M2	1.0	0.025	53.8	31.7	22.1
М3	1.0	0.025	53.8	32.5	21.3
ID	% Fibra	Espesor del material (m):	Temp. Caja Caliente 2 (°C)	Temp. Caja Fría 2(°C)	Diferencia de temp. (°C)
M1	1.0	0.025	53.1	31.7	21.4
M2	1.0	0.025	54	31.3	22.7
М3	1.0	0.025	54.3	32.2	22.1
ID	% Fibra	Espesor del material (m):	Temp. Caja Caliente 3 (°C)	Temp. Caja Fría 3(°C)	Diferencia de temp. (°C)
M1	1.0	0.025	52.9	32.1	20.8
M2	1.0	0.025	53.2	31.3	21.9
М3	1.0	0.025	54	32.2	21.8
Mue	stras		M1	M2	M3
Promedio de las diferencias de temp.		20.9667	22.2333	21.7333	
	Resistencia térmica de la muestra (m².K/W)		0.3248	0.3444	0.3367
	Conductividad térmica (W/m·K)		0.0770	0.0726	0.0743

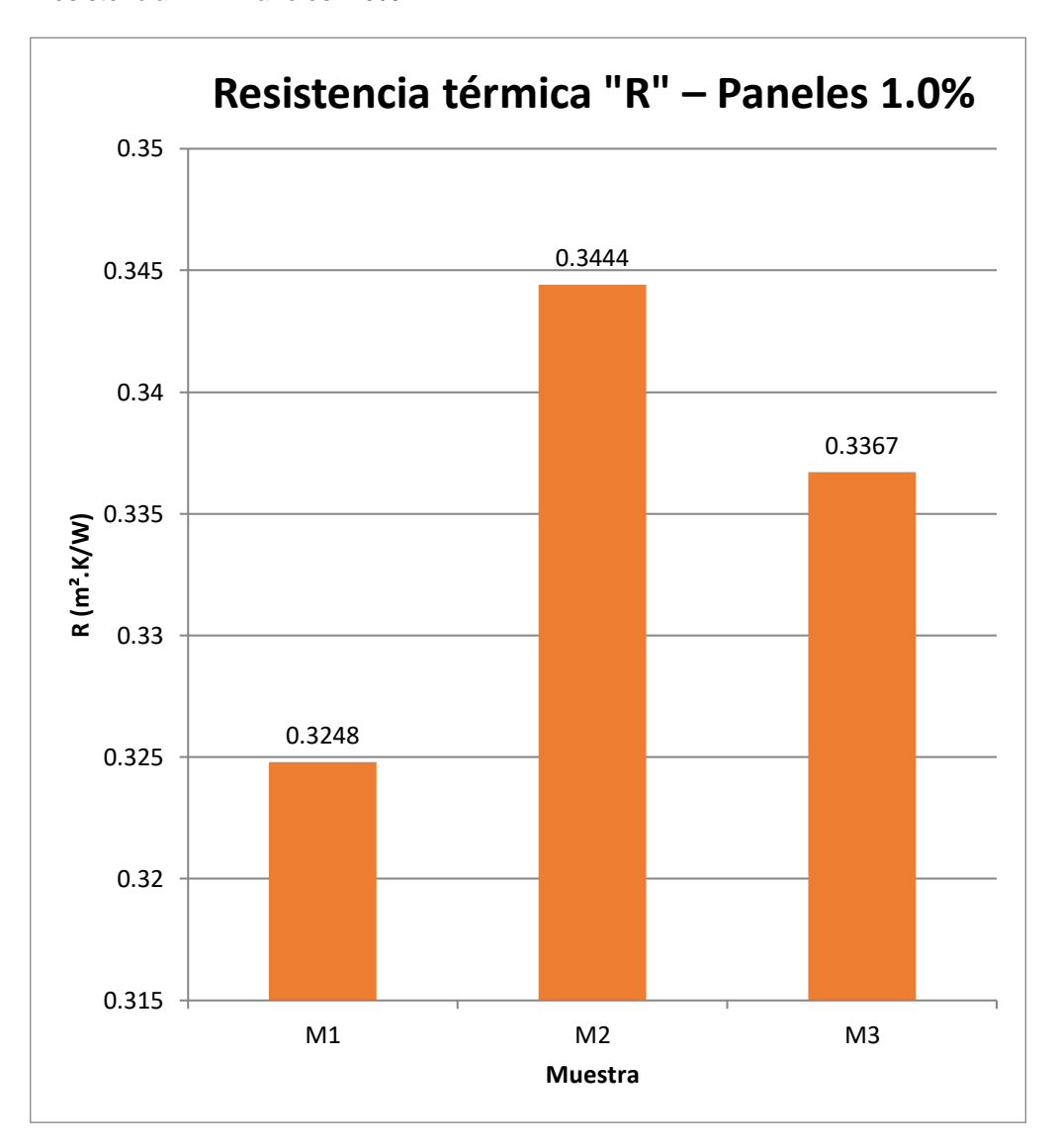
Figura 13

Conductividad térmica "k" - Paneles 1.0%



En el gráfico se ve el desempeño de las tres muestras, con un promedio k=0.0746 W/m. La muestra M2 presenta la menor k=0.0726 W/m. k seguida de la M3= 0.0743 W/m. k y M1= 0.0770 W/m.k. La mejora relativa entre muestra y la peor muestra es de 5.7%. Se observa que la M2 es la que tiene una baja conductividad térmica, a diferencia de las demás.

Figura 14
Resistencia "R" - Paneles 1.0%



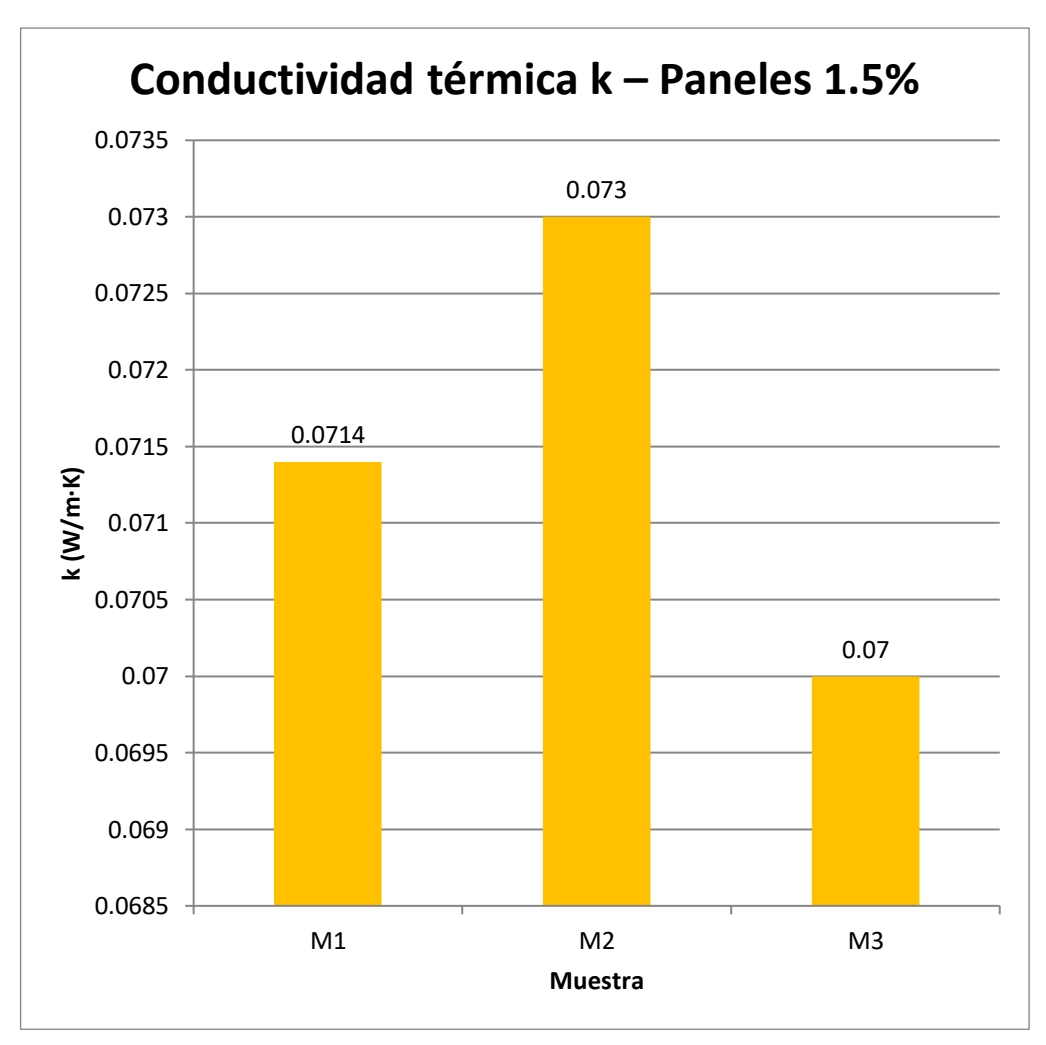
En el gráfico se ve el desempeño de las tres muestras, la resistencia térmica de cada muestra: La muestra M2 alcanza R=0.3444 m². K/W, seguida por la M3= 0.3367 m². K/W y M3= 0.3248 m². K/W, se observa que la muestra M2 es la que tiene una mejor resistencia térmica.

Tabla 4 *Mediciones de las 3 réplicas de los paneles con 1.5 % porcentaje de fibra de agave*

ID	% Fibra	Espesor del material (m):	Temp. Caja Caliente 1 (°C)	Temp. Caja Fría 1(°C)	Diferencia de temp. (°C)
M1	1.5	0.025	55.7	33.4	22.3
M2	1.5	0.025	53.6	31.8	21.8
M3	1.5	0.025	55.5	32.9	22.6
ID	% Fibra	Espesor del material (m):	Temp. Caja Caliente 2 (°C)	Temp. Caja Fría 2(°C)	Diferencia de temp. (°C)
M1	1.5	0.025	56.1	32.9	23.2
M2	1.5	0.025	54	31.5	22.5
M3	1.5	0.025	56.1	32.5	23.6
ID	% Fibra	Espesor del material (m):	Temp. Caja Caliente 3 (°C)	Temp. Caja Fría 3(°C)	Diferencia de temp. (°C)
M1	1.5	0.025	55.4	33.1	22.3
M2	1.5	0.025	53.8	31.8	22
M3	1.5	0.025	55.7	32.7	23
Muestras	;		M1	M2	M3
Promedic temp.	o de las dif	erencias de	22.6000	22.1000	23.0667
Resistencia térmica de la muestra (m².K/W)		0.3501	0.3423	0.3573	
Conductividad térmica (W/m·K)		0.0714	0.0730	0.0700	

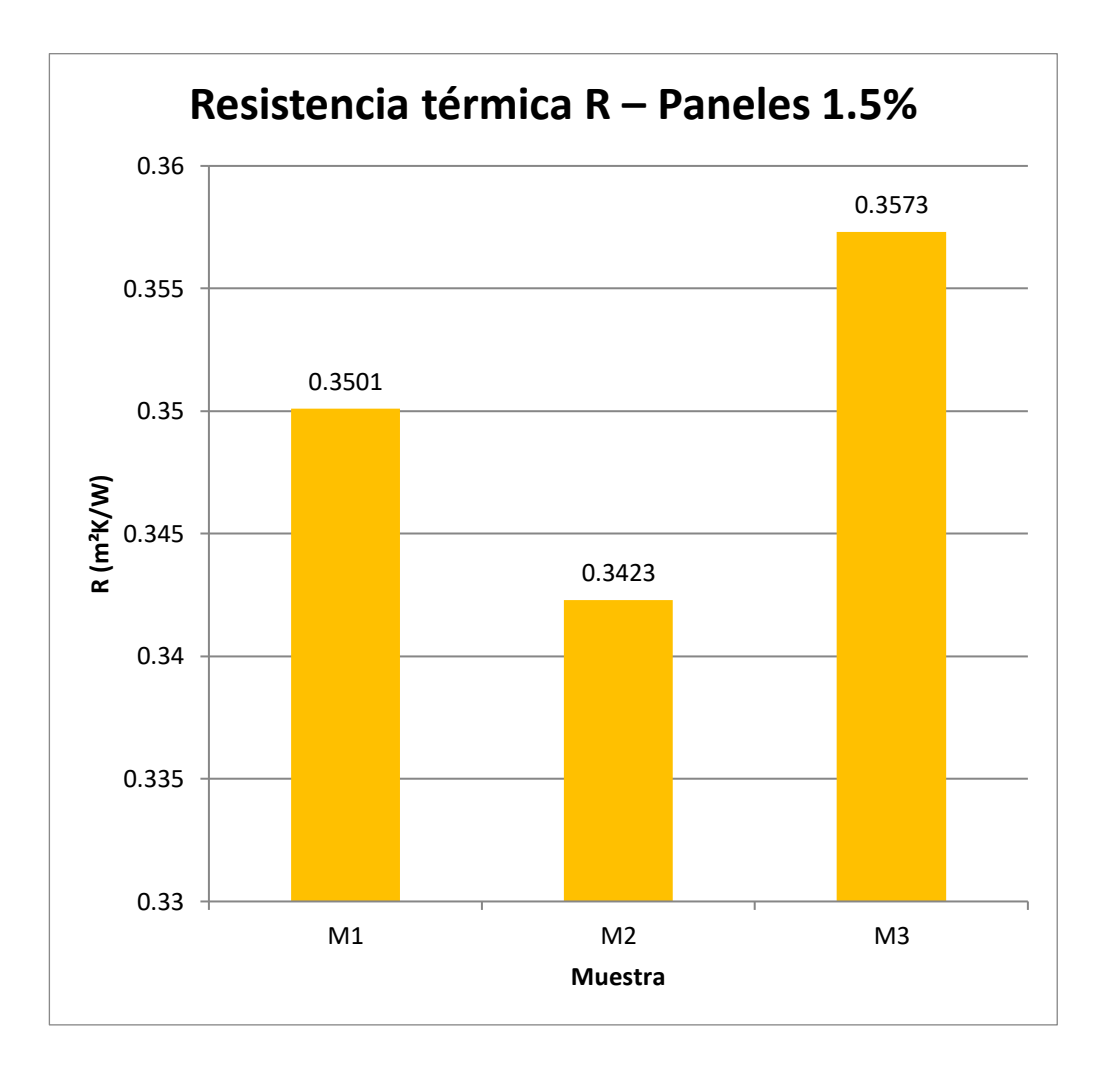
Figura 15

Conductividad térmica k - Paneles 1.5%



En el gráfico se ve el desempeño de las tres muestras, con un promedio k=0.0715 W/m. La muestra M3 presenta la menor k=0.0700 W/m. k seguida de la M1= 0.0714 W/m. k y M2= 0.0730 W/m.k. La mejora relativa entre muestra y la peor muestra es de 4.1%. Se observa que la M3 es la que tiene una baja conductividad térmica, a diferencia de las demás.

Figura 16
Resistencia térmica R - Paneles 1.5%

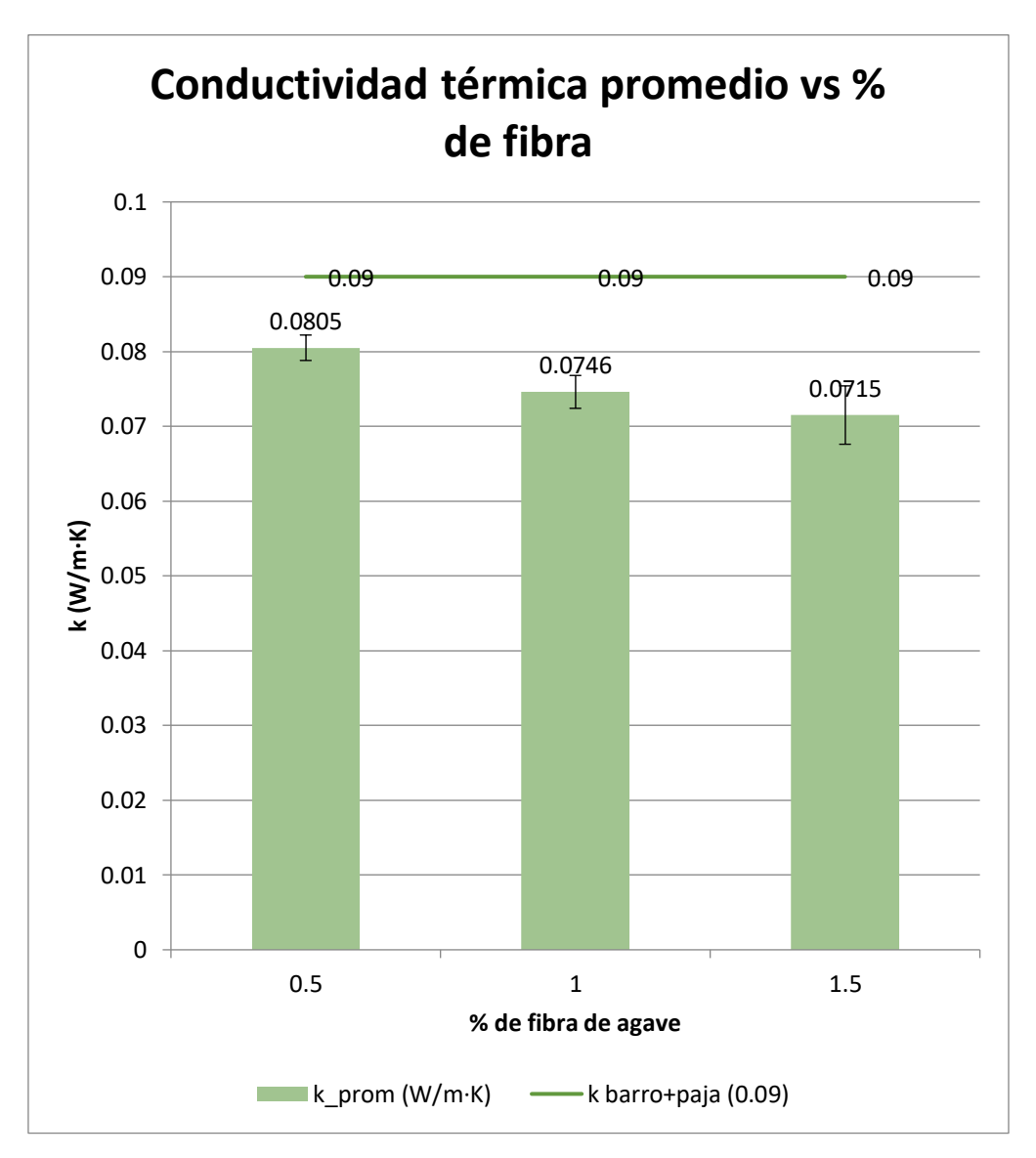


En el gráfico se ve el desempeño de las tres muestras, la resistencia térmica de cada muestra: La muestra M3 alcanza R=0.3573 m^2 . K/W, seguida por la M1= 0.3501 m^2 . K/W y M2= 0.3423 m^2 . K/W, se observa que la muestra M3 es la que tiene una mejor resistencia térmica.

Tabla 5Resumen de los resultados por porcentaje, porcentaje ganador y comparación con la EM. 110

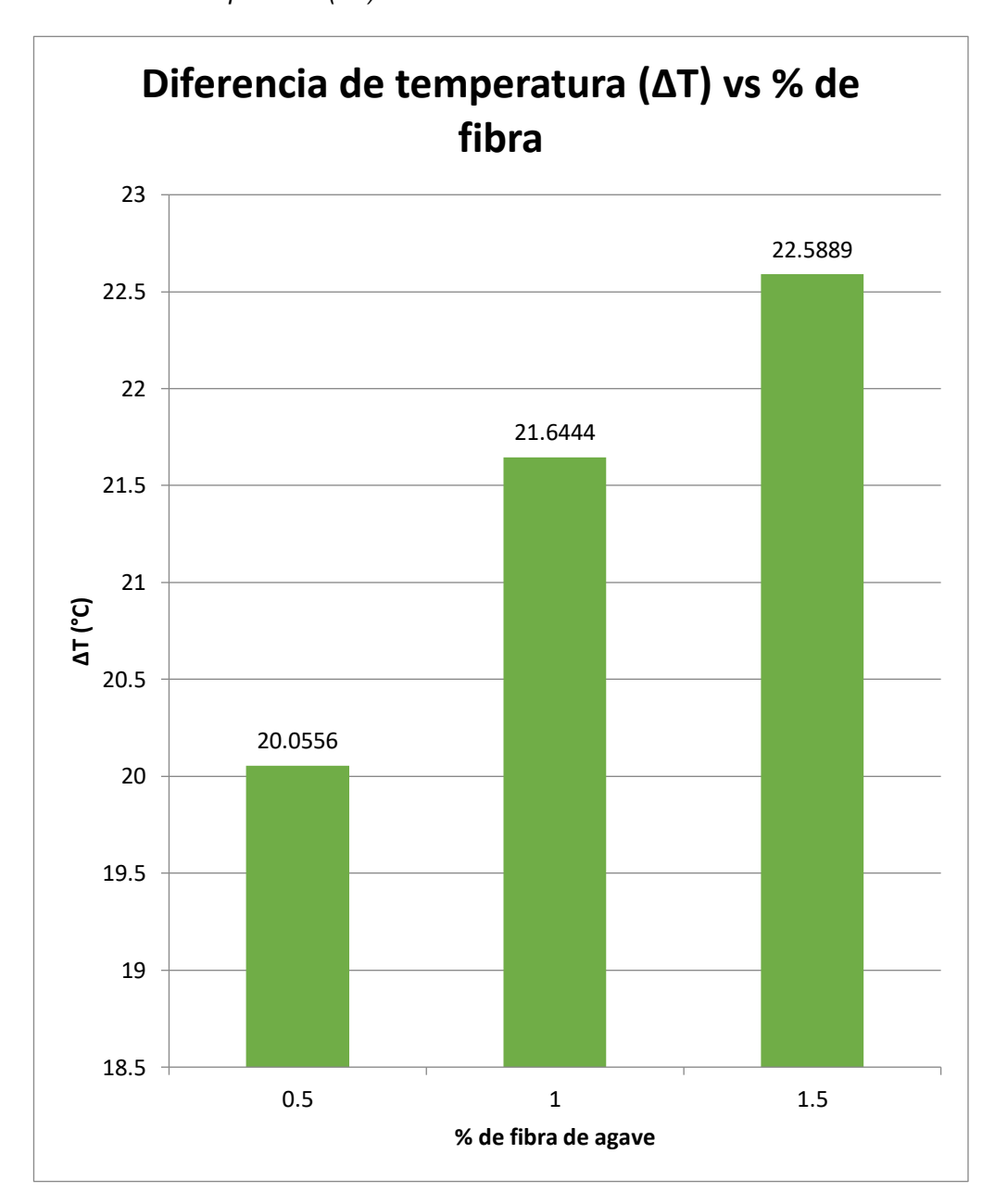
% Fibra	Promedio de la conductividad térmica (W/m·K)	Desviación estándar de la conductividad térmica	Diferencia de temp. (°C)	N° de replicas	
0.5 %	0.0805	0.0017	20.0556	3	
1.0 %	0.0746	0.0022	21.6444	3	
1.5 %	0.0715	0.0039	22.5889	3	
Mejor po	rcentaje %	1.5 %			
Conducti	vidad térmica mínin	na (W/m⋅K)	0.0715		
Conducti (W/m·K)	vidad térmica del ba	0.09			
¿La conductividad térmica de la fibra de agave + barro es menor que la conductividad térmica del barro + paja (W/m·K)?			Sí (más aislante)		
	a de la conductivida agave + barro vs bar		0.2059	9 %	

Figura 17
Conductividad térmica promedio vs % de fibra



En el gráfico se ve la tendencia descendente de los porcentajes de 0.5% a 1.5%, la conductividad térmica baja de 0.0805 W/m·K a 0.0715 W/m·K, con una descendencia de -11.2%. El mejor desempeño es del porcentaje de 1.5% que es más aislante, seguido del 1.0% y el 0.5%, comparado con el barro+paja (0.09 W/m·K), todos los porcentajes de fibra de agave están por debajo de la referencia.

Figura 18
Diferencia de temperatura (ΔT) vs % de fibra



En el gráfico se ve la tendencia ascendente de la diferencia de temperatura, con 20.06 °C (0.5%), 21.64 °C (1.0%) y 22.59 °C (1.5%), el aumento de fibra mejora la capacidad de aislamiento, disminuye la conductividad térmica y aumenta la diferencia térmica.

4.1.2. RESULTADOS DE LA TÉCNICA DEL REVESTIMIENTO DE ACUERDO A LOS ENSAYOS ESTUDIADOS

Se realizó cinco ensayos (Fisuración, Adherencia, Erosión por agua, Erosión abrasiva, Capilaridad), realizando una comparación entre la muestra revestidas con fibras de agave y sin fibras de agave, dando como resultado lo siguiente:

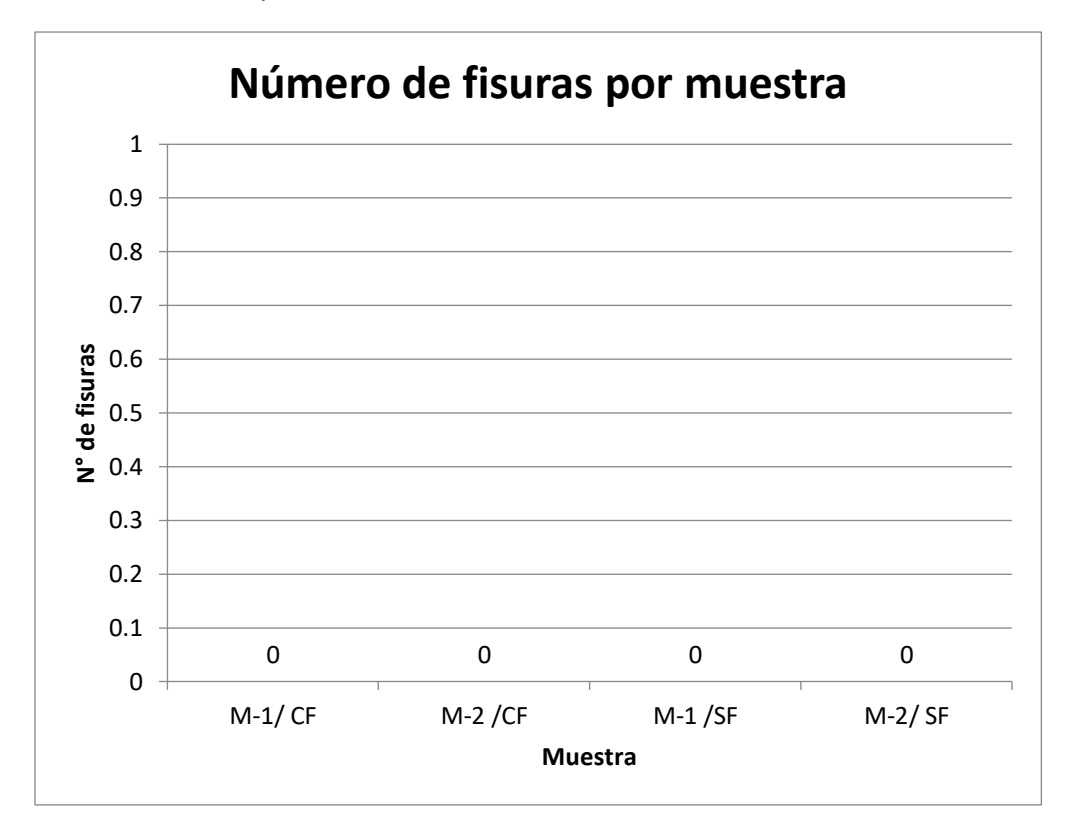
Tabla 6Resultados del ensayo de Fisuración

ID	Tipo	N° de	Longitud		Ancho	Observacio
טו	Про	Fisuras	(cm)		(mm)	nes
M-1	Con fibras	0	0	0	Sin fisuras	
	(1.5%)	Ü	Ü	0 0		parentes
M-2	Con fibras	0	0	0	S	in fisuras
IVI-Z	(1.5%)	O	Ü		а	parentes
M-1	Sin fibras	0	0	0	S	in fisuras
				Ŭ	а	parentes
M-2	Sin fibras	0	0	0	S	in fisuras
2			J	Ü	а	parentes

Mejor resultado

Ninguna de las muestras, con o sin fibras, presentó fisuración visible durante el periodo. Sin embargo, las probetas con fibras de agave (1.5%) mostraron mayor homogeneidad superficial y mejor cohesión, lo que sugiere una menor retracción potencial frente a ciclos de humedad más prolongados.

Figura 19 Número de fisuras por muestra



En el gráfico se ve que todas las muestras tanto con fibras (1.5%) y sin fibras, no presentan fisuras. El indicador es 100% tanto para con fibras (1.5%) y sin fibras, se confirma la ausencia de fisuras visibles en las todas las probetas.

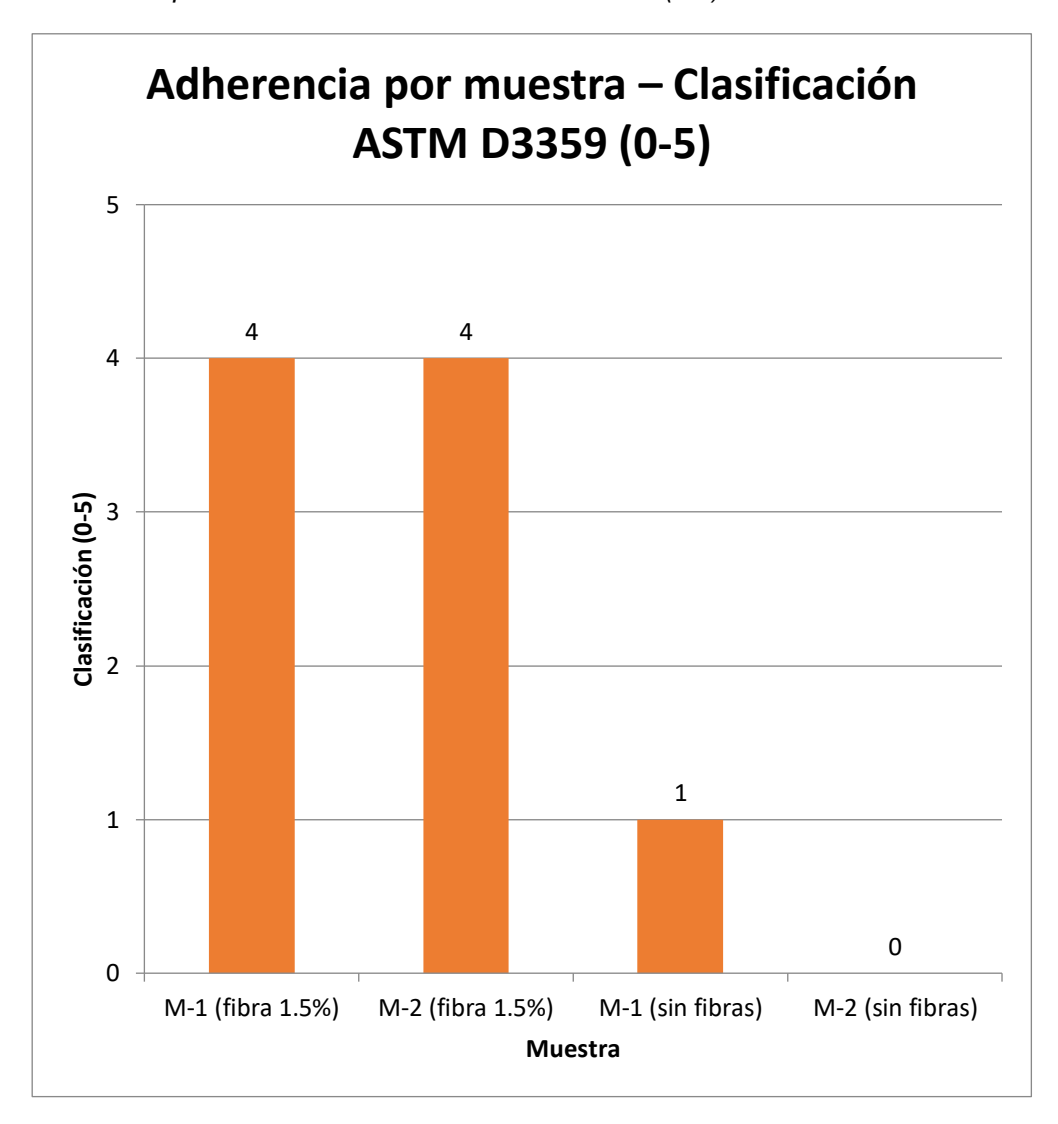
Tabla 7Resultados del ensayo de adherencia con cinta

ID	Tino	Clasifica	Tipo de	Desprendim	Observaciones
ID	Tipo	ción (0-5)	fallo	iento (%)	Observaciones
M-1	Con fibras (1.5%)	4B	Sin falla	<5%	Desprendimient o muy leve.
M-2	Con fibras (1.5%)	4B	Sin falla	<5%	Desprendimient o muy leve.
M-1	Sin fibras	1B	Adhesivo	35% – 65%	Amplio desprendimient o, fallas en toda la cuadricula.
M-2	Sin fibras	0B	Cohesivo	>65%	Desprendimient o total del recubrimiento superficial.

Mejor resultado

El revoque con fibras de agave (1.5 %) mostró una adherencia cuatro veces superior a la del revoque tradicional sin fibras, según la escala ASTM D3359.

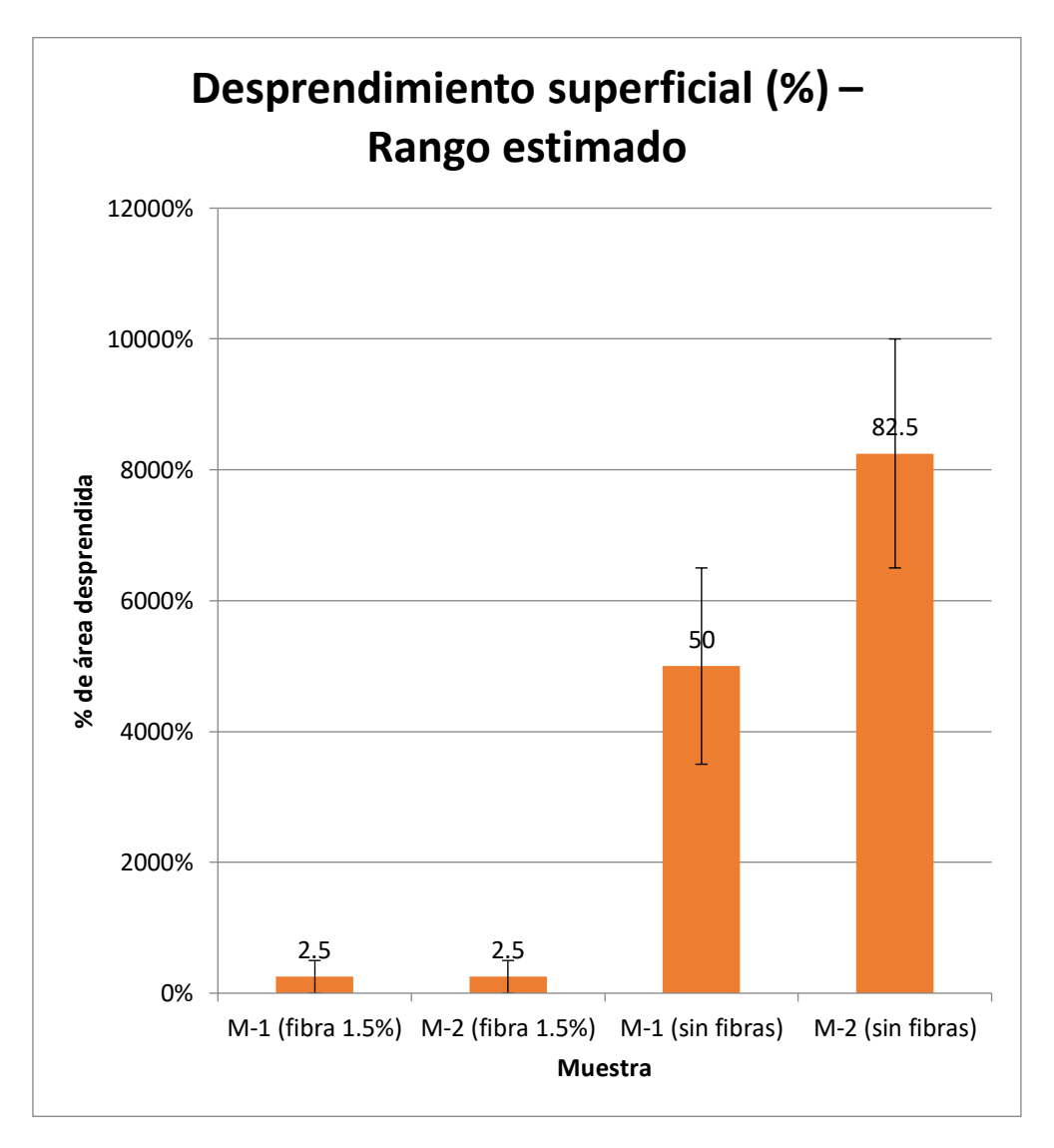
Figura 20
Adherencia por muestra - Clasificación ASTM D3359 (0-5)



En el gráfico se ve que todas las muestras con fibras de agave (1.5%) alcanzan 4B, mientras que las muestras sin fibras de agave se sitúan en 1B y 0B. Se evidencia una adherencia sustancialmente superior cuando se incorpora las fibras de agave e incluso permanece integro tras el corte y la prueba de cinta, contrario a la muestra sin fibras de agave, que muestran fallas en toda la cuadricula y desprendimiento total.

Figura 21

Desprendimiento superficial (%) - Rango estimado



En el gráfico se ve que todas las muestras con fibras de agave se concentran en <5% de desprendimiento, lo que confirma un daño muy leve. En cambio, las muestras sin fibras se ubican entre 35%-65% y >65%, describiendo desde fallas adhesivas hasta la el desprendimiento casi total. Se demuestra que la fibra de agave incrementa de forma marcada la adherencia del revoque.

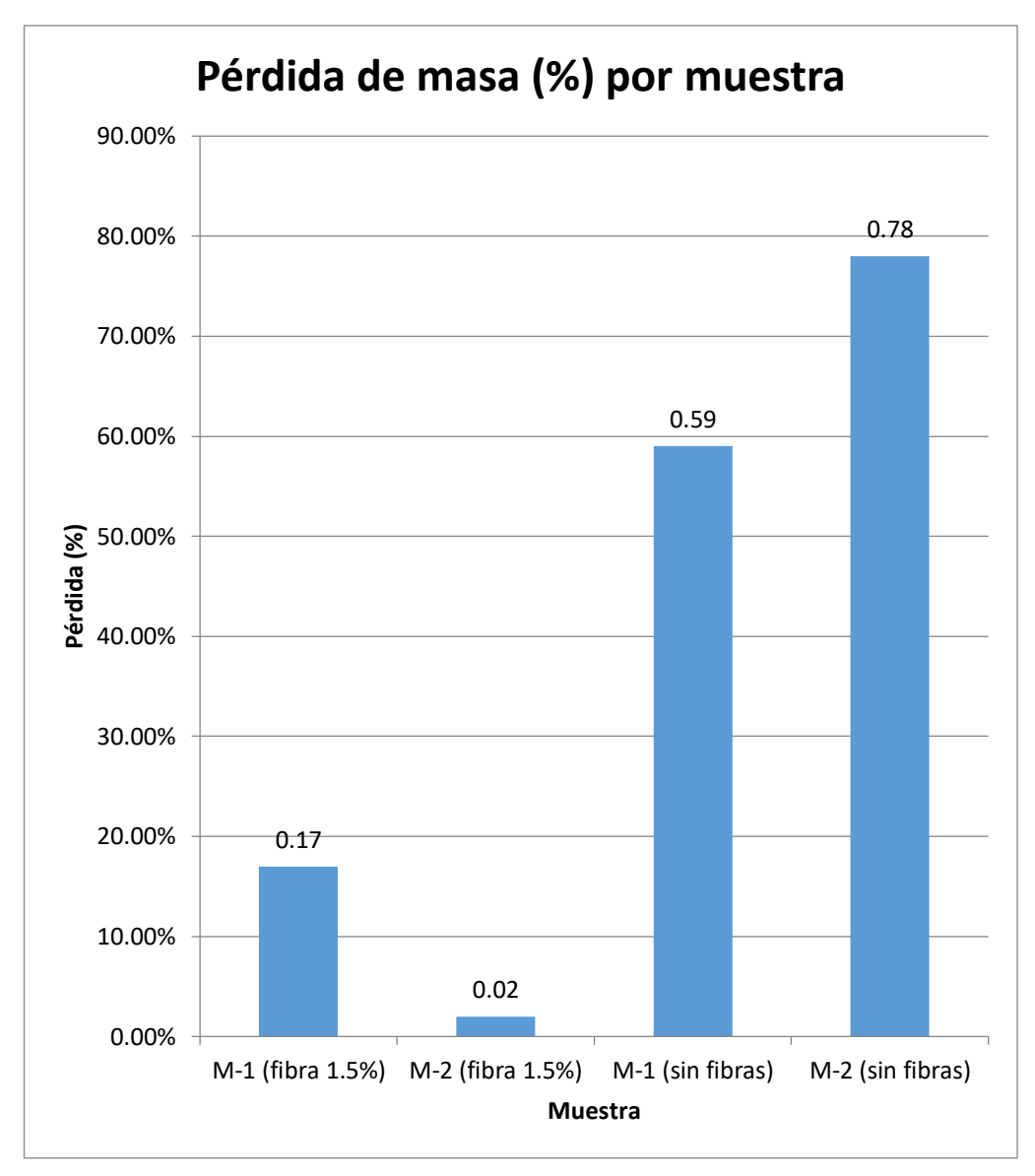
Tabla 8Resultados del ensayo de erosión por agua

ID	Tipo	Peso seco (g)	Peso después del secado(g)	Pérdida de masa (g)	Pérdida de masa (%)	Evaluación
	Con					
M-1	fibras (1.5%) Con	2724.7	2720.1	4.6	0.17%	
M-2	fibras (1.5%)	2970.5	2969.8	0.7	0.02%	
M-1	Sin fibras	3456.2	3435.8	20.4	0.59%	
M-2	Sin fibras	3084.8	3060.8	24	0.78%	Desprendimien to de la muestra.

Mejor resultado

Los revoques con fibras de agave (1.5%) mostraron pérdidas de masa 4 a 30 veces menores que los revoques sin fibras, lo que demuestra que la adición de fibras naturales incrementa la resistencia a la erosión por agua.

Figura 22
Pérdida de masa (%) por muestra



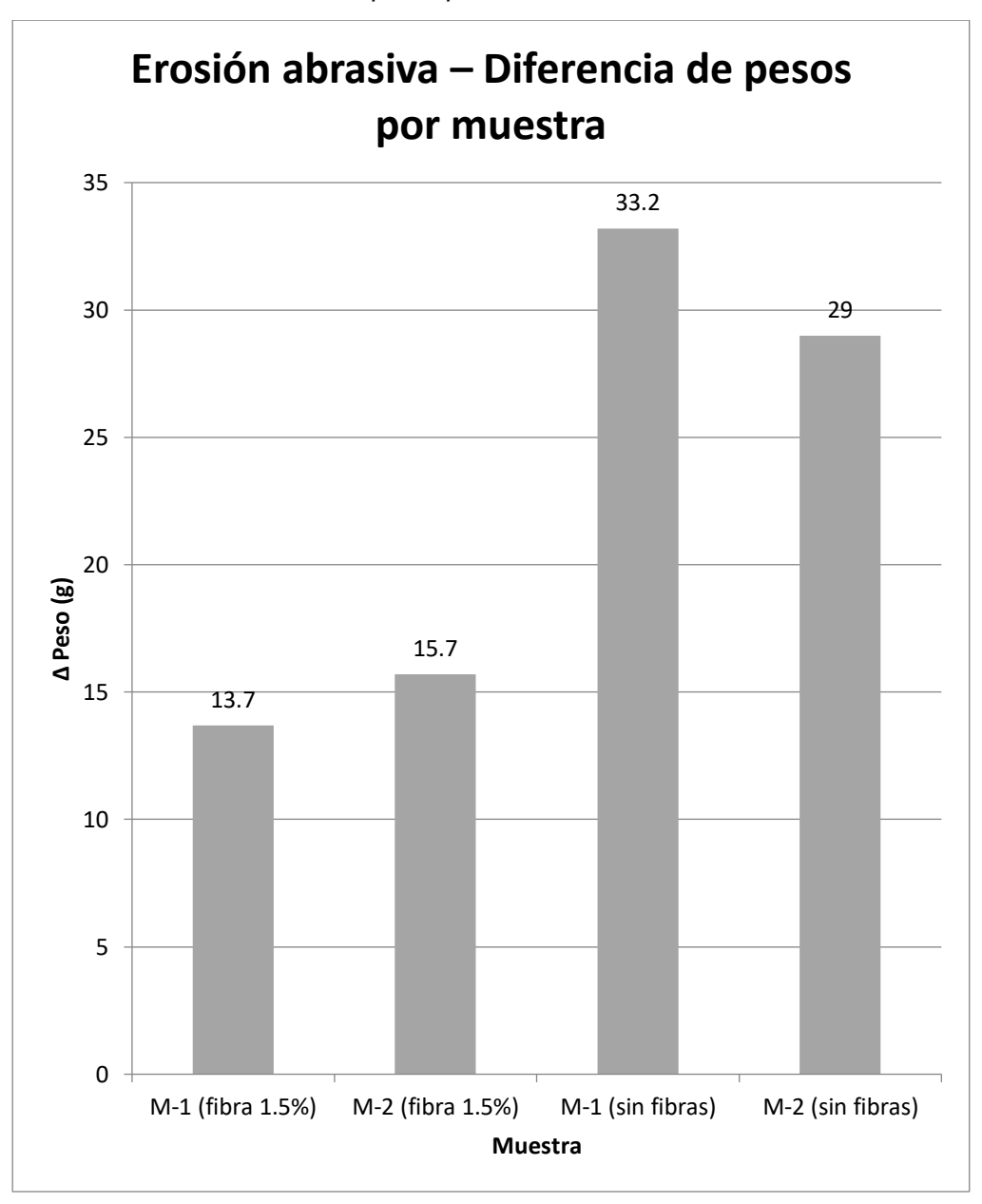
En el gráfico se ve que todas las muestras con fibras de agave (1.5%) presentan pérdidas muy bajas 0.17%-M1 y 0.02% M2. En contraste con las muestras sin fibras de agave, pierden 0.59%-M1 y 0.78%-M2, esta última con desprendimiento de la muestra. La adición del 1.5% de fibra de agave incrementa la resistencia a la erosión por agua, reduciendo la pérdida de masa y confirmado el efecto protector de estas fibras.

Tabla 9Resultados del ensayo de erosión abrasiva

ID	Tipo	Peso antes (g)	Peso despu és (g)	Diferen cia de pesos (g)	Pérd ida de espe sor (mm)
M-1	Con fibras (1.5%)	2720.1	2706.4	13.7	2
M-2	Con fibras (1.5%)	2969.8	2954.1	15.7	4
M-1	Sin fibras	3435.8	3402.6	33.2	9
M-2	Sin fibras	3060.8	3031.8	29	7

Mejor resultad o Los morteros con fibra de agave mostraron una resistencia abrasiva alta, mientras que los revoques sin fibras evidenciaron erosión superficial significativa después de 50 pasadas de cepillado.

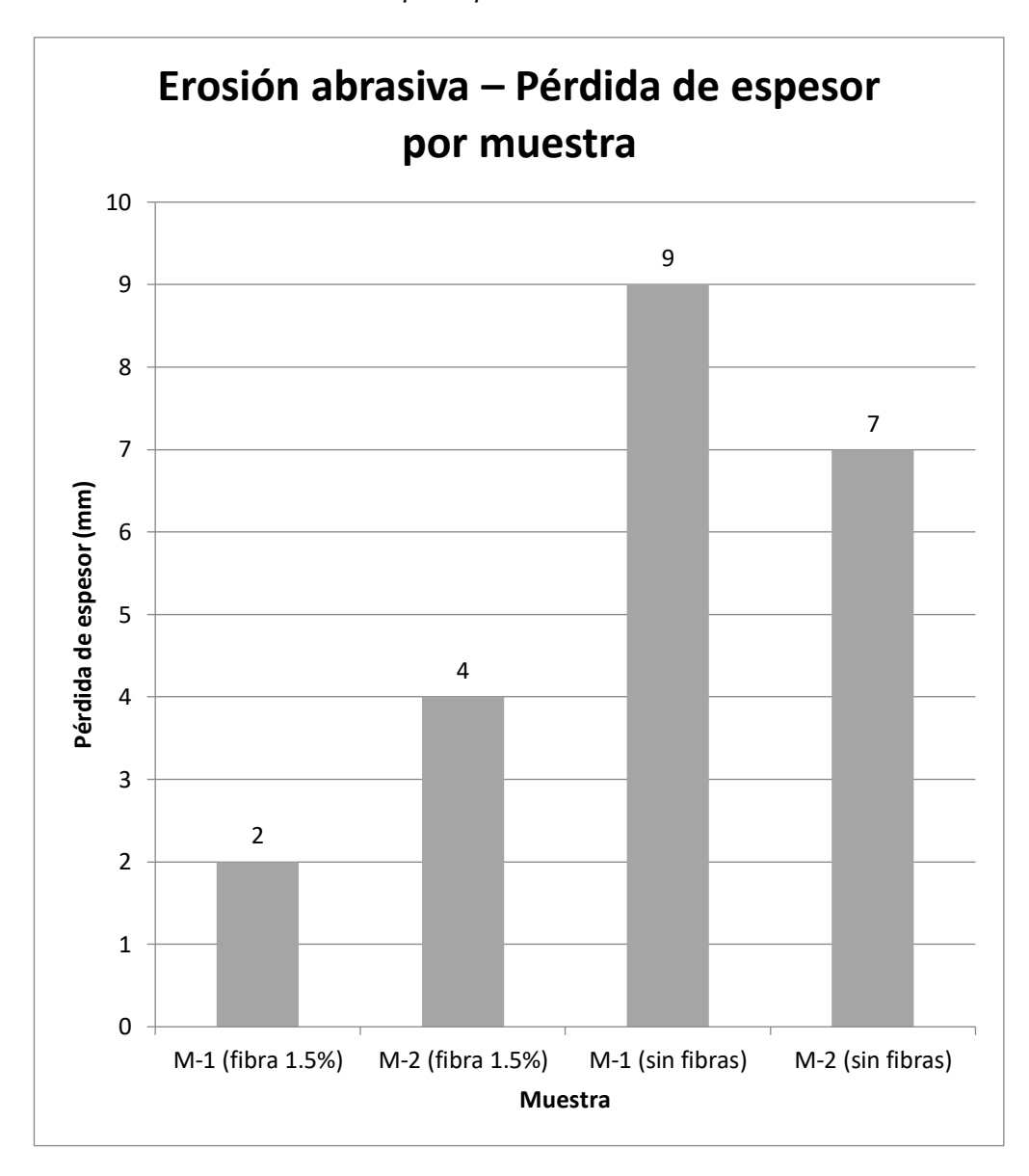
Figura 23
Erosión abrasiva - Diferencia de pesos por muestra



En el gráfico se ve que todas las muestras con fibras de agave (1.5%) que la M-1 pierde 13.7 g y la M-2 pierde 15.7 g, mientras que las muestras sin fibras pierden M-1= 33.2 g y M-2 =29.0 g, lo que se entiende que existe un factor de mejora e indica mayor resistencia al desgaste por cepillado en los morteros reforzados con fibras de agave.

Figura 24

Erosión abrasiva - Pérdida de espesor por muestra



En el gráfico se ve que todas las muestras con fibras de agave (1.5%) presentan pérdidas 2mm y 4mm de perdida de espesor, contra las muestras sin fibras de agave, pierden 9mm y 7mm. La adición del 1.5% de fibra de agave reduce la pérdida de masa y de espesor.

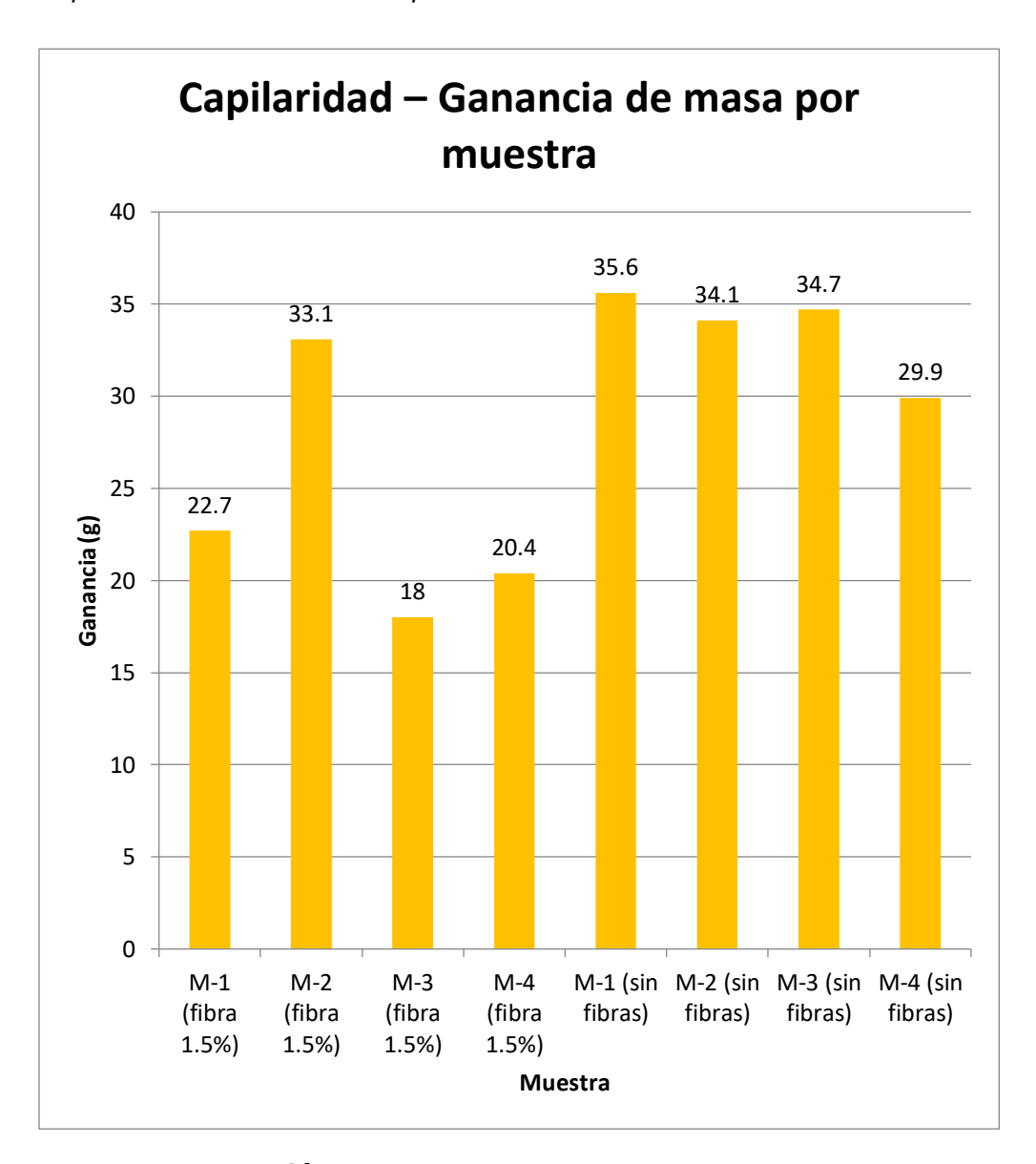
Tabla 10Resultados del ensayo de Capilaridad

ID	Tino	Masa seca	Masa tras	Cananaia	Evolucción
טו	Tipo	inicial (g)	inmersión (g)	Ganancia	Evaluación
	Con			22.	
M-1	fibras	529.2	551.9	7	
	(1.5%)			'	
	Con			33.	
M-2	fibras	522.6	555.7	33. 1	
	(1.5%)			Į	
	Con				
M-3	fibras	536.1	554.1	18	
	(1.5%)				
	Con			20	
M-4	fibras	580.6	601	20. 4	
	(1.5%)			4	
MA	Sin	460.3	504.0	35.	
M-1	fibras	469.3	504.9	6	
	Sin			34.	
M-2	fibras	524.3	558.4	1	
	Sin			34.	Desprendi
M-3	fibras	510.3	545	7	miento de
	погаз			,	la muestra
	. .				
M-4	Sin	505.7	535.6	29.	
	fibras			9	

Mejor resultado

Las muestras con fibras de agave demostraron mayor resistencia a la absorción capilar, lo que contribuye a la durabilidad y estabilidad del revestimiento frente a la humedad.

Figura 25
Capilaridad - Ganancia de masa por muestra



En el gráfico se ve que todas las muestras con fibras de agave (1.5%) presentan ganancias moderadas 22.7g, 33.1g, 18.0g y 20.4g. En cambio, las muestras sin fibras de agave absorben mas agua dando como resultados 35.6 g, 34.1 g, 34.7 g y 29.9 g y la M-3 evidencio desprendimiento de la muestra. Es así que se comprueba que la muestra sin fibras de agave absorbe más agua, lo que denota mayor porosidad efectiva.

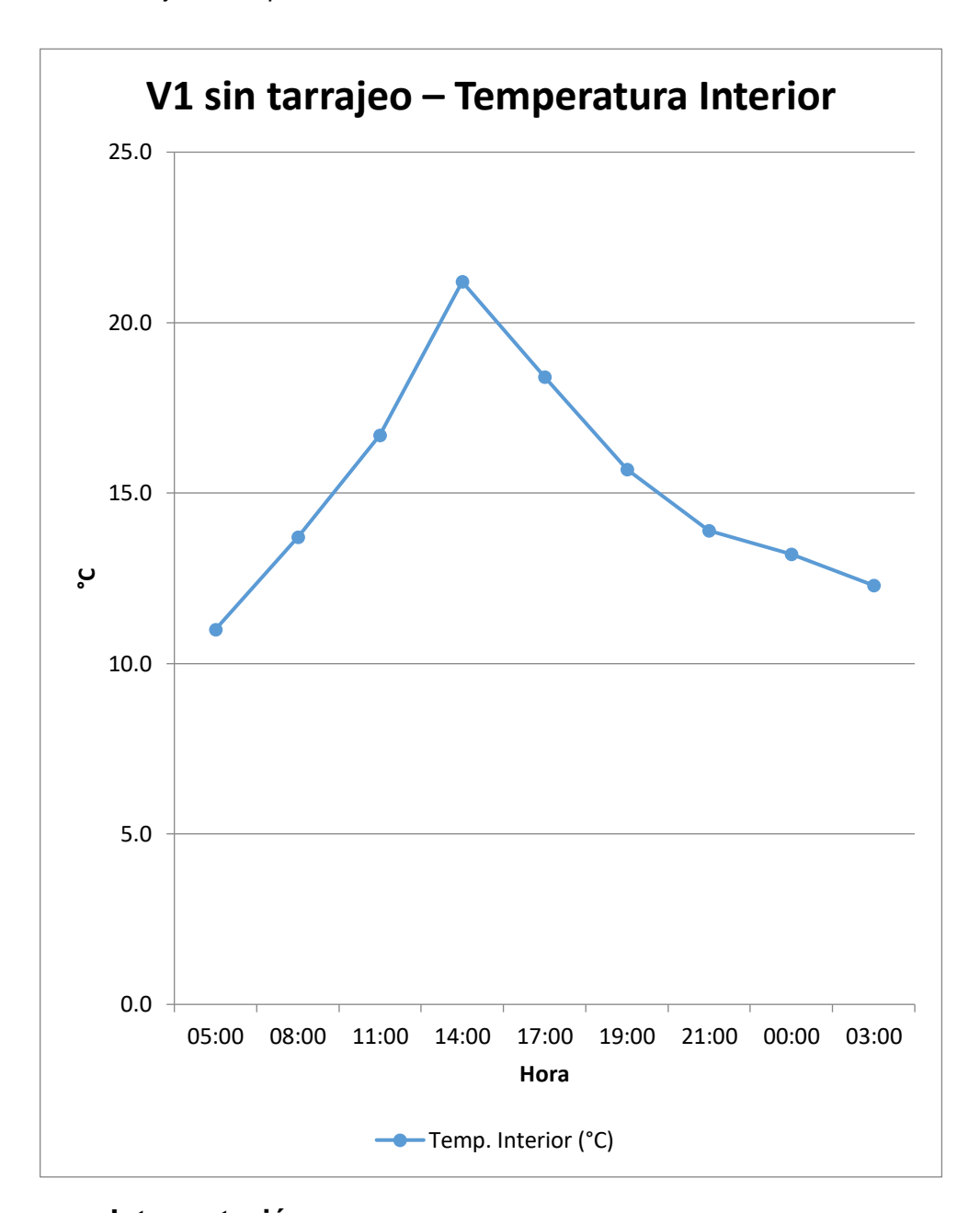
4.1.3. RESULTADOS DE LA TEMPERATURA DE LAS VIVIENDAS SIN EL MORTERO CON FIBRAS DE AGAVE

Se realizó la medición de la temperatura en cada vivienda que estaban sin tarrajear con el mortero con fibras de Agave, de acuerdo a las horas establecidas.

Tabla 11Resultados de la Vivienda 1 sin tarrajear con el mortero con fibras de Agave

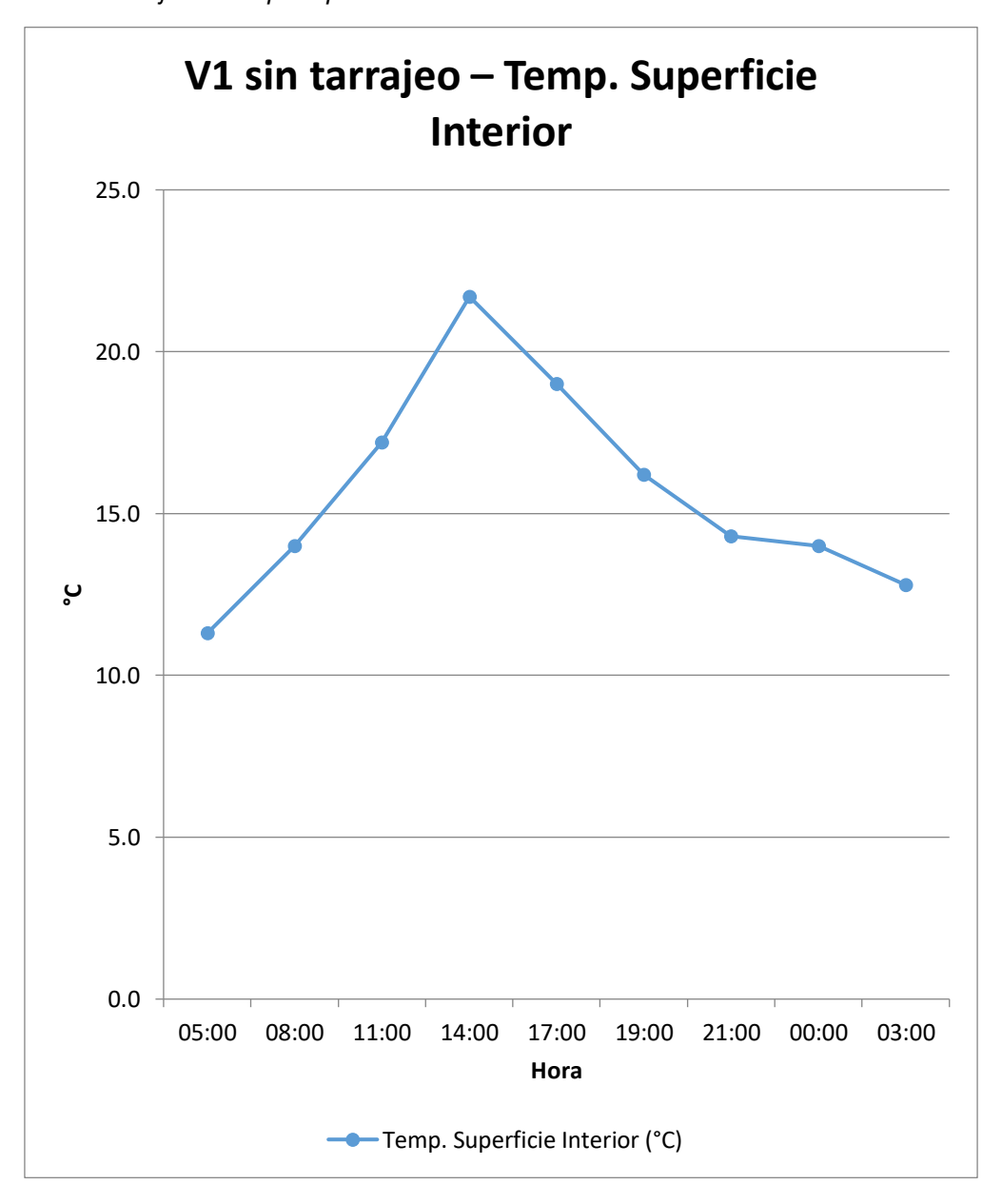
Hora	Temp. Interior (°C)	Temp. Exterior (°C)	Diferencia (°C)	Temp. Superficie Interior (°C)	Temp. Superficie Exterior (°C)
5:00	11.0	10.4	0.6	11.3	10.6
a.m.					
08:00	13.7	12.5	1.2	14	13.3
a.m.					
11:00	16.7	14.3	2.4	17.2	15.6
a.m.					
14:00	21.2	20.2	1	21.7	20.8
p.m.					
17:00 p.m.	18.4	17.5	0.9	19	18.1
19:00 p.m.	15.7	15.2	0.5	16.2	15.4
21:00	13.9	13.2	0.7	14.3	13.5
p.m.					
00:00	13.2	12.8	0.4	14	13
a.m.					
	12.3	12.0	0.3	12.8	12.1
03:00					
a.m.					

Figura 26 V1 sin tarrajeo - Temperatura interior



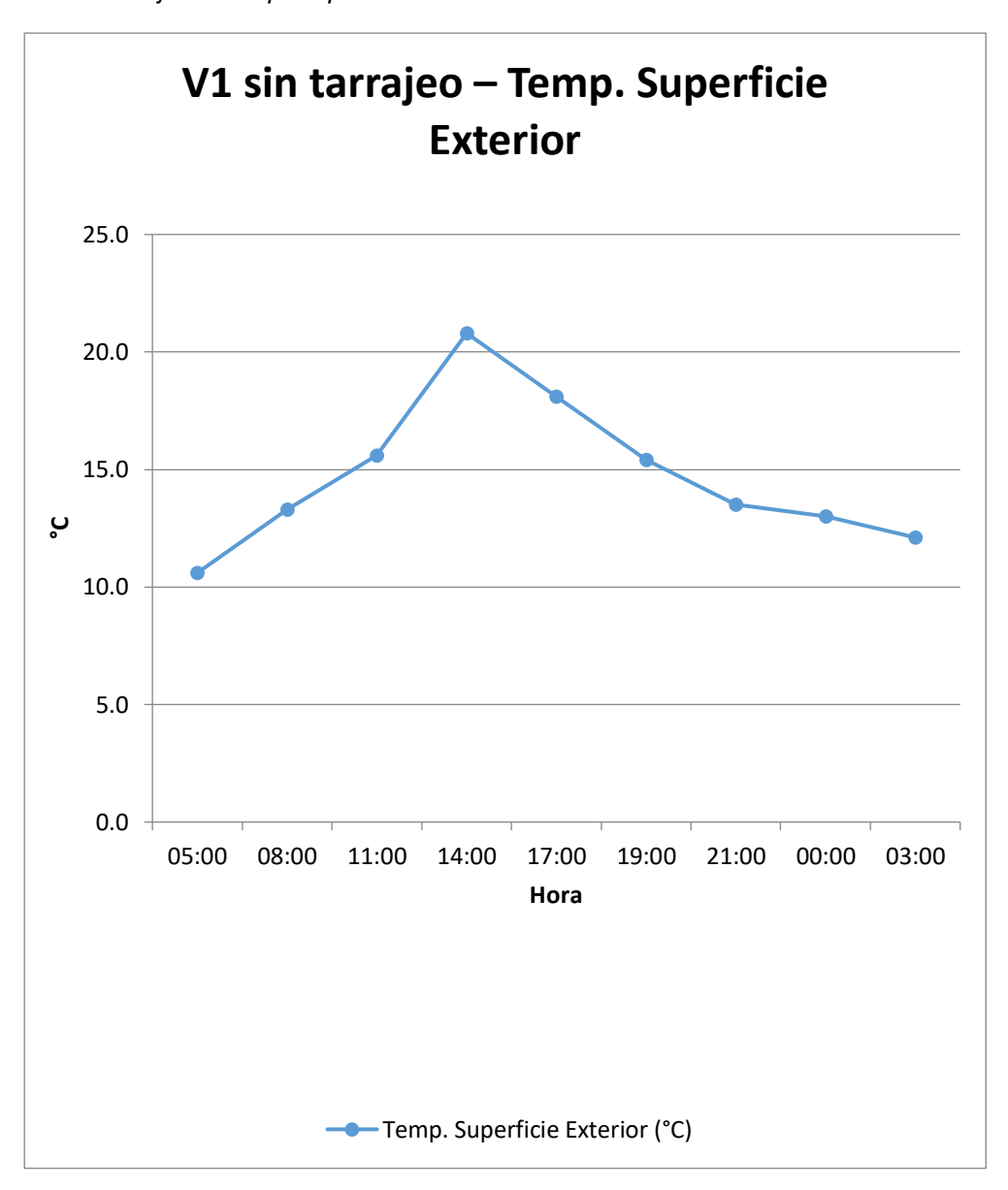
En el gráfico se ve que la temperatura interior muestra un ciclo diurno típico, con mínimo cercano a 11 °C a las 05:00 y máximo 21.2 °C a las 14:00. Luego desciende gradualmente hasta 12-13 °C en la madrugada.

Figura 27
V1 sin tarrajeo - Temp. Superficie Interior



En el gráfico se ve que la superficie interior repite el patrón de la temperatura interior, con valores apenas superiores a 11°C y máximo a 21.7 °C a las 14:00. La caída al anochecer es sostenida. La similitud y el bajo desfase confirman que el muro transmite calor con rapidez, evidenciando limitada aislamiento al no contar con tarrajeo con fibras.

Figura 28
V1 sin tarrajeo - Temp. Superficie Exterior

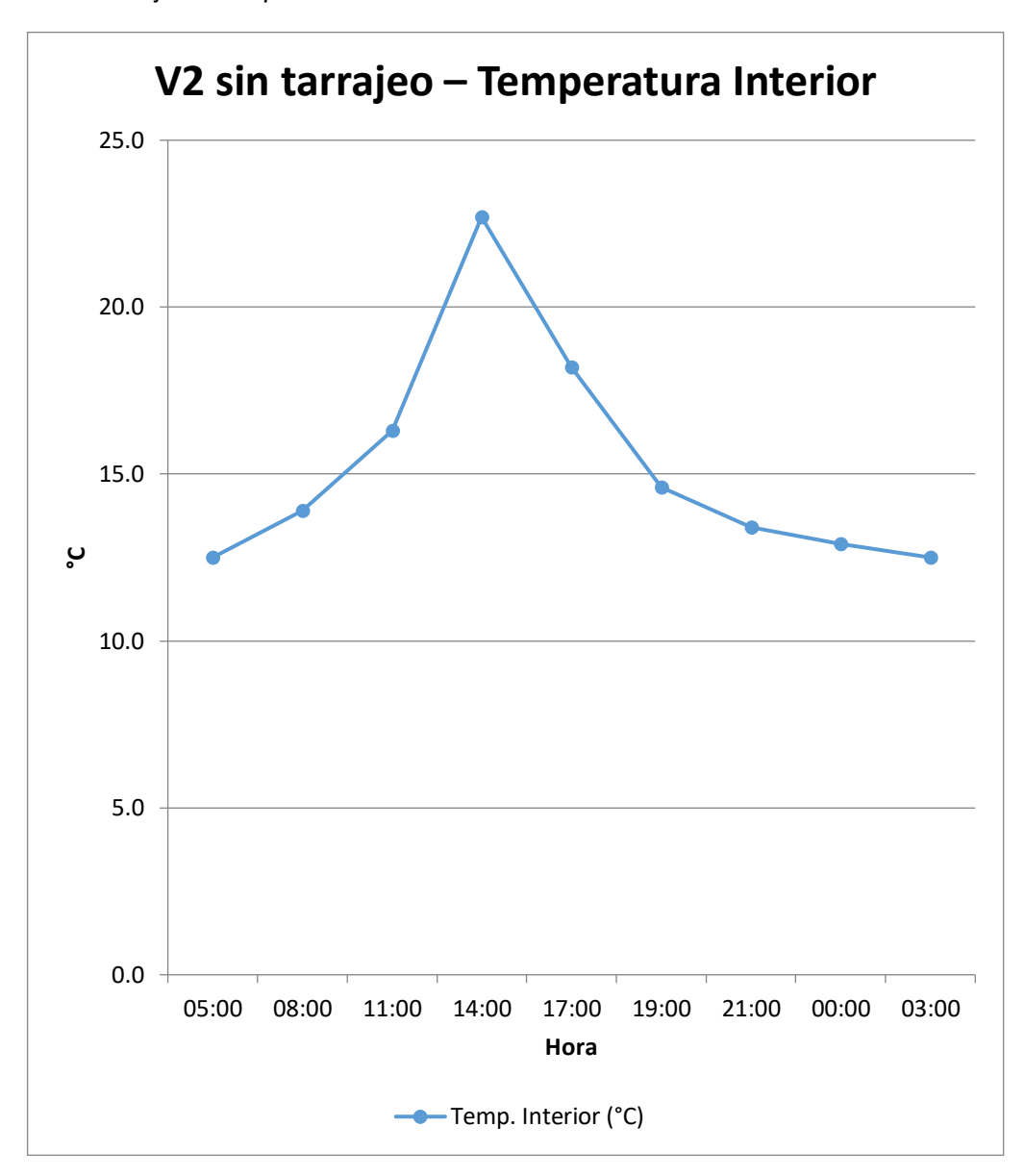


En el gráfico se ve que la superficie exterior se eleva rápidamente hasta 21 °C a las 14:00 y disminuye después. Se observan mínimos de 10–12 °C en la madrugada. El pico coincide con los otros gráficos, sugiriendo desfase casi nulo y alta sensibilidad a la radiación solar. Sin recubrimiento, el muro responde casi en tiempo real, favoreciendo sobrecalentamiento diurno y enfriamiento nocturno.

Tabla 12Resultados de la Vivienda 2 sin tarrajear con el mortero con fibras de Agave

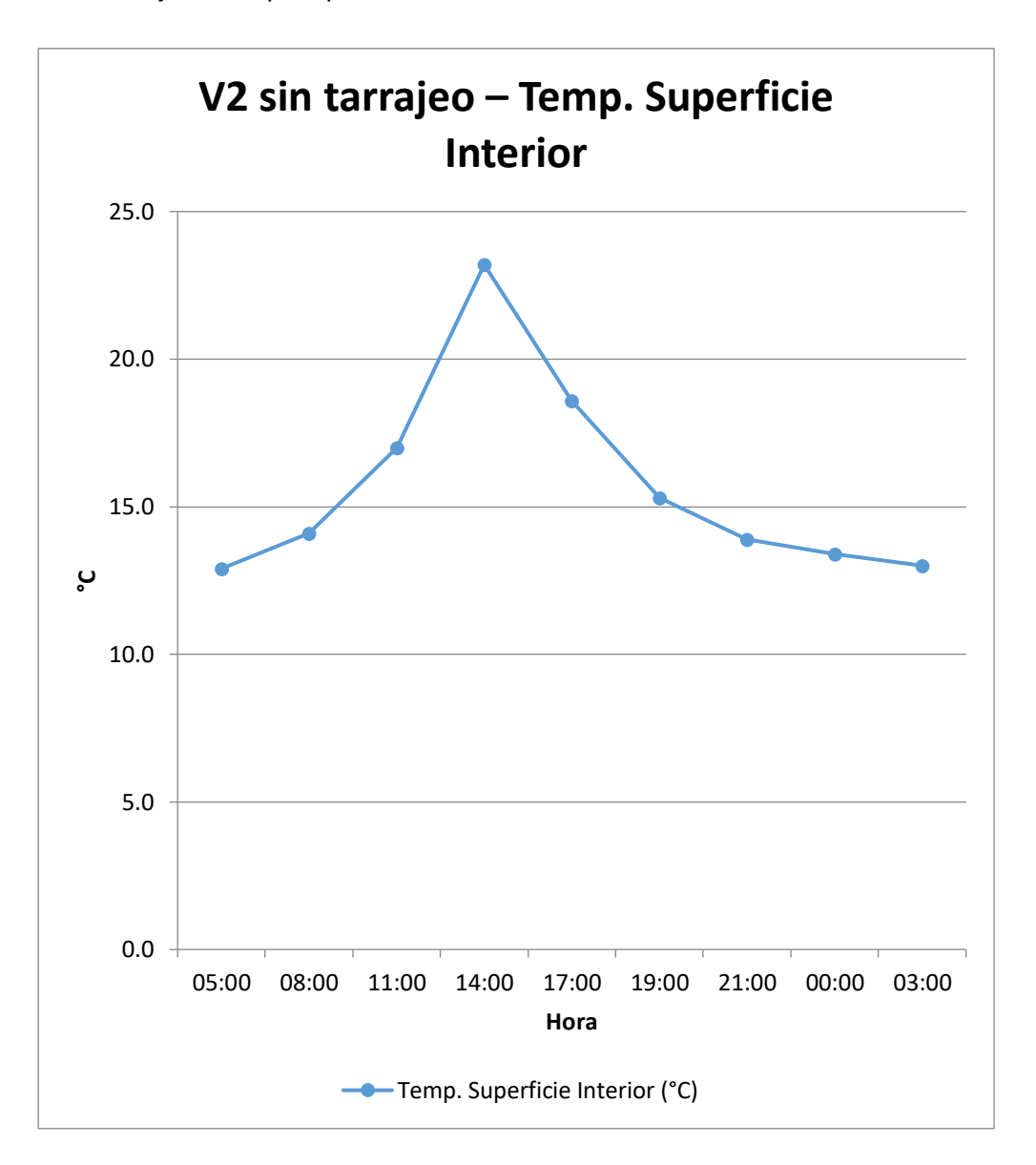
Hora	Temp. Interior (°C)	Temp. Exterior (°C)	Diferencia (°C)	Temp. Superficie Interior (°C)	Temp. Superficie Exterior (°C)
05:00	12.5	11.8	0.7	12.9	12.3
a.m.					
08:00	13.9	13.5	0.4	14.1	13.7
a.m.					
11:00	16.3	15.6	0.7	17.0	16.1
a.m.					
14:00	22.7	21.7	1.0	23.2	22.2
p.m.					
17:00	18.2	17.9	0.3	18.6	18.1
p.m.					
19:00	14.6	14.0	0.6	15.3	14.3
p.m.					
21:00	13.4	12.9	0.5	13.9	13.0
p.m.					
00:00	12.9	12.6	0.3	13.4	12.8
a.m.					
	12.5	12.1	0.4	13.0	12.3
03:00					
a.m.					

Figura 29
V2 sin tarrajeo - Temperatura Interior



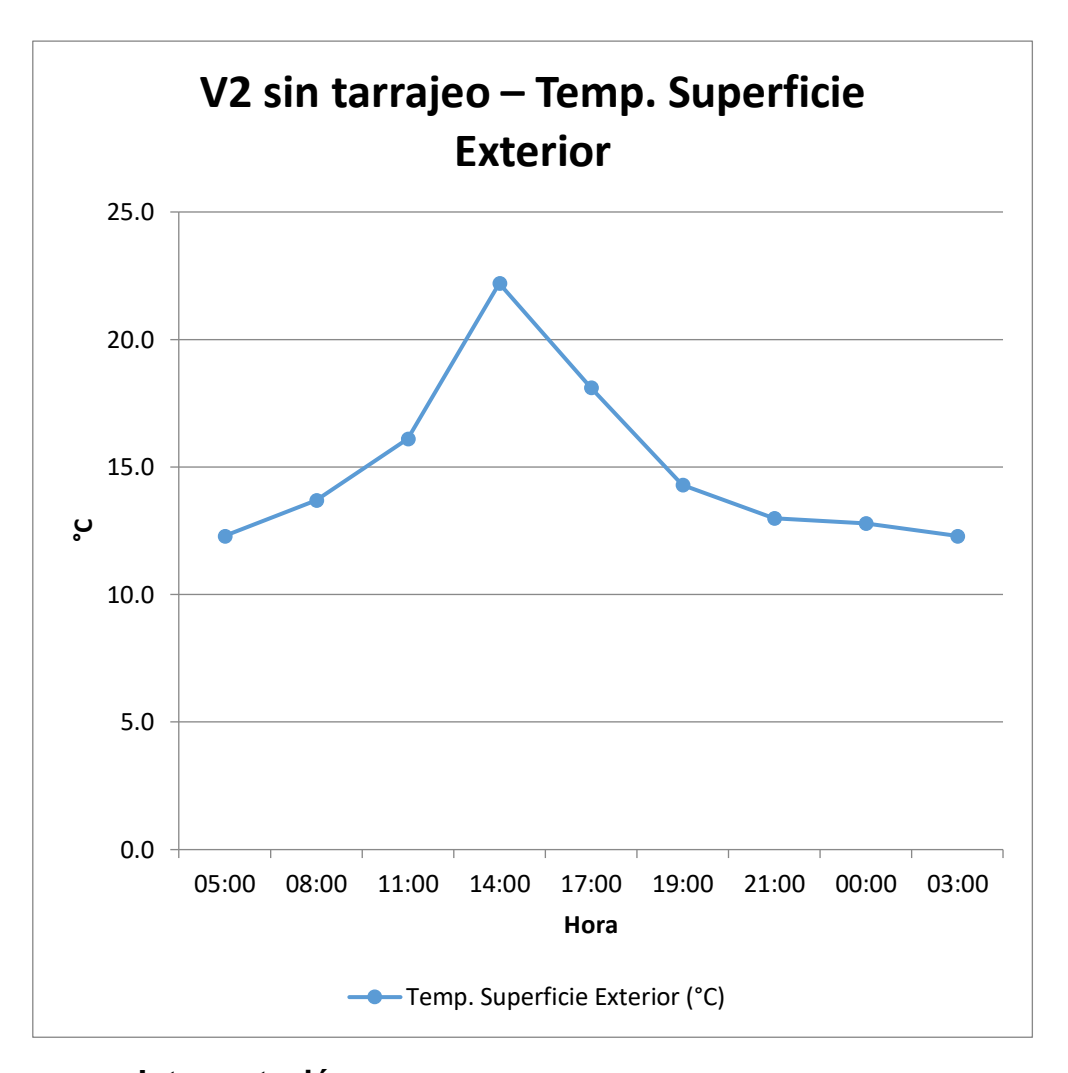
En el gráfico se ve que el aire interior sigue un ciclo diurno marcado: mínimo cercano a 12–13 °C al amanecer y máximo ~23 °C a las 14:00. La amplitud (~10–11 °C) y el descenso acelerado tras la tarde evidencian poca atenuación y escaso desfase térmico. El ambiente responde casi al mismo ritmo que el exterior, con riesgo de sobrecalentamiento diurno y enfriamiento nocturno.

Figura 30 V2 sin tarrajeo - Temp. Superficie Interior



En el gráfico se ve que la superficie interior replica la curva del aire interior, con máximo ~23 °C a las 14:00 y diferencias menores a 1 °C. Esta coincidencia indica transmisión térmica rápida a través del muro y baja inercia del material sin tarrajeo. El muro absorbe el calor durante el día y lo libera pronto, sin almacenamiento apreciable.

Figura 31
V2 sin tarrajeo - Temp. Superficie Exterior

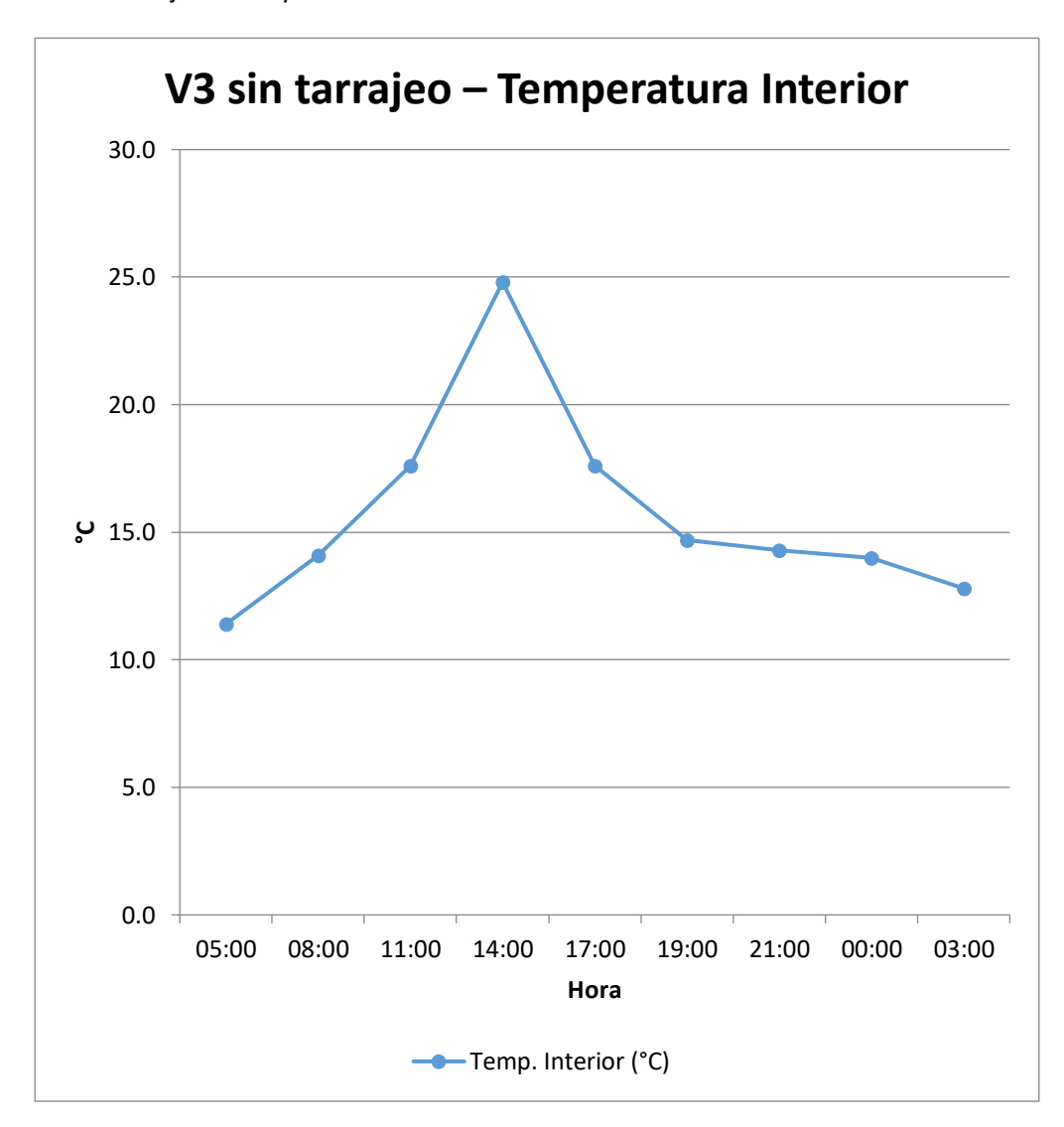


En el gráfico se ve que la cara exterior del muro aumenta con la radiación solar hasta 22 °C a las 14:00 y luego desciende sostenidamente hasta ~2–13 °C en la madrugada. La simultaneidad del pico con las otras series sugiere desfase casi nulo. Sin tarrajeo, el muro exterior queda muy expuesto, dominado por la ganancia solar y transmitiendo esas variaciones hacia el interior.

Tabla 13Resultados de la Vivienda 3 sin tarrajear con el mortero con fibras de Agave

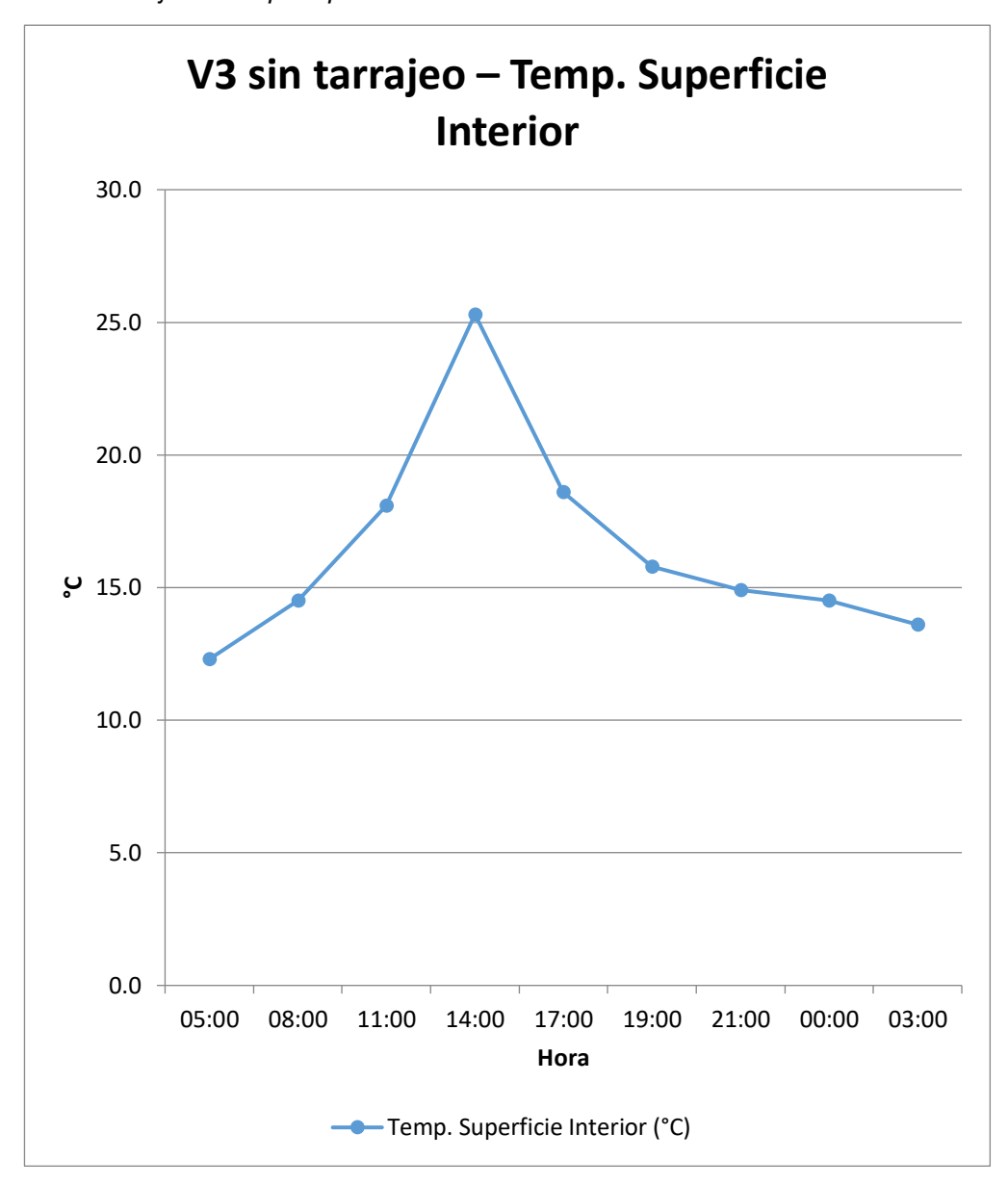
Hora	Temp. Interior (°C)	Temp. Exterior (°C)	Diferencia (°C)	Temp. Superficie Interior (°C)	Temp. Superfici e Exterior (°C)
05:00	11.4	10.2	1.2	12.3	11.0
a.m.					
08:00	14.1	13.9	0.2	14.5	14.2
a.m.					
11:00	17.6	17.2	0.4	18.1	17.5
a.m.					
14:00	24.8	23.2	1.6	25.3	24.5
p.m.					
17:00 p.m.	17.6	16.9	0.7	18.6	18.1
19:00 p.m.	14.7	14.1	0.6	15.8	14.8
21:00 p.m.	14.3	13.8	0.5	14.9	14.3
00:00 a.m.	14.0	13.3	0.7	14.5	13.9
	12.8	11.4	1.4	13.6	12.8
03:00 a.m.					

Figura 32
V3 sin tarrajeo - Temperatura Interior



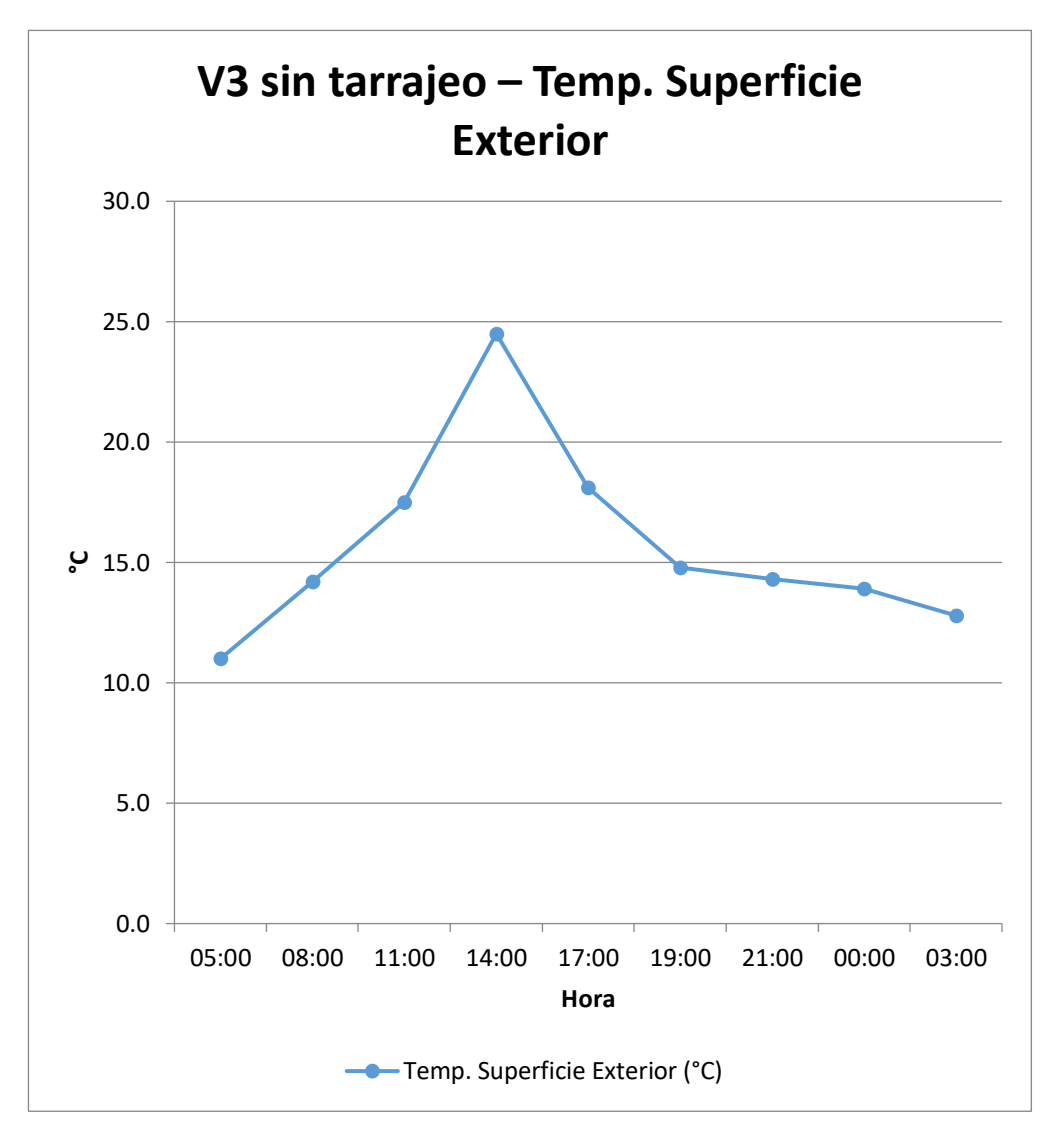
En el gráfico se ve que la temperatura interior muestra fuerte oscilación diaria; inicia 11 °C a las 05:00, alcanza máximo 25 °C a las 14:00, luego cae a 13 °C hacia la madrugada. La amplitud (14 °C) y el pico coincidente con la tarde evidencian baja atenuación y escaso desfase. El ambiente se calienta rápidamente con la radiación y pierde calor con rapidez nocturna, afectando el confort.

Figura 33 V3 sin tarrajeo - Temp. Superficie Interior



En el gráfico se ve que la superficie interior sigue prácticamente la misma curva que el aire: sube de 12–13 °C a 25 °C a las 14:00 y desciende a 13–14 °C de madrugada. Diferencias menores a 1 °C indican transferencia rápida a través del muro y limitada inercia térmica. Sin tarrajeo, el calor absorbido durante el día se libera temprano, sin almacenamiento útil.

Figura 34
V3 sin tarrajeo - Temp. Superficie Exterior

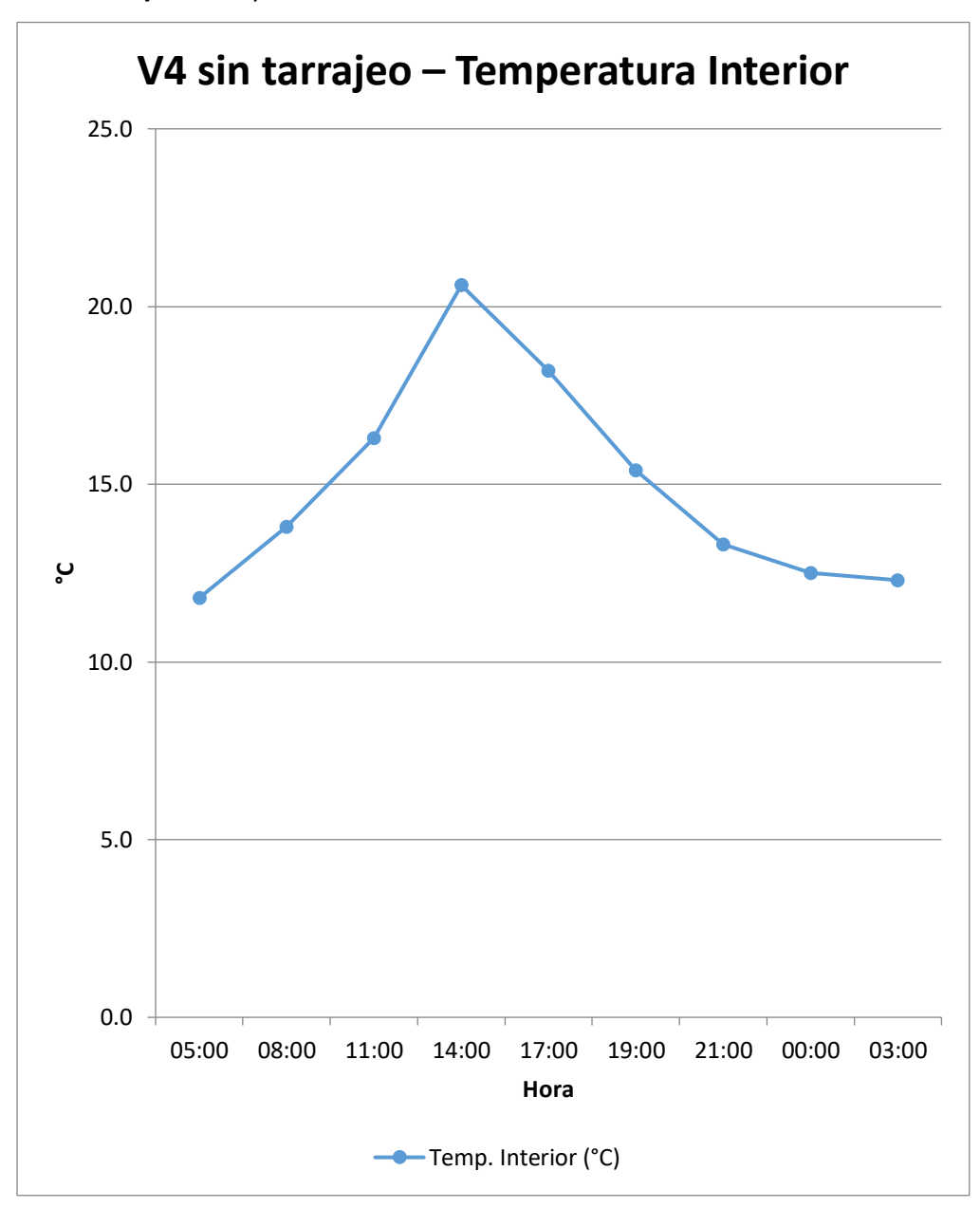


En el gráfico se ve que la cara exterior del muro responde a la radiación con un ascenso veloz hasta 24–25 °C a las 14:00 y baja progresiva después, con mínimos de 11–12 °C en la madrugada. La simultaneidad del máximo con las otras series revela desfase práctico nulo. La exposición directa favorece sobrecalentamiento diurno y enfriamiento nocturno, transmitiendo esas variaciones al interior.

Tabla 14Resultados de la Vivienda 4 sin tarrajear con el mortero con fibras de Agave

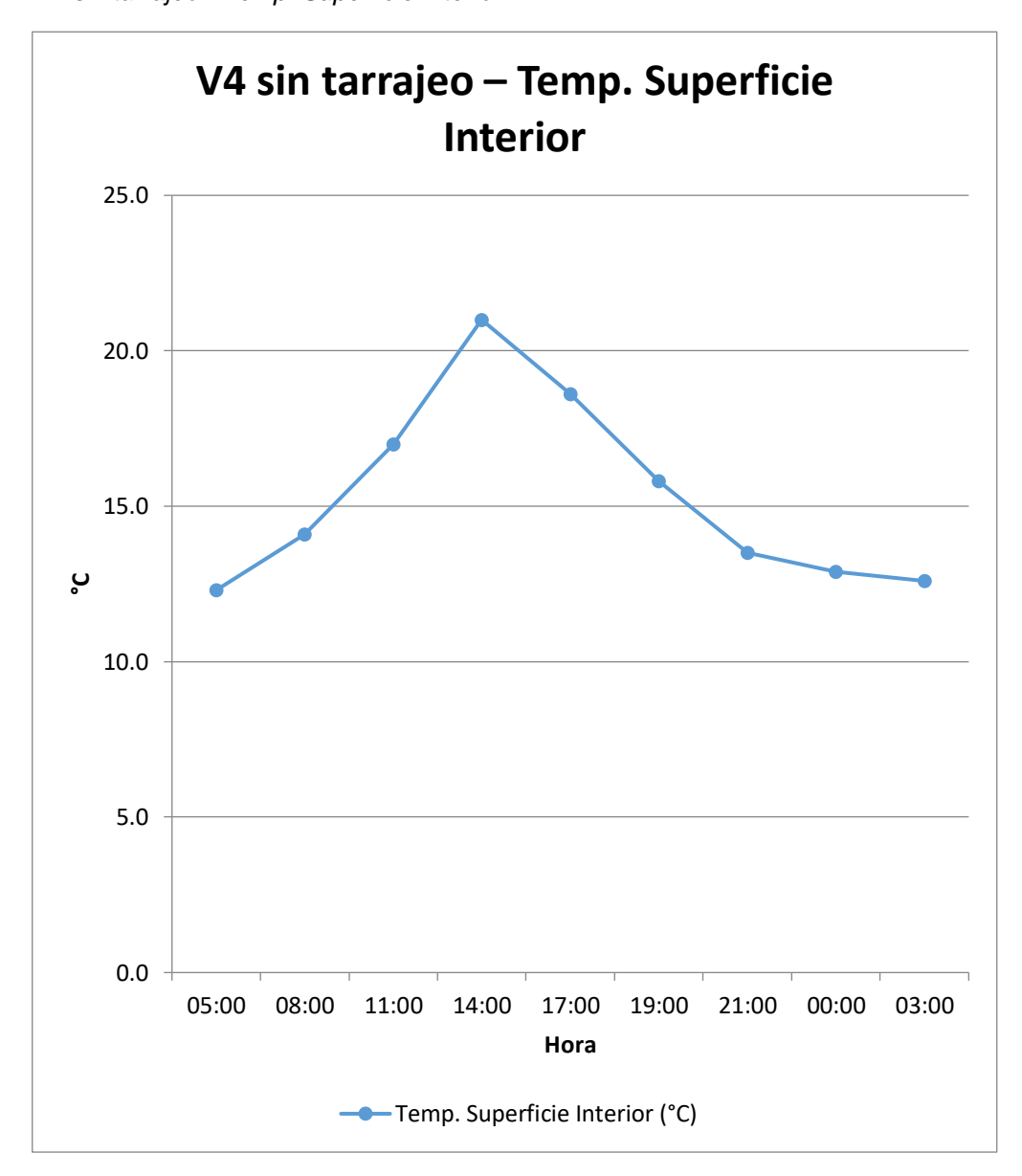
Hora	Temp. Interior (°C)	Temp. Exterior (°C)	Diferencia (°C)	Temp. Superficie Interior (°C)	Temp. Superfici e Exterior (°C)
05:00	11.8	9.2	2.6	12.3	11.0
a.m.					
08:00	13.8	12.1	1.7	14.1	13.1
a.m.					
11:00	16.3	14.2	2.1	17.0	15.8
a.m.					
14:00	20.6	19.5	1.1	21.0	20.3
p.m.					
17:00	18.2	17.1	1.1	18.6	17.9
p.m.					
19:00	15.4	14.8	0.6	15.8	15.1
p.m.					
21:00	13.3	12.6	0.7	13.5	12.8
p.m.					
00:00	12.5	12.1	0.4	12.9	12.3
a.m.					
03:00	12.3	11.7	0.6	12.6	11.9
a.m.					

Figura 35
V4 sin tarrajeo - Temperatura Interior



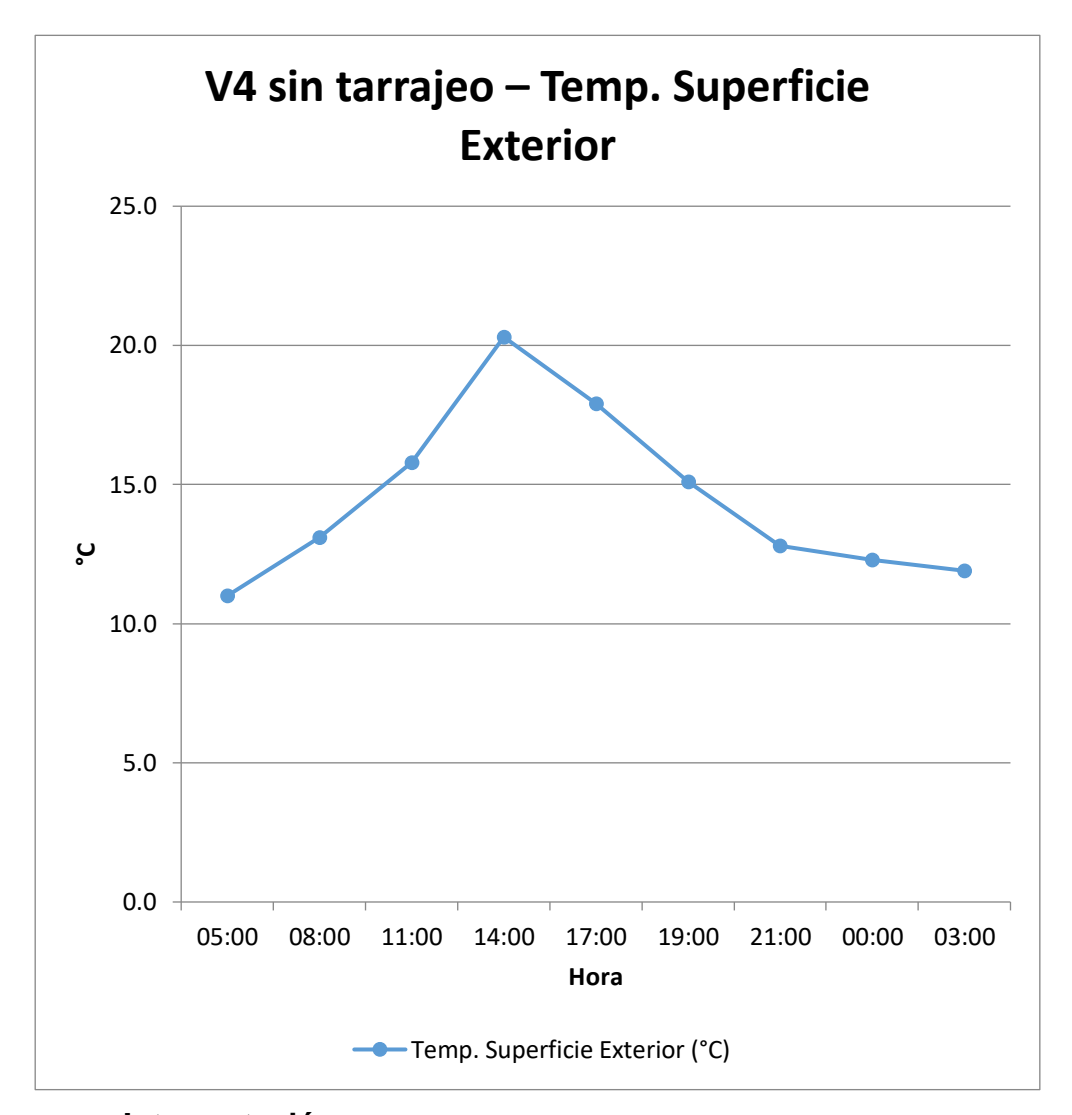
En el gráfico se ve que el interior registra un ciclo típico: arranca 12 °C a las 05:00, alcanza 20–21 °C a las 14:00 y desciende luego hasta 12–13 °C en la madrugada. La amplitud cercana a 9 °C y el pico sin desfase relevante frente al exterior evidencian baja atenuación térmica; la vivienda se calienta con rapidez en la tarde y pierde calor pronto por la noche.

Figura 36
V4 sin tarrajeo - Temp. Superficie Interior



En el gráfico se ve que la superficie interior repite casi punto a punto al aire interior: sube de 12–13 °C a 21 °C a las 14:00 y cae de forma sostenida después. Las diferencias son mínimas (<1 °C), lo que sugiere transferencia rápida a través del muro y poca inercia del material sin tarrajeo. El calor diurno no se almacena y se libera temprano.

Figura 37
V4 sin tarrajeo - Temp. Superficie Exterior



En el gráfico se ve que la cara exterior del muro aumenta con la radiación hasta 20 °C a las 14:00 y disminuye gradualmente a 11–12 °C en la madrugada. La coincidencia temporal del máximo con las otras series indica desfase casi nulo. Al no contar con recubrimiento de mejora, el muro responde de inmediato a la ganancia solar y transmite esas variaciones hacia el interior.

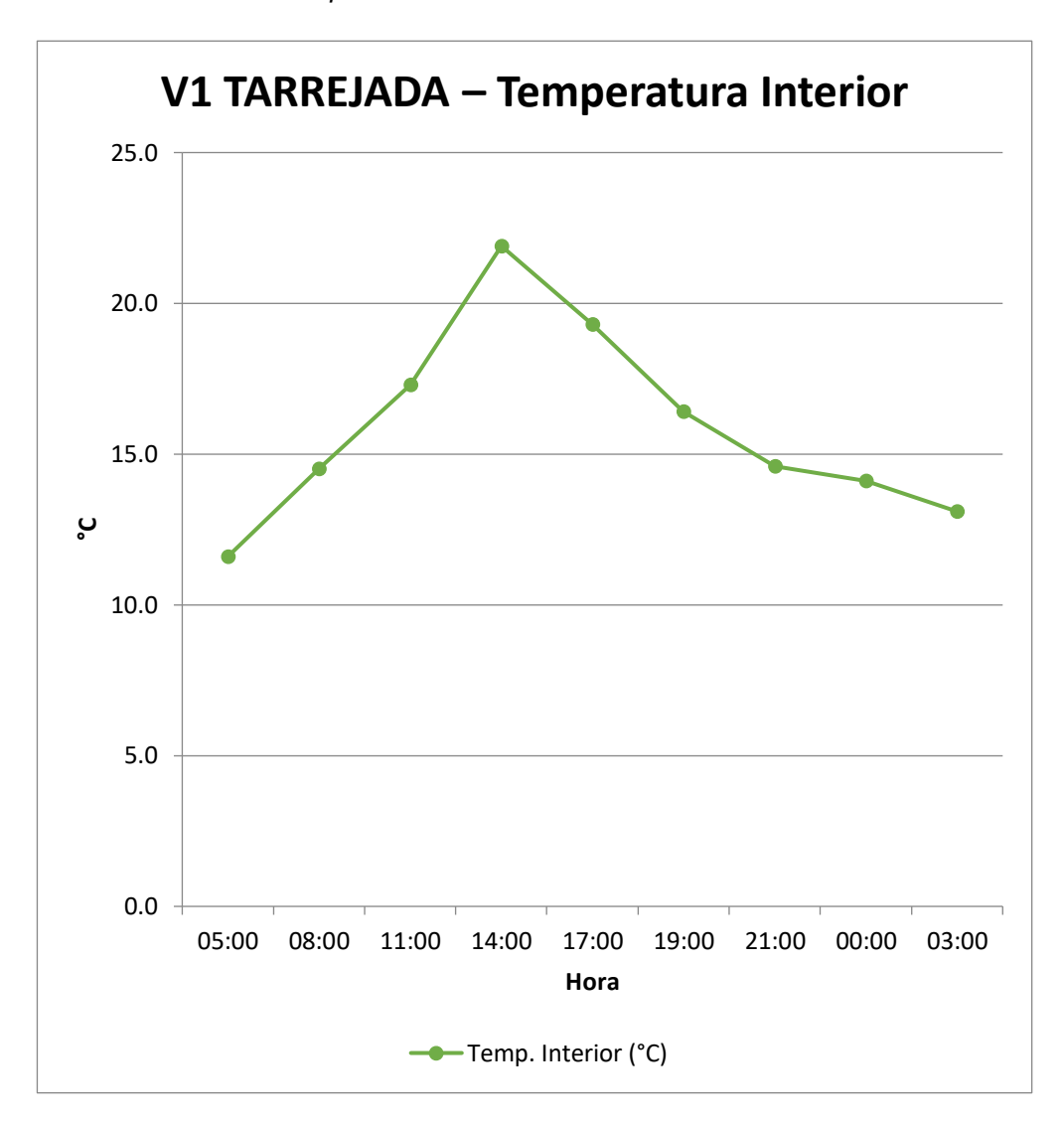
4.1.4. RESULTADOS DE LA TEMPERATURA DE LAS VIVIENDAS CON EL MORTERO CON FIBRAS DE AGAVE

Se realizó la medición de la temperatura en cada vivienda que estaban tarrajeadas con el mortero con fibras de Agave, de acuerdo a las horas establecidas.

Tabla 15Resultados de la Vivienda 1 tarrajeada con el mortero con fibras de Agave

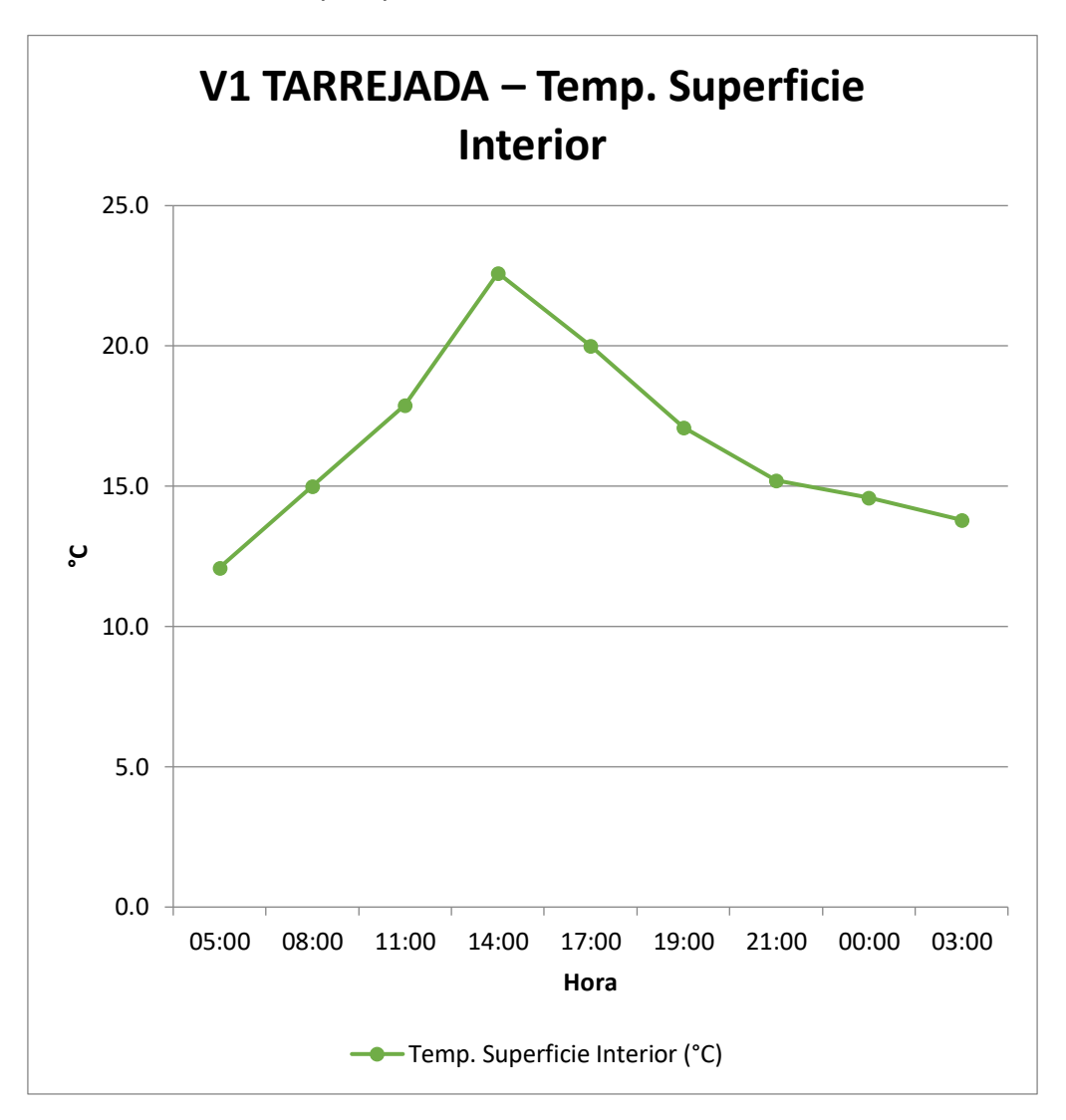
Hora	Temp. Interior (°C)	Temp. Exterior (°C)	Diferencia (°C)	Temp. Superficie Interior (°C)	Temp. Superficie Exterior (°C)
5:00 a.m.	11.6	10.3	1.3	12.1	11.3
08:00	14.5	11.9	2.6	15.0	13.8
a.m.					
11:00	17.3	13.9	3.4	17.9	16.8
a.m.					
14:00	21.9	21.5	0.4	22.6	21.7
p.m.					
17:00	19.3	17.7	1.6	20.0	18.7
p.m.					
19:00	16.4	15.9	0.5	17.1	16.1
p.m.					
21:00	14.6	13.8	8.0	15.2	14.1
p.m.					
00:00	14.1	12.5	1.6	14.6	13.8
a.m.					
03:00	13.1	11.8	1.3	13.8	12.6
a.m.					

Figura 38
V1 TARRAJEADA - Temperatura Interior



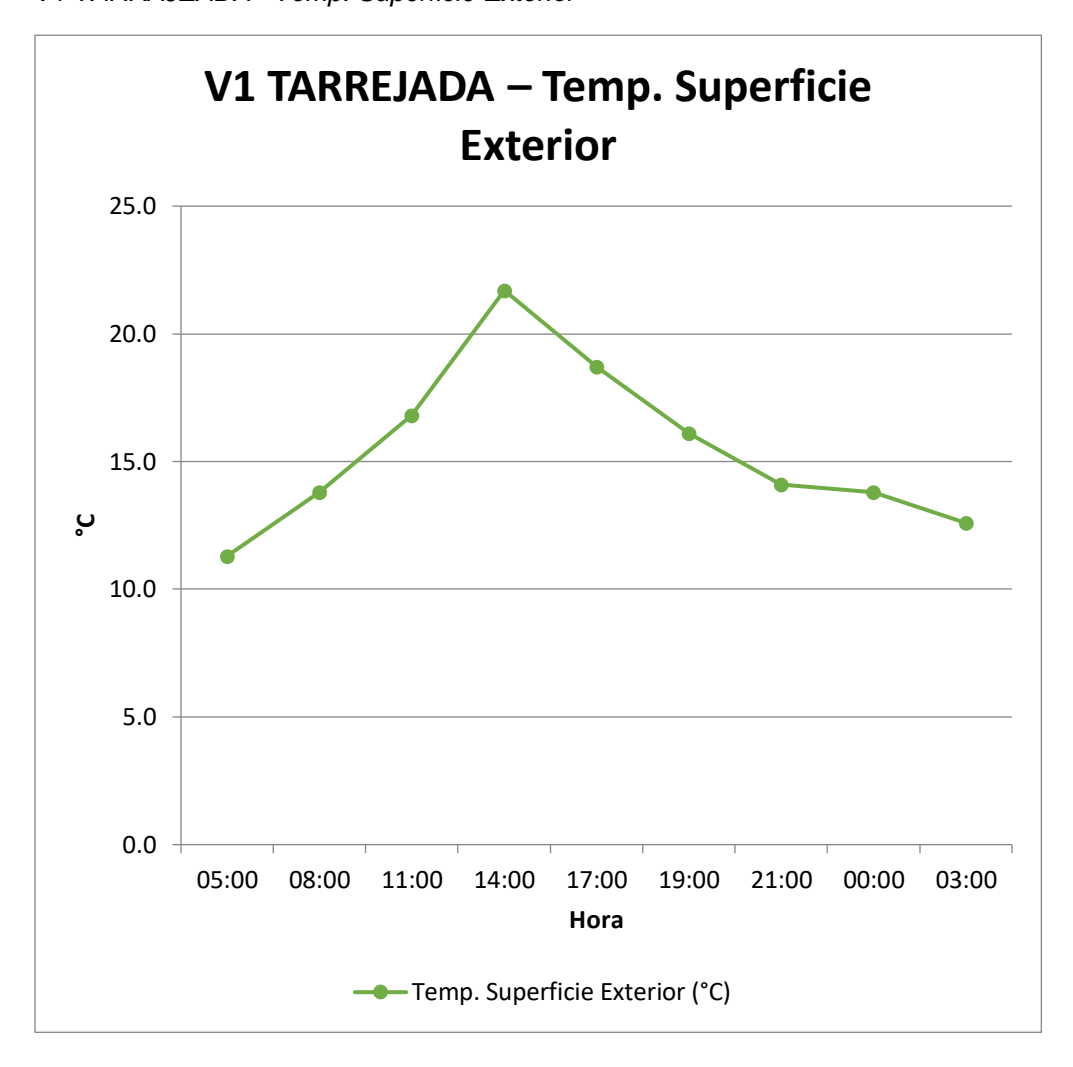
En el gráfico se ve que el ciclo diario se mantiene con máximo 22 °C a las 14:00 y mínimos 11–12 °C de madrugada. Respecto a la vivienda sin tarrajeo, el interior permanece 0.5–1 °C más templado casi todo el día y el enfriamiento nocturno es más lento. No hay desfase relevante del pico. Resultado: leve mejora del confort nocturno, con riesgo de mayor calentamiento en la tarde.

Figura 39
V1 TARRAJEADA - Temp. Superficie Interior



En el gráfico se ve que la pared interior alcanza 22–23 °C a las 14:00 y desciende gradualmente. Se observa una temperatura 0.5–1 °C superior y una pendiente vespertina algo más suave frente al caso sin tarrajeo, lo que sugiere ligera mayor inercia del paramento en contacto con el ambiente interior. Aire y superficie siguen curvas muy próximas, confirmando intercambio térmico rápido dentro del recinto.

Figura 40
V1 TARRAJEADA - Temp. Superficie Exterior

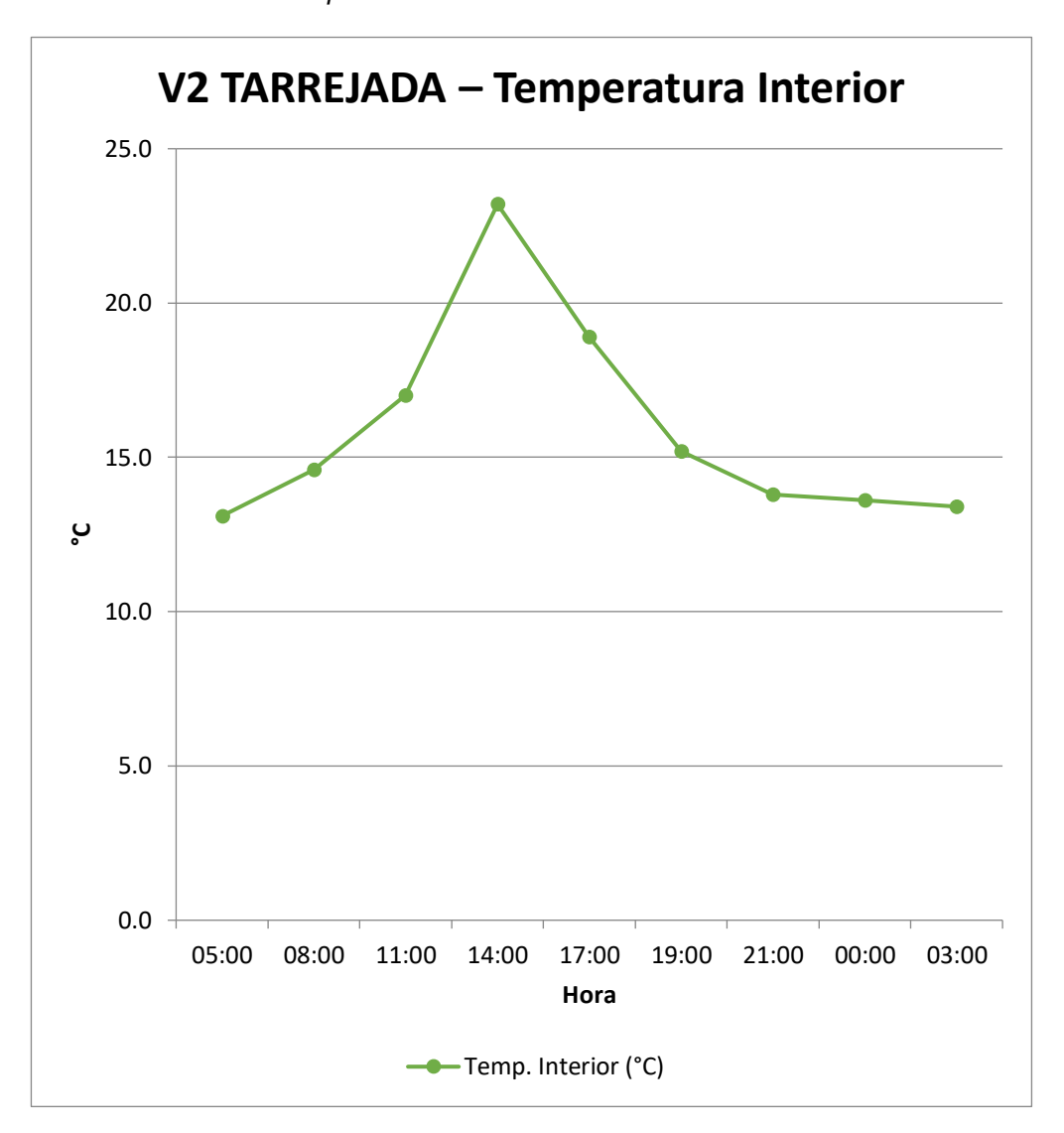


En el gráfico se ve que la cara exterior mantiene el patrón dominado por la radiación solar: máximo 21–22 °C a las 14:00 y descenso sostenido hasta 12–13 °C en la madrugada. Frente a la vivienda sin tarrajeo no se aprecian cambios importantes, por lo que el recubrimiento no modifica de forma significativa el comportamiento térmico exterior; los efectos positivos se concentran en el interior.

Tabla 16
Resultados de la Vivienda 2 tarrajeada con el mortero con fibras de Agave

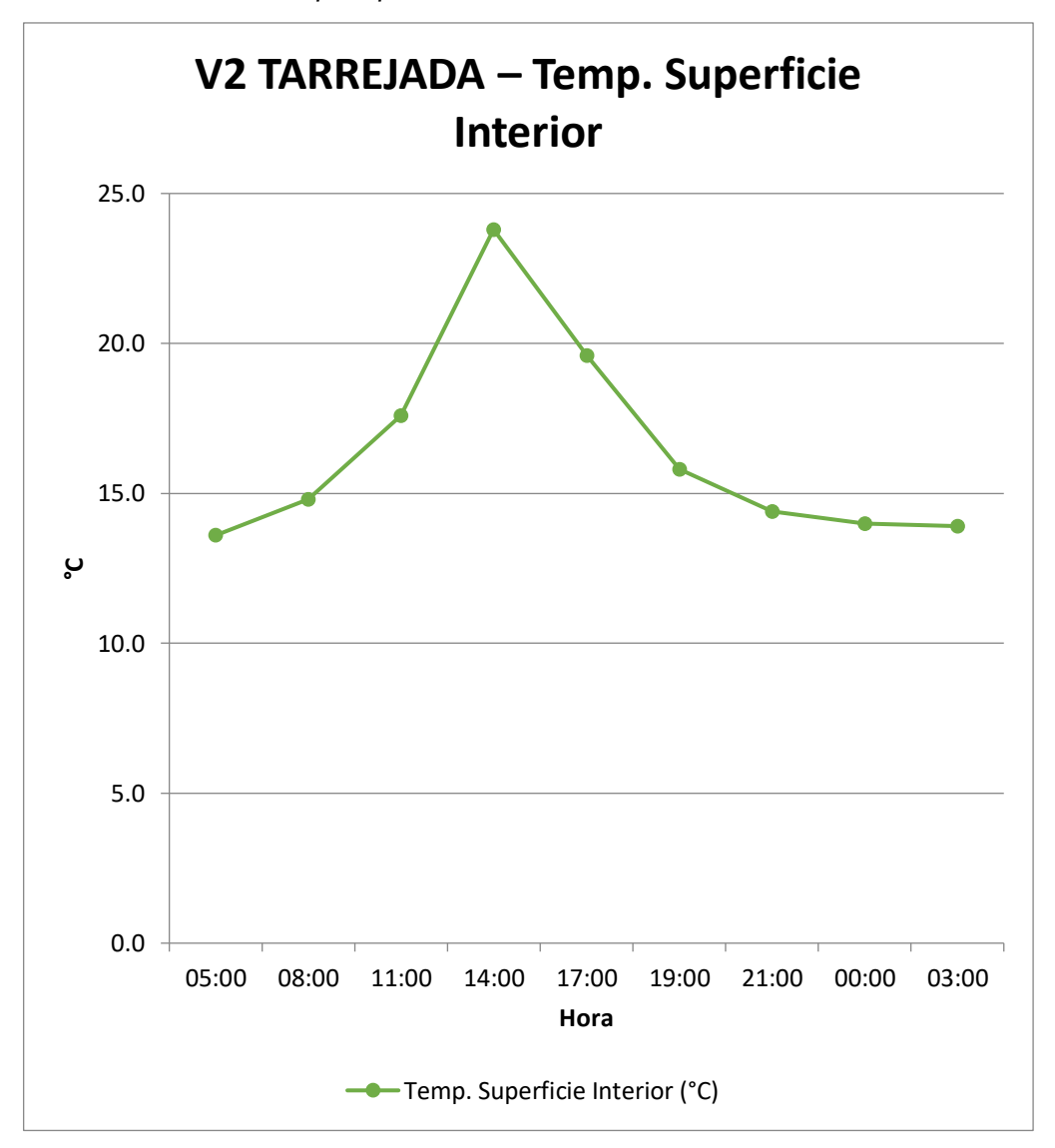
	Temp.	Temp.	Diferencia	Temp.	Temp.
Hora	Interior	Exterior	(°C)	Superficie	Superficie
	(°C)	(°C)	(0)	Interior (°C)	Exterior (°C)
05:00	13.1	11.8	1.3	13.6	12.9
a.m.					
08:00	14.6	13.1	1.5	14.8	14.1
a.m.					
11:00	17.0	15.3	1.7	17.6	16.6
a.m.					
14:00	23.2	21	2.2	23.8	22.8
p.m.					
17:00	18.9	18	0.9	19.6	18.6
p.m.					
19:00	15.2	13.9	1.3	15.8	14.8
p.m.					
21:00	13.8	13	0.8	14.4	13.5
p.m.					
00:00	13.6	13.1	0.5	14.0	13.3
a.m.					
03:00	13.4	12.2	1.2	13.9	12.8
a.m.					

Figura 41
V2 TARRAJEADA - Temperatura Interior



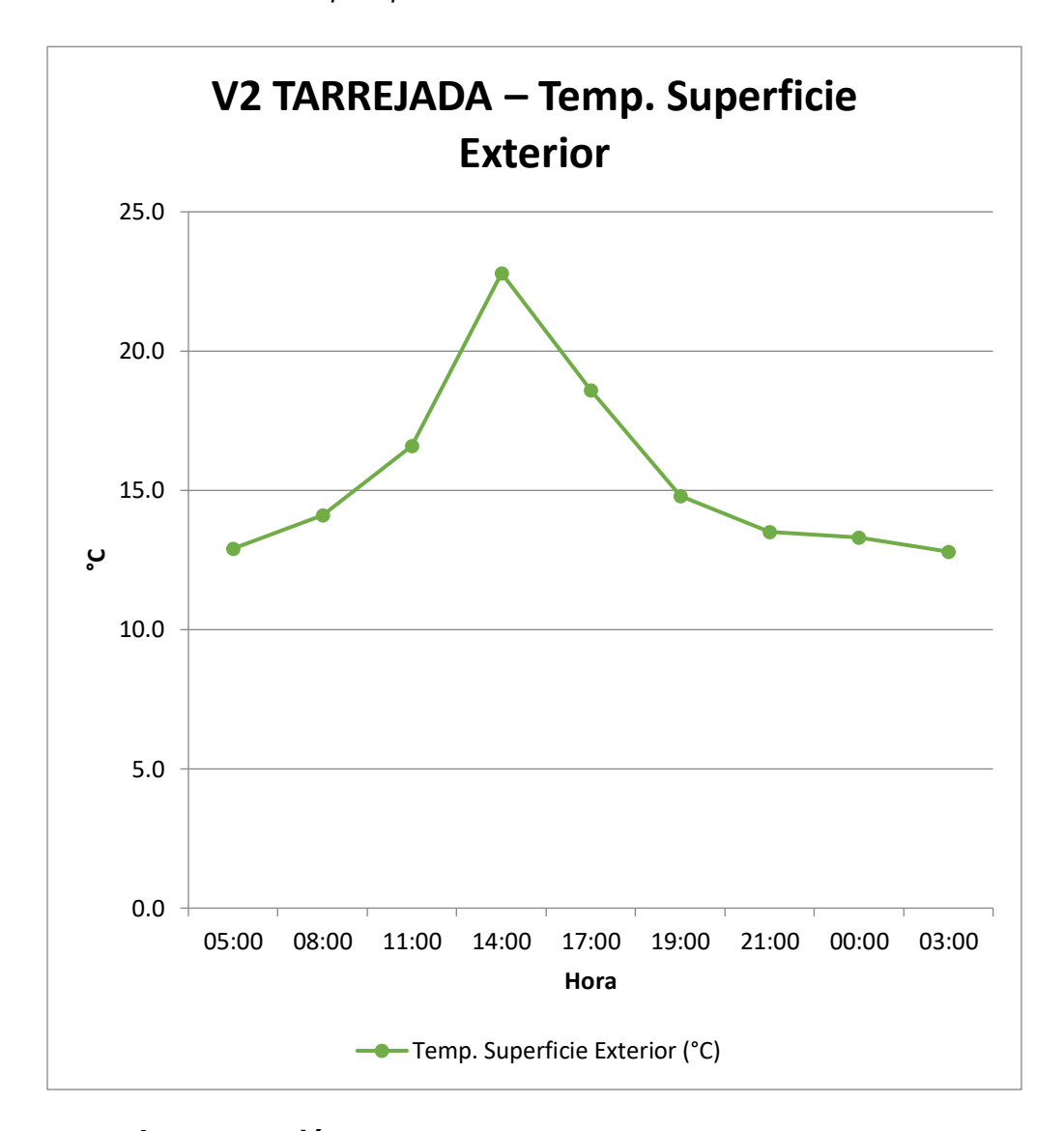
En el gráfico se ve que el patrón diario se mantiene: mínimo 13 °C al amanecer y máximo 23 °C a las 14:00. Frente a V2 sin tarrajeo, el enfriamiento vespertino es algo más lento y la amplitud térmica se reduce levemente (0.5–1 °C). No hay desfase apreciable del pico. Resultado: ligera mejora del confort nocturno, con persistente riesgo de sobrecalentamiento en horas de mayor radiación.

Figura 42
V2 TARRAJEADA - Temp. Superficie Interior



En el gráfico se ve que la superficie interior alcanza 24 °C a las 14:00 y desciende de manera más suave que sin tarrajeo. Se observa una temperatura algo superior (0.5–1 °C) durante la tarde y primeras horas de la noche, lo que sugiere una pequeña ganancia de inercia del muro por el recubrimiento. Aun así, el intercambio térmico con el aire interior sigue siendo rápido.

Figura 43
V2 TARRAJEADA - Temp. Superficie Exterior

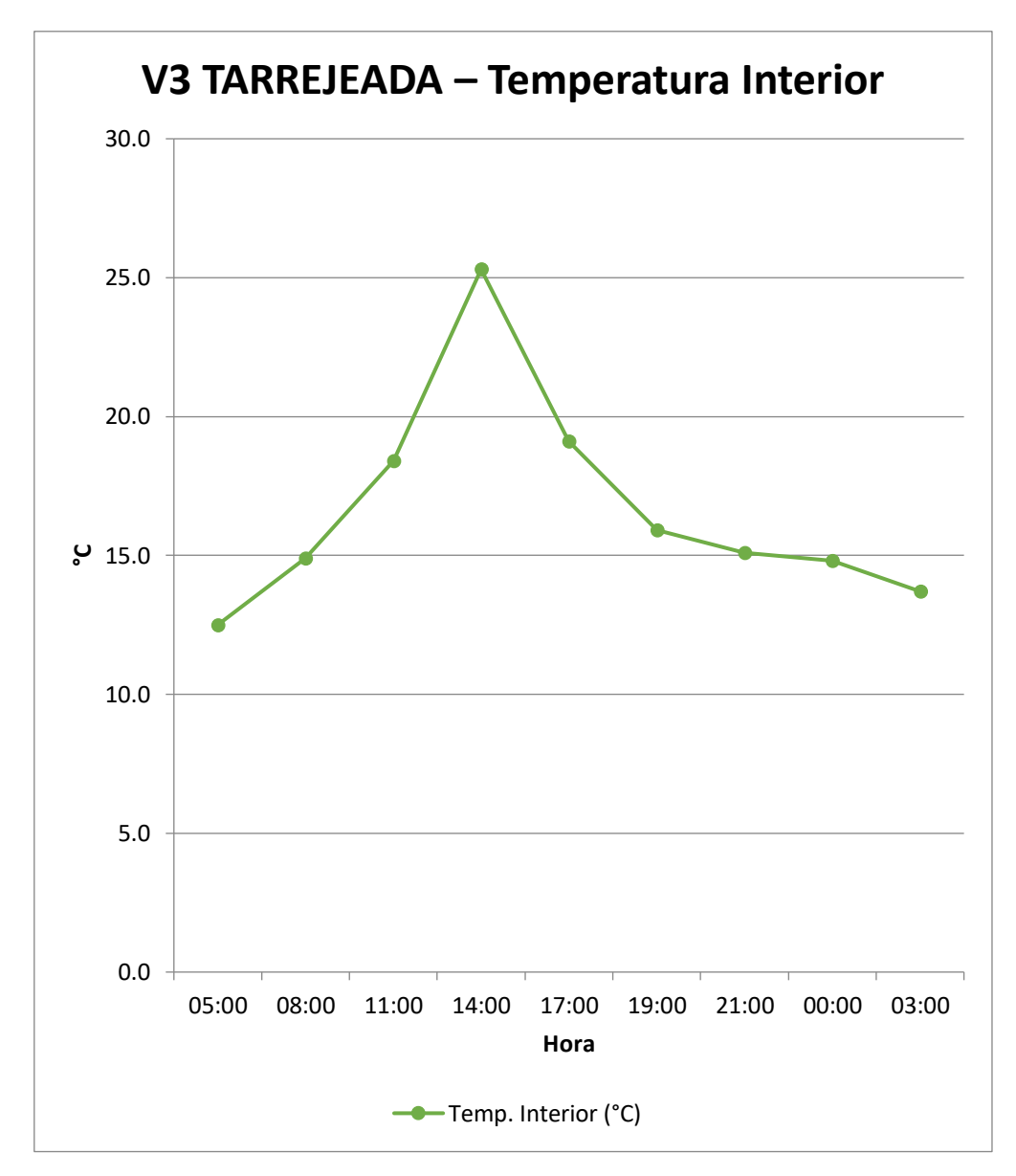


En el gráfico se ve que la cara exterior conserva un comportamiento dominado por la radiación: máximo 22–23 °C a las 14:00 y mínimos 12–13 °C en la madrugada. Las diferencias respecto al caso sin tarrajeo son marginales (<0.5 °C) y sin desfase. En síntesis, el tarrajeo no altera significativamente la respuesta térmica exterior; sus efectos positivos se perciben sobre todo en el interior.

Tabla 17Resultados de la Vivienda 3 tarrajeada con el mortero con fibras de Agave

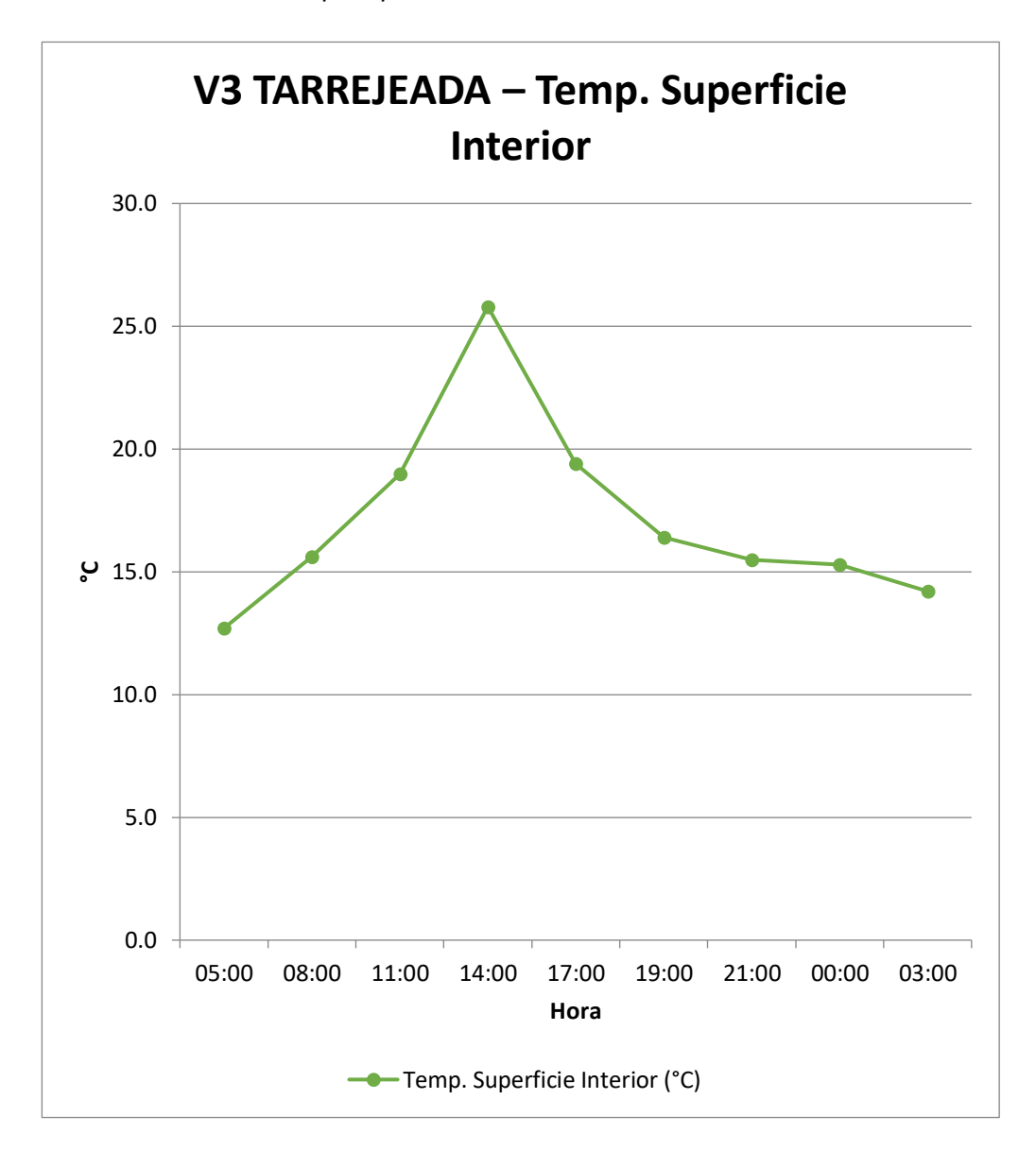
	Temp.	Temp.	Diferencia	Temp.	Temp.
Hora	Interior	Exterior		Superficie	Superficie
	(°C)	(°C)	(°C)	Interior (°C)	Exterior (°C)
05:00	12.5	11.8	0.7	12.7	12.0
a.m.					
08:00	14.9	14.6	0.3	15.6	14.8
a.m.					
11:00	18.4	16.0	2.4	19.0	18.1
a.m.					
14:00	25.3	21.2	4.1	25.8	24.9
p.m.					
17:00	19.1	17.1	2.0	19.4	18.8
p.m.					
19:00	15.9	14.5	1.4	16.4	15.6
p.m.					
21:00	15.1	14	1.1	15.5	15.0
p.m.					
00:00	14.8	12.6	2.2	15.3	14.6
a.m.					
03:00	13.7	12.7	1.0	14.2	13.5
a.m.					

Figura 44
V3 TARRAJEADA - Temperatura Interior



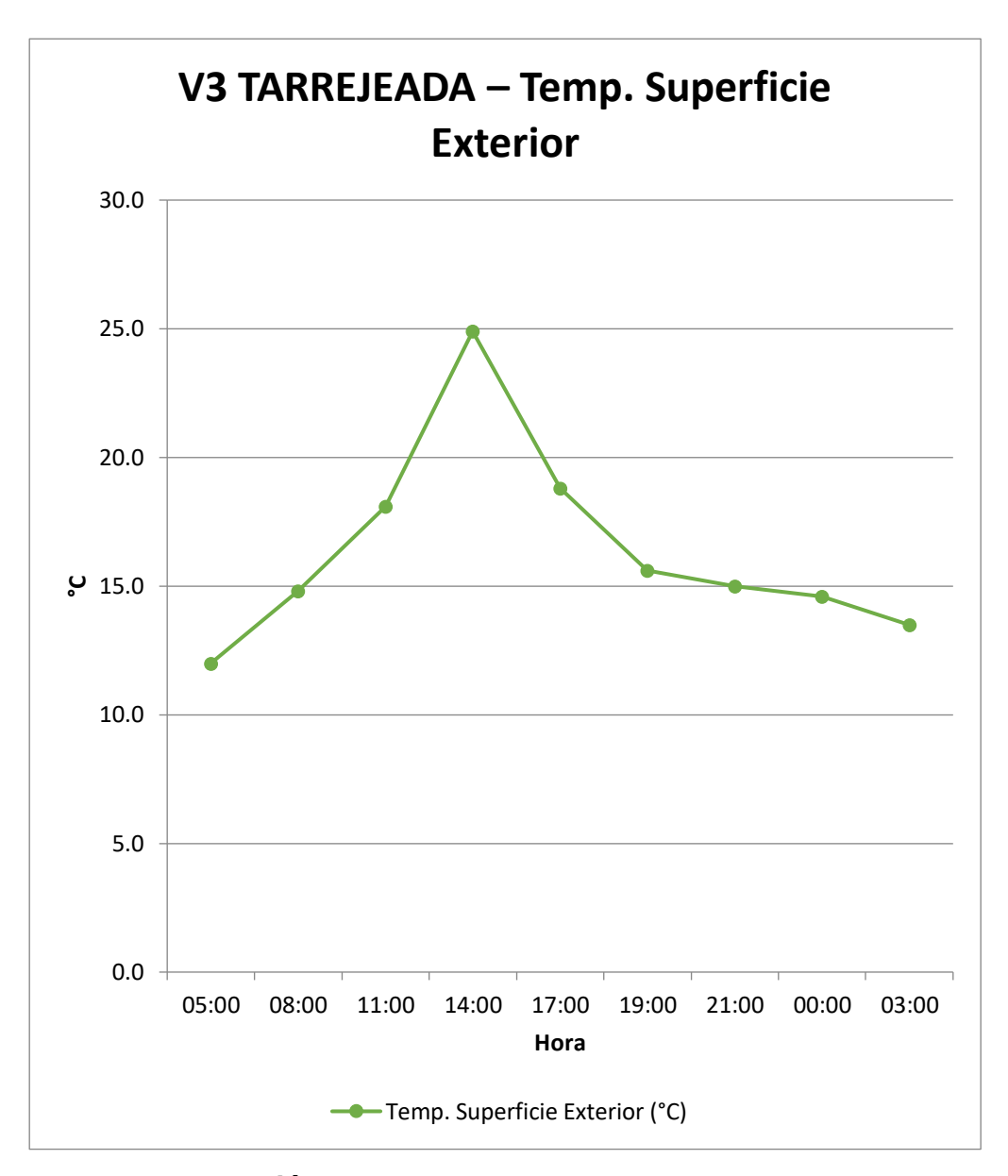
En el gráfico se observa el mismo ciclo diurno, con pico cercano a 25 °C a las 14:00 y mínimos 12–13 °C al amanecer/madrugada. Frente a V3 sin tarrajeo, el enfriamiento desde las 17:00 es más lento y la noche queda 0.5–1 °C más templada, con leve reducción de amplitud. No hay desfase evidente del máximo. Conclusión: el tarrajeo aporta pequeña mejora de confort nocturno.

Figura 45
V3 TARRAJEADA - Temp. Superficie Interior



En el gráfico se ve la cara interior del muro replica la curva del aire: alcanza 25–26 °C a las 14:00 y desciende con pendiente más suave que sin tarrajeo. Entre tarde y primeras horas de la noche permanece 0.5–1 °C por encima, señal de ligera mayor inercia/retención térmica del revestimiento. Aun así, aire y superficie siguen acoplados, con intercambio de calor rápido dentro del ambiente.

Figura 46
V3 TARRAJEADA - Temp. Superficie Exterior

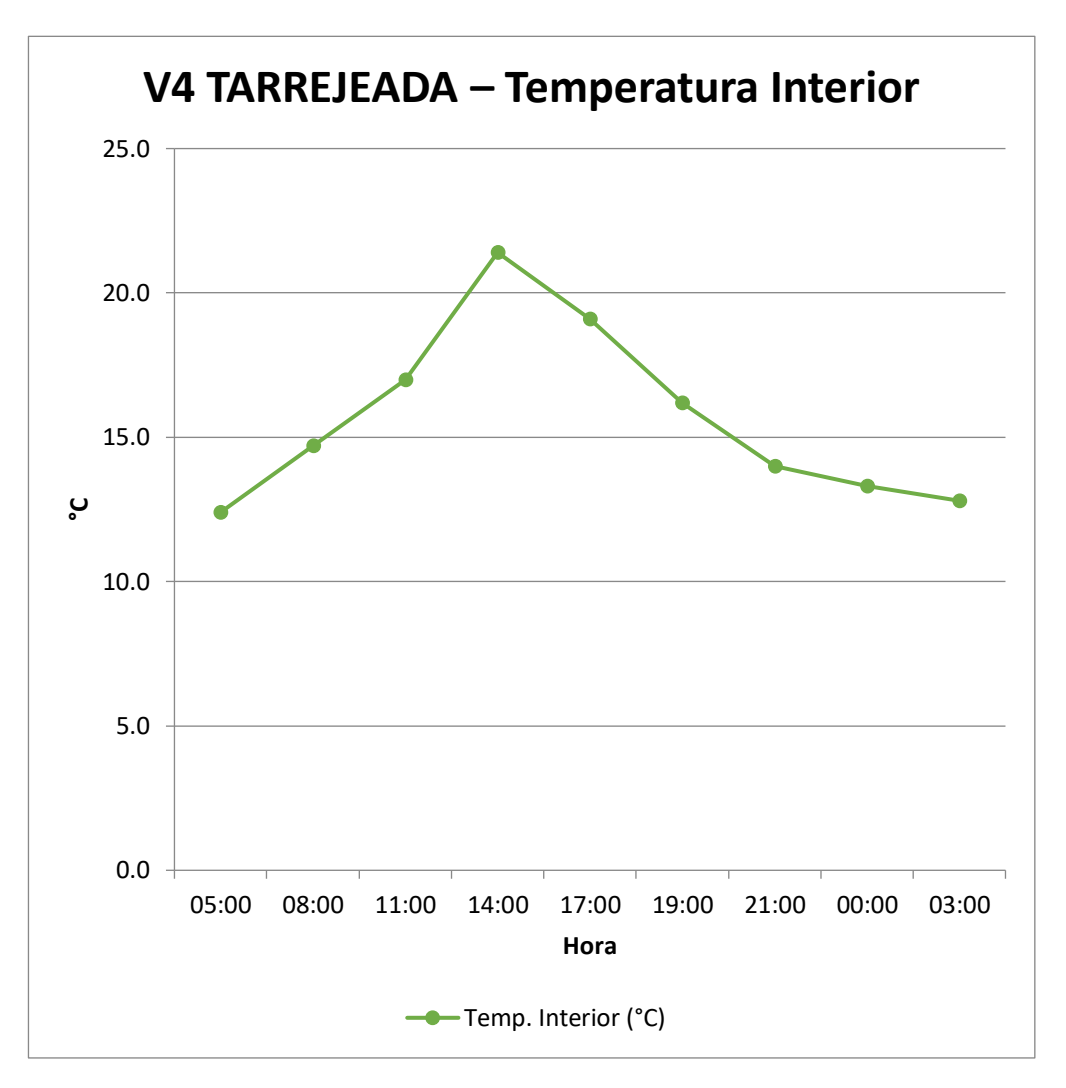


En el gráfico se ve que la superficie exterior continúa dominada por la radiación solar, con máximo 24–25 °C a las 14:00 y descenso sostenido hasta 13–14 °C de madrugada. Las diferencias respecto a V3 sin tarrajeo son marginales y sin cambios en el horario del pico. En síntesis, el tarrajeo no modifica de forma apreciable el comportamiento térmico exterior; los beneficios se concentran en el interior.

Tabla 18Resultados de la Vivienda 4 tarrajeada con el mortero con fibras de Agave

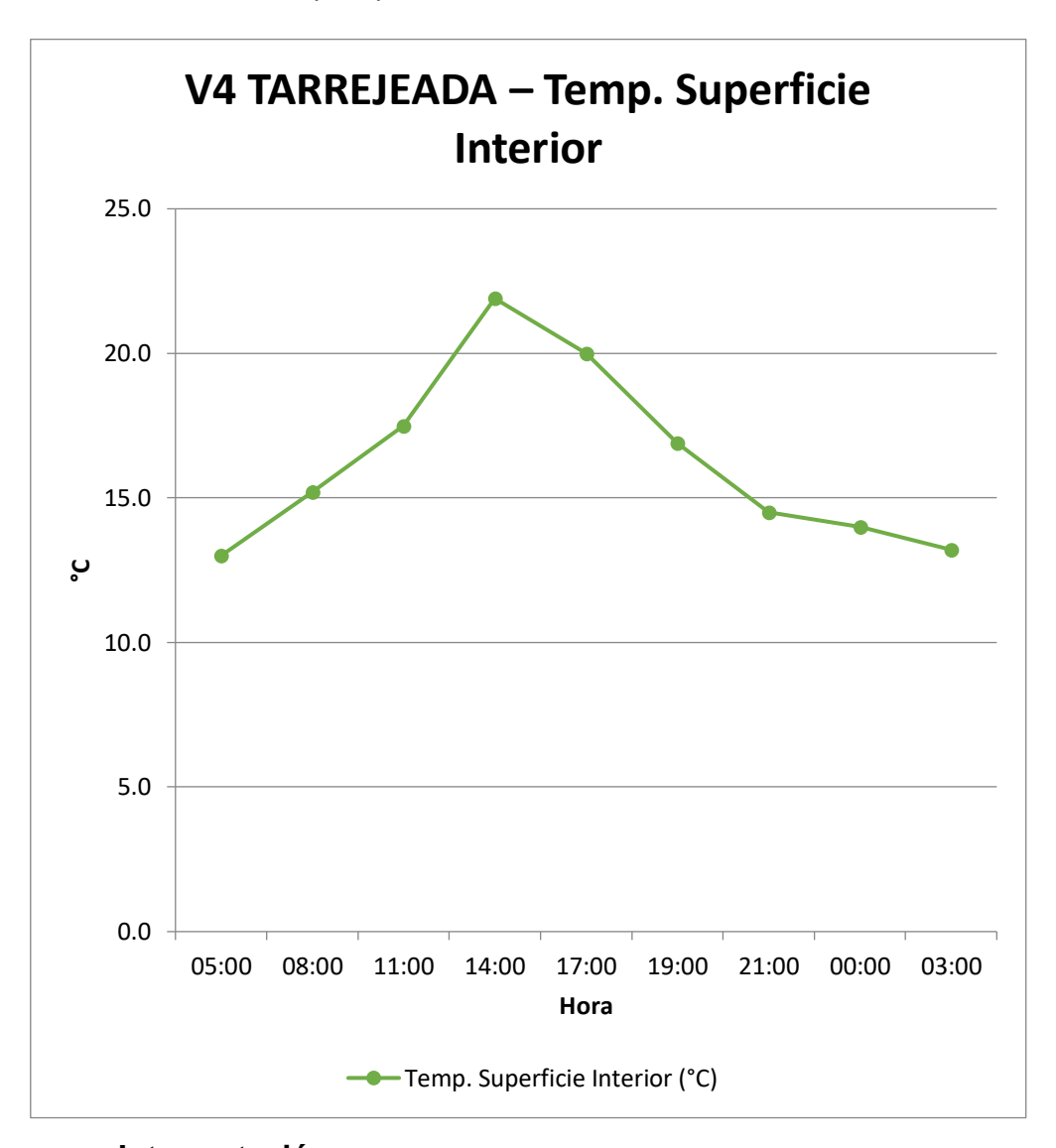
Hora	Temp. Interior (°C)	Temp. Exterior (°C)	Diferencia (°C)	Temp. Superficie Interior (°C)	Temp. Superficie Exterior (°C)
05:00	12.4	11.0	1.4	13.0	12.0
a.m.					
08:00	14.7	13.2	1.5	15.2	14.2
a.m.					
11:00	17.0	14.5	2.5	17.5	16.5
a.m.					
14:00	21.4	19.3	2.1	21.9	20.9
p.m.					
17:00	19.1	16.9	2.2	20.0	18.6
p.m.					
19:00	16.2	15.2	1.0	16.9	15.9
p.m.					
21:00	14.0	13.5	0.5	14.5	13.7
p.m.	40.0	40.0		44.0	40.0
00:00	13.3	12.2	1.1	14.0	12.9
a.m.	40.0	40.0	0.0	40.0	40.5
03:00	12.8	12.0	0.8	13.2	12.5
a.m.					

Figura 47
V4 TARRAJEADA - Temperatura Interior



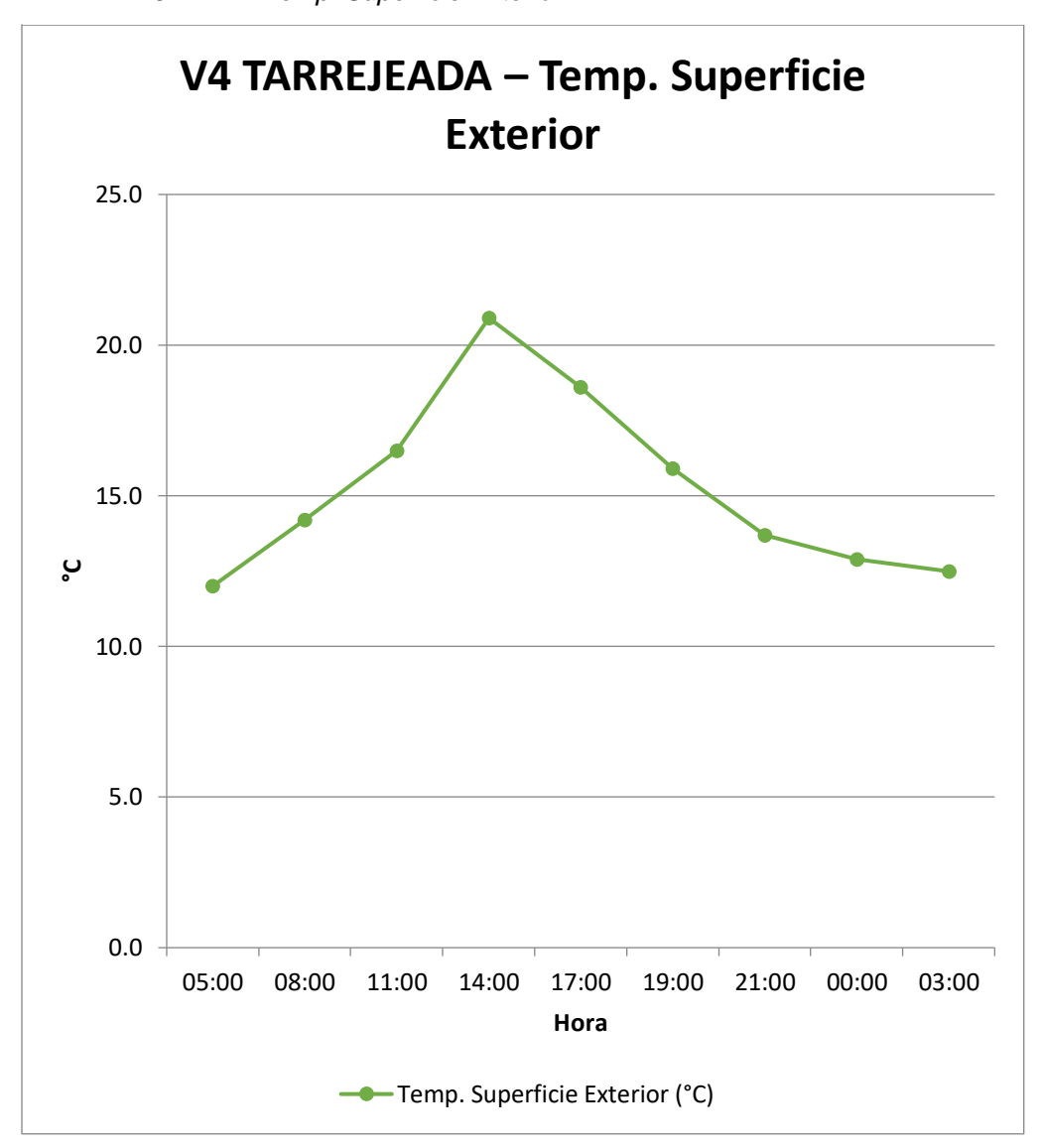
En el gráfico se ve que el interior mantiene el ciclo diurno: mínimo 12–13 °C al amanecer y máximo 21 °C a las 14:00. Frente a V4 sin tarrajeo, la amplitud se reduce levemente (0.5–1 °C) y el descenso vespertino es más lento, sin desfase del pico. En suma, el revestimiento suaviza el enfriamiento nocturno y deja la vivienda algo más templada de noche, aunque persiste el calentamiento vespertino.

Figura 48
V4 TARRAJEADA - Temp. Superficie Interior



En el gráfico se ve que la superficie interior alcanza 22 °C a las 14:00 y desciende con pendiente más suave que en el caso sin tarrajeo. Entre tarde y noche permanece 0.5–1 °C por encima, señal de ligera mayor inercia del muro por el revestimiento. Aire y superficie siguen muy acoplados (diferencias <1 °C). Efecto global: leve amortiguación del enfriamiento nocturno, sin retrasar el horario del máximo.

Figura 49
V4 TARRAJEADA - Temp. Superficie Exterior



En el gráfico se ve que la superficie exterior del muro conserva una respuesta dominada por la radiación solar: asciende hasta 21 °C a las 14:00 y cae gradualmente a 12–13 °C en la madrugada. Las variaciones y el horario del pico son prácticamente iguales al caso sin tarrajeo (diferencias <0.5 °C). Conclusión: el revestimiento no altera de forma relevante el comportamiento térmico exterior; los beneficios se concentran en el interior.

4.1.5. COMPARACIÓN DE LOS RESULTADOS DE LA TEMPERATURA DE LAS VIVIENDAS SIN Y CON EL MORTERO CON FIBRAS DE AGAVE

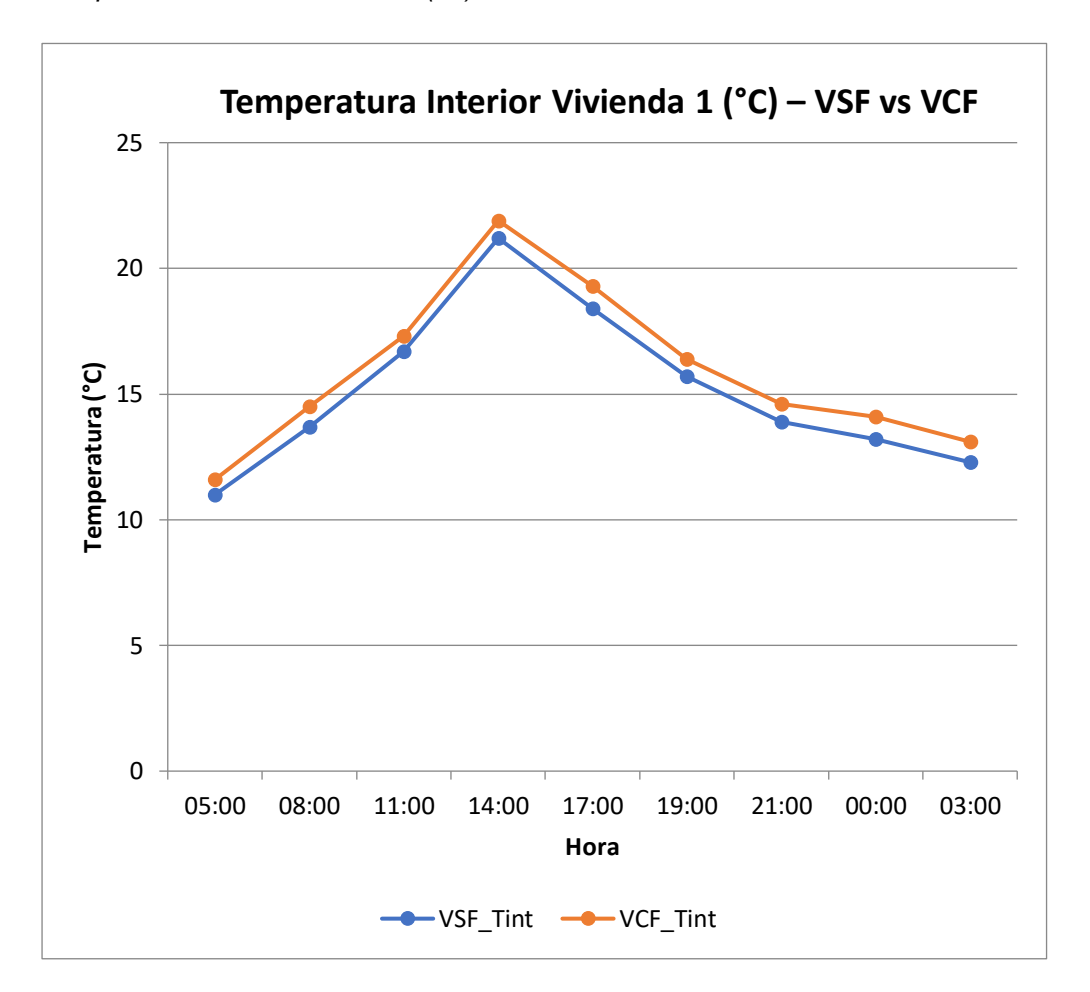
Se realizó la medición de la temperatura en cada vivienda que estaban sin y con el tarrajeo con fibras de Agave, de acuerdo a las horas establecidas.

Tabla 19
Comparación de las temperaturas de la Vivienda 1 con y sin el tarrajeo con fibras de Agave

			Temp.	Temp.			Temp.	Temp.
	Temp.	Temp.	Superfi	Superfi	Temp.	Temp.	Superficie	Super
Hora	Interior	Exterior	cie	cie	Interior	Exteri	Interior	ficie
	(°C)	(°C)	Interior	Exterior	(°C)	or (°C)	(°C)	Exteri
			(°C)	(°C)			(0)	or (°C)
	VIVIEND	AS SIN FIBI	RAS DE AG	AVE	VIVIENDA	AS CON FI	BRAS DE AG	AVE
05:00	11	10.4	11.3	10.6	11.6	10.3	12.1	11.3
a.m.								
08:00	13.7	12.5	14	13.3	14.5	11.9	15	13.8
a.m.								
11:00	16.7	14.3	17.2	15.6	17.3	13.9	17.9	16.8
a.m.								
14:00	21.2	20.2	21.7	20.8	21.9	21.5	22.6	21.7
p.m.								
17:00	18.4	17.5	19	18.1	19.3	17.7	20	18.7
p.m.								
19:00	15.7	15.2	16.2	15.4	16.4	15.9	17.1	16.1
p.m.								
21:00	13.9	13.2	14.3	13.5	14.6	13.8	15.2	14.1
p.m.								
00:00	13.2	12.8	14	13	14.1	12.5	14.6	13.8
a.m.								
03:00	12.3	12	12.8	12.1	13.1	11.8	13.8	12.6
a.m.								

Figura 50

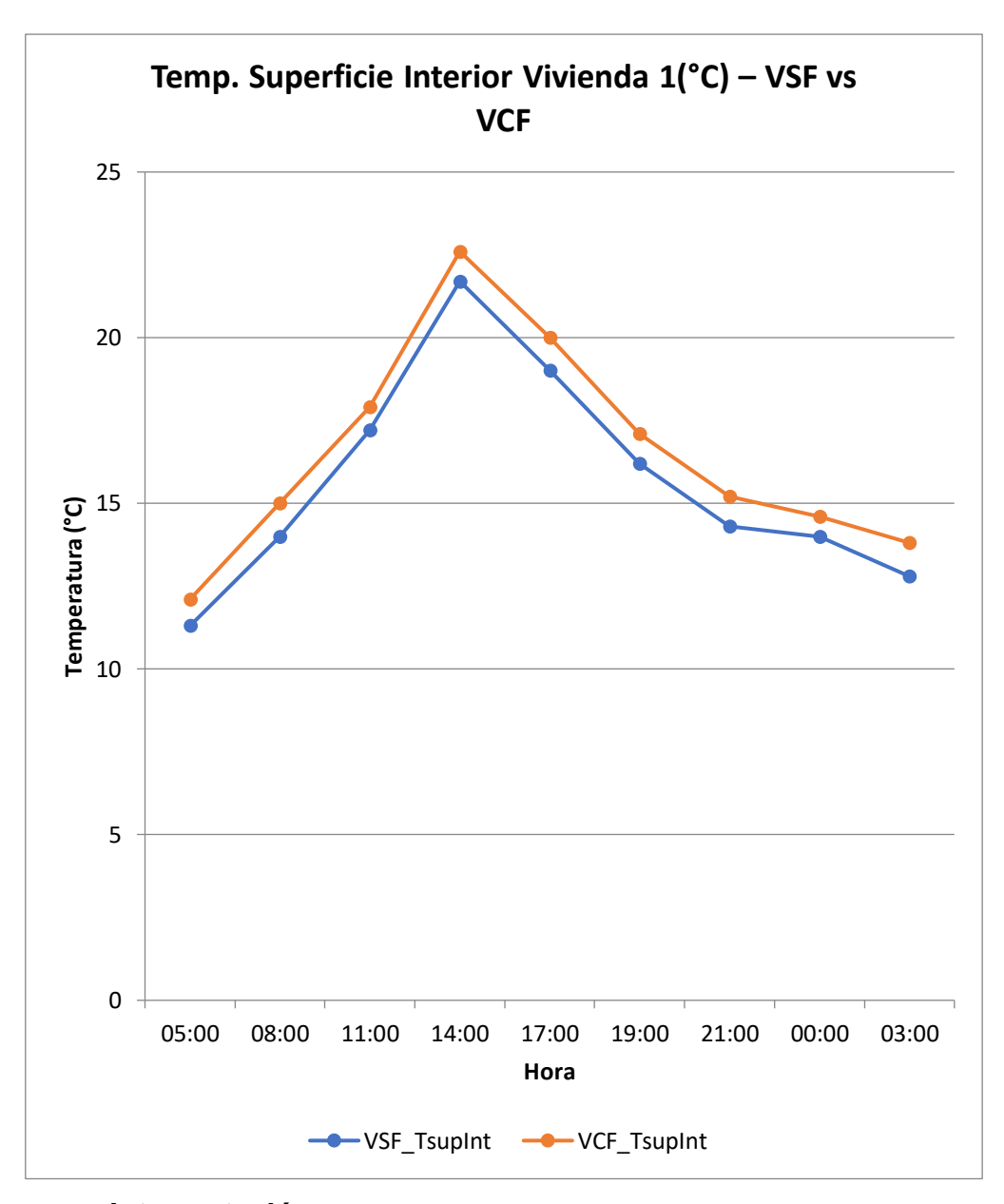
Temperatura Interior Vivienda 1 (°C) - VSF vs VCF



En el gráfico se ve que el tarrajeo eleva ligeramente la temperatura interior en casi todo el día: VCF se mantiene 0.5–1.0 °C por encima de VSF, con pico a las 14:00 (22 °C vs 21 °C). La amplitud térmica apenas disminuye y el enfriamiento nocturno es un poco más lento. No hay cambio en el horario del máximo. Resultado: leve mejora del confort, sobre todo noche-madrugada.

Figura 51

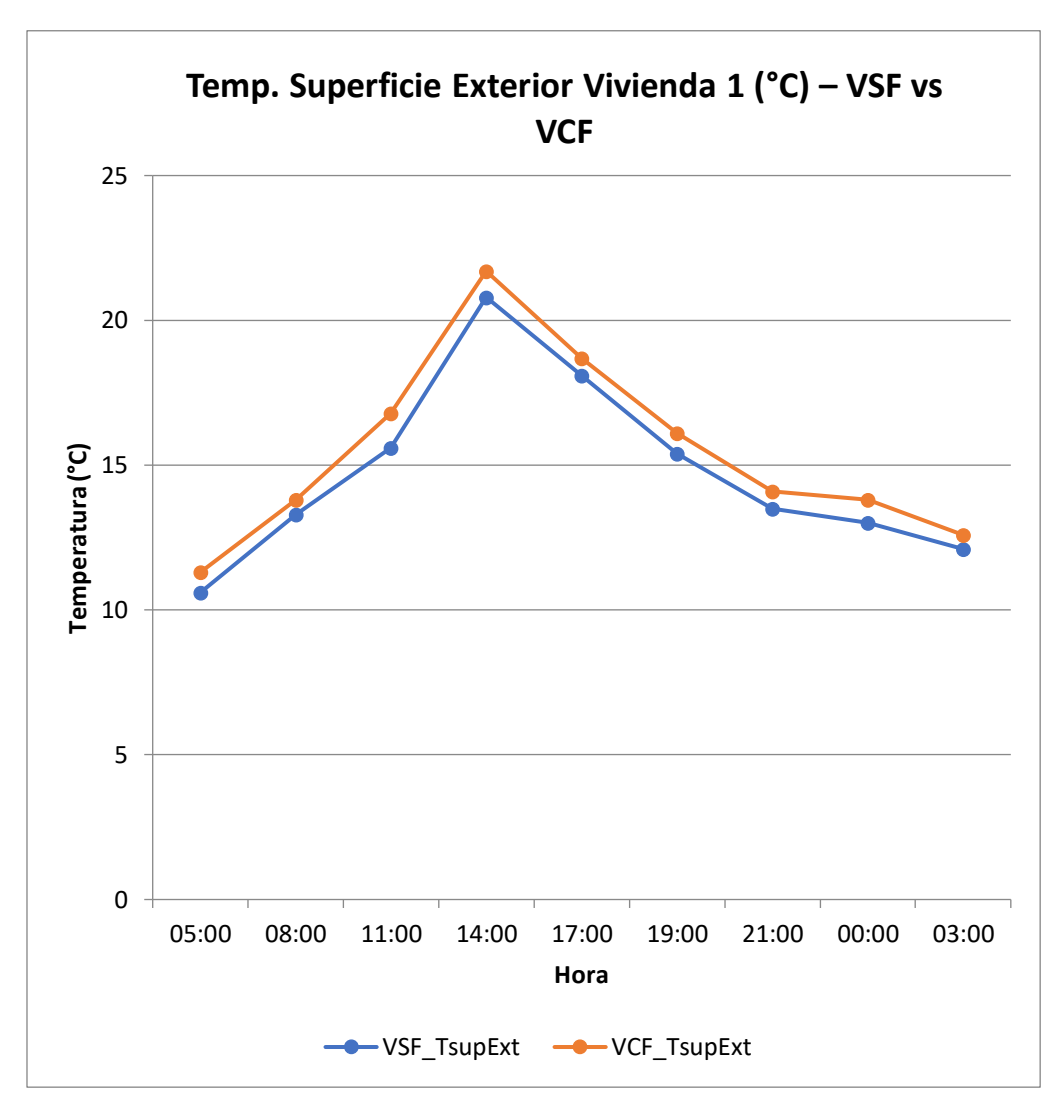
Temp. Superficie Interior Vivienda 1(°C) – VSF vs VCF



En el gráfico se ve que las curvas son similares, pero la superficie interior con tarrajeo (VCF) es 0.5–1.0 °C mayor y desciende más suavemente después de las 17:00. Esto sugiere una pequeña mayor retención térmica del revestimiento, con acoplamiento estrecho con el aire interior y sin desfase apreciable del pico (22–23 °C a las 14:00). Efecto: ligera amortiguación del enfriamiento vespertino-nocturno.

Figura 52

Temp. Superficie Exterior Vivienda 1 (°C) – VSF vs VCF



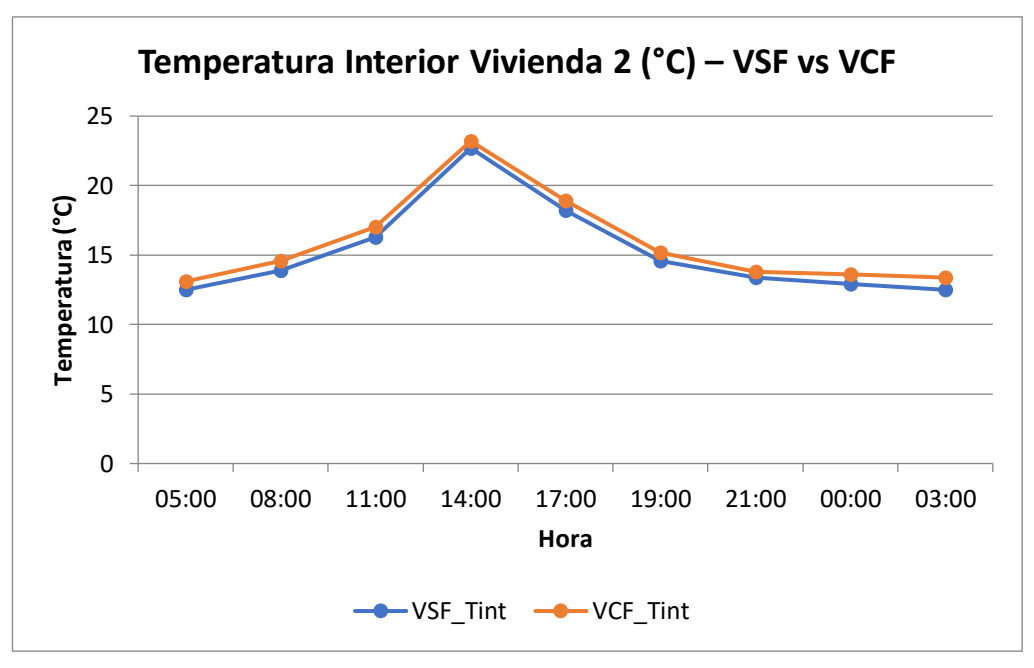
En el gráfico se ve que la superficie que ambas condiciones muestran comportamiento casi idéntico, dominado por la radiación: máximo a las 14:00 (21–22 °C) y descenso sostenido hasta la madrugada. VCF solo supera a VSF por márgenes mínimos (0.2–0.5 °C) sin alterar el horario del pico. Conclusión: el tarrajeo no modifica significativamente la temperatura de la cara exterior; los beneficios térmicos se perciben principalmente en el interior.

Tabla 20Comparación de las temperaturas de la Vivienda 2 con y sin el tarrajeo con fibras de Agave

Hora	Temp. Interior (°C)	Temp. Exterior (°C)	Temp. Superfici e Interior (°C)	Temp. Superfici e Exterior (°C)	Temp. Interior (°C)	Temp. Exterio r (°C)	Temp. Superficie Interior (°C)	Temp. Superfi cie Exterio r (°C)
	VIVIENDA	S SIN FIBRAS	DE AGAVE		VIVIENDA	S CON FIBRA	AS DE AGAVE	
05:00	12.5	11.8	12.9	12.3	13.1	11.8	13.6	12.9
a.m.								
08:00	13.9	13.5	14.1	13.7	14.6	13.1	14.8	14.1
a.m.								
11:00	16.3	15.6	17	16.1	17	15.3	17.6	16.6
a.m.								
14:00	22.7	21.7	23.2	22.2	23.2	21	23.8	22.8
p.m.								
17:00	18.2	17.9	18.6	18.1	18.9	18	19.6	18.6
p.m.								
19:00	14.6	14	15.3	14.3	15.2	13.9	15.8	14.8
p.m.								
21:00	13.4	12.9	13.9	13	13.8	13	14.4	13.5
p.m.								
00:00	12.9	12.6	13.4	12.8	13.6	13.1	14	13.3
a.m.								
03:00	12.5	12.1	13	12.3	13.4	12.2	13.9	12.8
a.m.								

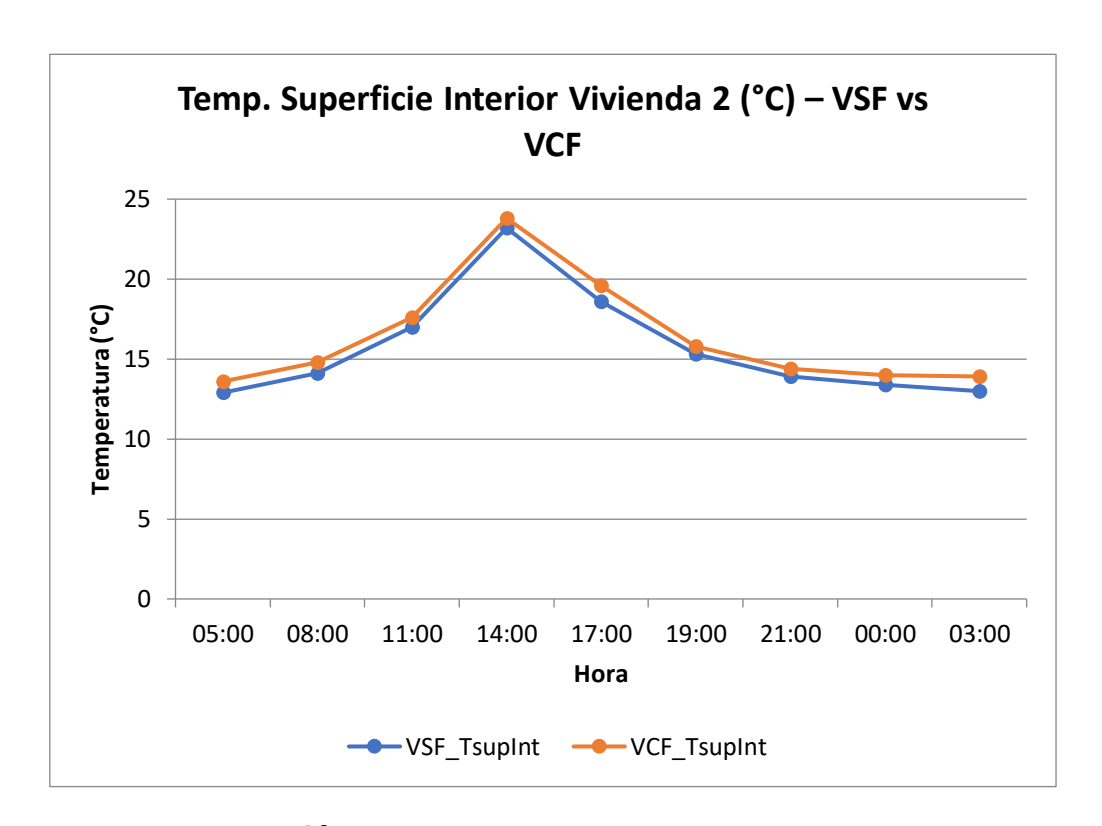
Figura 53

Temperatura Interior Vivienda 2 (°C) – VSF vs VCF



En el gráfico se ve que el tarrajeo (VCF) mantiene el mismo patrón que VSF, pero eleva ligeramente la temperatura interior en casi todas las horas (0.5–0.8 °C) y hace más lento el enfriamiento vespertino-nocturno. El máximo se conserva a las 14:00 (23 °C VCF y ~22.5 °C VSF). La amplitud diaria se reduce apenas. Resultado: leve mejora de confort, sobre todo de noche y madrugada.

Figura 54
Temp. Superficie Interior Vivienda 2 (°C) – VSF vs VCF

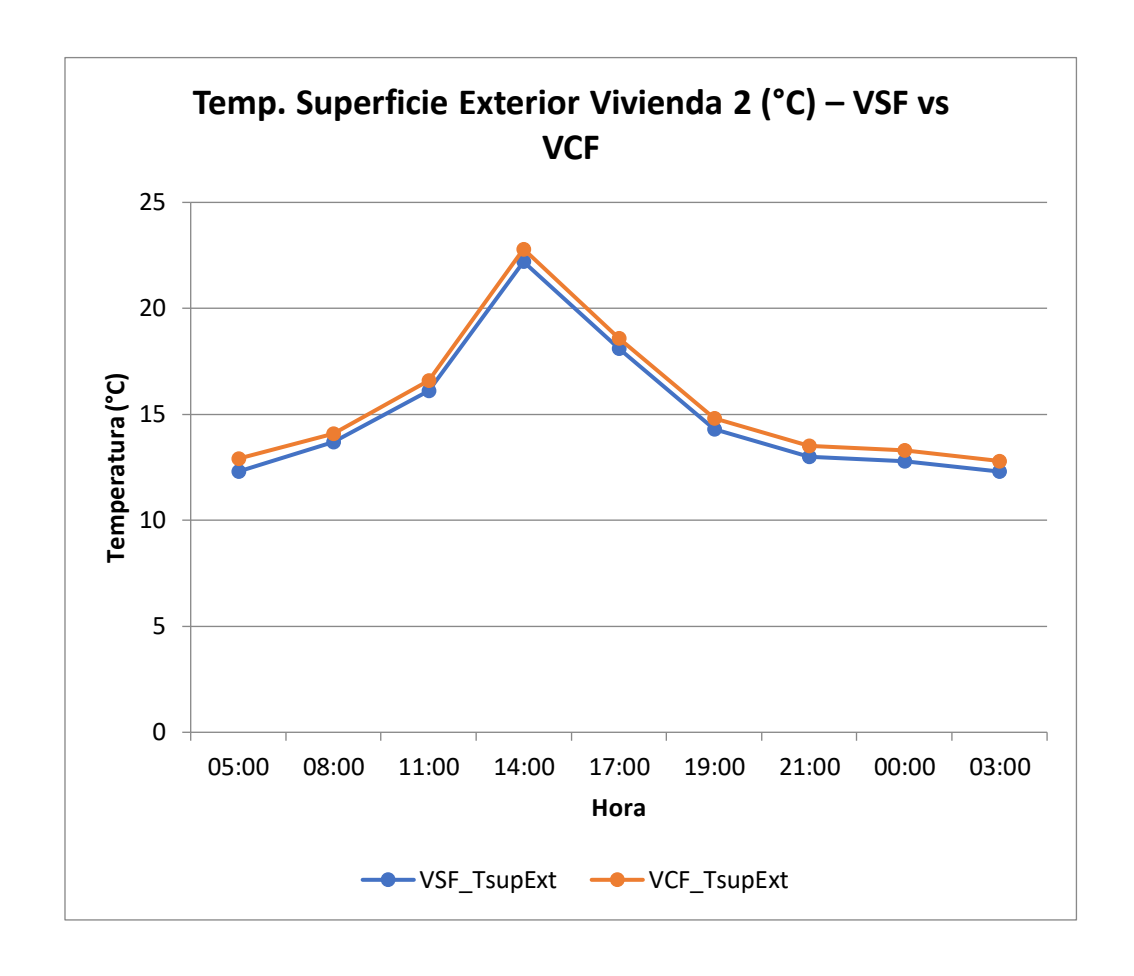


Interpretación:

En el gráfico se ve que las curvas son casi paralelas; con tarrajeo la superficie interior es sistemáticamente mayor en 0.4–0.7 °C y desciende más suavemente después de las 17:00. El pico permanece a las 14:00 (24 °C VCF, 23.5 °C VSF). Esto indica una pequeña ganancia de inercia térmica del revestimiento y un acoplamiento estrecho con el aire interior, sin cambio del horario máximo.

Figura 55

Temp. Superficie Exterior Vivienda 2 (°C) – VSF vs VCF



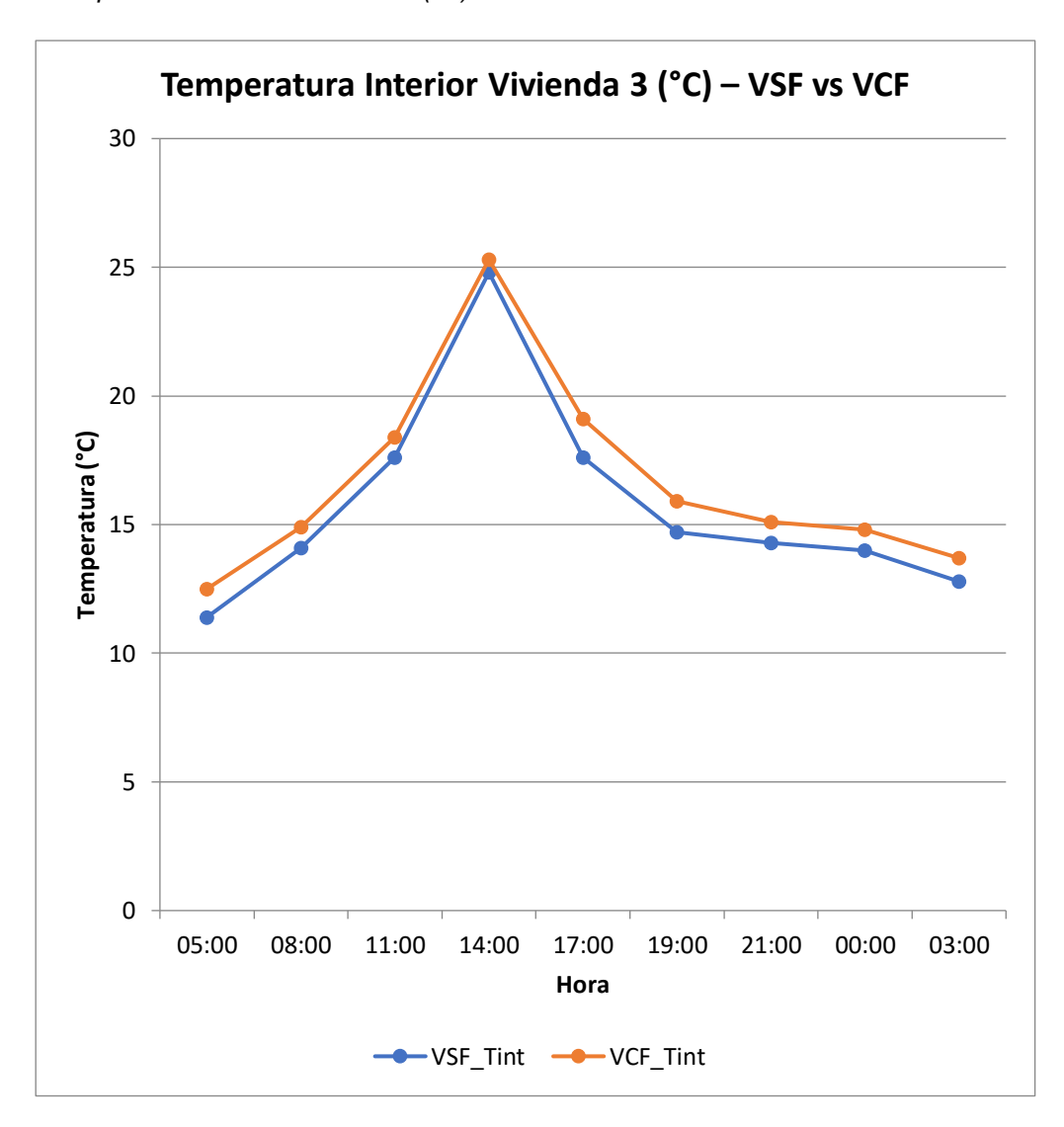
En el gráfico se ve que la cara exterior está dominada por la radiación: ambas series alcanzan el máximo a las 14:00 (22–23 °C) y disminuyen de forma parecida hasta la madrugada. Las diferencias entre VCF y VSF son mínimas (<0.5 °C) y no alteran la hora del pico. Conclusión: el tarrajeo no modifica de forma apreciable la respuesta térmica exterior; sus beneficios se concentran en el interior.

Tabla 21Comparación de las temperaturas de la Vivienda 3 con y sin el tarrajeo con fibras de Agave

			Temp.	Temp.			Taman	Temp.
	Temp.	Temp.	Superfi	Superfi	Temp.	Temp.	Temp. Superficie	Superfi
Hora	Interior	Exterior	cie	cie	Interior	Exteri	•	cie
	(°C)	(°C)	Interior	Exterior	(°C)	or (°C)	Interior (°C)	Exterior
			(°C)	(°C)			(C)	(°C)
	VIVIEND	AS SIN FIBI	RAS DE AG	AVE	VIVIEND	AS CON F	BRAS DE AG	AVE
05:00	11.4	10.2	12.3	11	12.5	11.8	12.7	12
a.m.								
08:00	14.1	13.9	14.5	14.2	14.9	14.6	15.6	14.8
a.m.								
11:00	17.6	17.2	18.1	17.5	18.4	16	19	18.1
a.m.								
14:00	24.8	23.2	25.3	24.5	25.3	21.2	25.8	24.9
p.m.								
17:00	17.6	16.9	18.6	18.1	19.1	17.1	19.4	18.8
p.m.								
19:00	14.7	14.1	15.8	14.8	15.9	14.5	16.4	15.6
p.m.								
21:00	14.3	13.8	14.9	14.3	15.1	14	15.5	15
p.m.								
00:00	14	13.3	14.5	13.9	14.8	12.6	15.3	14.6
a.m.								
03:00	12.8	11.4	13.6	12.8	13.7	12.7	14.2	13.5
a.m.								

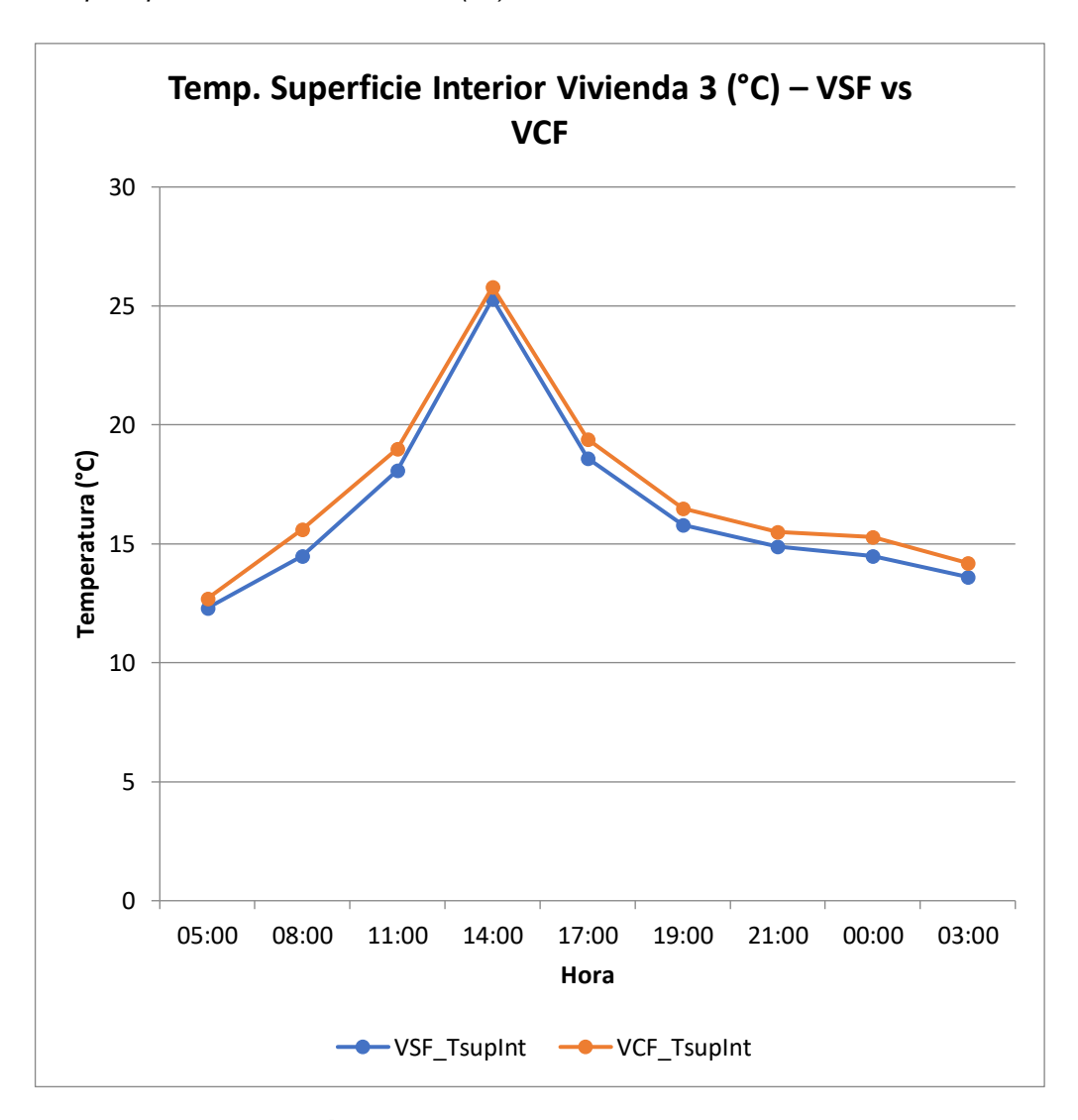
Figura 56

Temperatura Interior Vivienda 3 (°C) – VSF vs VCF



En el gráfico se ve que el tarrajeo (VCF) mantiene el mismo patrón que VSF, pero eleva la temperatura interior entre 0.6 y 1.2 °C en casi todas las horas. El pico se ubica a las 14:00 (25.5 °C VCF vs 25 °C VSF). Desde las 17:00 el enfriamiento es más lento, logrando noches y madrugadas 0.8–1.0 °C más templadas. La amplitud diaria se reduce levemente; el sobrecalentamiento vespertino persiste

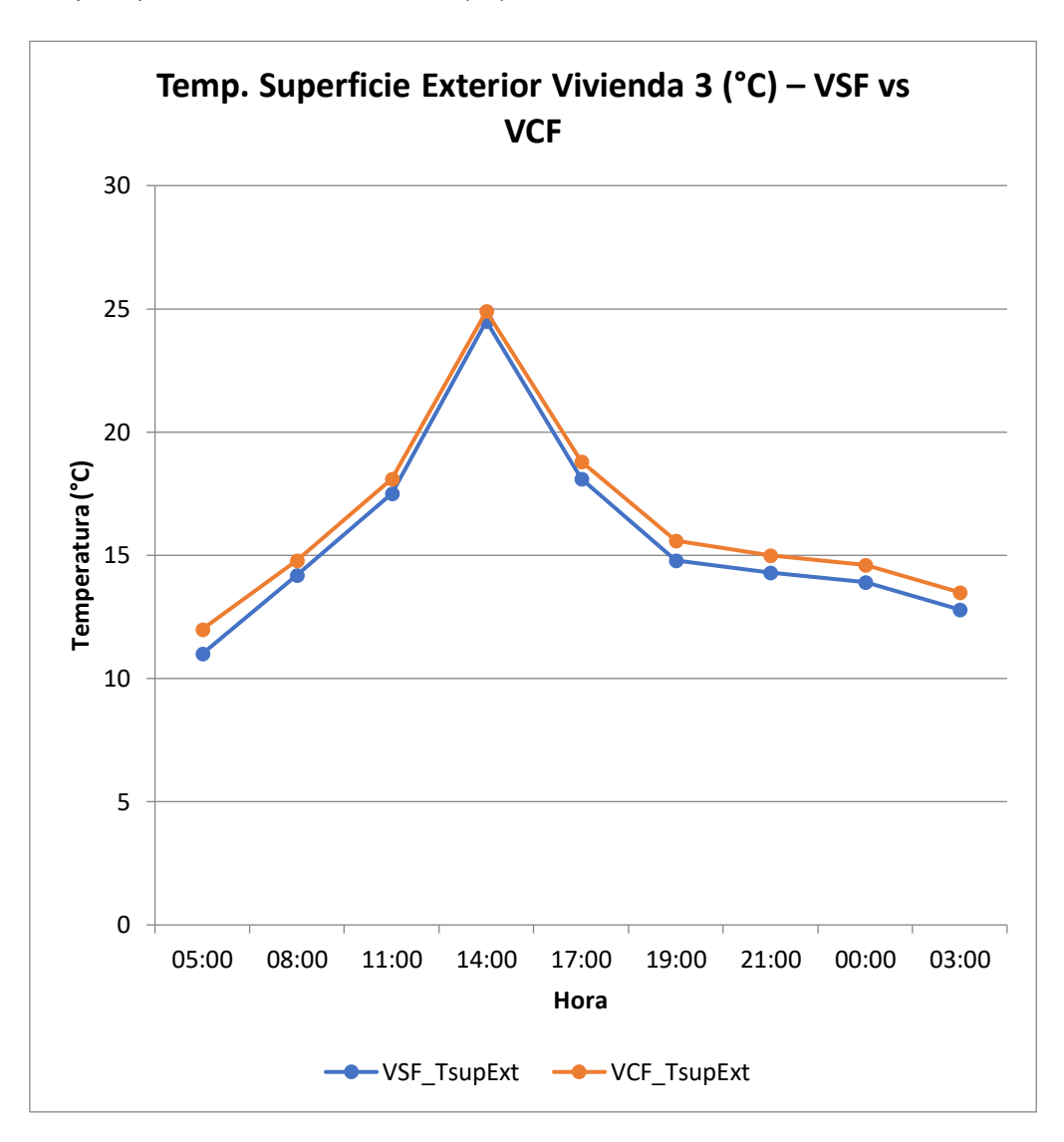
Figura 57
Temp. Superficie Interior Vivienda 3 (°C) – VSF vs VCF



En el gráfico se ve que las curvas son muy próximas, con VCF sistemáticamente mayor en ~0.4–0.8 °C y descenso vespertino más suave. El máximo ocurre a las 14:00 (25.8–26 °C VCF; 25–25.5 °C VSF). Esto sugiere ligera mayor "retención" térmica del revestimiento, que entrega calor algo más tiempo al ambiente interior. No se aprecia desfase del pico; aire y pared siguen acoplados.

Figura 58

Temp. Superficie Exterior Vivienda 3 (°C) – VSF vs VCF

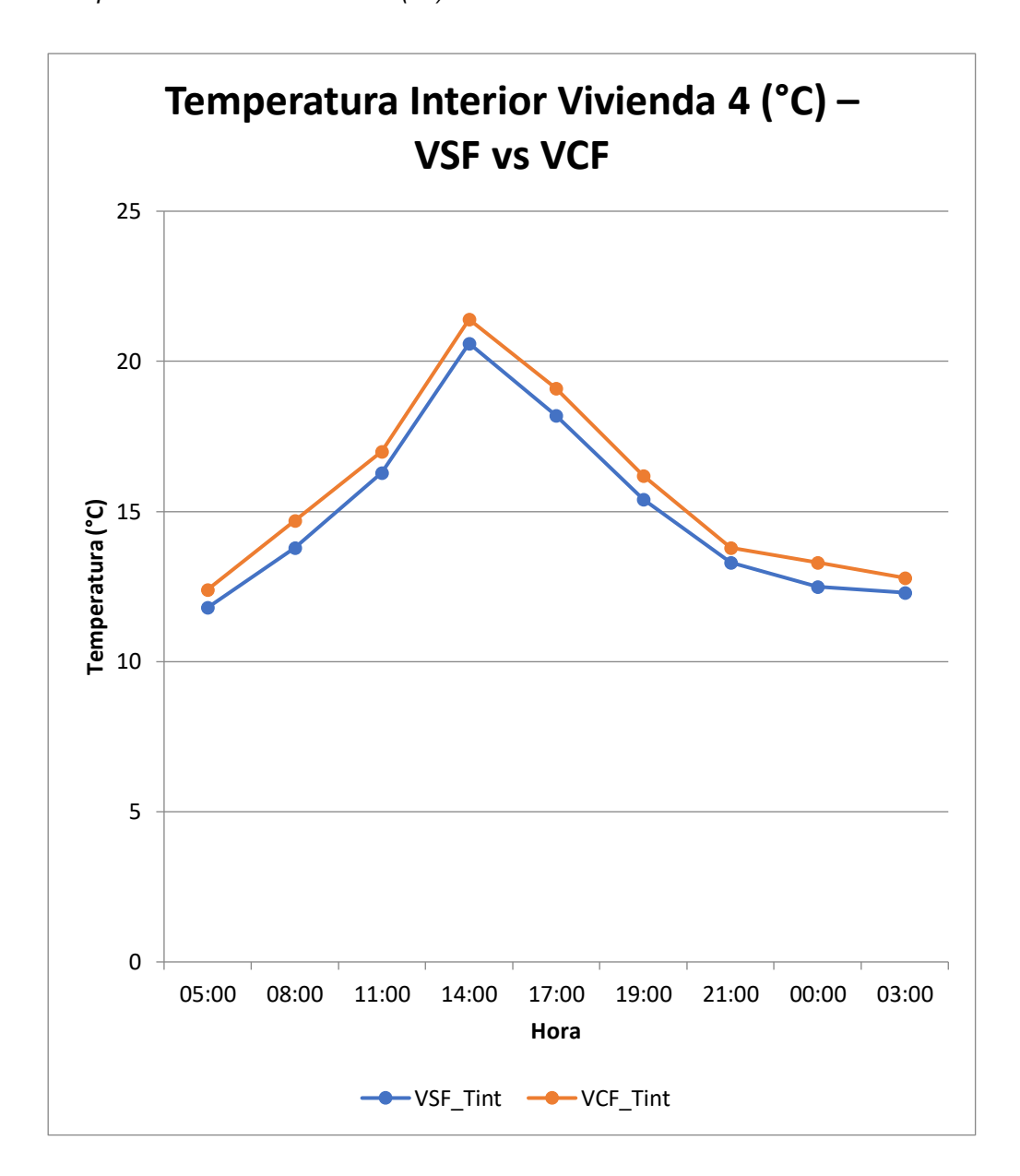


En el gráfico se ve que la cara exterior está dominada por la radiación solar: máximo a las 14:00 (24.5–25 °C) y descenso sostenido hasta la madrugada. Las diferencias entre VCF y VSF son pequeñas (<0.5–0.7 °C) y no cambian el horario del pico. Conclusión: el tarrajeo apenas modifica la respuesta térmica exterior; los efectos beneficiosos se concentran en el interior (ligera reducción de la amplitud y enfriamiento más lento).

Tabla 22Comparación de las temperaturas de la Vivienda 4 con y sin el tarrajeo con fibras de Agave

			Temp.	Temp.			Toman	Temp.
	Temp.	Temp.	Superfi	Superfi	Temp.	Temp.	Temp. Superficie	Superfi
Hora	Interior	Exterior	cie	cie	Interior	Exteri	•	cie
	(°C)	(°C)	Interior	Exterior	(°C)	or (°C)	Interior	Exterior
			(°C)	(°C)			(°C)	(°C)
-	VIVIENDAS	SIN FIBRA	S DE AGAV	E	VIVIEND	AS CON F	BRAS DE AG	AVE
05:00	11.8	9.2	12.3	11	12.4	11	13	12
a.m.								
08:00	13.8	12.1	14.1	13.1	14.7	13.2	15.2	14.2
a.m.								
11:00	16.3	14.2	17	15.8	17	14.5	17.5	16.5
a.m.								
14:00	20.6	19.5	21	20.3	21.4	19.3	21.9	20.9
p.m.								
17:00	18.2	17.1	18.6	17.9	19.1	16.9	20	18.6
p.m.								
19:00	15.4	14.8	15.8	15.1	16.2	15.2	16.9	15.9
p.m.								
21:00	13.3	12.6	13.5	12.8	14	13.5	14.5	13.7
p.m.								
00:00	12.5	12.1	12.9	12.3	13.3	12.2	14	12.9
a.m.								
03:00	12.3	11.7	12.6	11.9	12.8	12	13.2	12.5
a.m.								

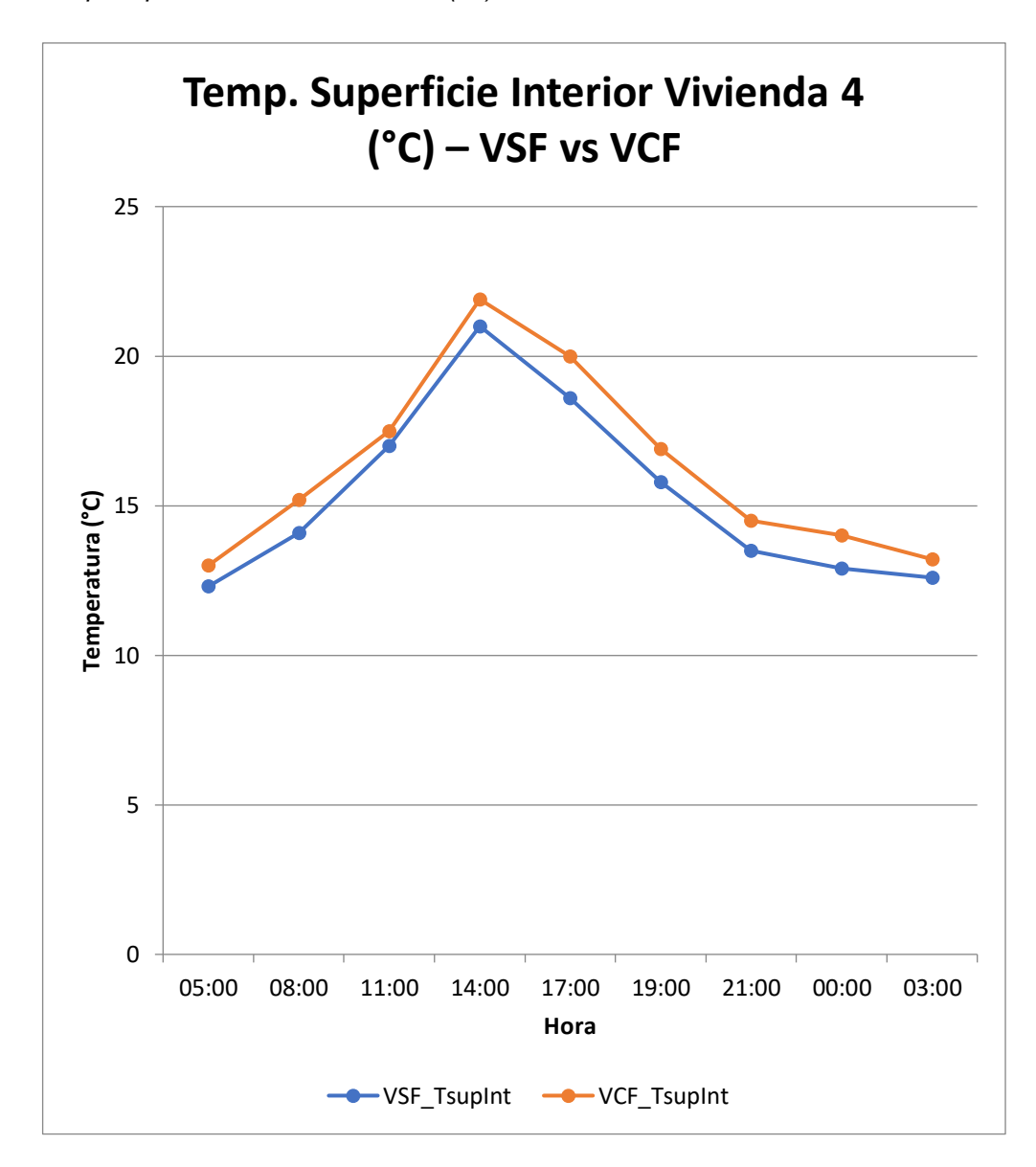
Figura 59
Temperatura Interior Vivienda 4 (°C) – VSF vs VCF



En el gráfico se ve que el tarrajeo (VCF) mantiene el mismo patrón que VSF, pero eleva ligeramente la temperatura interior en casi todo el día (0.3–0.8 °C). El pico permanece a las 14:00 y la amplitud diaria se reduce un poco. Desde las 17:00 el enfriamiento es más lento, dejando noches y madrugadas algo más templadas. Resultado: mejora leve del confort sin cambio en el horario del máximo.

Figura 60

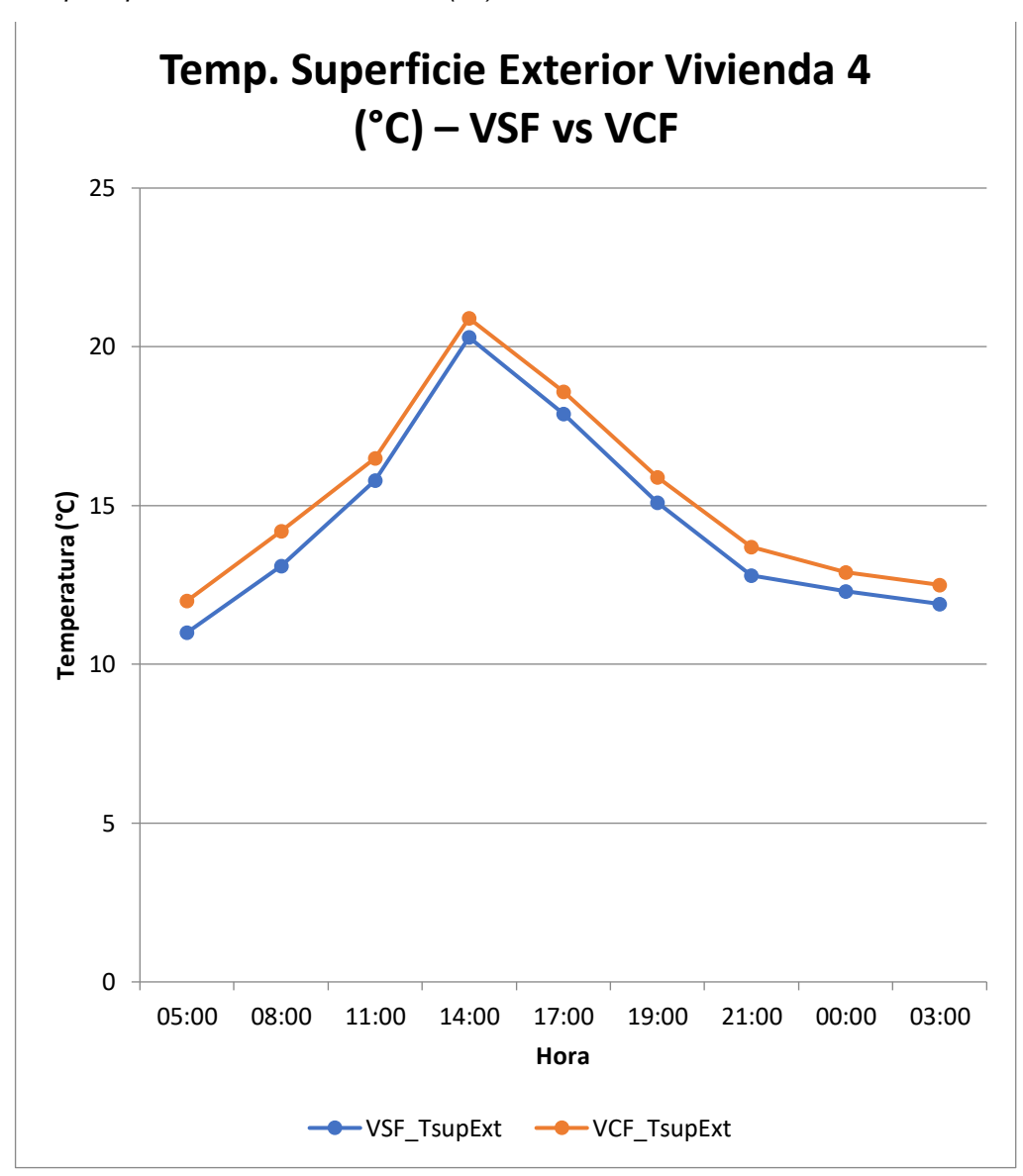
Temp. Superficie Interior Vivienda 4 (°C) – VSF vs VCF



En el gráfico se ve que las curvas son muy próximas; con tarrajeo la pared interior es sistemáticamente más cálida (0.5–1.0 °C) y desciende con mayor suavidad tras la tarde. El máximo sigue a las 14:00. Esto sugiere una pequeña ganancia de "retención" térmica del revestimiento, que prolonga algo el calor hacia la tarde-noche, manteniendo un acoplamiento estrecho con el aire interior.

Figura 61

Temp. Superficie Exterior Vivienda 4 (°C) – VSF vs VCF



En el gráfico se ve que la respuesta exterior está dominada por la radiación solar: máximo a las 14:00 y descenso sostenido hasta la madrugada. Entre VCF y VSF las diferencias son mínimas (0.2–0.5 °C) y no modifican la hora del pico. Conclusión: el tarrajeo casi no altera la temperatura de la cara exterior; los beneficios térmicos se perciben principalmente en el interior.

4.2. CONTRASTACIÓN DE HIPÓTESIS Y PRUEBA DE HIPÓTESIS

Para la hipótesis general:

HG. El uso del mortero con fibras de agave mejora significativamente el aislamiento térmico en viviendas del CC. PP Nauyan Rondos-Huánuco, Perú-2025.

H0. El uso del mortero con fibras de agave no mejora significativamente el aislamiento térmico en dichas viviendas.

Tabla 23Descriptivos globales de ΔT (Post–Pre)

n pares	Media Δ (°C)	DE Δ	Mediana Δ	Mín. Δ	Máx. Δ	% ∆>0
36	0.766667	0.205635	0.75	0.4	1.5	100

Tabla 24Pruebas para la Hipótesis General (global, 36 pares)

Prueba	Estadístico	gl	р	Tamaño de efecto	Observación
Shapiro-					
Wilk	0.886658947		0.001503		Global (36 pares)
(normalidad	0.000030347		0.001303		Global (50 pares)
Δ)					
Wilcoxon (Δ	6.65103538		0	1	RBC (biserial por
vs 0)	0.05105556		U	I	rangos)

Interpretación:

La mejora significativa del confort interior observada a nivel global (36 pares) es coherente con el descenso de la conductividad térmica del revestimiento al aumentar el contenido de fibra (hasta 1.5%), y con los mejores indicadores de durabilidad (menor succión y erosión) que preservan la función aislante en el tiempo. El conjunto de evidencia confirma que el mortero con fibras de agave reduce la transferencia de calor hacia el exterior y estabiliza la temperatura interior, especialmente en horas frías.

Para la hipótesis específica 1:

HG. Existe una proporción optima de fibras de agave que maximizará la capacidad de aislamiento térmico del mortero.

H0. No existe una proporción optima de fibras de agave que maximizará la capacidad de aislamiento térmico del mortero.

Tabla 25Conductividad térmica (k) por dosificación de fibra

Dosificación (%)	k (W/m·K)
0.5	0.0805
1	0.0746
1.5	0.0715

Tabla 26 *Tendencia estadística de k vs % de fibra*

Estadístico	Valor	
Spearman ρ	-1	
Spearman p	0	
Pendiente (β1)	-0.009	
Intercepto (β0)	0.084533	
R	-0.984248	
R²	0.968745	
p (regresión)	0.113143	

Tabla 27 *Mejora relativa de k respecto a barro+paja (k=0.09)*

Desificación (9/)	Mejora vs barro+paja			
Dosificación (%)	(k=0.09)			
0.5	0.105556			
1	0.171111			
1.5	0.205556			

Interpretación:

La reducción consistente de k con el incremento de fibra confirma que el refuerzo lignocelulósico introduce micro-oclusiones de aire y mayor tortuosidad al flujo térmico, elevando la resistencia térmica efectiva del revestimiento. La dosificación 1.5 % se comporta como óptimo experimental en el rango 0.5–1.5 %, al registrar la menor k sin penalizaciones observadas.

Para la hipótesis específica 2:

HG. La técnica de revestimiento de barro maximizará la durabilidad del mortero de tierra con fibras de agave y la protección del muro de adobe contra la humedad y la erosión, cumpliendo con los criterios de la Norma E0.80 sobre mantenimiento y protección de edificaciones de tierra.

H0. La técnica de revestimiento de barro no maximizará la durabilidad del mortero de tierra con fibras de agave y la protección del muro de adobe contra la humedad y la erosión, incumpliendo con los criterios de la Norma E0.80 sobre mantenimiento y protección de edificaciones de tierra.

Tabla 28
Adherencia (ASTM D3359 codificada)

Grupo	n	Adherencia (media, 0-4)
CF (1.5%)	2	4.00
SF	2	0.50

Tabla 29 *Erosión por agua (% pérdida de masa)*

Grupo	n	% pérdida (media)
CF (1.5%)	2	0.095
SF	2	0.685

Tabla 30 *Erosión abrasiva (pérdida de espesor, mm)*

Grupo	n	Pérdida (mm, media)
CF (1.5%)	2	3.00
SF	2	8.00

Tabla 31
Capilaridad (ganancia de masa, g)

Grupo	n	Ganancia (g, media)
CF (1.5%)	4	23.550

SF	4	33.575	

Tabla 32Resumen inferencial

	Prueba	U	p (unilateral)		Tamaño	
Variable				Z	de efecto	Decisión
					r	
Adherencia	MW	4.000	0.166667	0.967	0.484	Tendencia
(cód.)	(CF>SF)					CF>SF
Erosión por	MW	0.000	0.166667	0.007	0.484	Tendencia
agua (%)	(CF <sf)< td=""><td>0.000</td><td>0.967</td><td>CF<sf< td=""></sf<></td></sf)<>	0.000		0.967		CF <sf< td=""></sf<>
Erosión	N 4\ A /					Tendencia
abrasiva	MW	0.000	0.166667	0.967	0.484	
(mm)	(CF <sf)< td=""><td></td><td></td><td></td><td></td><td>CF<sf< td=""></sf<></td></sf)<>					CF <sf< td=""></sf<>
Capilaridad	MW	1.000	0.028571	1.902	0.673	Mejora
(g)	(CF <sf)< td=""><td></td><td></td><td></td><td></td><td>CF<sf< td=""></sf<></td></sf)<>					CF <sf< td=""></sf<>

Aunque el tamaño muestral de algunos ensayos es reducido (n=2 por grupo en adherencia/erosión), todas las métricas presentan mejoras direccionales contundentes con fibras (mayor adherencia; menores pérdidas por agua/abrasión; menor succión capilar). La capilaridad muestra diferencia estadísticamente significativa (p=0.0286, efecto grande), y los otros ensayos exhiben efectos grandes/consistentes que son relevantes y coherentes con el mecanismo (anclaje y puenteo fibroso, mejor continuidad matricial y menor conectividad de poros).

Para la hipótesis específica 3:

HG. La aplicación del mortero con fibras de Agave aumentará la resistencia térmica en los muros de adobe, mejorando el confort térmico en el interior de la vivienda.

H0. La aplicación del mortero con fibras de Agave no aumentará la resistencia térmica en los muros de adobe, mejorando el confort térmico en el interior de la vivienda.

Tabla 33Normalidad de las diferencias (Post–Pre) por vivienda y global

Vivienda	n pareadas	Métrica	Shapiro-Wilk	р
	ii parcadas	Motriou	(W)	P
1	9	Diferencias por	0.899	0.248
'		hora	0.000	0.240
2	9	Diferencias por	0.930	0.486
		hora	0.930	
3	9	Diferencias por	0.912	0.327
		hora	0.912	0.327
4	9	Diferencias por	0.922	0.407
		hora	0.922	0.407
Global	36	Diferencias por	0.007	0.004
	36	hora	0.887	0.001

Tabla 34Pruebas pareadas por vivienda y global (temperatura interior)

Vivienda	Prueba	Estadístico	gl	p (bilateral)	Tamaño de efecto	Conclusión
1 t pai	t paraada	pareada 19.757	8	4.50×10 ⁻⁸	6.586	Aumenta
1	i i pareaua			4.50^10		(Post>Pre)
2	t pareada	13.577	8	8.33×10 ⁻⁷	4.526	Aumenta
3	t pareada	9.604	8	1.1468×10 ^{-₅}	3.201	Aumenta
4	t pareada	6.750	8	1.63×10 ⁻⁷	5.583	Aumenta
Global	Wilcoxon	6.651	_	2.91×10 ⁻¹¹	RBC=1.000	Aumenta

Tras el revestimiento con fibras, las viviendas permanecen significativamente más cálidas en horas frías y con menores oscilaciones; por ejemplo, V1 (03:00) 12.3→13.1 °C, V3 (05:00) 11.4→12.5 °C. Esto evidencia reducción de pérdidas (menor flujo hacia el exterior) y mejora del confort.

CAPITULO V DISCUSIÓN

5.1. CONTRASTACIÓN DE LOS RESULTADOS DEL TRABAJO DE INVESTIGACIÓN

Los resultados obtenidos como la reducción de la conductividad térmica, el incremento de la resistencia térmica, mejor adherencia, disminución de fisuración, y menores pérdida de erosión por agua y abrasiva, y una menor absorción de agua por capilaridad, así como el aumento de la temperatura al interior de la vivienda, son consistentes con la tendencia reportada en los antecedente internacionales, nacionales y locales.

En el ámbito internacional, se corrobora lo señalado por Espinoza (2022) "Elaboración de placas de aislamiento térmico a partir de fibra de coco empleando ácido poliláctico (PLA) como aglutinante", respecto a que los compuestos de tierra mejoran el desempeño térmico y mecánico cuando se optimiza la formulación del material, también se corrobora con Calderón (2019) "Evaluación del mejoramiento del confort térmico con la incorporación de materiales sostenibles en viviendas en autoconstrucción en Bosa, Bogotá", quien evidencia que la utilización de materiales sostenibles, aumenta la temperatura interna de las viviendas, y con Lozano y Rojas (2019) "Elaboración de paneles termoaislantes para cubierta a partir de fibras de bagazo de la caña de azúcar", que muestran como paneles con insumos lignocelulósicos mejoran las propiedades térmicas, mecánicas y funciona como aislante térmico debido a su baja conductividad térmica.

En los antecedentes nacionales, los resultados coinciden con Chea (2022) "Estudio de la fibra de ichu incorporada como aislante térmico a un sistema de construcción en seco para su uso en envolventes de viviendas rurales ubicadas en zonas climáticas frías del Perú", cuyo trabajo respalda la transferencia de calor, la reducción de conductividad térmica mediante el uso de fibras naturales como el ichu y que estas incluso pueden alcanzar una resistencia térmica similar a la lana de vidrio, comprobando que las fibras naturales funcionan muy bien como aislante térmico; de forma muy alineada,

Cotrina (2019) "Panel a base de hoja de cabuya (Agave americana L.) para aislante térmico en época de heladas en las zonas alto andinas del Perú, 2019", demuestra el potencial de la cabuya como aislante térmico en zonas altoandinas, ya que tiene una muy baja conductividad térmica y una buena resistencia térmica, reforzando la pertinencia del uso de agave en mi mortero, asimismo, Mamani y Remachi (2022) "Mejora de la eficiencia del muro trombe con cobertura de muros laterales con láminas EPS en viviendas de adobe de la ciudad Puno 2022", utiliza un material distinto pero confirma que el uso de soluciones como las láminas EPS incrementa la temperatura interior y el confort térmico en viviendas de adobe, coherente con lo demostrado en esta investigación.

En el ámbito local, Fretel (2022) "Evaluación del uso del Ichu (Stipa Ichu) en la bioconstrucción y su influencia en el confort térmico de viviendas de Ayapiteg, Huánuco 2022", destaca la aplicabilidad del ichu en la bioconstrucciones de Huánuco, para mejorar el confort térmico de viviendas, tanto en la temperatura y la humedad, mientras que Cueva e Ynga (2021) "Aprovechamiento de la fibra y zumo de maguey (Agave Americana) para el mejoramiento de las propiedades físico-mecánicas de la mampostería de adobe tradicional en el Centro Poblado de Pichipampa-Huánuco-2021" y Gómez y Soto (2021) "Propiedades físico-mecánicas del mortero con cáscara de huevo frente a uno convencional, en muros de albañilería, distrito de Pillco Marca-Huánuco 2022", aportan la base de propiedades físico-mecánicas del adobe regional y la necesidad de revogues mejorados para preservar el muro, comparando con los resultados obtenidos de la alta adherencia y baja erosión por lluvia y abrasión, que mostró las fibras de agave, nos muestra que el refuerzo de estas fibras naturales elevan el comportamiento superficial del revoque y, por ende, contribuye a la durabilidad del sistema.

En conjunto, al contrastar con los antecedentes y los resultados obtenidos en esta investigación, se confirma que el uso de fibras naturales locales, es una estrategia válida para disminuir la conductividad térmica, aumentar la estabilidad térmica interior y fortalecer el comportamiento superficial del revoque en viviendas de adobe en zonas altoandinas.

CONCLUSIONES

De los resultados obtenidos se concluye que:

Para el objetivo general: Evaluar el efecto de la aplicación de un mortero con fibras de agave sobre el aislamiento térmico en viviendas del CC. PP Nauyan Rondos-Huánuco, Perú-2025. El tarrajeo con mortero de tierra 1.5% de fibras de agave mejoró de forma significativa el confort térmico interior de las viviendas evaluadas, con ganancias nocturnas relevantes (0.63-0.93 °C) y moderación del pico de la tarde. En el laboratorio, el sistema redujo k hasta 0.0715 W/m.K (-20.59% respecto a barro+paja =0.09 W/m.k) y resistencia al flujo de calor y sustenta el desempeño observado en la vivienda. La intervención incrementó la durabilidad funcional del revoque (adherencia 4B, ausencia de fisuras en la muestra con fibras, -7% de perdida por agua, -62.5% abrasión y -30% de capilaridad), contribuyendo en la protección del muro de adobe conforme a E.080.

Para el objetivo específico 1: Determinar la proporción óptima de fibras de agave en el mortero para maximizar su capacidad de aislamiento térmico. Se determinó que la proporción del 1.5% de fibras de agave, resulta óptima dentro del rango estudiado, alcanzando una conductividad térmica promedio de 0.0715 W/m. K, lo que representa una mejora del 20.59% en la capacidad de aislamiento térmico en comparación con un mortero tradicional de barro y paja (0.09 W/m. K).

Para el objetivo específico 2: Evaluar el efecto de la técnica de revestimiento de adobe utilizada en la durabilidad del mortero de tierra con fibras de agave y en la protección del muro de adobe frente a la humedad y la erosión, considerando los criterios de la Norma E.080 sobre mantenimiento y protección de edificaciones de tierra. El mortero con 1.5% de fibras de agave presenta propiedades de durabilidad superiores a un mortero de tierra sin fibras. Demostró una ausencia de fisuras, una excelente adherencia al sustrato (Clase 4B según ASTM D3359), alta resistencia a la erosión por agua y por abrasión, y una menor absorción de agua por capilaridad. Estas características ayudan a una mayor vida útil del revestimiento y una mejor

protección del muro de adobe, cumpliendo con los principios de mantenimiento y protección de la Norma E.080.

Para el objetivo específico 3: Medir y comparar la variación térmica en el interior de la vivienda antes y después de aplicar el mortero con fibras de agave. La aplicación del revestimiento de mortero con 1.5% de fibras de agave en los muros de las viviendas de adobe del CC.PP. Nauyan Rondos mejora el comportamiento térmico interior. Se constató una mayor estabilidad de la temperatura interna, con una reducción de las pérdidas de calor durante la noche y madrugada, también una estabilidad térmica diurna, haciendo que la perdida de calor sea de forma gradual, en comparación con las mismas viviendas antes de la intervención. Esto se traduce en una mejora del confort térmico para los habitantes.

RECOMENDACIONES

- ✓ Implementar y difundir el uso del mortero con 1,5% de fibras de agave como revestimiento térmico en programas de mejora de viviendas o nuevas construcciones de adobe en el CC. PP. Nauyan Rondos y comunidades altoandinas con climas similares, priorizando su aplicación en muros interiores y/o exteriores según la necesidad de cada vivienda.
- Desarrollar manuales prácticos y talleres de capacitación para los constructores locales y las familias de la comunidad sobre la correcta preparación de la fibra de Agave y su aplicación, asegurando un espesor adecuado y buenas prácticas constructivas para garantizar su efectividad y durabilidad.
- ✓ Continuar la investigación explorando proporciones de fibra de agave superiores al 1.5%, la adición de otras fibras naturales y el efecto de diferentes espesores de aplicación, para optimizar aún más las propiedades térmicas y mecánicas del mortero.
- Realizar un análisis de ciclo de vida y un estudio de costobeneficio más detallado, considerando costos de extracción y procesamiento de la fibra, la mano de obra local, la durabilidad estimada y el potencial ahorro en calefacción y salud, para cuantificar integralmente la sostenibilidad y rentabilidad de tecnología.

REFERENCIAS BIBLIOGRÁFICAS

- Ali, M., Alabdulkarem, A., Nuhait, A., Al-Salem, K., Almuzaiqer, R., Bayaquob, O., Salah, H., Alsaggaf, A., y Algafri, Z. (2020). Thermal Analyses of Loose Agave, Wheat Straw Fibers and Agave/Wheat Straw as New Hybrid Thermal Insulating Materials. Journal of Biobased Materials and Bioenergy. https://doi.org/10.1080/15440478.2020.1724232
- Arciénega, A., y Maristany, A. (2019). Confort térmico en viviendas Andinas. https://issuu.com/13bab/docs/30ic-115-documento-alvaro-arcienega-rosso/1
- ASTM International. (2010). ASTM E514-03: Standard Test Method for Water Penetration and Leakage Through Masonry. https://store.astm.org/e0514-08.html
- ASTM International. (2017). ASTM D3359-17: Standard Test Methods for Measuring Adhesion by Tape Test. https://cdn1.npcdn.net/userfiles/23221/download/1655171834_49bc64 ccd55d247575163fb8c90fb2d2/ASTM-D3359-2017.pdf
- ASTM International. (2018). ASTM C67-18: Standard Test Methods for Sampling and Testing Brick and Structural Clay Tile. https://store.astm.org/c0067_c0067m-18.html
- ASTM International. (2020). ASTM C0136/C0136M-14: Métodos de prueba estándar para análisis granulométrico de agregados finos y gruesos. https://doi.org/10.1520/C0136_C0136M-14
- ASTM International. (2024). ASTM C1363-19: Standard Test Method for Thermal Performance of Building Materials and Envelope Assemblies by Means of a Hot Box Apparatus. https://store.astm.org/c1363-19.html
- Baraya, S. (2022). Adobe: el material reciclable más sostenible. https://www.archdaily.pe/pe/944575/adobe-el-material-reciclable-massostenible

- Barnet, Y., y Jabrane, F. (2015). "Eco-domo, un hábitat para reducir la vulnerabilidad frente al friaje en el Perú" [Tesis de pregrado, Universidad de San Martín de Porres]. https://repositorio.usmp.edu.pe/handle/20.500.12727/2165
- Caballero, M., Silva, L., López, I., José, A., Cortés, C., Montes, J., y García, R. (2008). Caracterización de propiedades mecánicas de fibras del Agave angustifolia Haw. http://somim.org.mx/memorias/memorias2008/articulos/A1/A1_297.pdf
- Calderon, F. (2019). "Evaluación del mejoramiento del confort térmico con la incorporación de materiales sostenibles viviendas de en Colombia" [Tesis maestría, autoconstrucción en Bogotá, de Universidad de La Salle]. https://www.researchgate.net/publication/338780766_Evaluacion_del_ mejoramiento_del_confort_termico_con_la_incorporacion_de_material es_sostenibles_en_viviendas_de_autoconstruccion_en_Bogota_Colo mbia
- Chea, F. (2022). "Estudio de la fibra de ichu incorporada como aislante térmico a un sistema de construcción en seco para su uso en envolventes de viviendas rurales ubicadas en zonas climáticas frías del Perú" [Tesis de maestría, Pontificia Universidad Católica del Perú]. https://tesis.pucp.edu.pe/repositorio/handle/20.500.12404/24625
- Colque, O., y Condori, A. (2016). "Determinación de la eficiencia térmica de una terma solar de tubos al vacío en Puno" [Tesis de pregrado, Universidad Nacional del Altiplano]. http://repositorio.unap.edu.pe/handle/20.500.14082/2999
- Cotrina, R. (2019). "Panel a base de hoja de cabuya (Agave americana I.) para aislamiento térmico en época de heladas en las zonas alto andinas del Perú, 2019" [Tesis de Pregrado, Universidad Cesar Vallejo]. https://repositorio.ucv.edu.pe/handle/20.500.12692/43140

- Cueva, R., y Ynga, R. (2021). "Aprovechamiento de la fibra y zumo de maguey (Agave Americana) para el mejoramiento de las propiedades físicomecánicas de la mampostería de adobe tradicional en el Centro Poblado de Pichipampa Huánuco 2021" [Tesis de pregrado, Universidad Nacional Hermilio Valdizán]. https://repositorio.unheval.edu.pe/item/f7337518-1d17-4d2d-ae02-1d7bed021f85
- Davis, S., Kuzmick, E., Niechayev, N., y Hunsaker, D. (2015). Productivity and water use efficiency of Agave americana in the first field trial as bioenergy feedstock on arid lands. https://doi.org/10.1111/gcbb.12270
- Escobar, I. (2010). Apuntes de la asignatura de: "Metrología y Normalización". https://1library.co/es/download/881057916741156867
- Espinoza, J., Amador, G., Navarro, J., y Rodríguez, K. (2022). "Elaboración de placas de aislamiento térmico a partir de fibra de coco empleando ácido poliláctico (PLA) como aglutinante". [Artículo, Universidad de Costa Rica]. https://doi.org/10.15517/isucr.v23i48.49852
- Factorenergia. (2024). ¿Cuál es la temperatura ideal de casa? https://www.factorenergia.com/es/blog/eficienciaenergetica/temperatura-idealcasa/
- Fresno, M. (2013, 15 de julio). Bloques de tierra alivianada con paja (BTA). https://arquiteututecnicu.com/2013/07/15/bloques-de-tierra-alivianada-con-paja-bta/
- Fretel, O. (2022). "El Ichu (Stipa ichu) en la bioconstrucción y su influencia en el confort térmico de viviendas de Ayapiteg, Huánuco 2022" [Tesis de pregrado, Universidad Nacional Hermilio Valdizán]. https://repositorio.unheval.edu.pe/backend/api/core/bitstreams/e08b79 06-9502-4dc5-9669-6e9ea2d303aa/content
- Gandara, J. (2023). "Diseño de un prototipo de vivienda unifamiliar empleando la tierra como material predominante para el cantón de Salinas en

- Ecuador" [Tesis de maestría, Universitat Politécnica de Catalunya]. https://upcommons.upc.edu/handle/2117/422587
- García, A. (2007). Los Agaves de México. Ciencia y Desarrollo. https://www.redalyc.org/pdf/644/64408704.pdf
- García Villar, G., y Rolón, G. (2023). Revoques de tierra frente a la intemperie: Estrategias de mejora adherente mediante materiales naturales. https://www.redalyc.org/journal/6997/699777299008/html/
- Gómez, R., y Soto, Y. (2022). "Propiedades físico-mecánicas del mortero con cáscara de huevo frente a uno convencional, en muros de albañilería, distrito de Pillco Marca Huánuco 2022" [Tesis de pregrado, Universidad Nacional Hermilio Valdizán]. https://repositorio.unheval.edu.pe/item/4b1f9618-3df2-4a2d-ac15-2eb61c1b02cd
- González, E., Calleja, C., Fernández, P., Marín, S., Rafecas, M., Rodríguez, D., y Talens, P. (2021). Informe sobre tiempo y temperatura en la conservación de alimentos. Agencia Española de Seguridad Alimentaria y Nutrición (AESAN). https://www.aesan.gob.es/AECOSAN/docs/documentos/seguridad_alimentaria/evaluacion_riesgos/informes_comite/TIEMPO-TEMPERATURA.pdf
- Grupo PCC. (2024). Resistencia térmica: un parámetro clave en el aislamiento de edificios. https://www.products.pcc.eu/es/blog/resistencia-termica-un-parametro-clave-en-el-aislamiento-de-edificios/
- Ige, O., y Danso, H. (2020). Physico-Mechanical and Thermal Gravimetric Analysis of Adobe Masonry Units Reinforced with Plantain Pseudo-Stem Fibres for Sustainable Construction. International Journal of Sustainable Construction Engineering and Technology. https://openresearch.lsbu.ac.uk/download/c10a11e1c1e85e2c8b4456f 6fd6202dea398bc79a9ecfea5d990870db2397656/918244/Manuscript %20Adobe%20final.pdf

- Instituto Nacional de Calidad. (2004). SIST EN 1015-18:2004 Métodos de ensayo de morteros para albañilería Determinación de la densidad aparente del mortero endurecido. https://cdn.standards.iteh.ai/samples/3768/4d82388a65b34021857da2 ac07ad939e/SIST-EN-1015-18-2004.pdf
- Instituto Nacional de Calidad. (2016). SIST EN 1015-12:2016 Métodos de ensayo de morteros para albañilería Determinación de la conductividad térmica del estado endurecido (Hot Box). https://cdn.standards.iteh.ai/samples/58807/8f9300c18c094f50bc658b 090e6d1889/SIST-EN-1015-12-2016.pdf
- Liñán, A., de la Parra, S., Garza, M., García, R., Soto, E., y Cerino, F. (2014). Characterization and thermal analysis of agave bagasse and malt spent grain. https://doi.org/10.1007/s10973-013-3321-y
- López, C. (2017). Revestimientos en tierra en edificaciones patrimoniales en Colombia. https://dialnet.unirioja.es/descarga/articulo/8690873.pdf
- López, X., Torbisco, D., Rodriguez, J., y Eyzaguirre, C. (2019). Benefits of Cabuya Fiber in the Mechanical Properties of Compacted Adobe. https://doi.org/10.1061/(ASCE)MT.1943-5533.0002931
- Lozano, L., y Rojas, E. (2019). "Elaboración de paneles termoaislantes para cubierta a partir de Fibras de bagazo de la caña de azúcar" [Tesis de pregrado, Universidad Cooperativa de Colombia]. Repositorio Institucional UGC. https://repository.ugc.edu.co/handle/10596/23117
- Maiztegui, B. (2020). Prototipos de viviendas en madera: soluciones prefabricadas como alternativa al déficit habitacional. https://www.archdaily.pe/pe/938783/prototipos-de-viviendas-en-madera-soluciones-prefabricadas-como-alternativa-al-deficit-habitacional
- Mamani, Y., y Remachi, Y. (2022). "Mejora de la eficiencia del muro trombe con cobertura de muros laterales con láminas EPS en viviendas de

- adobe de la ciudad Puno 2022" [Tesis de pregrado, Universidad Continental]. Repositorio Institucional Continental. https://repositorio.continental.edu.pe/handle/20.500.12394/13891
- Mayandi, K., Rajini, N., Manojprabhakar, M., Siengchin, S., y Ayrilmis, N. (2019). Recent studies on durability of natural/synthetic fiber reinforced hybrid polymer composites. Woodhead Publishing. https://doi.org/10.1016/B978-0-08-102290-0.00001-5
- Minke, G. (2009). Manual de construcción con tierra. https://reaxionatural.wordpress.com/wp-content/uploads/2011/08/manual-de-construccion-con-tierra-gernot-minke.pdf
- Ministerio de Vivienda, Construcción y Saneamiento. (2014). Norma Técnica EM.110: Requisitos de aislamiento térmico para edificaciones. En Reglamento Nacional de Edificaciones. https://waltervillavicencio.com/wp-content/uploads/2019/01/EM.110.pdf
- Ministerio de Vivienda, Construcción y Saneamiento del Perú. (2017). Norma E.080 Diseño y construcción con tierra reforzada. En Reglamento Nacional de Edificaciones. https://cdn-web.construccion.org/normas/rne2012/rne2006/files/titulo3/02_E/E_08 0.pdf
- Moreno, I., Varela, J., Solís, R., y Sánchez, O. (2013). Efecto de las fibras poliméricas en la permeabilidad y características mecánicas del concreto con agregado calizo de alta absorción. https://www.redalyc.org/articulo.oa?id=46730914004
- Mucha, A. (2022). Prensa de Concreto. https://www.linkedin.com/pulse/prensa-de-concreto-aldo-mucha/
- Norma Técnica Peruana. (1999). NTP 339.128: Suelos. Método de ensayo para el análisis granulométrico.

- https://www.udocz.com/apuntes/26394/ntp-339-128-1999-suelos-metodo-de-ensayo-para-el-analicis-granulometrico
- Olivares, M., y García, F. (2011). Técnicas de construcción con tierra. https://redproterra.org/wp-content/uploads/2020/05/4a_PP-Tecnicas-de-construccion-con-tierra_2011.pdf
- Ontiveros, E. (2001). Programa de normalización de estudios previos y control de calidad en las intervenciones: morteros empleados en construcciones históricas. Formulación y características (1ª parte). https://www.iaph.es/revistaph/index.php/revistaph/article/view/1136
- Ordoñez, F., Jácome, F., Castro, P., y Naranjo-Mendoza, C. (2019). Sensitivity analysis of the variables affecting indoor thermal conditions on unconditioned dwellings in equatorial high-altitude regions from an experimentally validated model. Procedia Engineering, 240, 1–10. https://doi.org/10.1016/j.proeng.2019.04.148
- Ortiz, P., Gonzales, A., Montaño, V., Chica, A., y Álava, C. (2023). Eficiencia de sistemas de aislamiento térmico. Iberoamericana Journal of Technology.

 https://tech.iberojournals.com/index.php/IBEROTECS/article/view/631
- Palomo, M. (2017). Aislantes térmicos: Criterios de selección por requisitos energéticos [Tesis de pregrado, Universidad Politécnica de Madrid].

 Archivo Digital UPM. https://oa.upm.es/47071/1/TFG_Palomo_Cano_Marta.pdf
- Peña, O., y Roman, R. (2018). Diseño de un aislante térmico a base de fibras naturales para mitigar el impacto de las heladas en la comunidad de Cupisa [Tesis de pregrado, Universidad Peruana de Ciencias Aplicadas]. Repositorio Académico UPC. https://repositorioacademico.upc.edu.pe/handle/10757/625185
- Pérez González, D. I., Castro Olivares, J. E., Flores Méndez, J., Mendoza Quiñonez, J. A., Michua Camarillo, A., y Aparicio Razo, M. (2021).

- Evaluación y comparación de resistencia a la tracción y flexión de quiote del maguey manso (Agave salmiana) contra bambú Guadua. https://www.redalyc.org/journal/404/40471798003/html/
- Pobell, F. (2007). Low-Temperature Thermometry. En F. Pobell (Ed.), Matter and Methods at Low Temperatures. https://doi.org/10.1007/978-3-540-46360-3 12
- Portillo, G. (2014, 2 de noviembre). Higrómetro: qué es y para qué sirve. Ecología Verde. https://www.ecologiaverde.com/higrometro-que-es-y-para-que-sirve-4856.html
- Ramírez, M., Caballero, M., Montes, J., y Silva, M. (2018). Conductividad térmica de un panel biocompuesto empleando fibra de bagazo de Agave angustifolia Haw y látex. http://rctveracruz.inifap.gob.mx/Media/Cartel/PDF/ARN_y_CC/ARNyC C5.pdf
- Resano, D., Rodriguez, R., y Guillen, O. (2021). Passive Comfort Strategies for Typical Peruvian MesoAndean Houses. https://doi.org/10.1088/1755-1315/943/1/012029
- Rhonatherm. (2018, 12 de junio). Resistencia térmica de los materiales de construcción. https://www.saterhonatherm.com/blog/resistencia-termica/
- Salazar, M. (2023, 20 de mayo). Termohigrómetros: Una guía completa para elegir y utilizar el instrumento adecuado. Sodeintec SAS. https://sodeintecsas.com/termohigrometros-una-guia-completa-para-elegir-y-utilizar-el-instrumento-adecuado/
- Slow Studio. (2024). La tierra en construcción. Slow Studio. https://www.slowstudio.es/research/la-tierra-en-construccion

- Smith, P. (2019). Disminución de la temperatura superficial en comunas pericentrales al sur de la ciudad de Santiago mediante la conversión de sitios eriazos en espacios verdes [Tesis de maestría, Universidad de Chile]. Repositorio Académico UChile. https://repositorio.uchile.cl/handle/2250/173635
- Statista. (2025). Variación anual en la temperatura de la superficie terrestre y oceánica a nivel mundial entre 1880 y 2024. https://es.statista.com/estadisticas/1269561/variacion-de-lastemperaturas-globales-y-oceanica-mundiales/
- Trindade, G. (2024, 23 de julio). La falta de mano de obra lastra el crecimiento de la construcción. https://www.lavanguardia.com/economia/20240723/9822127/faltamano-obra-lastra-crecimiento-construccion.html
- Universidad Centroamericana "José Simeón Cañas" (UCA), Departamento de Mecánica Estructural. (s. f.). Análisis de tamaño de partículas por tamizado en agregado fino y grueso y determinación de material más fino que el tamiz No. 200 (75 µm) en agregado mineral por lavado. https://www.uca.edu.sv/mecanica-estructural/materias/materialesCostruccion/guiasLab/ensayoAgregado s/GRANULOMETRIA.pdf
- Viera, P., Morrillo, D., y Parion, J. (2021). Influence of natural and synthetic fibers on the permeability of cement mortars sand, and, cement, lime and sand. https://portal.amelica.org/ameli/journal/624/6242851007/6242851007. pdf
- Wieser, M., Onnis, S., y Meli, G. (2020). Desempeño térmico de cerramientos de tierra alivianada. Posibilidades de aplicación en el territorio peruano. https://doi.org/10.14718/RevArq.2020.22.1.2057

Woodhouse, R., Williams, J., y Nobel, P. (1983). Simulation of plant temperature and water loss by the desert succulent, Agave deserti. https://doi.org/10.1007/BF00377170

COMO CITAR ESTE TRABAJO DE INVESTIGACIÓN

Silva Cloud, M. N. (2025). *Mortero con fibras de Agave para aislamiento térmico en viviendas del CC. PP Nauyan Rondos-Huánuco, Perú-2025*. [Tesis de pregrado, Universidad de Huánuco].

Repositorio institucional UDH. url: http://...

ANEXOS

ANEXO 1

MATRIZ DE CONSISTENCIA

"MORTERO CON FIBRAS DE AGAVE PARA AISLAMIENTO TÉRMICO EN VIVIENDAS DEL CC. PP NAUYAN RONDOS – HUÁNUCO, PERÚ-2025"

PROBLEMA	BLEMA OBJETIVO HIPÓTESIS VARIABLES				TÉCNICA	INSTRUMENTO	MÉTODO
PROBLEMA	OBJETIVO	HIPÓTESIS	V.INDEPENDIENTE				
GENERAL	GENERAL GENERAL		V.INDEPENDIENTE				
. Could be all affects							Tipo d
¿Cuál es el efecto	Evaluar el efecto	El uso del				-Caja caliente	investigación:
de la aplicación de	de la aplicación	mortero con		-Conductividad		(Hot box) y	Del tip
un mortero con	de un mortero	fibras de agave		térmica (W/m.		Termómetro.	aplicada.
fibras de agave	con fibras de	mejora		K).		-Balanza digital,	Enfoque: de
sobre el	agave sobre el	significativament		-Resistencia		Tijeras y	tipo cuantitativo
aislamiento . , :	aislamiento	e el aislamiento	Mortero con fibras de	térmica	0 1 1/	Recipientes.	Nivel:
térmico en	térmico en	térmico en	agave.	m²·K/W.	Granulometría	-Balanza digital	Explicativo.
viviendas del CC.	viviendas del	viviendas del		-Proporción de		y Recipientes.	Diseño: del tip
PP Nauyan	CC. PP Nauyan	CC. PP Nauyan		fibras de		-Regla metálica.	experimental
Rondos-Huánuco, Perú-2025?	Rondos-	Rondos-		Agave (g).			de tip

	Huánuco, Perú- 2025.	Huánuco, Perú- 2025.		-Proporción de tierra (Kg). -Espesor final.			Cuasiexperimen tos.
PROBLEMAS ESPECÍFICOS	OBJETIVOS ESPECÍFICOS	HIPÓTESIS ESPECÍFICAS	V. DEPENDIENTE				
¿Cuál es la proporción óptima de fibras de agave en el mortero para maximizar su capacidad de aislamiento térmico?	Determinar la proporción óptima de fibras de agave en el mortero para maximizar su capacidad de aislamiento térmico.	Existe una proporción optima de fibras de agave que maximizará la capacidad de aislamiento térmico del mortero.	Aislante térmico	Nivel de confort percibido por los habitantesReducción de la temperatura ambiente en	Monitoreo de	-TermómetroFichasDatos recogidos de las	Población: La población para este estudio está compuesta por las viviendas. Muestra: Será de tipo no probabilística y la muestra que
¿Qué efecto tiene la técnica de revestimiento de adobe utilizada en	Evaluar el efecto de la técnica de revestimiento de adobe utilizada	La técnica de revestimiento de barro maximizará la		comparación con viviendas sin aislamiento (°C).	las temperaturas.	fichas de campo.	se seleccionará se basará en la tipología de las viviendas.

la durabilidad del	en la durabilidad	durabilidad del
mortero de tierra	del mortero de	mortero de tierra
con fibras de	tierra con fibras	con fibras de
agave y en la	de agave y en la	agave y la
protección del	protección del	protección del
muro de adobe	muro de adobe	muro de adobe
frente a la	frente a la	contra la
humedad y la	humedad y la	humedad y la
erosión,	erosión,	erosión,
considerando los	considerando	cumpliendo con
criterios de la	los criterios de la	los criterios de la
Norma E.080	Norma E.080	Norma E0.80
sobre	sobre	sobre
mantenimiento y	mantenimiento y	mantenimiento y
protección de	protección de	protección de
edificaciones de	edificaciones de	edificaciones de
tierra?	tierra.	tierra.
¿Cuál es la	Medir y	La aplicación del
variación térmica	comparar la	mortero con
en el interior de la	variación	fibras de Agave
vivienda antes y	térmica en el	aumentará la
después de	interior de la	resistencia

aplica	ar el moi	tero	vivienda a	ntes y	térmica	en lo
con	fibras	de	después	de	muros d	e adobe
agave	e?		aplicar	el	mejoran	do e
			mortero	con	confort	térmic
			fibras de a	gave.	en el in	terior d
					la vivien	da.

ANEXO 2 INSTRUMENTO DE APLICACIÓN DEL ESTUDIO

Criterio E.180 Exigencia Exigencia	Selección de viviendas para muestra - Mauyan Randos (Mohabuco) Froyecto: Hortero con fibras de Agare para elabamiento térmico en viviendas para muestra - Mauyan Randos (Mohabuco) Widellota - Comunidad composita de Nayan fibrandos Lacalded: MRENDA I Comunidad composita de Nayan fibrandos Lacalded: Midellota - Madanaca /	Resultado global (23 de 5 'Sr): Notas normativas (WIE E.OBO): Ar 4 (aspesores por estelbez A =H/A	Sobrecimiento	Espesor mínimo de muros	Tipo de suelo (E.080)	Número de pisos (E.080 – zona sísmica 3)	Ubicación (E.D8D)	Criterio E.080	Fecha:	Tesista:	Localidad:	Vivienda:	Proyecto:		
FICHA DE EVALUACIÓN Selección de viviendas para n Datos d elslamiento térmico en viviendas del CC. PP le Nauyan Rondos co / Huánuco Observado (mejor evidencia disponible la peligros: nivel ALTU (Nauyán Rondo Mapa de peligros: nivel ALTU (Nauyán Rondo Lasificación: Et O.42 m Altura: D.25 m; Ancho: D.30 m Altura: D.25 m; Ancho: D.30 m	FICHA DE EVALUACIÓN — NDRMA E.DBO (Adobe) Selección de viviendas para muastra — Nauyán Rondos (Huánuco) WNENDA 1 Datos de identificación e Nauyan Rondos — Huánuco, Perú-2025" te Nauyan Rondos — Huánuco, Perú-2025" to / Huánuco Diservado (mejor evidencia disponible) Cumple Cumple Diservado (mejor evidencia disponible) No Diservado (mejor evidencia disponible) Si Lipiso Si Lipiso Lipiso Lipiso Lipiso Altura: 0.25 m; Ancho: 0.30 m	(z3 de 5 'Sr'): WIE E.OBO): Art. 2.3 (1 piso en zona sism isbeltez A.=H/I). Ciriterio adoptado para	Altura > 0.30 m y ancho > 0.40 m.	≥ 0.40 m.	No admitir suelos granulares sueltos. cohesivos blandos ni arcillas expansivas.	Sala I pisa.	Excluir zonas de alto riesgo: inundaciones, avalenchas, aluviones / huaycos o suelos con inestablidad geológica.	Exigencia	5/07/2025	Bach, Mayeli Nicole Silva Cloud	Nauyán Rondos / Huánuco / Huánu	WWENDA 1- Comunidad campesina d	"Mortero con fibras de Agave para		
	IN - NORMA E. DBO (Adobe) Nucestra - Nauyán Randos (Huánuco) NeRNDA 1 Reidentificación Lumple Si Si No No No Si No No No No No No No No No N	isa 3). Art 2.4 (exclusiones par peligras y suelas unifarmided: sobrecimienta con encho > 0.40 m.	Altura: 0.25 m; Ancho: 0.30 m	0.42 m	Clasificación: £L	1 piso	Mapa de peligros: nivel ALTU (Nauyán Rondo	Observado (mejor evidencia disponible			co / Huánuco	e Nauyan Rondos	aislamiento térmico en viviendas del CC. PP	Datos d	FICHA DE EVALUACIO Selección de viviendas para n

	FICHA DE EVALUACIÓN — NORMA E.080 (Adobe)
	(variance)
	VIVIENDA 2
	Datos de identificación
Proyecto:	"Mortero con fibras de Agave para aislamiento térmico en viviendas del CC. PP Nauyan Rondos-Huánuco, Perú-2025"
Vivienda:	VVVENDA 2- Comunidad campesina de Nauyan Rondos
Localidad:	Nauyán Rondos / Huánuco / Huánuco / Huánuco
Tesista:	Bach. Mayeli Nicole Silva Cloud
Fecha:	5/07/2025

Criterio E.080	Exigencia	Observado (mejor evidencia disponible)	Cumple	Observaciones
	Excluir zonas de alto riesgo:			
Ubicación	inundaciones, avalanchas,	Many de politicos estados (Many de Bondos)		
(E.080)	aluviones/huaycos o suelos con	mapa de peligi-us: lilvei Acid (Nadyan Kundus)	N	
	inestabilidad geológica.			
Número de pisos				
(E.080 - zona	Salo 1 pisa.	2 piso	No	
sísmica 3)	2			
ing do augle	No admitir suelos granulares sueltos.			
or none au udin	cohesivos blandos ni arcillas	Clasificación: CL	No	
(1.000)	expansivas.			
Espesor mínimo	≥ 0.40 m.	D.40 m	Si	
ne min no				
	Alhina > 13 m vancha > 16 m	Altura: U.Z./ m. Ancho: 0.30 m	No	

Natas narmetivas (WE E.DBU). Art 2.3 (1 pisa en zona sismica 3), Art 2.4 (exclusiones par peligros y suelas), Art 6.1.6 (cimiento > 0.60 m profundided y > 0.40 m ancho). Art 6.1.d (sobrecimiento sobresalga > 0.20 m). Tabla 4 (expessores par esbeltez \lambda=H/t). Criteria adoptado para uniformidad: sobrecimiento con ancho > 0.40 m.

Resultado global (23 de 5 'Sí'):



ing. Charly F. Rodriguez Ponce CIP: 226246

Robald G. Mays Iquino
INGENIERO CIVIL
CIP N° 156354

	FICHA DE EVALUACIÓN – NORMA E.O8O (Adobe)
	Selección de viviendas para muestra — Nauyán Rondos (Huánuco)
	VIVIENDA 3
	Datos de identificación
Proyecto:	"Mortero con fibras de Agave para aislamiento térmico en viviendas del CC. PP Nauyan Rondos-Huánuco, Perú-2025"
Vivienda:	WWENDA 3- Comunidad campesina de Nauyan Rondos
Localidad:	Nauyán Rondos / Huánuco / Huánuco / Huánuco
Tesista:	Bach. Mayeli Nicole Silva Cloud
Fecha:	5/07/2025

Criterio E.080	Exigencia	Observado (mejor evidencia disponible)	Gumple	Observaciones
	Excluir zonas de alto riesgo:			
Ubicación	inundaciones, avalanchas.	Mana de nelinens nivel ALTII (Nauván Rondos)	N _D	
(E.080)	aluviones/huaycos o suelos con	mapa on pengilas, iliyer Acto (Manyari Kulidus)	70	
	inestabilidad geológica.			
Número de pisos				
(E.080 - zona	Sala I pisa.	l piso	Si	
sísmica 3)				
Time de cuelo	No admitir suelos granulares sueltos.			
nians an ordin	cohesivos blandos ni arcillas	Clasificación: Cl	No	
(E.UBU)	expansivas.			
Espesor mínimo	≥ 0.40 m.	0.35 m	No	
de muros				
Sobrecimiento	Altura ≥ 0.30 m y ancho ≥ 0.40 m.	Altura: 0.30 m; Ancho: 0.38 m	No	

Natas narmativas (NTE E180): Art 2.3 (I pisa en zana sismica 3), Art 2.4 (exclusionas par peligras y suelas), Art 6.1.6 (cimienta > 0.60 m profundidad y > 0.40 m encho). Art 6.1.d (sabrecimienta sabresalga > 0.20 m), Tabla 4 (espasores por eshelaz A = H/O). Criteria adaptedo pere uniformidad: sobrecimienta con ancha > 0.40 m.

Resultado global (23 de 5 'Sí'):





Ronald G. Mays Aquino
INCERNIERO CIVIL
CIP N° 156354

	FICHA DE EVALUACIÓN – NORMA E. 080 (Adobe)
	Selección de vivendas para muestra – Nauyán Rondos (Huánuco)
	WYENDA 4
	Datos de identificación
Proyecto:	"Nortero con fibras de Agave para aislamiento térmico en viviendas del CC. PP Nauyan Rondos-Huánuco, Perú-2025"
Vivienda:	WNENDA 4- Comunidad campesina de Nauyan Rondos
Localidad:	Nauyán Rondos / Huánuco / Huánuco / Huánuco
Tesista:	Bach. Mayeli Nicole Silva Cloud
Fecha:	5/07/2025

Criterio E.080	Exigencia Excluir zonas de alto riesgo:	Observado (mejor evidencia disponible)	Cumple
Ubicación (E.080)	inundaciones, avalanchas, aluviones/hueycos o suelos con inestabilidad geológica.	Mapa de peligros: nivel ALTO (Nauyán Rondos)	No
Número de pisos			
(E.D80 - zona sísmica 3)	Sala I pisa.	l piso	IS.
Tipo de suelo (E.080)	No admitir suelos granulares sueltos, cohesivos blandos ni arcillas expansivas.	Clasificación: 6C	Si
Espesor mínimo de muros	≥ 0.40 m.	0.40 m	Si
Sobrecimiento	Altura ≥ 0.30 m y ancho ≥ 0.40 m.	Altura: 0.34 m; Ancho: 0.42 m	Si
Resultado global (>3 de 5 'Sí'):	23 de 5 'Sr'):		

Notes normatives (NTE E.080): Art. 2.3 (I piso en zona sísmica 3), Art. 2.4 (exclusiones por peligros y suelos), Art. 6.1.b (cimiento > 0.60 m profundidad y > 0.40 m encho), Art. 6.1.d (sobrecimiento sobresalga > 0.20 m), Tabla 4 (espesores por establez A =H/1). Ciritario adoptado para uniformidad: sobrecimiento con ancho > 0.40 m.

ing. Ch

Ronati G. Mays Aquino ince nee o cyul.

	FICHA DE EVALUACIÓN – NORMA E.OBO (Adobe)
	Selección de viviendas para muestra — Nauyán Rondos (Huánuco)
	WWENDA S
	Datos de identificación
Proyecto:	"Mortero con fibras de Agave para aislamiento térmico en viviendas del CC. PP Nauyan Rondos-Huánuco, Perú-2025"
Vivienda:	WIENDA 5- Comunidad campesina de Nauyan Rondos
Localidad:	Nauyán Rondos / Huánuco / Huánuco / Huánuco
Tesista:	Bach, Mayeli Nicole Silva Cloud
Fecha:	5/07/2025

Criterio E.080	Exigencia	Observado (mejor evidencia disponible)	Cumple	Observaciones
	Excluir zonas de alto riesgo:			
Ubicación	inundaciones, avalanchas,	Many de regiones airei NITT (Neurola Paradas)	N ₂	
(E.080)	aluviones/huaycos o suelos con	mapa de pengrus: niver actu (nabyan kondus)		
	inestabilidad geológica.			
Número de pisos			A COLUMN TO THE REAL PROPERTY OF THE PERSON	
(E.080 - zona	Sala I pisa.	lpiso	Si	
sísmica 3)				
	No admitir suelos granulares sueltos.			
UE UBU)	cohesivos blandos ni arcillas	Clasificación: GC	Si	
(1.000)	expansivas.			
Espesor mínimo	≥ fl 4fl m	11 411 m	Si.	
de muros				
Sabrecimiento	Altura ≥ 0.30 m y ancho ≥ 0.40 m.	Altura: 0.30 m; Ancho: 0.40 m	Si	
-(,)S, 5 op 8<) lequip upequised	2 do E 10/1			

Notes normatives (NTE £080); Art 2,3 (I pisa en zona sismica 3), Art 2,4 (exclusiones par peligras y suelas), Art £1.b (cimienta ≥ 0.60 m profundidad y ≥ 0,40 m ancho), Art £1.d (sobrecimienta sobresalga ≥ 0,20 m), Tabla 4 (aspesares por esbeltez X=H/Q). Critaria adoptada para uniformidad: sobrecimienta con ancho ≥ 0,40 m.

Selección de viviendas para muestra - Nauyán Rondos (Huánuco)
VIVIENDA G
Datos de identificación
Proyecto: "Mortero con fibras de Agave para aislamiento térmico en viviendas del CC. PP Nauyan Rondos-Huánuco, Perú-2025"
Vivienda: VIVIENDA 6- Comunidad campesina de Nauyan Rondos
Localidad: Nauyán Rondos / Huánuco / Huánuco / Huánuco
Tesista: Bach, Mayeli Nicole Silva Cloud
Fecha: 5/07/2025

Criterio E.080	Exigencia	Observado (mejor evidencia disponible)	Cumple	Observaciones
	Excluir zonas de alto riesgo:			
Ubicación	inundaciones, avalanchas,	Many do policinos sicol ALTO (Norman Bondon)	<u> </u>	
(E.080.)	aluviones/huaycos o suelos con	mapa de pengrus: niver Acid (Nadyan Kundas)	2	
	inestabilidad geológica.			
Número de pisos				
(E.080 - zona	Solo 1 piso.	1 piso	Sí	
sísmica 3)				
Tipo do cuelo	No admitir suelos granulares sueltos.			
or nanc an ordin	cohesivos blandos ni arcillas	Clasificación: CL	No	
(15,000)	expansivas.			
Espesor mínimo	≥ 0.40 m.	0.38	No	
de muros				
Sphrecimiento	Altura ≥ 0.30 m v ancho ≥ 0.40 m.	Altura: 0.25 m; Ancho: 0.34 m	No	

Natas narmativas (WE E.DBD). Art. 2.3 (I piso en zona sismica 3), Art. 2.4 (exclusiones por peligras y suelas), Art. 6.1.6 (cimiento > 0.60 m profundidad y > 0.40 m ancho). Art. 6.1.d (sobrecimiento sobresalga > 0.20 m), Tabla 4 (espesares por esbeltez \(\tau = H/\)). Criterio adoptado para uniformidad: sobrecimiento con ancho > 0.40 m.

Resultado global (>3 de 5 'Sr'):



Charly F. Rodriguez Ponce CIP: 226246



	FICHA DE EVALUACIÓN – NDRMA E.DBD (Adobe)
	Selección de viviendas para muestra – Nauyán Rondos (Huánuco)
	VIVIENDA 7
	Datos de identificación
Proyecto:	"Mortero con fibras de Agave para aislamiento térmico en viviendas del CC. PP Nauyan Rondos-Huánuco, Perú-2025"
Vivienda:	WVENDA 7- Comunidad campesina de Nauyan Rondos
Localidad:	Nauyán Rondos / Huánuco / Huánuco / Huánuco
Tesista:	Bach. Mayeli Nicole Silva Cloud
Fecha:	5/07/2025

Criterio E.080	Exigencia	Observado (mejor evidencia disponible)	Cumple	Observaciones
	Excluir zonas de alto riesgo:			
Ubicación	inundaciones, avalanchas,	Many de aplication airel MITT (Names Pandar)	7	
(E.080)	aluviones/huaycos o suelos con	Mapa de peligirus: lilvei Acid (Nadyali Kulidus)	2	
	inestabilidad geológica.			
Número de pisos				
(E.080 - zona	Sala I pisa.	1 piso	Si	
sísmica 3)				
	No admitir suelos granulares sueltos,			
(Libous an odi	cohesivos blandos ni arcillas	Clasificación: GC	Sí	
(1.000)	expansivas.			
Espesor mínimo de muros	≥ 0.40 m.	0.44 m	Sí	
Sobrecimiento	Altura ≥ 0.30 m y ancho ≥ 0.40 m.	Altura: 0.30 m; Ancho: 0.40 m	Sí	

Natas normativas (NTE E.DBD). Art. 2.3 (1 piso en zona sismica 3), Art. 2.4 (exclusiones por peligros y suelos), Art. 6.1.b (cimiento ≥ 0.60 m profundidad y ≥ 0.40 m ancho), Art. 6.1.d (sobrecimiento sobresalga ≥ 0.20 m), Tabla 4 (espasores por esbeltaz \(\lambda = \text{H.V). Gritario adoptado para uniformidad: sobrecimiento con ancho ≥ 0.40 m. GERUM GASTON IMPLIES INCRALES INCRANERO CIVAL.
CUP. N° 56606

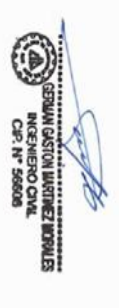
Resultado global (≥3 de 5 'Sí'):

	FICHA DE EVALUACIÓN — NORMA E. 080 (Adobe)
	Selección de viviendas para muestra — Nauyán Rondos (Huánuco)
	ANALON B
	Datos de identificación
royecto:	"Mortero con fibras de Agave para aislamiento térmico en viviendas de
livienda:	WWENDA 8- Comunidad campesina de Nauyan Rondos
ocalidad:	Nauyán Rondos / Huánuco / Huánuco / Huánuco
Tesista:	Bach. Mayeli Nicole Silva Cloud
Fecha:	5/07/2025

Criterio E.080	Exigencia Excluir zonas de alto riesgo:	Observado (mejor evidencia disponible)		Cumple
Ubicación (E.D80)	Excluir zonas de alto riesgo: inundaciones, avalanchas, aluviones/huaycos o suelos con inestabilidad geológica.	Mapa de peligros: nivel ALTI (Nauyán Rondos)		No
Número de pisos (E.D80 – zona sísmica 3)	Sala I pisa.	l piso		Sí
Tipo de suelo (E.080)	No admitir suelos granulares sueltos, cohesivos blandos ni arcillas expansivas.	Clasificación: CL		No
Espesor mínimo de muros	≥ 0.40 m.	0.4		Si
Sobrecimiento	Altura ≥ 0.30 m y ancho ≥ 0.40 m.	Albura: 0.31 m; Ancho: 0.34 m	ON No	

Natus normativas (WT E.080). Art. 2.3 (I piso en zona sismica 3). Art. 2.4 (exclusiones par peligras y suelas). Art. 6.1.6 (cimienta > 0.60 m profundidad y > 0.40 m encha). Art. 6.1.d (sobrecimienta sobresalga > 0.20 m). Table 4 (espesares par esbeltaz \(\tau = H/O\). Criterio adaptado para uniformidad: sobrecimienta con ancho > 0.40 m.

Resultado global (≥3 de 5 'Sí'):



CIP: 226246



Fecha: 5/0	Tesista: Bac	Localidad: Nauy	Vivienda: VIVIE		TRANSCO SALVA			
5/07/2025	Bach. Mayeli Nicole Silva Cloud	Nauyán Rondos / Huánuco / Huánuco / Huánuco	WNENDA 9- Comunidad campesina de Nauyan Rondos	"Mortero con fibras de Agave para aislamiento térmico en viviendas del CC. PP Nauyan Rondos-Huánuco, Perú-2025"	Datos de identificación	VIVIENDA 9	Selección de viviendas para muestra — Nauyán Rondos (Huánuco)	FICHA DE EVALUACIÓN — NORMA E. 080 (Adobe)

Criterio E.080	Exigencia	Observado (mejor evidencia disponible)	Cumple	Observaciones
	Excluir zonas de alto riesgo:			
Ubicación	inundaciones, avalanchas,	Mapa de peligros: nivel ALTO (Nauyán Rondos)	No	
(E.080)	aluviones/huaycos o suelos con	riopa de pengras, ritxer Acia (riougait National)	300	
	inestabilidad geológica.			
Número de pisos				
(E.080 - zona	Sala 1 pisa.	1 piso	Si	
sísmica 3)	1	1 2000		
Tinn de suela	No admitir suelos granulares sueltos.			
(C DOD)	cohesivos blandos ni arcillas	Clasificación: GC	Si	
(1.000)	expansivas.			
Espesor mínimo	≥ 0.40 m.	0.40 m	Si	
de muros				
Sobrecimiento	Albura ≥ 0.30 m y ancho ≥ 0.40 m.	Altura: 0.30 m; Ancho: 0.40 m	Si	

Notas normativas (WTE 1.080): Art. 2.3 (Lpisa en zona sismica 3), Art. 2.4 (exclusionas por peligros y suelas), Art. 6.1.6 (crimienta > 0.60 m profundidad y > 0.40 m ancho), Art. 6.1.d (sobrecimienta sobresalga > 0.20 m), Tabla 6 (espesores por esbeltaz A =H/O). Criterio adoptado para uniformidad, sobrecimiento con aocho > 0.40 m.

Resultado global (23 de 5 'Sí'):







CONSENTIMIENTO INFORMADO

Nauyan Rondos, 13 de julio de 2025

Yo, **MAYELI NICOLE SILVA CLOUD**, identificada con DNI N.º 74993196, bachiller en Ingeniería Civil por la Universidad de Huánuco, me dirijo a usted con el debido respeto.

Por medio del presente documento, le extiendo una cordial invitación para participar voluntariamente en mi proyecto de tesis, el cual busca un beneficio directo para las viviendas de nuestra comunidad.

I. INFORMACIÓN SOBRE EL PROYECTO

Este estudio se titula "MORTERO CON FIBRAS DE AGAVE PARA AISLAMIENTO TÉRMICO EN VIVIENDAS DEL CC. PP. NAUYAN RONDOS – HUÁNUCO, PERÚ-2025". Cuyo objetivo comprende el desarrollo de una solución constructiva con materiales locales que ayude a que las viviendas de nuestra comunidad sean más cálidas y confortables frente a las bajas temperaturas.

II. DESCRIPCIÓN DE LAS ACTIVIDADES A REALIZAR

Para cumplir con el objetivo mencionado, solicito su autorización para realizar las siguientes actividades en su vivienda:

- APLICACIÓN DE REVOQUE (TARRAJEO) DE PRUEBA: Previo acuerdo con usted sobre la ubicación exacta, se aplicará un revoque de prueba en un área delimitada de uno de sus muros.
 - Composición del material: Aclaro que el mortero está hecho a base de tierra y fibras vegetales de agave. Es un material natural, no contiene químicos, no es tóxico ni representa perjuicio alguno para la salud de su familia ni para la estructura de su vivienda.
- 2. MEDICIÓN DE TEMPERATURA: Unas semanas después de la aplicación, con su permiso, se instalará temporalmente un pequeño termómetro digital en la habitación para registrar la temperatura interior durante un periodo de 24 horas y así verificar la mejora del aislamiento.
- 3. REGISTRO FOTOGRÁFICO: Se realizarán fotografías del muro seleccionado (antes, durante y después de la aplicación del revoque). Estas imágenes serán utilizadas única y exclusivamente con fines

pág. 1

académicos para la documentación y sustento de la tesis, garantizando siempre su privacidad.

III. CONDICIONES DE LA PARTICIPACIÓN

Es mi deber informarle que su participación es completamente voluntaria y tiene el derecho a retirar su consentimiento en cualquier momento. Asimismo, este trabajo no tendrá **NINGÚN COSTO** para usted ni su familia. No se han identificado riesgos para su seguridad o su propiedad; por el contrario, el principal beneficio es que el revoque aplicado quedará como una mejora permanente y gratuita en su vivienda.

Agradeciendo de antemano su valioso apoyo a esta investigación que busca el bien de nuestra comunidad.

CONFORMIDAD DEL PROPIETARIO/A

yo, Thuliño Sanchez Hidalgo , identificado con DNI Nº 48007541 domiciliado en: Comunidad Campesina Nauyan Pondos declaro en conformidad haber leído y entendido el contenido de la carta de consentimiento informado, y otorgo mi permiso de manera voluntaria para la realización de las actividades descritas en mi vivienda.

Jhulino Sanohez Hidalgo

DNI: 48007541

académicos para la documentación y sustento de la tesis, garantizando siempre su privacidad.

III. CONDICIONES DE LA PARTICIPACIÓN

Es mi deber informarle que su participación es completamente voluntaria y tiene el derecho a retirar su consentimiento en cualquier momento. Asimismo, este trabajo no tendrá **NINGÚN COSTO** para usted ni su familia. No se han identificado riesgos para su seguridad o su propiedad; por el contrario, el principal beneficio es que el revoque aplicado quedará como una mejora permanente y gratuita en su vivienda.

Agradeciendo de antemano su valioso apoyo a esta investigación que busca el bien de nuestra comunidad.

CONFORMIDAD DEL PROPIETARIO/A

ro, Yesenia Sánchez Hidalgo

, identificado con

DNI Nº 61020092 domiciliado en:

declaro en conformidad haber leído y entendido el contenido de la carta de consentimiento informado, y otorgo mi permiso de manera voluntaria para la realización de las actividades descritas en mi vivienda.

Shall

Yecenia Sanohez Hidalyo

DNI: 61020092

pág. 2

académicos para la documentación y sustento de la tesis, garantizando siempre su privacidad.

III. CONDICIONES DE LA PARTICIPACIÓN

Es mi deber informarle que su participación es completamente voluntaria y tiene el derecho a retirar su consentimiento en cualquier momento. Asimismo, este trabajo no tendrá NINGÚN COSTO para usted ni su familia. No se han identificado riesgos para su seguridad o su propiedad; por el contrario, el principal beneficio es que el revoque aplicado quedará como una mejora permanente y gratuita en su vivienda.

Agradeciendo de antemano su valioso apoyo a esta investigación que busca el bien de nuestra comunidad.

CONFORMIDAD DEL PROPIETARIO/A

Yo. Nemecia Hidalgo Pérez , identificado con DNI Nº41583855 domiciliado en: Comunidad Campesina Navyan Rondos declaro en conformidad haber leído y entendido el contenido de la carta de consentimiento informado, y otorgo mi permiso de manera voluntaria para la realización de las actividades descritas en mi vivienda.

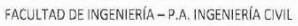
America Hidalgo Pénez

DNT: 41583855



UNIVERSIDAD DE HUÁNUCO

LABORATORIO DE MECÁNICA DE SUELOS





52.11%

"Mortero con fibras de Agave para aislamiento térmico en viviendas del CC. PP Nauyan Rondos-Huánuco, Perú-

2025"

: NAUYAN RONDOS, DISTRITO, PROVINCIA Y DEPARTAMENTO DE HUANUCO UBICACIÓN

SOLICITA : BACH. MAYELI NICOLE SILVA CLOUD

: C-1 CALICATA

FECHA : 12/07/2025

ANALISIS GRANULOMETRICO

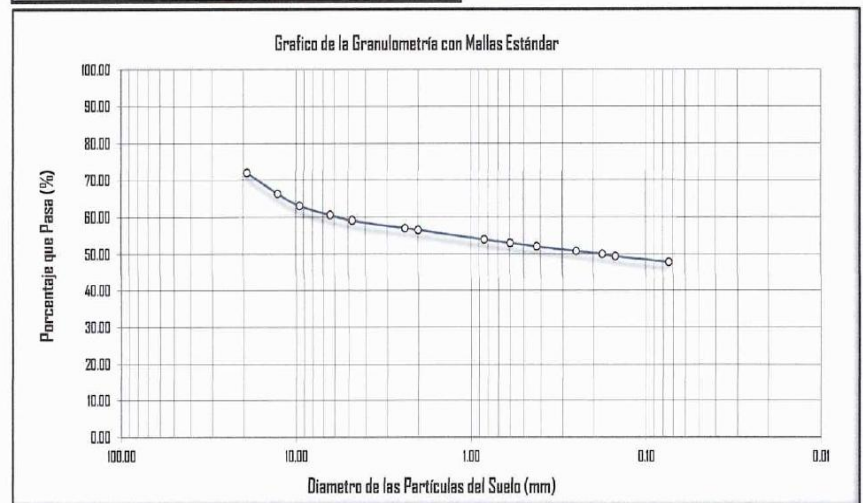
TAMIZ	Tamiz	Peso	Pasante	Retenida	Retenido
Nº	(mm)	Retenida	(%)	:umulado (%	parcial (%
21/2	63.50	0.00	100.00	0.00	0.00
2"	50.80	0.00	100.00	0.00	0.00
11/2"	38.10	226.70	93.63	6.37	6.37
1"	25.40	554.10	78.05	21.95	15.58
3/4"	19.05	213.10	72.06	27.94	5.99
1/2"	12.70	203.30	66.34	33.66	5.72
3/8"	9.53	117.50	63.04	36.96	3.30
1/4"	6.35	87.60	60.57	39.43	2.46
No 4	4.76	49.10	59.19	40.81	1.38
No B	2.38	73.40	57.13	42.87	2.06
No 10	2.00	17.00	56.65	43.35	0.48
No 20	0.841	92.40	54.05	45.95	2.60
No 30	0.595	34.50	53.08	46.92	0.97
No 40	0.420	32.60	52.17	47.83	0.92
No 60	0.250	45.30	50.89	49.11	1.27
No 80	0.177	29.00	50.08	49.92	0.82
No 100	0.149	21.60	49.47	50.53	0.61
No 200	0.074	56.10	47.89	52.11	1.58
CAZOLETA	0.00	2.1	47.83	52.17	0.06
Arc. Lavada	0.00	1701.3	0.00	100.00	47.83
TOTAL		3556.71	etolibe	- the second	

				Sin tara
Peso de la muestra Húma	eda + tara		3709.20 gr	3563.10 gr
Peso de la muestra Seca	+ tara		3709.20 gr	3563.10 gr
Peso de la muestra Seca	Lavada + tara	3	2004.70 gr	1858.60 gr
Peso de la Tara			146.10 gr	
% de Pérdida			0.17%	1
LÍMITES	DE CONSISI	TENCIA Y CO	INTENIDO	
Límite líquido LL	30.03 %	Cantidad d	e Grava	40.81%
Límite plastico LP	15.79%	Cantidad d	e Arena	11.30%
Ind. de Plasticidad IP	14.24 %	Cant. de Li	mo-Arcilla	47.89%

Pasa tamiz Nº 4:	59.19 %
Pasa tamiz Nº 200:	47.89 %
060(diámetro efectivo):	6.243 mm
030(diámetro efectivo):	0.000 mm
010 (diámetro efectivo):	0.000 mm
Coef. de uniformidad (Cu):	0.00
Grado de curvatura (Cc):	0.00
OBSERVACIONES:	

NINGUNA

Material granular equivalente a:



UNIVERSIDAD DE HUÁNUCO

Carretera Central Km. 9 - La Esperanza - Huánuco – Perú G-mail: lab.suelos.hco@udh.edu.pe

Celular: 952 076 080

GERMAN GASTON MARTINEZ MORALES INGENIERO CIVIL CIP. Nº 56608

PROYECTO : "Mortero con fibras de Agave para aislamiento térmico en viviendas del CC. PP Nauyan Rondos-Huánuco, Perú-

2025"

UBICACIÓN : NAUYAN RONDOS, DISTRITO, PROVINCIA Y DEPARTAMENTO DE HUANUCO

SOLICITA : BACH. MAYELI NICOLE SILVA CLOUD

CALICATA : C-

FECHA : 12/07/2025

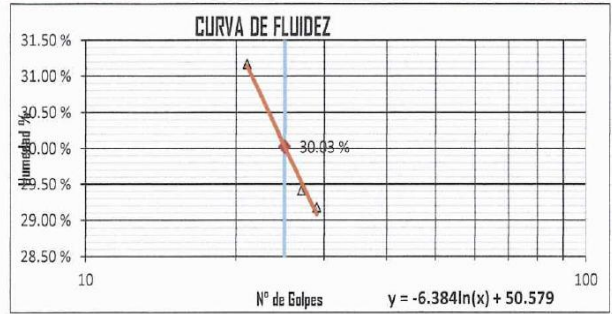
LIMITES DE CONSISTENCIA

DETERMINACIÓN DEL LÍMITE LÍQUIDO (ASTM D - 423)

DETERMINACIÓN DEL LÍMITE PLASTICO (ASTM D - 424)

N° DE GOLPES	29	27	21	
S. Humedo + Tarro	37.80	35.10	36.40	
S. seco + Tarro	35.60	33.10	34.00	
Peso de Tarro	28.06	26.30	26.30	
Peso del Agua	2.20	2.00	2.40	
Peso de Suelo Seco	7.54	6.80	7.70	
HUMEDAD %	29.18 %	29.41%	31.17 %	

N° DE MUESTRA	01	02	
S. Humedo + Tarro	32.80	35.30	
S. seco + Tarro	31.90	34.40	
Peso de Tarro	26.20	28.70	
Pesa del Agua	0.90	0.90	
Peso de Suelo Seco	5.70	5.70	
HUMEDAD %	15.79%	15.79%	



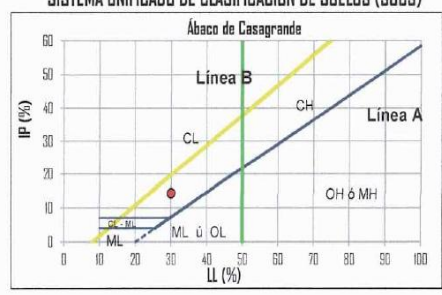
Fórmula->
LÍMITE LÍQUIDO (LL): 30.03 %

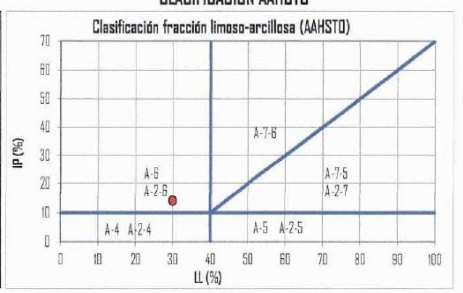
LIMITE PLASTICO (LP): 15.79%

INDICE PLASTICO (IP): 14.24 %

SISTEMA UNIFICADO DE CLASIFICACIÓN DE SUELOS (SUCS)

CLASIFICACIÓN AAHSTO





Clasificación de suelos: Sistema unificado de clasificación de suelos (S.U.C.S.)

Suelo de partículas gruesas. Suelo de partículas gruesas con finos (suelo sucio).

Grava arcillosa GC

Clasificación de suelos: AASHTO

A-6 Suelo arcilloso Valor del índice de grupo:

GERMAN GASTON MARTINEZ MORALES INCENIERO CIVIL CIP. N° 56608

UNIVERSIDAD DE HUÁNUCO FACULTAD DE INGENIERÍA

BACH. JIMENA K. JARA GARCIA

Carretera Central Km. 9 - La Esperanza - Huánuco – Perú G-mail: lab.suelos.hco@udh.edu.pe

Celular: 952 076 080



UNIVERSIDAD DE HUÁNUCO

LABORATORIO DE MECÁNICA DE SUELOS

FACULTAD DE INGENIERÍA – P.A. INGENIERÍA CIVIL



YECTO : "Mortero con fibras de Agave para aislamiento térmico en viviendas del CC. PP Nauyan Rondos-Huánuco, Perú-

2025"

UBICACIÓN : NAUYAN RONDOS, DISTRITO, PROVINCIA Y DEPARTAMENTO DE HUANUCO

SOLICITA : BACH. MAYELI NICOLE SILVA CLOUD

CALICATA : C-2 FECHA : 12/07/2025

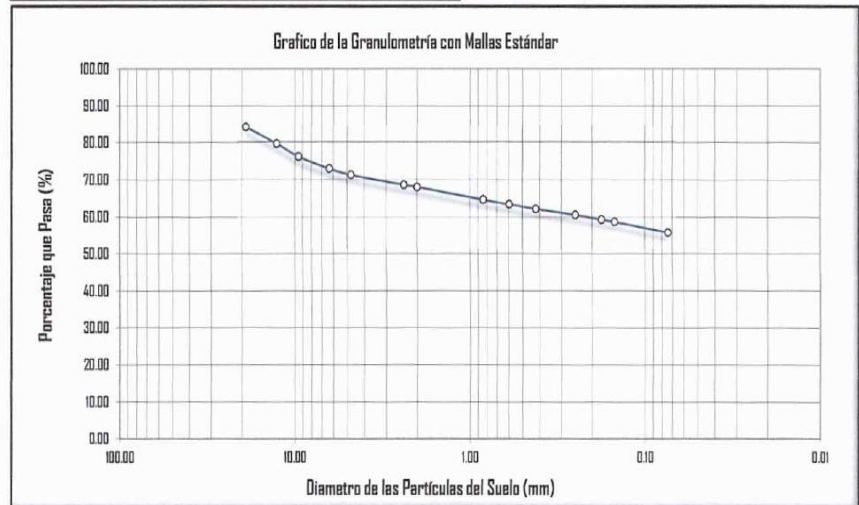
ANALISIS GRANULOMETRICO

TAMIZ	Tamiz	Peso	Pasante	Retenido	Retenido
Nº	(mm)	Retenido	(%)	:umulado (º	parcial (%)
21/2	63.50	0.00	100.00	0.00	0.00
2"	50.80	0.00	100.00	0.00	0.00
11/2"	38.10	0.00	100.00	0.00	0.00
1"	25.40	255.90	89.08	10.92	10.92
3/4"	19.05	114.10	84.22	15.78	4.87
1/2"	12.70	107.00	79.65	20.35	4.56
3/8"	9.53	80.00	76.24	23.76	3.41
1/4"	6.35	74.30	73.07	26.93	3.17
No 4	4.76	38.70	71.42	28.58	1.65
No 8	2.38	64.10	68.68	31.32	2.73
No 10	2.00	13.90	68.09	31.91	0.59
No 20	0.841	78.60	64.74	35.26	3.35
No 30	0.595	28.80	63.51	36.49	1.23
No 40	0.420	29.40	62.26	37.74	1.25
No 60	0.250	38.70	60.60	39.40	1.65
No 80	0.177	30.40	59.31	40.69	1.30
Na 100	0.149	14.00	58.71	41.29	0.60
No 200	0.074	69.40	55.75	44.25	2.96
CAZOLETA	0.00	2.6	55.64	44.36	0.11
Arc. Lavada	0.00	1304.3	0.00	100.00	55.64
TOTAL		2344.17			

				Sin tara
Peso de la muestra Húme	so de la muestra Húmeda + tara 245			
Peso de la muestra Seca	+ tara	2495.1	70 gr	2349.20 gr
Peso de la muestra Seca	Lavada + tara	1188.5	iO gr	1042.00 gr
Peso de la Tara		146.5	iO gr	
% de Pérdida		0.	20%	
LÍMITES	DE CONSISI	TENCIA Y CONTENIO	0	
Límite líquida LL	32.00 %	Cantidad de Grava	6	28.58%
Límite plastico LP	15.68%	Cantidad de Arena		15.67%
Ind. de Plasticidad IP	16.31 %	Cant. de Limo-Arcil	la	55.75%
Material granular equiv	alente a:			44.25%

Pasa tamiz Nº 4 :	71.42 %
Pasa tamiz Nº 200:	55.75 %
060(diámetro efectivo):	0.263 mm
030(diámetro efectivo):	0.000 mm
010 (diámetro efectivo):	0.000 mm
Coef. de uniformidad (Cu):	0.00
Grado de curvatura (Cc):	0.00

NINGUNA



UNIVERSIDAD DE HUÁNUCO

BACH. JIMENA R. JARA GARCÍA

Carretera Central Km. 9 - La Esperanza - Huánuco – Perú G-mail: lab.suelos.hco@udh.edu.pe

Celular: 952 076 080



PROYECTO : "Mortero con fibras de Agave para aislamiento térmico en viviendas del CC. PP Nauyan Rondos-Huánuco, Perú-

2025"

UBICACIÓN : NAUYAN RONDOS, DISTRITO, PROVINCIA Y DEPARTAMENTO DE HUANUCO

SOLICITA : BACH. MAYELI NICOLE SILVA CLOUD

CALICATA : C-2

FECHA : 12/07/2025

LIMITES DE CONSISTENCIA

DETERMINACIÓN DEL LÍMITE LÍQUIDO (ASTM D - 423)

DETERMINACIÓN DEL LÍMITE PLASTICO (ASTM D - 424)

N° DE GOLPES	34	29	19	BE BE
S. Humedo + Tarro	34.80	35.60	33.50	
S. seco + Tarro	32.90	33.70	31.40	
Peso de Tarro	26.70	27.60	25.10	
Peso del Agua	1.90	1.90	2.10	
Peso de Suelo Seco	6.20	6.10	6.30	
HUMEDAD %	30.65 %	31.15 %	33.33 %	

N° DE MUESTRA	01	02	1250 200
S. Humedo + Tarro	35.50	32.10	
S. seco + Tarro	34.60	31.20	
Peso de Tarro	29.10	25.20	
Peso del Agua	0.90	0.90	
Peso de Suelo Seco	5.50	6.00	l l
HUMEDAD %	16.36%	15.00%	
			Fórmula->

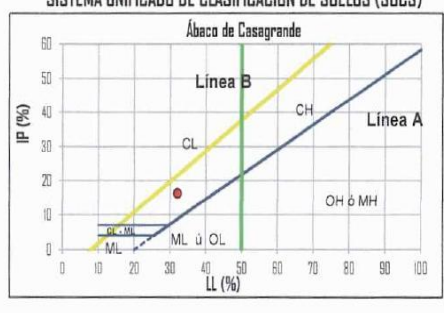


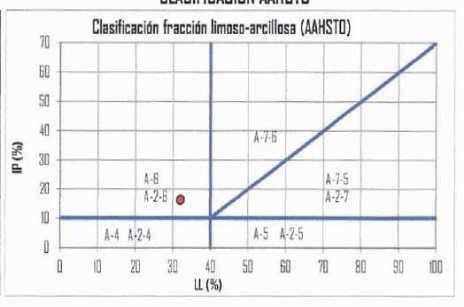
LÍMITE LÍQUIDO (LL): 32.00 %

INDICE PLASTICO (IP): 16.31 %

SISTEMA UNIFICADO DE CLASIFICACIÓN DE SUELOS (SUCS)

CLASIFICACIÓN AAHSTO





Clasificación de suelos: Sistema unificado de clasificación de suelos (S.U.C.S.)

Suelo de partículas finas.

Arcilla media plasticidad gravosa CL

Clasificación de suelos: AASHTO

A-6 Suelo arcilloso

Valor del índice de grupo:

7

UNIVERSIDAD DE HUÁNUCO

BACH. JIMENA K. JARA GARCÍA (e) LABORATORIO DE MECÁNICAS DE SUELOS Carretera Central Km. 9 - La Esperanza - Huánuco – Perú G-mail: lab.suelos.hco@udh.edu.pe

Celular: 952 076 080

GERMAI GASTON MARTIMEZ MORALE
RIGENIERO CIVIL.
CIP. N° 56608

Fecha:		IRMACIÓN GE							
, contraction	13/09/20	13,/09/2025							
Lugar:	Centro Pobl	lado de N	lawyon for	ndos					
Coordenadas:	361457.28 E	- 890	1064.80 N	VIVI	endo	. 1			
Elemento Monitoreado	☐ Módulo A (patró	in)	□ Módulo B (fib	ras de aga	ave)	∀ivier	nda real		
	CONDIC	IONES AMBI	ENTALES						
Clima general:	□ Soleado	□ Nubla	do	□ Lluvio	ISD		⊠ Otro		
	REGISTR	O DE TEMPE	RATURAS						
Hora	Temp. Interior (°C)	Temp. Exter	ior Diferen	cia (°C)		o. Superfic erior (°C)		mp. Superficie Exterior (°C)	
05:00 a.m.	11.0	10.4	0	-6		11.3		10-6	
08:00 a.m.	13.1	12.5	1	. 2		14		13.3	
11:00 a.m.	16.7	14.3	2	. 4		17.2		15.6	
14:00 p.m.	21.2	20.2		1		21.7		20.8	
17:00 p.m.	18.4	17.5	0	.9		19		18.1	
19:00 p.m.	15.7	15.2	0	. 5		16-2		15.4	
21:00 p.m.	13.9	13.2	C).7		14-3		13.5	
00:00 a.m.	13.2	12.48		0.4		14		13	
3:00 a.m.	12.3	12. (0.3		12.8		12 - 1	
- Evalvación de las	OBSERVACIONES SO			ATURA					

GERMAN GASTON MARTINEZ MORNIES INCENIERO CIVIL CIP. N° 56608 Ing. Charty F. Rodriguez Ponce CIP: 226246

Ronald G. Mays Aquino INGENIERO CIVIL CIP N° 156354

	The state of the s	/ALUACIÓN DE Irmación geni	and the second second second second	AZILLI	-				
Fecha:			LINAL						
1	13/04/20	13/09/2025							
Lugar:	Centro Poblo	Centro Poblado de Navyan Ponda							
Coordenades:	361457.25 E	- 89070	77.30 N	Viv	iend	a 2			
Elemento Monitoreado	☐ Módulo A (patró	in)	3 Módulo B (fib	ıras de aga	(ave	⊠ Vivie	nda real		
	CONDIC	IONES AMBIE	NTALES						
Clima general:	□ Soleado	☐ Nublad	0	☐ Lluvio	120		Ø Otro		
	REGISTR	O DE TEMPER	ATURAS						
Hora	Temp. Interior (°C)	Temp. Exterio (°C)	r Diferen	cia (°C)		o. Superfi erior (°C)			
05:00 a.m.	12.5	11.8	0	7		12.9	12.	3	
08:00 a.m.	13.9	13.5	0	.4		14.1	13.	コ	
11:00 a.m.	16.3	15.6	0	7		17.0	16.	1	
14:00 p.m.	22.7	21.7	1.	0		23.2	22.	2	
17:00 p.m.	18.2	17.9	0	. 3		18:6	18.	1	
19:00 p.m.	14.6	14.0	0	0.6		15.3	14.	3	
21:00 p.m.	13.4	12.9	0	.5		13.9	13.	0	
00:00 a.m.	12.9	12. 6	0	. 3		13.4	12.	8	
3:00 a.m.	12.5	12.1		. 4		13.0	12.	3	
/	OBSERVACIONES SOI		EQ NE LEMBEKY	ANUIA					
-Evaluación de lus	viviendas Sin	rangeo							

GERMAN GISTON MARTINEZ MORNLES INGENIERO CIVIL. CIP. N° 56608 Ing. Charry F. Rodrigues Poncs CIP: 226248 Ronald 6: Mays Aquino
INGENIERO CIVIL
CIP N' 156354

	INFO	RMACIÓN GENE	RAL						
echa:	13. /09 /2025								
ugar:	Centro Poblado de Navyan Rondos								
Coordenadas:	361463.48 E - 8907078.35 N Vivienda - 3								
Elemento Monitoreado	☐ Módulo A (patró		Módula B (fil			☑ Vivien	nda ri	eal	
	CONDIC	IONES AMBIEN	TALES						
Clima general:	□ Soleado	☐ Nublado		☐ Lluvio	SD			tro	
	REGISTR	O DE TEMPERA	TURAS						
Hora	Temp. Interior (°C)	Temp. Exterior (°C)	Diferer	ıcia (°C)		o. Superfic erior (°C)		Temp. Superficie Exterior (°C)	
05:00 a.m.	11.4	10-2	1,	,2		12.3		11.0	
08:00 a.m.	14.1	13.9	0,	2		14.5		14.2	
11:00 a.m.	17.6	(1 ·2	0	.4		18.1		17.5	
14:00 p.m.	24.8	23.2	1	. 6		25.3		24.5	
17:00 p.m.	17-6	16.9	0	.7		18.6		18.1	
19:00 p.m.	14.7	14.1	0	.6		15.8		14.8	
21:00 p.m.	14.3	13.8	0	. 5		14.9		14.3	
00:00 a.m.	14.0	13.3	C	7.7		14.5		13.9	
3:00 a.m.	12.8	11.4		. 4		13.6		12.8	
	OBSERVACIONES SO	BRE FLUCTUACIONE	S DE TEMPER	ATURA					
- Evaluación de las	DBSERVACIONES SO	BRE FLUCTUACIONE				15.6		12.0	

GERMAN GUSTON MARTINEZ MORALES INGENIERO CIVIL CIP. N° 56608

ing. Charly F. Rodriguez Ponce CIP: 226246 Ronald G. Mays Aquino INCENIERO DIVIL CIP N° 156354

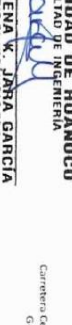
	INFO	RMACIÓN GENER	AL						
Fecha:	13/09/2025								
Lugar:	Cenho Pobla	Cenho Poblado de Navyan Pondos							
Coordenadas:	361471.44 E	361471.44 E - 8907079.99 N Vivienda 4							
Elemento Monitoreado	☑ Módulo A (patró	n) DA	lódulo B (fibr	as de agave)	☐ Vivien	da real			
	CONDIC	IONES AMBIENT	ALES						
Clima general:	☐ Soleado	☐ Nublado		□ Lluvioso		☑ Otro			
	REGISTR	O DE TEMPERA	URAS						
Hora	Temp. Interior (°C)	Temp. Exterior (°C)	Diferenc		p. Superfic terior (°C)	ie Temp. Superficion Exterior (°C)			
05:00 a.m.	11.8	9.2	2,6	(12.3	11.0			
08:00 a.m.	13.8	12.1	1.5	7	14.1	13.1			
11:00 a.m.	16.3	14.2	2.1		14.0	15.8			
14:00 p.m.	20.6	19.5	1.	1	21.0	20.3			
17:00 p.m.	18.2	17.1	1.	1	18.6	17.9			
19:00 p.m.	15.4	14.8	0.6		15.8	15.1			
21:00 p.m.	13.3	12.6	0.5	1	13.5	12.8			
00:00 a.m.	12.5	12.1	0.	Ч	12.9	12.3			
3:00 a.m.	12.3	11.7	O.		12.6	11.9			
- Erlalvación de la		arajeo.	UE TEMPEKAT	АЛИ					

GERMAN GISTON MARTINEZ MORALES INCENNERO CIVIL CIP. M° 56608

ing. Charly F. Rodriguez Ponce CIP: 226246 Ronald G. Mars Aquino
INGENIERO CIVIL
CIP N° 156354

BACH. JIMENA W. JARA GARCÍA (*) LABORATORIO DE MECÁNICAS DE SUELOS

Carretera Central Km. 9 - La Esperanza - Huánuco – Perú G-mail: lab.suelos.hco@udh.edu.pe Celular: 952 076 080



GERMAN GASTON MARTINEZ MORALES INGENIERO CIVIL CIP. N° 56508



UNIVERSIDAD DE HUÁNUCO

Ibburnen (m²) = Largo(m) - Ancholm) - Espessor(m) - Ablaba (ta) - Espessor(m) - Ablaba (ta) - Espessor(m²) - Espe

% Fibra #3	% Fibra #2	% Fibra #1	Relación arena (parte)	Relación suelo (parte)	Densidad sera del mortero (kg/n²)	Parámetro
15	-	0.5	2	-	7700	Valor
			Relación en masa	Relación en masa	El valor está dentra del ringo lipico según el BMS realizado, de morteraz/adobes compactados (colorente con compactación masual de morteros de tierro y con el rerigo lipico 15001-800 fay m² para marroses suello- areno usudas en adobe/ reestimentos).	Notas

CONFIGURACIÓN Parámetro

NITA La fibra se dostifica sobre la MASA DE SÓLIDIS (suela+arena), sin contar agua.

TOTALES	1.5	-	0.5	% Fibra	
	57.3750	38.2500	19.1250	Fibra (g/panel)	
	3	3	3	Nº panels	. or adminipa a paor.
344.2500	172.125	114.75	57.375	Fibra total (g)	
11.4739	3.8246	3.8246	3.8246	Suelo total (kg)	
22,9511	7.6504	7.6504	7.6504	Arena total (kg)	

3.1		0.5	% Fibra		Suelo (kg/panel)	Fracción suelo
0300.03	38.2500	19.1250	Fibra (g/panel)		1.2749	0.3333
9	3	3	Nº panels	Porcentajes a usar:	Arena (kg/panel)	Fracción arena
30100	114.75	57.375	Fibra total (g)		2.5501	0.6667
3750 6	3.8246	3.8246	Suelo total (kg)			
	7.6504		Arena total (kg)			

nena y fibra po	n panel para 0,5 %	011	i; 1.0 % y 1.5 %.	1700 Volumen (m²)	10 % y 1.5 %.	(c) 1.0 % y 1.5 %.
ciones suelo/a	spesor (m) 0.025	ciones suelo/arena y fibra por panel para 0,5 %; 1,0 %	ra por panel para 0,5 %; 1,0 % y i	ra por panel para 0,5 %; 1,0 % y i	ra por panel para 0,5 %; 1,0 % y i	ra por panel para 0,5 %; 1,0 % y i
	0.025	0.025 Densided seca (kg/m²)	ra por panel para 0,5 %; 1,0 % y 1 Densidad seca (kg/m²) 17	ra por panel para 0,5 %; 1,0 % y 1 Densidad seca (kg/m²) 17	ra por panel para 0,5 %; 1,0 % y 1 Densidad seca (kg/m²) 17	ra por panel para 0,5 %; 1,0 % y 1 Densidad seca (kg/m²) 17

HUESTRAS DE TIERRA SOLICITA

PROYECTO

FACULTAD DE INGENIERÍA — P.A. INGENIERÍA CIVIL

"Martero con fibras de Ágave para aislamiento térmico en viviendas del CC. PP Nauyan Rondos-Huánuco, Perú-2025"

NAUYAN RONDOS, DISTRITO, PROVINCIA Y DEPARTAMENTO DE HUANUCO

BACH, MAYELI NICOLE SILVA CLOUD

ZUDT/2025

UNIVERSIDAD DE HUÁNUCO LABORATORIO DE MECÁNICA DE SUELOS FACULTAD DE INGENIERÍA – P.A. INGENIERÍA CIVIL

172

GERMAN GASTON MATTINEZ MORALES INCENIERO CIVIL CIP. N° 56608

BACH. JIMENA K. JARA GARCÍA

UNIVERSIDAD DE HUÁNUCO

* listernen (m²) = Larga(m) * Aschor(m) * Espesor(m) * Sidnies (lig) = Berochhel (lig/m²) * listernen (m²) * Françoire suello = c_suello / (c_suello + c_arene) * Françoire navela = c_suello / (c_suello + c_arene) * Françoire navela = c_arene / (c_suello + c_arene) * filtera (g) = Sittelac (lig) * (1001 * (%) / 1001)

NUTA La libra se desifica sobre la MASA DE SÓLIDOS (suela-erena), sin centar egua

% Fibra #1

sidad seca del mortero (kg/m²) Relación suelo (parte) Relación arena (parte) 1700

EUNFIGURACIÓN Parámetro Valor If when rest determ del cregor inject seguin el BNS resilezido, de marterisos árabies comparatados (enderente con campactación monand de memberos de listorra y com el rerigo típico 1500-1500 (p/m²) para manificas suedo arruna usuados en adobos / resentimientos).

% óptimo para MCF (con fibra): % Fibra (MCF) Control MSF (sin fibra): Nº paneles MSF Suelo (kg/panel) 0.3333 1.2749 Suelo total (kg) MSF Fracción arena Arena (kg/panel) Fibra (g/panel) 57.3750 0.6867 2.5501 2.5497 Arena total (kg) MSF 5.1003 Nº paneles TTFA Fibra total (g) 114.7500 Suelo total (kg) MCF 2.5497 Arena total (kg) MCF 5.1003

CALCULOS PARA LOS ENSAYOS DE FISURACION, ADHERENCIA, EROSIÓN POR AGUA Y EROSIÓN ABRASIVA CON MUESTRA CON FIBRAS (MCF) Y MUESTRAS SIN FIBRA (MSF) [
Selección del % óptimo (calculado 15%) y cálculo de fibra total, suelo total y arena total para 4 paneles (MCF Y MSF) [] 0.3 Ancho (m) Espesor (m) 0.025 Densidad seca (kg/m³) 1700 Volumen (m³) 0.00225 Sólidos (kg) 3.8250

"Mortero con fibras de Agave para aislamiento térmico en viviendas del CC. PP Nauyan Rondos-Huánuco, Perú-2025" NAUYAN RONDOS, DISTRITO, PROVNICIA Y DEPARTAMENTO DE HUANUCO BACH. MAYEU NICOLE SILVA CLOUD FACULTAD DE INGENIERÍA — P.A. INGENIERÍA CIVIL LABORATORIO DE MECÁNICA DE SUELOS UNIVERSIDAD DE HUÁNUCO

FECHA SOLICITA

24/07/2025

PROYECTO

JBICACIÓN

MUESTRAS DE TIERRA

Fracción suelo Largo (m)

FECHA MUESTRAS DE TIERRA SOLICITA PROYECTO UBICACIÓN Densidad seca del mortero (kg/m²) Fracción suelo Suelo (kg/probeta) MSF (sin fibra): Nº probetas TTSF MCF(con fibra): Largo (m) Parámetro L3333 1700 Valor 25 0.1

Fracción arena Arena (kg/probeta)

Ancho (m)

0.1 0.6667 0.2267

Espesor (m) 0.02

Densidad seca (kg/m³) 1700

Valumen (m³)

0.0002

Sólidos (kg)

0.34

Suelo total (kg)

0.4533

Arena total (kg) 0.9067

Fibra (g/probeta)

5,1000

Nº probetas MCF

Fibra total (g)

20.4000 Suelo total (kg)

0.4533

Arena total (kg) 0.9067

BACH, MAYEU NICOLE SILVA CLOUD

25/07/2025

"Mortero con fibras de Agave para aislamiento térmico en viviendas del CC, PP Nauyan Rondos-Huánuco, Perú-2025" NAUYAN RONDOS, DISTRITO, PROVINCIA Y DEPARTAMENTO DE HUANUCO

LABORATORIO DE MECÂNICA DE SUELOS FACULTAD DE INGENIERÍA — P.A. INGENIERÍA CIVIL

UNIVERSIDAD DE HUÁNUCO

CALCULO PARA LAS PROBETAS 10×10×2 CM PARA ENSAYO DE CAPILARIDAD: MCF (CON FIBRA) Y MSF (SIN FIBRA)①

Cálculo de V, masa de sólidos por probeta, fibra g/probeta al % óptimo, y totales de materiales para 4 probetas MCF y 4 probetas de MSFU

* listeman (m²) = Larga(m) * Auche(m) * Espessor(m) * Sobless (bg) = Banschled (lg;/m²) * listeman (m²) * Francisia south = r_arma / r_south + r_arma) * Francisia rama = r_arma / r_south + r_arma) * Francisia rama = r_arma / r_south + r_arma) * Febra (g) = Sobless (lg) * 1000 * (% / 100)

NITA: La fibra se dosifica sobre la MASA DE SÚLDOS (suelo+arena), sin contar agua

Relación suelo (parte) Relación arena (parte)

compactados (coherente con compactación manual de morteros de tierra y con el rango tipico i 500-1880 tg/m² para motrices suelo El valor está dentro del rango típico según el BAS realizado, de morteros/adobes

arena usadas en adobe/revestimientos).

Relación en masa Relación en masa

a Central Km. 9 - La Esperanza - Huánuco – Perú G-mail: lab suelos.hco@udh.edu.pe Celular: 952 076 080

BACH JIMENA K JARA GARCIA
(*) LABORATORIO DE MECANICAS DE SUELOS UNIVERSIDAD DE HUÁNUCO

CIP: N. 28808



UNIVERSIDAD DE HUÁNUCO

LABORATORIO DE MECÁNICA DE SUELOS FACULTAD DE INGENIERÍA — P.A. INGENIERÍA CIVIL

NAUYAN RONDOS, DISTRITO, PROVINCIA Y DEPARTAMENTO DE HUANUCO "Mortero con fibras de Agave para aislamiento térmico en viviendas del CC. PP Nauyan Rondos-Huánuco, Perú-2025'

BACH. MAYEU NICOLE SILVA CLOUD

Resultados del ensayo de fisuración en revoques con y sin fibras de agavel

ENSAYO DE FISURACIÓN

21/08/2025

SOLICITA

UBICACIÓN

FECHA

RESULTADO:

Ninguna de las muestras, con o sin fibras, presentó fisuración visible durante el periodo de secado. Sin embargo, las probetas con fibras de agave (1.5%) mostraron mayor homogeneidad superficial y mejor cohesión, lo que sugiere una menor Código MI-CF M2-CF MI-SF M2-SF % Fibra 1.5 -5 Ancho máx. (mm) Longitud total (cm) Sin fisuras aparentes Sin fisuras aparentes Sin fisuras aparentes Sin fisuras aparentes Observaciones

Sf: Sin fibras de Agave CF: Can fibras de Agave retracción potencial frente a ciclos de humedad más prolongados.

UNIVERSIDAD DE HUÁNUCO

BACH. JIMENA K. JARA GARCÍA

Carretera Central Km. 9 - La Esperanza - Huánuco – Perú G-mail: lab.suelos.hco@udh.edu.pe Celular: 952 076 080





UNIVERSIDAD DE HUÁNUCO

LABORATORIO DE MECÁNICA DE SUELOS

NALIYAN RONDOS, DISTRITO, PROVINCIA Y DEPARTAMENTO DE HUANUCO FACULTAD DE INGENIERÍA — P.A. INGENIERÍA CIVIL "Mortero con fibras de Agave para aislamiento térmico en viviendas del CC. PP Nauyan Rondos-Huánuco, Perú-2025

BACH, MAYEU NICOLE SILVA CLOUD

FECHA

SOLICITA UBICACIÓN



ENSAYO DE ADHERENCIA CON CINTA

Resultados del ensayo de adherencia mediante prueba de cinta con fibras y sin fibras de Agave (ASTM 03359-17)0

M2-SF	MI-SF	M2-CF	NI-CF	
0 Ensa	D Ensi	L5 Ensa	L5 Ensa	% Fibra
ayo de adhhrencia con cinta	yo de adhhrencia con cinta	yo de adhhrencia con cinta	yo de adhhrencia con cinta	Método
0.25	0.25	0.25	0.25	Area efectiva (cm²)
08	18	48	48	Clasificaión
Cohesivo	Adhesivo	Sin falla	Sin falla	Tipo de fallo
>65%	35%-65%	<5%	<5%	% área desprendida
Desprendimiento total del recubrimiento superficial.	Amplio desprendimiento, fallas en toda la cuadricula.	Desprendimiento muyleve.	Desprendimiento muyleve.	Observaciones

De acuerdo con los resultados obtenidos:

sustrato y una pobre cohesión interna del mortero. Los revoques sin fibras (MI-SF y MZ-SF) presentaron clasificaciones 18 y DB. con desprendimientos superiores el 35 %, evidenciando fallos adhesivos y cohesivos severos. Esto indica una baja adherencia al

Por la tanto, la incorporación de fibras naturales mejora significativamente la adherencia, aumentando la resistencia a la tracción superficial y reduciendo el desprendimiento del recubrimiento En contraste, los revoques con fibras de agave (1.5 %) (Mt-CF y M2-CF) alcanzaron la clasificación 4B (< 5 % de desprendimiento), mostrando únicamente polvo superficial sin pérdida de cuadros

El revoque con fibras de agave (1.5 %) mostró una adherencia cuatro veces superior a la del revoque tradicional sin fibras, según la escala ASTM 03359

CF: Con fibras de Agave SF: Sin fibras de Agave

SEGÚN - ASTM D3359 Métodos de prueba estándar para evaluar la adherencia mediante la prueba de cinta

58: Los bardes de los cortes están completemente lisos; ninguno de los cuadros de la rejilla se ha desprendido.

48. Pequeñas escamas del recubrimiento se desprenden en las intersecciones: manos del 5 % del área se ve electada. 38. Pequeñas escamas del recubrimiento se desprenden a lo largo de los bordes y an los intersecciones de los cartes. El área afectada es del 5 al 15 % de la rejilla.

28. El recubrimiento se ha descamado a la largo de los bordes y en pertes de los cuadros. El área atectada es del 15 al 35 % de la rejilla.

18: Descamación y desprendimiento peores que la clasificación 18. 18. El recubrimiento se ha descamado a lo largo de los bordes de los cortes en grandes franjas y se han desprendido cuadros campletos. El área afectada es del 35 al 65 % de la rejilla.

Carretera Central Km. 9 - La Esperanza - Huánuco – Perú G-mail: lab.suelos.hco@udh.edu.pe Celular: 952 076 080

BACH. JIMENA K. JARA GARCIA (a) LABORATORIO DE MECANICAS DE SUELOS

UNIVERSIDAD DE HUÁNUCO

176



UNIVERSIDAD DE HUÁNUCO LABORATORIO DE MECÁNICA DE SUELOS

FACULTAD DE INGENIERÍA - P.A. INGENIERÍA CIVIL

"Mortero con fibras de Agave para aislamiento térmico en viviendas del CC. PP Nauyan Rondos-Huánuco, Perú-2025" NAUYAN RONDOS, DISTRITO, PROVINCIA Y DEPARTAMENTO DE HUANUCO

BACH, MAYEU NICOLE SILVA CLOUD

25/08/2025

SOLICITA

UBICACIÓN

ENSAYO DE EROSION POR AGUA

Resultados del ensayo de erosión por agua (aspersión) en revoques con y sin fibras de agaveU

M2-SF	MI-SF	M2-CF	MI-CF	Código
0	0	1.5	1.5	% Fibra
5 min	5 min	5 min	5 min	Duración (min)
- 02	50	50	50	Altura boquilla (cm)
45	45	45	45	Ángulo (°)
3084.8	3456.2	2970.5	2724.7	Peso seco (g)
3060.8	3435.8	2969.8	2720.1	Peso despues del secado (g)
24	20.4	0.7	4.6	Pérdida de masa (g)
0.02%	0.17%	0.78%	0.59%	Pérdida de masa (%)

RESULTADO:

resistencia a la erosión por agua. Los revoques con fibras de agave (15%) mostraron pérdidas de masa 4 a 30 veces menores que los revoques sin fibras, lo que demuestra que la adición de fibras naturales incrementa la

Esto se debe a que las fibras actúan como refuerzos internos, mejorando la cohesión del mortero y reduciendo la disgregación superficial durante el impacto del agua

CF. Can fibras de Agave SF. Sin fibras de Agave

SEGÚN - ASTM E514-08

Métado de prueba estándar para la penetración y fugas de agua a través de mampostería

1.1 Este métado de ensayo de laboratorio proporciona un procedimiento para determinar la resistencia a la penetración y tugas de agua a través de mampostería unitaria sometida a lluviá impulsada por

1.2 Las vaiores indicadas en unidades del SI se consideran estándar. Las valores entre paréntess son conversiones matemáticas a pulgadas-litra, que se proporcionan solo a titulo informático y no se

segurióed y salud, así como determinar la aplicabilided de las limitaciones regulatorias antes de su uso. Para una declaración de peligro específica, véase la Sección G. .3 Esta norma no pretende abordar todas las preocupaciones de seguridad, si las hubiera, asociadas con su uso. Es responsabilidad del usuario de esta norma establecer prácticas adecudadas de

UNIVERSIDAU DE HUÁNUCO

BACH. JIMENA K. JARA GARCÍA

Carretera Central Km. 9 - La Esperanza - Huánuco – Perú G-mail: lab.suelos.hco@udh.edu.pe Celular: 952 076 080

GERMAN GASTON MARTINEZ MORALES INGENIERO CIVIL CIP. N° 56608



UNIVERSIDAD DE HUÁNUCO

LABORATORIO DE MECÁNICA DE SUELOS

FACULTAD DE INGENIERÍA - P.A. INGENIERÍA CIVIL

NAUYAN RONDOS, DISTRITO, PROVINCIA Y DEPARTAMENTO DE HUANUCO "Mortero con fibras de Agave para aislamiento térmico en viviendas del CC. PP Nauyan Rondos-Huánuco, Perú-2025"

BACH. MAYEU NICOLE SILVA GLOUD

SOLICITA

UBICACIÓN

ENSAYO DE EROSION ABRASIVA POR CEPILLADO

Resultados del ensayo de erosión abrasiva por cepillado en revoques con y sin fibras de agave

M2-SF	MI-SF	M2-CF	MI-CF	Código
0	0	1.5	1.5	% Fibra
50	50	50	50	N.º de pasadas
15	15	15	13	Recorrido (cm)
3060.8	3435.8	2969.8	2720.1	Peso seco (g)
3031.8	3402.6	2954.1	2706.4	Peso despues del raspado (g)
29	33.2	15.7	13.7	Pérdida de masa (g)
7	8	4	2	Pérdida de espesor (mm)

Esto demuestra que las fibras actúan como refuerzo interno, reduciendo la disgregación superficial y mejorando la resistencia a la abrasión mecánica. Los revoques con fibras de agave (1,5%) presentaron pérdidas de masa 2 a 3 veces menores y una reducción de espesor entre 50 % y 75 % respecto a los revoques sin fibras.

RESULTADO:

CF. Con fibras de Agave Los morteros con fibra de agave mostraron una resistencia abrasiva alta, mientras que los revoques sin fibras evidenciaron erosión superficial significativa después de 50 pasadas de

UNIVERSIDAD DE HUÁNUCO

En el Manual de Construcción con Tierra de Gernot Minke (2009)

SF. Sin fibras de Agave

Fuente. Adaptado del métado de enseyo de resistencia superficial por cepillado descrito por Minke (2009) en Manual de construcción con tierro, Capítulo OO. Ediciones Abya-Vala, Ovito. Erosión par abrasión: usando cepillado o frotamiento controlado con cepillo de cerdas duras, midiendo la pérdida de material (masa o espasor) después de un número determinado de pasadas.

BACH, JIMENA K. JARA GARCÍA (*) LABORATORIO DE MECANICAS DE SUELOS

Carretera Central Km. 9 - La Esperanza - Huánuco – Perú G-mail: lab.suelos.hco@udh.edu.pe Celular: 952.076.080

WAY GASTON MARTINEZ MORALES INGENIERO CIVIL CIP. N° 56608





LABORATORIO DE MECÁNICA DE SUELOS UNIVERSIDAD DE HUÁNUCO

FACULTAD DE INGENIERÍA — P.A. INGENIERÍA CIVII

"Mortero con fibras de Agave para aislamiento térmico en viviendas del CC. PP Nauyan Rondos-Huánuco, Perú-2025

BACH. MAYELI NICOLE SILVA CLOUD 27/08/2025

SOLICITA

UBICACIÓN

NAUYAN RONDOS, DISTRITO, PROVINCIA Y DEPARTAMENTO DE HUANUGO

ENSAYO DE CAPILARIDAD

Resultados del ensayo de absorción por capilaridad en revoques con y sin fibras de agave 🛭

	ódigo	MI-CF	12-CF	13-CF	M4-CF	MI-SF	12-SF	13-SF	10 01
	% Fibra	1.5	1.5	1.5	1.5	0	0	0	9
	Masa seca inicial (g)	529.2	522.6	536.1	580.6	469.3	524.3	510.3	cnc 7
١					601				
	Ganancia (g)	22.7	33.1	88	20.4	35.6	34.1	34.7	900
	Altura capilar (mm)	5	- 2	5	- 3	5	5	5	
	Tiempo (min)	60	03	00	03	00	60	60	En

frente a la humedad ascendente. Los revaques con fibras de agave (1.5%) presentan valores promedio de absorción 35-45 % menores que los revaques sin fibras, evidenciando menor capitaridad y mejor comportamiento

Esto se explica porque las fibras vegetales, al integrarse a la matriz de tierra, mejoran la cohesión interna y reducen la porosidad efectiva, dificultando el ascenso capitar del agua.

Las muestras con fibras de agave demostraron mayor resistencia a la absorción capilar, lo que contribuye a la durabilidad y estabilidad del revestimiento frente a la humedad.

CF: Con fibras de Agave SF: Sin fibras de Agave

En el Manual de Construcción con Tierra de Gernot Minke (2009)

Se miden masa antes y después de la inmersión parcial. Muestras secas se colocan sobre una capa de agua de 5 mm. Resumen del métado según Minke (2009)

Se anota la altura del ascenso capilar visible.

El tiempo puede variar (de 30 a 120 min).

Se considera que menor ascenso y menor ganancia de peso = mayor durabilidad frente al agua.

UNIVERSIDAD DE HUÁNUCO

BACH. JIMENA K JARA GARCÍA

Carretera Central Km. 9 - La Esperanza - Huánuco – Perú G-mail: lab.suelos.hco@udh.edu.pe Celular: 952 076 080

179

- 1	IINI U	RMACIÓN GENERA	1L		
Fecha:	11/10/202	25			
Lugar:	Centro Pobli	ado de Navyo	in Pondos		
Coordenadas:	361457.28 E	- 8907064.	80 N V	INIENDA 1	
Elemento Monitoreado	☐ Módulo A (patró	n) 🗵 M	ódulo B (fibras de aga	ave) 🗷 Viviend	a real
	CONDIC	IONES AMBIENT	ALES		
Clima general:	□ Soleado	□ Nublado	□ Lluvia	150	1 Otro
	REGISTR	O DE TEMPERAT	URAS		
Hora	Temp. Interior (°C)	Temp. Exterior (°C)	Diferencia (°C)	Temp. Superficie Interior (°C)	Temp. Superficie Exterior (°C)
05:00 a.m.	11-6	10.3	1.3	12.1	11.3
08:00 a.m.	14.5	11.9	2.6	15.0	13.8
11:00 a.m.	17.3	13.9	3.4	17.9	16.8
14:00 p.m.	21.9	21.5	0.4	22.6	21.7
17:00 p.m.	19.3	17.7	1-6	20.0	18.7
(9:00 p.m.	16.4	15.9	0.5	17.1	16.1
21:00 p.m.	14.6	13.8	0.8	15.2	14.1
00:00 a.m.	14.1	12.5	1.6	14.6	13.8
3:00 a.m.	13.1	11.8	1.3	13.8	12.6
	OBSERVACIONES SOI	BRE FLUCTUACIONES I	DE TEMPERATURA		

GERMAN GASTON MARTINEZ MORNLES
INGENIERO CAMIL
CIP. N° 56608

Ing. Charty F. Rodriguez Ponce CIP: 226246 Ronald G. Mays/Aquino
INGENIERO/CIVIL
CIP N° 156364

		aluación de 1 Rmación gener						
Feche:	11/10/202	2.5						
Lugar:		ado de Na	Ivan 12	londos				
Coordenadas:	361457.25 E		-	VIVI	END)A 2		
Elemento Monitoreado	☐ Módulo A (patrói	-		oras de agav	- 6	✓ Vivie	nda re	eal
	CONDIC	IONES AMBIEN	TALES					
Clima general:	□ Soleado	☐ Nublado		☐ Lluvios	30			tro
	REGISTR	O DE TEMPERA	TURAS					
Hora	Temp. Interior (°C)	Temp. Exterior (°C)	Diferer	ncia (°C)		o. Superfi erior (°C)		Temp. Superfici Exterior (°C)
05:00 a.m.	13.1	11.8	1,	3		13.6		12.9
08:00 a.m.	14.6	13.1	1, 3	5		14.8		14.1
11:00 a.m.	17.0	15.3	1,	7		17.6		16.6
14:00 p.m.	23.2	21	2.2	2		23.8		22.8
17:00 p.m.	18.9	18	0.	9		19.6		18.6
19:00 p.m.	15.2	13.9	1,	3		15.8		14.8
21:00 p.m.	13.8	13	0.	8		14.4		13.5
00:00 a.m.	13.6	13.1	0-	5		14.0		13.3
3:00 a.m.	13.4	12.2	,	2		13.9		12.8
- VIVIEU00 (0.1)								
- VIVIENDA (ON	OBSERVACIONES SOI				6AI	J€.		

CERIUM GISTON WARTINEZ WORNES
INCEMIERO CIVIL
CIP. N° 56608

ing. Charly F. Rodríguez Ponce CIP: 226246

Ronald G. Mays Aquino INGENIERO CIVIL CIP Nº 156354

F 1	ווארט	RMACIÓN GENER	AL					
Feche:	11/10/2	2025						
Lugar:	Centro Pol	olado de	Navyan	Rono	las			
Coordenadas:	361463.48 E	- 890707	8.35N	VIV	IEN	DA - 3	?	
Elemento Monitoreado	☐ Módulo A (patró	n) 🖄	Módulo B (fil	ras de aga	eve)	⊠ Vivie	nda re	al
	CONDIC	IONES AMBIEN	TALES			1		
Clima general:	□ Soleado	□ Nublado		□ Lluvio	ISD		⊠ Ot	ro
	REGISTR	O DE TEMPERA	TURAS	1				
Hora	Temp. Interior (°C)	Temp. Exterior (°C)	Diferer	ıcia (°C)		p. Superfic terior (°C)		Temp. Superfici Exterior (°C)
05:00 a.m.	12.5	11.8	C). 7		12.7		12.0
08:00 a.m.	14.9	14.6	C	1-3		15.6		14.8
11:00 a.m.	18.4	16.0	2	.4		14.0		18.1
14:00 p.m.	25.3	21.2	4	.1		25.8		24.9
17:00 p.m.	19.1	17-1	2	. D		19.4		18.81
19:00 p.m.	15.9	14.5	l,	, 4		16.4		13.6
21:00 p.m.	15-1	14	1	1		15.5		15.0
00:00 a.m.	14.8	12.6	2	,2		15.3		14.6
3:00 a.m.	13 · 7 Observaciones so	12.7		1,0		14.2		13.5
- VIVIENDA COM					AVE			

GERMAN GASTON MARTINEZ MODINES
(AB.) PICESMEND CAVIL.
CIP. N° 56608

Ing. Charly F. Rodriguez Ponce CIP: 226246

		<mark>'ALUACIÓN DE T</mark> RMACIÓN GENER			77.			
Fecha:	11/10/2	2025						
Lugar:	centro Po	blado de	Navyai	Pond	0)			
Coordenadas:	361471.44.	E - 8907 07	19.990	VIV	IEN	0A -	4	
Elemento Monitoreado	🔀 Módulo A (patró	n) 🗷	lódulo B (fib	iras de aga	ve)	☐ Vivie	enda i	real
	CONDIC	IONES AMBIENT	ALES					
Clima general:	□ Soleado	☐ Nublado		☐ Lluvio:	SO		Ø	Otro
	REGISTR	O DE TEMPERA	TURAS					
Hora	Temp. Interior (°C)	Temp. Exterior (°C)	Diferen	cia (°C)		p. Superfi terior (°C		Temp. Superficion Exterior (°C)
05:00 a.m.	12.4	11.0	1	, 4		13.0		12.0
08:00 a.m.	14.7	13.2	11	5		15.2		14.2
11:00 a.m.	17.0	14.5	2,	5		17.5		16.5
14:00 p.m.	21.4	19.3	2,	(21.9		20.9
17:00 p.m.	19-1	16.9	2	12		20.0		18.6
19:00 p.m.	16.2	15.2	1,	0		16.9		15.9
21:00 p.m.	14.0	13.5	0	,5		14.5		13.7
00:00 a.m.	13.3	12.2	1,	1		14.0		12.9
3:00 a.m.	12.8	12.0	0			13.2		12.5
	DRZEKARTIONEZ ZO	RKE FENCINVENINF?	UE TEMPERA	ANUKA				
- VINIENDA CON		BRE FLUCTUACIONES			AUI	€.		

GERLING GISTON MATTINES MORNES
INCENIERO CIVIL.
CIP. N° 56608

Ing. Charly F. Rodriguez Ponca CIP: 226246 Ronald G. Mays Aquino INGENIERO LTATE CIP N° 156354

RESOLUCIÓN DE DESIGNACIÓN DEL SUPERVISOR



RESOLUCIÓN n.º 1097-2025-D-FI-UDH Huánuco, 5 de junio de 2025

Visto:

El Oficio n.º 0657-2025-CA-PAIC-FI-UDH, presentado por el Coordinador del Programa Académico de Ingeniería Civil y el expediente n.º 546226-0000002962 mediante el cual Mayeli Nicole SILVA CLOUD solicita la designación de un Asesor de tesis.

CONSIDERANDO:

- Que, conforme a lo dispuesto en la Ley Universitaria n.º 30220, Capítulo V, Artículo 45, inciso 45.2, corresponde atender dicha solicitud;
- Que, según el expediente n.º 546226-0000002962, Mayeli Nicole SILVA CLOUD propone a Mg. Reynaldo Favio SUAREZ LANDAURO como asesor de tesis para el desarrollo de su trabajo de investigación;
- Que, de acuerdo con los Artículos 27 y 28 del Reglamento General de Grados y Títulos de la Universidad de Huánuco, la solicitud cumple con los requisitos establecidos;
- Que, en virtud de las atribuciones conferidas al Decano de la Facultad de Ingeniería, y con cargo a informar en la próxima sesión del Consejo de Facultad;

SE RESUELVE:

Artículo 1º. Designar a Mg. Reynaldo Favio SUAREZ LANDAURO, docente del Programa Académico de Ingeniería Civil de la Facultad de Ingeniería, como Asesor de tesis de Mayeli Nicole SILVA CLOUD.

Artículo 2º. Establecer un plazo máximo de seis meses para presentar la solicitud de revisión del Plan de Tesis. En caso de vencimiento del plazo, el interesado deberá gestionar una nueva solicitud conforme a los costos vigentes.

REGÍSTRESE, COMUNÍQUESE Y ARCHÍVESE.







RESOLUCIÓN DE LA APROBACIÓN DEL PROYECTO



RESOLUCIÓN n.º 1275-2025-D-FI-UDH Huánuco, 25 de junio de 2025

Visto:

El Oficio n.º 0751-2025-CA-PAIC-FI-UDH, presentado por el Coordinador Académico del Programa de Ingeniería Civil que contiene el dictamen aprobatorio de los Jurados revisores sobre el Plan de Tesis titulado: ""MORTERO CON FIBRAS DE AGAVE PARA AISLAMIENTO TÉRMICO EN VIVIENDAS DEL CC. PP NAUYAN RONDOS – HUANUCO, PERÚ-2025"", presentado por Mayeli Nicole SILVA CLOUD en calidad de tesista.

CONSIDERANDO:

- Que, mediante Resolución n.º 006-2001-R-AU-UDH, de fecha 24 de julio de 2001, se creó la Facultad de Ingeniería;
- Que, mediante Resolución de Consejo Directivo n.º 076-2019-SUNEDU/CD, de fecha 05 de junio de 2019, la Universidad de Huánuco obtuvo la licencia para ofrecer el servicio educativo superior universitario;
- Que, mediante Resolución n.º 1097-2025-D-FI-UDH, de fecha 5 de junio de 2025, se designó
 a Mg. Reynaldo Favio SUAREZ LANDAURO, docente adscrito al Ingeniería Civil, como
 Asesor de tesis de Mayeli Nicole SILVA CLOUD;
- Que, según el Oficio n.º 0100-2025-CA-PAIC-FI-UDH, el Coordinador Académico informa que los Jurados revisores, conformados por: Mg. Yelen Lisseth TRUJILLO ARIZA (Presidente), Mg. Renato Edu BARZOLA GOMEZ (Secretario), Mg. Ciza Zarvia ROSARIO RAMON (Vocal), han declarado APROBADO el Plan de Tesis para su ejecución;
- Que, en virtud de las atribuciones conferidas al Decano de la Facultad de Ingeniería y con cargo a informar en la próxima sesión del Consejo de Facultad;

SE RESUELVE:

Artículo 1º. Aprobar el Plan de Tesis titulado: ""MORTERO CON FIBRAS DE AGAVE PARA AISLAMIENTO TÉRMICO EN VIVIENDAS DEL CC. PP NAUYAN RONDOS – HUANUCO, PERÚ-2025"", presentado por Mayeli Nicole SILVA CLOUD, como requisito para optar el título profesional de Ingeniero(a) Civil en la Universidad de Huánuco.

Artículo 2º. Establecer un plazo máximo de 12 meses para la ejecución del Plan de Tesis, contado a partir de la fecha de emisión de la presente Resolución. En caso de incumplimiento, el interesado podrá solicitar una única ampliación de hasta seis meses.

REGÍSTRESE, COMUNÍQUESE Y ARCHÍVESE.





VALIDACIÓN DE INSTRUMENTOS POR EXPERTOS

FICH	A DE VALIDACIÓN DEL INS	TRUMENTO DE	INVESTIGACI	ÓN POR E	XPERTOS	
I. DATOS	GENERALES ,		1.4			
1.1. Apellidos	y Nombres: Mays 19	mino Kon	ald Gunt	er		
1.2. Cargo e i	nstitución donde labora: 2	ocente				
1.3. Apellidos	y Nombres del investigador:	Silva cloud	1 Hayeli Nic	ole		
1.4. Título de	la investigación: Hortero con C	lorus de Agave para	aslamento term	ico en viviénd	ices del CC.PH	Nauvan Pondos
	del instrumento: Temperatura, M					
	del Instrumento: Silva Cla					
				• • • • • • • • • • • • • • • • • • • •		
II. CRITERI	OS DE VALIDACIÓN DEL IN	STRUMENTO				
INDICADORES D		DEFICIENTE	REGULAR	BUENO	MUY	EXCELENT
INSTRUMENTO		0	0.5	1	BUENO 1.5	2
	CUANTITATIVA					
1. Claridad	Esta formulado con lenguaje apropiado			X		
2. Objetividad	Permite recabar datos o					
2	conductas observadas				×	
Actualidad	Corresponde al estado actual de los			~,		
	conocimientos			X		
4. Organización	Existe una organización lógica			X		
5. Suficiencia	Evalúa las dimensiones					
	de la variable en cantidad y calidad				X	
6. Internacionalida				١.		
7 0 11 1	los objetivos del estudio			X		
7. Consistencia	Basado en el aspecto teórico científico y del tema de estudio			X		
8. Coherencia	Con las variables,					
	dimensiones e indicadores			X		
9. Metodología	Responde al método,					
	tipo, diseño y enfoque del estudio			X		
10. Conveniencia	Permite un adecuado levantamiento de la			X		
	información					
SUB TOTAL				8	3	
TOTAL			11			
	Valoración cuantitativa	Valoración	cualitativa	Oni	nión de an	licabilidad
Criterios de	17-20	Aprobado		Válido-	Aplicar	
evaluación	11-16 0-10	Observado Rechazado	/		Subsanar do-Replan	toor
			٨ ,	NO VAII	uo-kepian	tedi
III. OPINIÓN D	E APLICABILIDAD:	Valido —	Subsanar			



UNIVERSIDAD DE HUÁNUCO





FICHA DE VALIDACIÓN DEL INSTRUMENTO DE INVESTIGACIÓN POR EXPERTOS

DATOS GENERALES
1.1. Apellidos y Nombres: Martinez Morales , German Gaston
1.2. Cargo e institución donde labora: Docente de la P.A. Try. Civil - UDH
1.3. Apellidos y Nombres del investigador: Silva Clovo, Haye G Kicole
1.4. Título de la investigación: "Mortero con Floras de Agore para assamiento trímico en viviendos de CC.PP. Nouyan Pondos
1.5. Nombre del instrumento: Temperatura, Norma E. 080, Ensayo (fuvración, adherenas, etc).
1.6. Autor(a) del Instrumento: Silva Clow / Hayeli Nicole
ODITEDIOS DE VALIDACIÓN DEL INSTRUMENTO

CRITERIOS DE VALIDACIÓN DEL INSTRUMENTO

INDICADORES DE EVALUACIÓN DEL	VALORACIÓN CUALITATIVA	DEFICIENTE	REGULAR	BUENO	MUY	EXCELENTE
INSTRUMENTO	VALORACIÓN CUANTITATIVA	0	0.5	1	1.5	2
1. Claridad	Esta formulado con lenguaje apropiado				/	
2. Objetividad	Permite recabar datos o conductas observadas				/	
3. Actualidad	Corresponde al estado actual de los conocimientos				/	
4. Organización	Existe una organización lógica				/	
5. Suficiencia	Evalúa las dimensiones de la variable en cantidad y calidad				/	
6. Internacionalidad	Adecuado para alcanzar los objetivos del estudio				/	
7. Consistencia	Basado en el aspecto teórico científico y del tema de estudio				/	
8. Coherencia	Con las variables, dimensiones e indicadores				/	
9. Metodología	Responde al método, tipo, diseño y enfoque del estudio				/	
10. Conveniencia	Permite un adecuado levantamiento de la información					V
SUB TOTAL					13.5	2
TOTAL			15.3	5		

	Valoración cuantitativa	Valoración cualitativa	Opinión de aplicabilidad		
Criterios de	17-20	Aprobado	Válido-Aplicar		
evaluación	11-16 /	Observado	Válido-Subsanar		
	0-10	Rechazado	No válido-Replantear		

	11001100000	The value Hopfalloal
OPINIÓN DE APLICABILIDAD:	Válido - Si	ubsanar
	The state of the s	Huánuco, 03 de Juco del 202
	GENERAL GISTON INVOICE VERN MOZEMERO COM FIRMÁ DEL EXPE	ERTO



UNIVERSIDAD DE HUÁNUCO

Facultad de Ingeniería PROGRAMA ACADÉMICO DE INGENIERÍA CIVIL



FICHA DE VALIDACIÓN DEL INSTRUMENTO DE INVESTIGACIÓN POR EXPERTOS

I.		SENERALES	2					
	1.1. Apellidos	y Nombres: Podriguez	Ponce, Cho	dy Fernan	do			
	1.2. Cargo e i	nstitución donde labora: Q	ocente de Ing	. Gvil - UD	Н			
1.3. Apellidos y Nombres del investigador: SiNa Cloud, Mayeli Micele								
	1.4. Título de	la investigación: "Mortero co	n fibras de Agay	e pora awlamie	nto térmico	Ch vivianda	de CC. D.p Nauyan	
	1.5. Nombre o	lel instrumento: Temperatura,	Moma E 0.80	, Endayos (fi	vacción par	lherencis je	tc).	
		del Instrumento: Silva C						
Н	. CRITERIO	OS DE VALIDACIÓN DEL IN	ISTRUMENTO					
IN	DICADORES DI	E VALORACIÓN	DEFICIENTE	REGULAR	BUENO	MUY	EXCELENTE	
	ALUACIÓN DE					BUENO		
1	NSTRUMENTO	VALORACIÓN CUANTITATIVA	0	0.5	1	1.5	2	
1.	Claridad	Esta formulado con				X		
^	0111111	lenguaje apropiado						
2.	Objetividad	Permite recabar datos o conductas observadas					Y	
3.	Actualidad	Corresponde al estado				V		
		actual de los conocimientos				X		
4.	Organización	Existe una organización				y		
5.	Suficiencia	lógica Evalúa las dimensiones	1					
		de la variable en				X		
6.	Internacionalida	d Adecuado para alcanza	,					
		los objetivos del estudio				X		
7.	Consistencia	Basado en el aspecto teórico científico y del				X		
		tema de estudio				V		
8.	Coherencia	Con las variables,				X		
		dimensiones e indicadores				V		
9.	Metodología	Responde al método,				Х		
		tipo, diseño y enfoque del estudio				,		
10.	Conveniencia	Permite un adecuado					V	
		levantamiento de la información					X	
	B TOTAL					12	4	
TOTAL 16								
		Valoración cuantitativa			Opi	Opinión de aplicabilidad Válido-Aplicar Válido-Subsanar No válido-Replantear		
	Criterios de	17-20	Aprobado /					
	evaluación	11-16 0-10	Observado Rechazado					
		0-10	//	1.	NO Vali	do-replan	icai	
III.	OPINIÓN D	E APLICABILIDAD:	Aprobad	,0		••••••		
			-			1 /		
				Huánuco,)4 de 2	uli d	del 2025	
RI								
			Charle F Badrianas	Pane				
		FI	Charty F. Rodriguez RM 6/19E4-26-29EF	RTO				
		••						

PANEL FOTOGRÁFICO

Fotografía 1 Ubicación del CC. PP de Nauyan Rondos



Fotografía 2 Vivienda analizada de acuerdo a la E. 080



Fotografía 3 Vivienda analizada de acuerdo a la E. 080



Fotografía 4 Vivienda analizada de acuerdo a la E. 080



Fotografía 5 Vivienda analizada de acuerdo a la E. 080



Fotografía 6 Vivienda analizada de acuerdo a la E. 080



Fotografía 7 Vivienda analizada de acuerdo a la E. 080



Fotografía 8 Vivienda analizada de acuerdo a la E. 080



Fotografía 9 Vivienda analizada de acuerdo a la E. 080



Fotografía 10 Vivienda analizada de acuerdo a la E. 080



Fotografía 11 Estudio de mecánica de suelos C-1



Fotografía 12 Estudio de mecánica de suelos C-2



Fotografía 13
Estudio de mecánica de suelos en el



Fotografía 14
Estudio de mecánica de suelos en el laboratorio



Fotografía 15
Estudio de mecánica de suelos en el laboratorio



Fotografía 16 Firma y aceptación por parte de los dueños de las viviendas



Fotografía 17
Firma y aceptación por parte de los dueños de las viviendas



Fotografía 18
Firma y aceptación por parte de los dueños de las viviendas



Fotografía 19 Recolección de la Cabuya (Agave)



Fotografía 20 Traslado de la Cabuya (Agave)



Fotografía 21 Extracción de la fibra de la Cabuya (Agave)



Fotografía 22 Fibra de (Agave)



Fotografía 23

Traslado del adobe y demás materiales a la localidad



Fotografía 24 Construcción de la vivienda



Fotografía 25 Vivienda construida en la localidad



Fotografía 26 Proceso del corte de las fibras de Agave



Fotografía 27 Elaboración del mortero con fibras de Agave



Fotografía 28 Mortero con 0.5% de fibras de Agave



Fotografía 29 Mortero con 1.0% de fibras de Agave



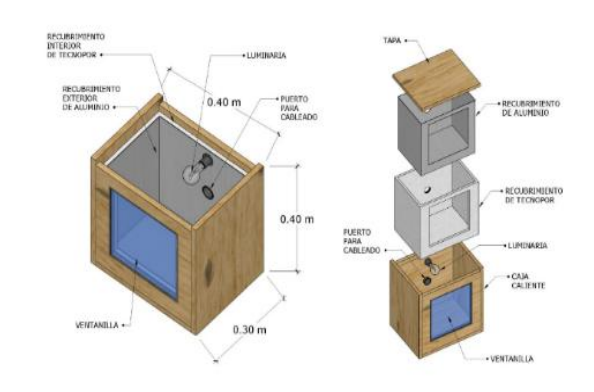
Fotografía 30 Mortero con 1.5% de fibras de Agave



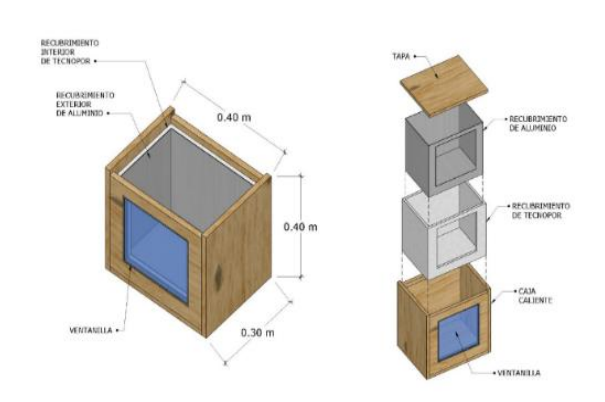
Fotografía 31 Las 9 muestras con los diferentes porcentajes



Fotografía 32 Elaboración de la Hot Box (caja caliente)- lado



Fotografía 33 Elaboración de la Hot Box (caja caliente) - lado frío



Fotografía 34 Elaboración de la Hot Box (caja caliente)



Fotografía 35 Elaboración de la Hot Box (caja caliente)



Fotografía 36 Elaboración de la Hot Box (caja caliente)



Fotografía 37

Evaluación del porcentaje más óptimo



Fotografía 38

Evaluación del porcentaje más óptimo



Fotografía 39 Elaboración de las muestras para los ensayos



Fotografía 40 Elaboración de las muestras para los ensayos



Fotografía 41 Muestras para los ensayos



Fotografía 42 Resultado del ensayo de fisuración M1-SF



Fotografía 43 Resultado del ensayo de fisuración M2-SF



Fotografía 44 Resultado del ensayo de fisuración M1-CF



Fotografía 45 Resultado del ensayo de fisuración M2-CF



Fotografía 46 Resultado del ensayo de adherencia con cinta M1-SF



Fotografía 47 Resultado del ensayo de adherencia con cinta M2-SF



Fotografía 48
Resultado del ensayo de adherencia con cinta M1-CF



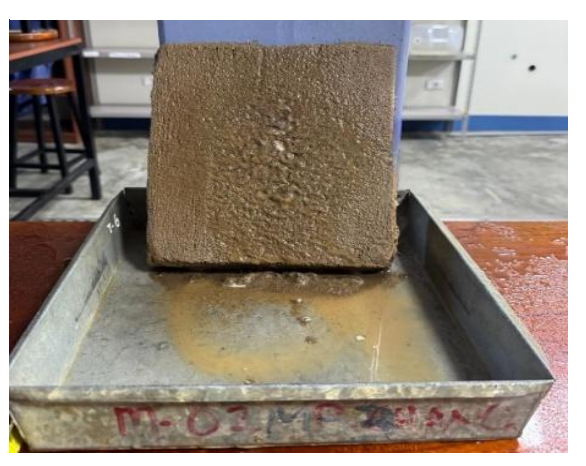
Fotografía 49
Resultado del ensayo de adherencia con cinta M2-CF



Fotografía 50 Resultado del ensayo de erosión por lluvia M1-SF



Fotografía 51 Resultado del ensayo de erosión por lluvia M2-SF



Fotografía 52 Resultado del ensayo de erosión por lluvia M1-CF



Fotografía 53 Resultado del ensayo de erosión por lluvia M2-CF



Fotografía 54 Resultado del ensayo de erosión por abrasión M1y M2-SF



Fotografía 55 Resultado del ensayo de erosión por abrasión M1y M2-CF



Fotografía 56
Resultado del ensayo de capilaridad M1, M2, M3 y M4-CF



Fotografía 57 Resultado del ensayo de capilaridad M1, M2, M3 y M4-CF



Fotografía 58

Toma de temperatura antes del tarrajeo vivienda 1



Fotografía 59

Toma de temperatura antes del tarrajeo vivienda 2



Fotografía 60

Toma de temperatura antes del tarrajeo vivienda 3



Fotografía 61

Toma de temperatura antes del tarrajeo vivienda 4



Fotografía 62 Toma de temperatura antes del tarrajeo



Fotografía 63 Corte de las fibras de Agave para el tarrajeo



Fotografía 64 Realización del mortero para el tarrajeo



Fotografía 65 Mortero con fibras de Agave en los muros de las viviendas



Fotografía 66 Revoque de los muros de la vivienda 1 con el mortero con fibras de Agave



Fotografía 67 Revoque de los muros de la vivienda con el mortero con fibras de Agave



Fotografía 68

Toma de temperatura después del tarrajeo vivienda 1



Fotografía 69 Toma de temperatura después del tarrajeo vivienda 2



Fotografía 70 Toma de temperatura después del tarrajeo vivienda 3



Fotografía 71

Toma de temperatura después del tarrajeo vivienda 4



Fotografía 72

Toma de temperatura después del tarrajeo



Figura 62

Plano de ubicación

